

YILDIZ TEKNİK ÜNİVERSİTESİ

FEN BİLİMLERİ ENSTİTÜSÜ

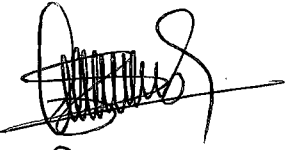
**80196 -16 BİTLİK MİKRODENETLEYİCİLİ
GELİŞTİRME SETİ TASARIMI VE FP 3000 FUZZY
İŞLEMCİYİ KULLANARAK ÇOK AMAÇLI
MİKRODENETLEYİCİLİ FUZZY LOJİK KONTROL VE
UYGULAMASI**

Elektronik. Yük. Müh. Ö. Faruk ÖZGÜVEN

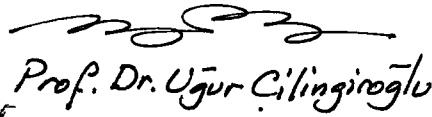
**F.B.E. Elektronik ve Haberleşme Mühendisliği Anabilim Dalında
hazırlanan**

DOKTORA TEZİ

Tez Danışmanı : Prof. Dr. Galip CANSEVER



Prof. Dr. Galip Cansever



Prof. Dr. Uğur Çilingiroğlu



Prof. Dr. Sezgin Alsan

İSTANBUL, EKİM 1996



İÇİNDEKİLER:

ÖZET

SUMMARY

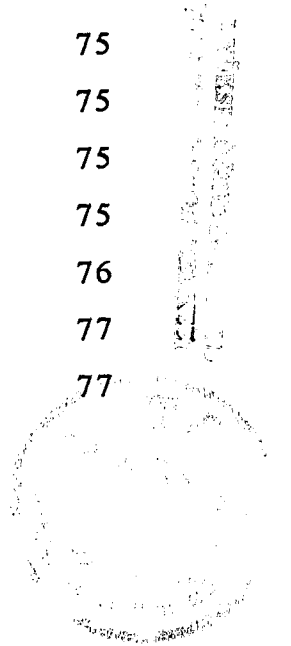
| | |
|--|----|
| 1.GİRİŞ | 1 |
| 1.1.Fuzzy lojik algoritması kullanan diğer deneysel çalışmalar | 7 |
| 1.2.Fuzzy işlemci tasarımı için yapılan makale çalışmaları ve işlemcilerin özellikleri | 16 |
| 2.FUZZY KÜME TEORİSİ | 24 |
| 2.1.Fuzzy küme kavramı | 24 |
| 2.2.Fuzzy kümelerde teorik işlemler | 25 |
| 2.2.1.Fuzzy kümenin matematiksel gösterilimi | 25 |
| 2.2.2.Birleşme özelliği | 26 |
| 2.2.3.Keşisme özelliği | 27 |
| 2.2.4.Evrik alma özelliği | 27 |
| 2.2.5.Üs alma özelliği | 28 |
| 2.2.6.Pozitif α sayısı ile çarpma özelliği | 28 |
| 2.3.Fuzzy kümeler arasındaki mesafe | 28 |
| 2.4.Klasik ve fuzzy bağıntılar | 29 |
| 2.4.1.Klasik bağıntılar | 29 |
| 2.4.1.1.Kartezyen çarpım | 29 |
| 2.4.1.2.Klasik bağıntılarda işlemler | 30 |
| 2.4.1.3.Klasik bağıntılarda kompozisyon | 30 |
| 2.4.2.Fuzzy bağıntı | 31 |
| 2.4.2.1.Kartezyen çarpım | 31 |
| 2.4.2.2.Fuzzy bağıntılarda kompozisyon | 32 |
| 2.4.2.3.Fuzzy çıkarım kompozisyonu | 32 |
| 2.5.Üyelik fonksiyonları | 33 |
| 2.5.1.Üyelik fonksiyonu kavramı ve çeşitleri | 33 |
| 2.5.2.Normal ve iç bükey üyelik fonksiyonu tanımı | 34 |
| 2.5.3.Bulanıklaştırma işlemi | 35 |



| | |
|--|-----------|
| 3.ÇIKARIM İŞLEMİ | 36 |
| 3.1.Birinci tip karar verme | 44 |
| 3.2.İkinci tip karar verme | 45 |
| 3.3.Üçüncü tip karar verme | 46 |
| 3.4.Dördüncü tip karar verme | 47 |
| 3.5.Çıkarım işleminin bir uygulama üzerinde grafiksel ve cebirsel anlatımı | 48 |
| 3.5.1.Grafiksel anlatım | 48 |
| 3.5.2.Cebirsel anlatım | 51 |
| 4.NETLEŞTİRME YÖNTEMLERİ | 54 |
| 4.1.Maksimum üyelik yöntemi | 54 |
| 4.2.Merkezi yöntem | 54 |
| 4.3.Ağırlık ortalamasını bulma yöntemi | 55 |
| 4.4.Maksimum üyelikleri ortalama yöntemi | 56 |
| 4.5.Toplamların merkezini bulma yöntemi | 56 |
| 4.6.En büyük alan merkezini bulma yöntemi | 57 |
| 4.7.İlk veya son maksimum değeri bulma yöntemi | 58 |
| 5.FUZZY LOJİK KONTROL | 59 |
| 5.1.Temel Fuzzy Lojik Kontrol | 59 |
| 5.2.Genel Fuzzy Lojik Kontrol | 60 |
| 6. 8XC196KC/KD 16 BİT MİKRODENETLEYİCİ | 62 |
| 6.1.MİB denetleme | 62 |
| 6.2.Kaydedici bloğu | 63 |
| 6.3.Aritmetik mantık birimi | 64 |
| 6.4.Bellek denetleyicisi | 64 |
| 6.5.Kesme isteği denetleyicisi | 64 |
| 6.6.Standart Giriş/Çıkış portları | 65 |
| 6.7.Seri Giriş/Çıkış portu | 65 |
| 6.8.Yüksek hızlı Giriş/Çıkış ünitesi | 65 |
| 6.8.1.Zamanlayıcı1 ve Zamanlayıcı2 | 65 |



| | |
|---|----|
| 6.8.2.Yüksek hızlı Giriş | 66 |
| 6.8.3.Yüksek hızlı Çıkış | 66 |
| 6.9.Analog dijital çevirici | 66 |
| 6.10.Darbe genişlik modülatörü | 67 |
| 6.11.Gözetlemeli sıfırlama sayıcısı | 67 |
| 6.12.İç zamanlama | 67 |
| 7. 8XC196KC/KD ADRESLEME TÜRLERİ | 68 |
| 7.1.Dolaysız-Kaydedici adresleme | 68 |
| 7.2.Dolaylı adresleme | 69 |
| 7.3.Kendinden artmalı dolaylı adresleme | 69 |
| 7.4.Anında adresleme | 70 |
| 7.5.Kısa indekslemeli adresleme | 70 |
| 7.6.Uzun indekslemeli adresleme | 70 |
| 7.7.Sıfır kaydedici adresleme | 71 |
| 7.8.Yığın gösteren kaydedici adresleme | 71 |
| 8. 8XC196KC/KD BELLEK BÖLGELERİ | 72 |
| 8.1.Dış bellek bölgesi | 73 |
| 8.2.Port 3 ve Port 4 | 73 |
| 8.3.Program ve özel amaçlı bellek | 73 |
| 8.4.İç veya dış bellek bölgesini seçme | 73 |
| 8.5.Program belleği | 74 |
| 8.6.Özel amaçlı bellek | 74 |
| 8.6.1.Saklı tutulan bellek gözleri | 75 |
| 8.6.2.Kesme isteği vektörü | 75 |
| 8.6.3.Güvenlik anahtarı | 75 |
| 8.6.4.Tüm devre ayarlama baytı | 75 |
| 8.7.Kaydedici bloğu | 75 |
| 8.7.1.Genel amaçlı kaydedici | 76 |
| 8.7.2.Yığın gösteren kaydedici | 77 |
| 8.7.3.Özel fonksiyon kaydedicileri | 77 |



| | |
|---|-----|
| 8.8.Yatay pencereleme | 78 |
| 8.8.1.Ypencere seçme işlemi | 78 |
| 8.8.2.Ypencere0 | 79 |
| 8.8.3.Ypencere1 | 79 |
| 8.8.4.Ypencere15 | 79 |
| 8.9.Düşey pencereleme | 80 |
| 8.9.1.Dpencere seçme işlemi | 82 |
| 9.SERİ GİRİŞ/ÇIKIŞ PORTU | 82 |
| 9.1.Mod 0 | 83 |
| 9.2.Asenkron modlar | 85 |
| 9.2.1. Mod 1 | 85 |
| 9.2.2. Mod 2 | 87 |
| 9.2.3. Mod 3 | 87 |
| 9.2.4. Mod 2 ve Mod 3 zamanlama | 88 |
| 9.3.Seri portun programlanması | 89 |
| 9.3.1.Eşitlik işlemine izin verme ve haberleşme modunu seçme | 89 |
| 9.3.2.TXD ve RXD için şartlamalar | 89 |
| 9.3.3.Seri port kesme isteğine izin verme | 90 |
| 9.3.4.Karakter hızı ve saat darbesi kaynağını programlama | 91 |
| 9.3.5.Seri portun durumunu tespit etme | 93 |
| 10.MİKRODENETLEYİCİNİN DIŞ BELLEK ARABİRİMİ İLE BAĞLANMASI | 95 |
| 10.1.Denetleyici Ayarlama Kaydedicisi | 95 |
| 10.2.Yol genişliğinin ve belleğin ayarlanması | 96 |
| 10.3.Yol denetleme modları | 97 |
| 10.3.1.Standart yol denetleme modu | 97 |
| 10.3.2.Yazma tutma modu | 99 |
| 10.3.3.Geçerli adres tutma modu | 101 |
| 10.3.4.Yazma tutma modu ile beraber geçerli adres modu | 103 |
| 11.YÜKSEK HIZLI GİRİŞ/ÇIKIŞ ÜNİTESİ | 104 |

| | |
|--|-----|
| 11.1.Zamanlayıcılar | 104 |
| 11.1.1.Zamanlayıcı1 işlevleri | 104 |
| 11.1.2.Zamanlayıcı2 işlevleri | 105 |
| 11.1.3. Zamanlayıcı2'yi programlama | 105 |
| 11.1.4.Saat darbesi kaynağını seçme | 106 |
| 11.1.5.İleri/Geri sayma | 108 |
| 11.2.Yüksek Hızlı Giriş Modül(HSI) | 108 |
| 11.2.1.Sonuç verisini okuma | 109 |
| 12.2.2.HSI modülünü programlama | 110 |
| 12.2.3.Kenar geçiş çeşitlerini tanımlama | 110 |
| 12.3.4.HSI kesme isteklerine izin verme | 111 |
| 12.3.5.HSI bacaklarına izin verme | 113 |
| 12.FP 3000 FUZZY İŞLEMCİ | 114 |
| 12.1.FP 3000 fuzzy işlemcinin bacak bağlantıları ve tanımları | 115 |
| 12.2.Sistem donanımı | 116 |
| 12.3.Fuzzy işlemcili sistemin bellek haritası | 120 |
| 12.3.1.Giriş verilerinin yazılması | 120 |
| 12.3.2.Çıkış verilerinin okunması | 121 |
| 12.3.3.Çıkarım işlemine başlatma ve çıkarımın bittiğini tespit etme | 122 |
| 12.3.4.Bilgi tabanı verileri | 122 |
| 13.MİKRODENETLEYİCİLİ SİSTEMİN ANAKART DONANIMI VE DİĞER ÜNİTELER | 124 |
| 13.1.Gösterge ve tuş takımı devresi | 131 |
| 13.2.Dijital analog çevirici devresi | 134 |
| 13.3.Motorlar ve manyetik algılayıcılar | 137 |
| 14.PROGRAMLAR | 138 |
| 14.1.Gösterge ve tuş takımı kullanan geliştirme seti programı | 138 |
| 14.2.Programın seri porttan geliştirme setine gönderilmesi | 142 |
| 14.3.Bilgi tabanı verilerinin fuzzy işlemciye gönderilmesi | 145 |



| | |
|--|-----|
| 14.4.Mikrodenetleyici ve fuzzy işlemciyi kullanarak Fuzzy Lojik Kontrol uygulama programı | 148 |
| 14.5.Kesme isteđi alt programı | 148 |
| 15.ELDE EDİLEN EĐRİLERİN ANALİTİK YORUMU | 154 |
| 15.1.Tasarlanan Fuzzy Lojik Denetleyicinin çeşitli ölçek değerleri için performansının eğriler ile değerlendirilmesi | 170 |
| 15.2.Sistemin yüklenmesi ve yükten bırakılması durumu | 177 |
| 16.SONUÇLAR | 179 |
| 16.1.Çalışmanın maliyet hesabı ve diğer üniteler ile karşılaştırılması | 182 |
| KAYNAKLAR | 185 |
| EK1 | 197 |
| EK2 | 208 |
| EK3 | 216 |
| EK4 | 218 |
| EK5 | 224 |
| ÖZGEÇMİŞ | |



TEŐEKKÖR

Bu tezin hazırlanmasında ve alıőmalarım sırasında ilgisini, yardımını ve desteęini esirgemeyen, her tÖrlÖ imkanın saęlanmasına neden olan, beni alıőmalara teővik eden Sayın Hocam Prof. Dr. Galip CANSEVER' e ve ayrıca alıőmalarımda gerekli anlayıőı gÖsterip bana yardımcı olan dięer arkadaşlara teőekkÖrlerimi sunarım.

İstanbul, 1996

Ö. Faruk Özgüven



ÖZET:

Geçen on yıl boyunca, fuzzy lojik kontrol fuzzy küme teorisi uygulamaları ile özellikle giriş-çıkış bağıntılarının olmayışı yüzünden alışageldiğimiz yöntemler tarafından gereği gibi kontrol edilemeyen endüstriyel işlemlerde son derece etkili ve aktif araştırma alanlarından birisi olarak ortaya çıktı.

Fuzzy lojiğe dayanan fuzzy lojik kontrol alışageldiğimiz mantıksal sistemlerden daha fazla sözel anlatıma ve insan düşünme sistemine daha çok yakındır. Bu durum uzman bilgiye dayanan sözel kontrol stratejisinin otomatik kontrol stratejisine dönüştürmenin bir vasıtası olur.

Elektriksel sürücülerin yaptığı hız ve pozisyon kontrolü, son yıllarda fuzzy lojik yaklaşımı ile önerilmiş ve ayrıca geleneksel ayarlayıcıların performanslarının artırılması çalışmaları yapılmıştır. Bazı kontrol sistemlerinde hız hatası ve türevi olduğu yerlerde bir genel şema çerçevesinde belirlenmekte ve bu durumda bulanıklaştırma, uygun üyelik fonksiyonları ile yapılmaktadır. Bu durumda kontrol işaretlerinin algılanıp sözel kurallar ile değerlendirilerek bulanıklaştırılan işaretler çıkarım işlemine gönderilmektedir. Fuzzy işlemciler fazla yazılıma ihtiyaç duyulmadan çıkarım işlemi donanım vasıtasıyla yaparlar. Ayrıca bu işlemciler mikrodenetleyiciler ile uyumlu çalışırlar.

Mikrodenetleyiciler içerisinde bir çok çevre birimlerini içerdikleri ve hızlı işlem yapabilme kapasitesine sahip oldukları için endüstride vazgeçilmez bir kontrol elemanı olmuşlardır.

Bu tezde önce 8XC196KC 16 bitlik mikrodenetleyici geliştirme seti ve sonra bu sisteme ilave edilmek üzere FP 3000 fuzzy işlemcili çıkarım kartı tasarlanmış ve gerçekleştirilmiştir.

Geliştirme setinde gerek tuş takımından yazılan gerekse bilgisayardan gönderilen makina dili programların çalıştırılması sağlanır. Bilgisayarın seri portundan fuzzy işlemcili çıkarım kartına ilgili bellek adreslerine yazılmak üzere kurallar ve üyelik fonksiyonlarının derlenmesinden oluşan bilgi tabanı verileri gönderilir. Sonra fuzzy işlemciye giriş değerleri verilerek çıkarım işlemi sonucundaki değer yine işlemci tarafından hesaplanır.

Ayrıca sisteme 12 bitlik dijital analog çevirici ve iki DC motor ilave edilmiştir. Son olarak bu sistem üzerinde fuzzy lojik uygulaması gerçekleştirilmiştir.



SUMMARY:

During the last decade the theory of fuzzy sets and fuzzy logic control as well as their applications have appeared as a quite affective and active research area on the industrial processes that cannot be properly controlled by using conventional methods.

Fuzzy logic control which is based on fuzzy logic is much mains natural language and way of reasoning than traditional systems. This is a way of converting of linguistic control strategy which is based on expert knowledge to the strategy of automatic control.

The speed and position control of electrical drivers using fuzzy logic approach was recently proposed, mostly to improve the performances of conventional regulators. Such controllers are based on a general scheme where the speed error and its derivative are evaluated and fuzzified exploiting suitable membership functions. The fuzzified signals are sent to the inference block where control signals are deduced evaluating linguistic rules. Fuzzy processors do inference by means of hardware without necessitating much software. Further these processors are work in compatible with microcontrollers.

Since they include many peripheral units and they have capacity of fast performance, the microcontrollers become giving up control element in industry.

In this thesis, first a 16 bit microcontroller evaluation board of 8XC196KC/KD and then in addition to this system a fuzzy inference board is designed and realized.

In the evaluation board, it is achieved to run machine language programs that are written by through keyboard or sent by computer. Data of knowledge base that is composed of rules and membership functions are sent through to serial port of the computer to be written the relevant memory addresses to the fuzzy inference board. Later, by giving input values to processor value after the inference is computed by the processor again.

A part from above, two DC motors and a 12 bit digital analog converter is added to the system. Least, fuzzy logic control is realized on this system.



1.GİRİŞ:

Bu tezde bir fuzzy lojik denetleyici sisteminin gerçel zamanda çalıştırılıp, denetlenen sistem üzerinde daha etkin bir performans sağlanması, sistem kararlılığının geçici durumunun ve aynı zamanda sönüm olayının en aza indirilmesi problemine çözüm getirilmesi hedeflenmiştir.

Gerçek zamanda 80196 mikrodenetleyicili ve FP 3000 fuzzy işlemcili bir sistem ile donanım ve yazılım tasarlanarak daha önce bu konu ile yapmış olduğumuz simulasyon çalışmalarında bulunan sonuçların gerçel zaman ortamında elde edilmesi yoluna gidilmiştir. Ayrıca bu sistemi gerçekleştirirken maliyetin en aza indirgenmeside diğer bir hedef olmuştur. Bu hedefin gerçekleşmesi için üniversite ortamında sistemin tamamını her şeyi ile göz önüne alarak yazılımın ve donanımın gerçekleştirilmesi sağlanmıştır.

Problemlere çözüm getirebilmek için, bu tez çalışmasında; iki adet D.C. motorun farklı hızlarda dönmesi ile meydana getirdikleri aksaklıkları 80196 'lı ve fuzzy işlemcili bir sistem üzerinde yazılan bir makine dili program yardımı ile hızı sabit olan motorun hızına çok kısa bir süre içerisinde ulaşılmaya çalışılmış ve bu iki hız birbirine eşitlenerek kilitlenmiştir.

Fuzzy lojik denetleyici için bulanıklaştırma, çıkarım ve netleştirme işlemleri yalnız yazılım kullanarak bir program aracılığı ile gerçekleştirilebilir. Bu durum yazılımın büyük olmasına, gerçel zaman kontrolunda zaman kaybına ve bilgisayar ile kontrol gerçekleştiği için başlı başına bazı taşınabilir cihazların kontrolunu yapmak mümkün olmayabilir. Modüler bir yapıya sahip olmaz. Ayrıca kontrol edilecek cihazın durumuna göre bilgisayarın içerisine çeşitli (zamanlayıcı, DAC, ADC, giriş-çıkış portu gibi) kartların ilave edilmesi gerekir. Bu durum maliyetin daha fazla büyümesine neden olur. Fuzzy lojik denetleme işleminde belirtilen bu durumların ortadan kalkması için

mikrodenetleyici ve fuzzy işlemci ile beraber makine dili yazılım kullanarak sağlanabilir. Böylece mikrodenetleyici fuzzy işlemler için gerekli olan hesaplamaları sadece fuzzy işlemcili sistemin donanımını kullanarak gerçekleştirir. Fuzzy işlemcinin kullanılması sayesinde yazılım küçüldüğü gibi ve makine dilinin de kullanılması gerçel zaman işlemlerinde en önemli bir parametre olan hesaplama hızının artmasına hesaplama süresinin azalmasına neden olur. Sonuçta bu çalışma ile bir bilgisayara bağlı olmaksızın her yerde çalışabilen ve hızı yüksek olan bir fuzzy lojik denetleyici tasarlanmıştır. Ayrıca çok girişli ve çok çıkışlı, fazla kural sayısı içeren ve hızlı fuzzy lojik denetleyicisi en az maliyet ile elde edilmiştir.

Bu denetleyicinin uygulama alanı olarak şimdiye kadar tek motorlu sistem yerine iki motorlu sistem düşünülmüş ve ayrıca ilgili motorlara yükleme yapılarak çıkış eğrileri gerçek zamanda bilgisayar ekranında incelemiştir. Ayrıca modüler bir cihaz ve daha az malzeme ile fuzzy lojik algoritması kullanılarak diğer sistemlerin rahatlıkla denetlenmesi ve böyle bir sistemin bu denetleme işlemine nasıl cevap verdiği gerçek zamanda incelenmesi mümkün duruma getirilmiştir.

Yukarıda belirtilen problemlere getirilen çözüm için yapılan bu çalışmalar kontrol alanında bu sistemin kendisine özel ilk defa yapılan orijinal çalışmalardır.

Bu bilgiler ışığında sistem tasarlanırken sistemi oluşturan elemanların özellikle kontrol alanında kullanım özellikleri incelenmiştir. Bu nedenden dolayı bu tezde her elemanın rahatlıkla kullanılabilmesi için o elemana ilişkin özellikler detaylı olarak verilmiştir. Mikrodenetleyici ile ilgili bilgiler geniş bir şekilde tutulmuştur. Ayrıca mikrodenetleyici programlanırken çok önem taşıyan ve kullanılan özel amaçlı kaydediciler ,üniteler detaylı bir şekilde anlatılmıştır. Bu tez mikrodenetleyici ile çalışma yapanlar için bir referans olabilecek niteliktedir. Gerek mikrodenetleyicinin ve

gerekse fuzzy işlemcinin kullanılan fonksiyonlarının çoğu üzerinde durulmuştur.

Sonuçta oluşturulan bu sistem sadece bilgisayar ekranında kalacak bir simulasyon çalışmasından daha yararlı olabilecek endüstriyel uygulamalar için kullanılabilir duruma getirilmiştir. Sistem yeni gelecek önerilere ve geliştirilmeye açık durumdadır. Ayrıca çalışmanın kolay ve pahalı yönü olan donanım hazır alınmadan, hem donanım ve hem de yazılım üzerinde temelden çalışılarak tasarım yapılmış ve kontrol edilecek sisteme uygulanmış, sistemin bu kontrol olayına nasıl cevap verdiği bilgisayar ekranında gerçek zamanda çizilen eğriler incelenerek tespit edilmiştir.

Şimdiye kadar motor kontrolunda yapılan uygulamalar yalnız bir motorun devri ölçülerek bu devir istenilen sabit bir devir hızına getirilmeye çalışılmıştır. Fakat bu tezde, daha önceki çalışmalarda sabit hız olarak alınan devir, hızı isteğe göre potansiyometre ile değiştirilen ikinci bir motorun devri referans alınmıştır. Böylece aynı anda iki motorun devir hızı ölçülmüş ve fuzzy lojik mantığı kullanarak iki motorun hızları kilitlenmiştir. Bu duruma frekans olarak bakıldığında, farklı iki frekansın birbirine kilitlenmesi işlemi fuzzy lojik denetleyici kullanarak sağlanmıştır. Eğer hızı kontrol edilen motorun yerine gerilim kontrollü osilatör (VCO) kullanılırsa elde edilen uygulama fuzzy lojik denetleyici kullanan faz kilitlemeli çevrime benzemektedir.

Bu sisteme daha sonra üçüncü bir motor daha ilave edilmiştir. Bu motor hızı kontrol edilen motora bağlanarak jeneratör olarak kullanılmıştır. Bu jeneratörün çıkış uçlarına 2.2Ω 'luk direnç yük olarak bağlanmıştır. Kontrol edilen motorun devri diğer motorun devrine ulaştığında bu direnç ile yükleme yapılarak sonuçta fuzzy lojik denetleyicinin motoru tekrar ne kadar sürede yüklenmeden önceki devrine getirdiği gözlenmiştir. Yine benzer bir şekilde yüklü motor

istenilen devire geldikten sonra jeneratör yüklenmeden bırakıldığı zaman yine motorun kendini istenilen ikinci motorun devrine ne kadar bir zamanda getirdiği eğriler üzerinde incelemiştir.

Uygulama için 12 V'luk D.C. motorlar seçilmiştir. Bu tercihin yapılmasının nedeni her yere taşınabilir ve sürücü devrelerine ihtiyaç duyulmadan bir devir hızı kontrol uygulamasını yapmak içindir. Bilineceği üzere servo motorların sürücü devreleri girişine 0 ile 10 V arası gerilim verilerek devir değiştirilmekte ve gerekli devir hızı bilgileri shaft encoder ünitesinden alınmaktadır. Bu tezde kontrol için elde edilen gerilimler kolaylıkla bu sürücü devresine fazla değişiklik yapmadan uygulanabilir. Bu durumda sistemden daha iyi cevap alınabilir.

Denetleme işleminde en önemli işlem olan motorların devrini ölçme mikrodenetleyicinin zamanlayıcı1 modülüne bağlı olan HSI (yüksek hızlı Giriş-Çıkış) bacakları kullanılmıştır. Bu sayede bir veya birden fazla giriş değerlerinin periyodunu ölçmek mümkündür. Sistem iki veya daha fazla motorun devrini ölçme yeteneğine sahiptir.

Sistemde motorların dönüş hızlarını alıp değerlendirebilmek için her motor için ayrı olarak magnetik algılayıcı ve bu algılayıcıların önünden geçen metal pervane kullanılmıştır. Bir devir ölçülmesi için pervanenin iki kanadının magnetik algılayıcının önünden geçmesi gerekir. Bu durumdan sonra ancak kontrol işlemine geçilmektedir. Eğer daha kısa bir sürede örneğin shaft encoder ile devir hakkında bilgi alınırsa sistemin kontrol hızı daha da artacaktır.

Sistem üzerinde bulunan boş slotları sayesinde başka kontrol olaylarında kullanılmaya uygundur. Ayrıca istenilirse daha değişik fuzzy işlemciler sisteme uyarlanıp çalıştırılabilir.



Fuzzy küme teorisi ile ilgili ilk bağıntılar L.A. Zadeh tarafından bir makalede yayınlandı, (Zadeh, 1965). Zadeh bu makaleyi yayınlarken insanların düşünme sisteminin konu ile ilgili iki ana hususun farkına vardı. Bunlardan birincisi insanların tamamıyla anlaşılmamış belirsiz kavramları çözümlene yeteneğinin ve insan düşüncesinin ana ögesinin sayısal ifadeler olmadığına farkına varması ve diğeri ise insanların kontrol ettikleri sistemler ile o zamana kadar geleneksel yöntemler ile kontrol edilen sistemler arasındaki ilişkinin uygun olmadığını görmesi olarak söylenebilir.

1970 ve 1980 tarihlerinde araştırmacılar teorisinin matematiksel yönleri ile ilgili çalışmalar yaptılar. Temel teorileri geliştirme sırasında bazı araştırmacılar aktif çalışmalar yaptılar, (Zadeh, 1973; Kaufman, 1975). Temel fuzzy küme teorisinin matematiksel olarak geliştirilmesi günümüzde devam etmektedir.

Fuzzy küme teorisi ile teorik hesaplamalarda sürekli olarak kullandığımız matematik ve olasılık teorisi arasında farklar vardır. İki teori farklı alanları ve ifadeleri gösterirler. Olasılık teorisi veri ölçümlerine dayanır ve tecrübe ile test edilirler. Olasılıklar bir olayın olup olmayacağını ölçer. Fuzzy küme teorisi ise bir olayın ne dereceye kadar var olduğunu ve bir olayın olma ağırlığını ölçer. Yani " Yüzde 30 olasılıkla hava serin olacak " önermesi serin hava olasılığını dile getirir. Fakat " Sabah hava yüzde 30 serin geliyor " önermesi hava bir dereceye kadar serin, aynı zamanda değişen derecelerde ılık ve sıcak demektir.

Daha önce yukarıda sözü geçen araştırmacılar konunun uygulamasından çok teorisiyle ilgilendiler. Bu durum fuzzy küme teorisi ve uygulaması arasında bir boşluk oluşmasına neden oldu. Mamdani 1974 yılında matematiksel olarak ifade edilmesi çok zor olan



sistemin kontrolunda uzmanın yerini fuzzy lojik kontrolun alabileceğini gösterdi, (Mamdani, 1974). Daha sonra Mamdani konu ile ilgili ilk endüstriyel uygulamayı bir buhar makinası için gerçekleştirdi, (Mamdani and Assilian, 1975). Bu çalışma fuzzy lojik temelli bu tür bir uzman sistemle türbin hızının ve performansının çok başarılı bir şekilde kontrol edilebileceğini göstermiştir. Bu sonuçlar araştırmacıları fuzzy kümeler teorisinin uygulama yönü ile ilgilenmeye teşvik etti.

Kontrol işlemi için uygulama sırasında tasarım yapılırken herşeyden önce sistemin matematiksel modeline ihtiyaç duyulur. Ancak pratikte bu modelleme her zaman mümkün olmayabilir. Bazı durumlarda ise doğru model kurulsa bile bunun uygulamada kullanılması karmaşık problemlere yol açabilir. Bu gibi sorunlarla karşılaşıldığı zaman genellikle kontrol olayını gerçekleştiren uzman kişinin bilgi ve deneyimlerinden yararlanma yoluna gidilir. Uzman kişi sözel değişkenler olarak tanımlanan; uygun, çok uygun değil, yüksek, biraz yüksek, fazla, çok fazla gibi günlük yaşantımızda sıkça kullandığımız kelimeler doğrultusunda esnek bir kontrol mekanizmasını geliştirir. İşte fuzzy küme teorisinin ve fuzzy lojiğin uygulaması olan fuzzy lojik kontrol bu tür mantıksal ilişkiler üzerine kurulmuştur. Ayrıca fuzzy küme teorisinin günümüzde içerdiği diğer uygulama alanları ve tarihsel gelişimi aşağıdaki gibi sıralanabilir.

1. Kontrol işlemi: (Mamdani, 1976; King and Mamdani, 1977; Rutherford and Bloore, 1976; Braae and Rutherford, 1979; Tong, 1977; Kickert, 1976; Sugeno, 1985; Pedrycz, 1989; Huang and Tomozuka, 1990; Liaw and Wang, 1991; Yamakawa, 1993)

2. Karar verme: Karar verme için ilk uygulamalar 1970 yılında başlatıldı, (Bellman and Zadeh, 1970). Daha sonra karar verme geliştirilmeye başlandı, (Yager, 1977; Tong ve Benissone, 1980; Watson et. al.)



3. Görüntü tanıma: (Pal and Majumder 1986, Kandel, 1982, Bezdek, 1981)

4.Yapay zeka: (Zadeh, 1978a, 1978b, 1984; Tong and Shapiro, 1985; Whalen and Schott, 1985; Bandler and Khout, 1985; Leung and Lam, 1988)

4 .Sınıflama: (Xie, 1984; Miyamoto and Nakayama,1986)

1.1.Fuzzy Lojik Algoritması Kullanan Diğer Deneysel Çalışmalar:

Bir çok makale taraması yapılmıştır. Özellikle bu tezde yapılan çalışma ile diğer çalışmaları karşılaştırabilmek için deneysel olarak gerçel zamanda yapılan uygulamaları içeren makaleler alınarak tablo oluşturulmuştur. Ayrıca çalışmada kullanılan donanım ve malzeme listesi olarak ilgili makalede belirtilenler bu tabloya aktarılmıştır.

Tablo 1.1. Deneysel çalışmalar

| Makale Yazarı ve Tarih | Yapılan Çalışma | Uygulamada kullanılan donanım ve malzemeler | İlave açıklamalar |
|----------------------------------|---|---|--|
| Wu J.C. et. Al. 1996 | Fuzzy Kontrol tasarımı için Kayma modu yaklaşımı | Bilgisayarda yazılım kullanılarak simülasyon ve deneysel çalışma yapılmıştır. | Uygulama olarak dönen bir disk üzerinde evirici sarkaçın açısı denetlenmiştir. |
| El-Metwally K.A. et. al. 1996 | Enerji iletim güç sistemlerinde kararlılık işlemi | Üzerinde Intel 8051FA 8 Bit mikrodenetleyici, 32KB ROM, 16 KB statik RAM,Klavye ve LCD display bulunan MCC51 geliştirme seti, Intel486 mikroişlemcili bilgisayar, 12 bit ADC ve DAC | Denetleme algoritması makine dili yazılım ile yapılmıştır. Bilgisayar ile haberleşmek için RS232 haberleşme standartı kullanılmış. |

| Makale Yazarı ve Tarih | Yapılan Çalışma | Uygulamada kullanılan donanım ve malzemeler | İlave açıklamalar |
|------------------------------|---|--|---|
| Hesburg T. et. al. 1994 | Kullanıcı olmaksızın bir arabanın yoldaki hareketinin denetlenmesi | Texas TMS320C30 DSP | DSP girişine, yol çizgisine göre arabanın durumu belirleyen magnetometreden ve sapma oranı sensöründen bilgi gelmekte , DSP çıkışı direksiyon hidrolik sistemi denetlemektedir. |
| Shenoi S. et al. 1995 | Öğrenme yapısına sahip fuzzy denetleyici Sıcaklık ve ayrıca yükseklik kontrolü üzerinde çalışma yapılmıştır | Intel MCS-51 (8031) mikrodenetleyici, Bilgisayar | Bilgisayar ile haberleşme için RS232 standardı kullanılmıştır. Mikrodenetleyici osilatör frekansı 11.06 MHz 'dir. Elde edilen verilerin saklanması için Statik RAM pil ile desteklenmiştir. |
| Teeter J. T. et. al. 1996 | Fuzzy sürtüşme kompanzasyon yaklaşımı kullanılarak DC motor kontrol sisteminin randımanının artırılması | 486 mikroişlemcili Bilgisayar, Grafik çizimler için LabVIEW programı, ADC ve DAC (Bit sayısı belirtilmemiş.) | DC motor hız kontrol işlemine yeni bir yöntem uygulanmıştır. |
| So W.C. et. al. 1996 | DC/DC konvertör denetleme işlemi | Üzerinde Texas TMS 320C50 DSP bulunan geliştirme seti, AD668 12 bit DAC, AD1671 12 bit ADC ve bilgisayar | Denetleme işlemi DSP yazılımı ile gerçekleştirilmiştir. Simülasyon ve deneysel çalışma yapılmıştır. |



| Makale Yazarı ve Tarih | Yapılan Çalışma | Uygulamada kullanılan donanım ve malzemeler | İlave açıklamalar |
|----------------------------|--|--|---|
| Lai M. F. et al. 1996 | İndüksiyon Motor Hız Kontrolunda faz kilitlemeli çevrimin ve Fuzzy denetleyicinin beraber kullanılması | 486 mikroşlemcili Bilgisayar, 12 bit ADC, 12 bit sayıcı, tutma ikilisi | Fuzzy denetleyici algoritması C++ programlama dilinde gerçekleştirilmiştir. |
| Kung Y. S. et al. 1994 | Motor hız kontrolunda Fuzzy denetleyicinin geliştirilmesi için Lineer Model izleyen denetleyici tasarımı | 80386/387 Mikroşlemcili PC bilgisayar, ADC ve DAC (Bit sayısı belirtilmemiş.) | — |
| Silva C.W. et. al. 1994 | Fuzzy lojik denetleme sisteminde veri tabanını ayırma tekniğini kullanarak DC servo motorun kontrolu | 486 Mikroşlemcili Bilgisayar, ICB930 arabirim kartı, DMC-400 digital denetleyici | — |
| Beom R. H. et. al. 1995 | Fuzzy Lojik ve geliştirilmiş öğrenme işlemi kullanan robotun yol üzerindeki hareketinin denetlenmesi | Bilgisayar, Ultrasonik sensörler, 8031 mikrodnetleyicisi | Sensörler ise uzaklık ve yön tayini yapmak için , Mikrodnetleyici sensörlerden gelen bilgiyi bilgisayara seri yoldan göndermek için kullanılmıştır. |



| Makale Yazarı ve Tarih | Yapılan Çalışma | Uygulamada kullanılan donanım ve malzemeler | İlave açıklamalar |
|----------------------------|---|--|---|
| Corbet T. et. al. 1996 | Endüstriyel hidrolik Robot Kontrolü | Bilgisayar, Unimate MK-II hidrolik robot ve DAC, ADC (Bit sayısı belirtilmemiş.) | — |
| Huang T.C. et. al. 1996 | Çok katmanlı Fuzzy lojik denetleyici kullanarak indüksiyon motorunun yüksek randımanlı hız ve pozisyon kontrolü | Bilgisayar ve Mikrodenetleyici. (Mikrodenetleyicinin adı belirtilmemiş.) | İndüksiyon motorundan alınan bilgilerin bilgisayara seri yoldan gönderilmesi için mikrodenetleyici kullanılmış. |
| Wu Z. Q. et. al. 1990 | Sıvı yakıtlı tavlama fırının denetlenmesi | Apple II bilgisayar | Bilgisayar içerisinde Mikroişlemci kartı, Monitör, Disk sürücü, DAC, ADC ve ayrıca yazıcı, bulunmaktadır. |
| Maeda M. et. al. 1991 | Robotun belirli bir yol üzerindeki hareketinin kontrolü | Robot, CCD kamera, TV monitör, Bilgisayar | Programlar BASIC ve makine dilinde yazılmıştır. |
| Hara K. et. al. 1991 | Perçin yerleştirme işlemi | NEC PC-9801VM2 Bilgisayar, HZ NM-6620S robot kolu | Robot ile bilgisayar haberleşmesinde RS232 standardı kullanılmış. |

| Makale Yazarı ve Tarih | Yapılan Çalışma | Uygulamada kullanılan donanım ve malzemeler | İlave açıklamalar |
|---------------------------|--|--|---|
| Liaw C. M. et. al. 1995 | Serbest iki dereceli fuzzy denetleyici ile İndüksiyon motor hız kontrolü | 80386/387 mikroişlemcili bilgisayar | — |
| Sousa G.C.D. et. al. 1995 | İndirekt Vektör kontrollu İndüksiyon motorunun hız kontrolünde fuzzy lojik tabanlı gelişmiş denetleyici tasarımı | Texas TMS320C25 DSP kontrol kartı | Temel vektör kontrol çevrim örnekleme zamanı 200 μ S 'dir. |
| Lu Y. S. et. al. 1994 | Tek eksenli magnetik süspansiyon sistemi için Fuzzy kayma mod denetleyicisi | DASH 16F Bilgisayar | Bilgisayar içerisinde 12 bit ardışıl yaklaşımlı, 8 μ S çevirim zamanlı. ADC, 12 Bit DAC mevcuttur. Uygulamada magnetik devre vasıtasıyla çeşitli ağırlıktaki metal kütleler aşağıda belirli bir mesafede tutulmuştur. |
| Yen Y.J. et. al. 1993 | Sabit disk üzerindeki izlerin takip edilmesi | Zentek 3100 sabit diski, Texas TMS320C30 DSP kartı | Sabit disk 120 Mbayt kapasitesindedir. DSP kartı üzerinde 4096x32 bit ROM, 2048x32 bit RAM bulunmaktadır. Saat darbesi frekansı 33.3 MHz 'dir. |

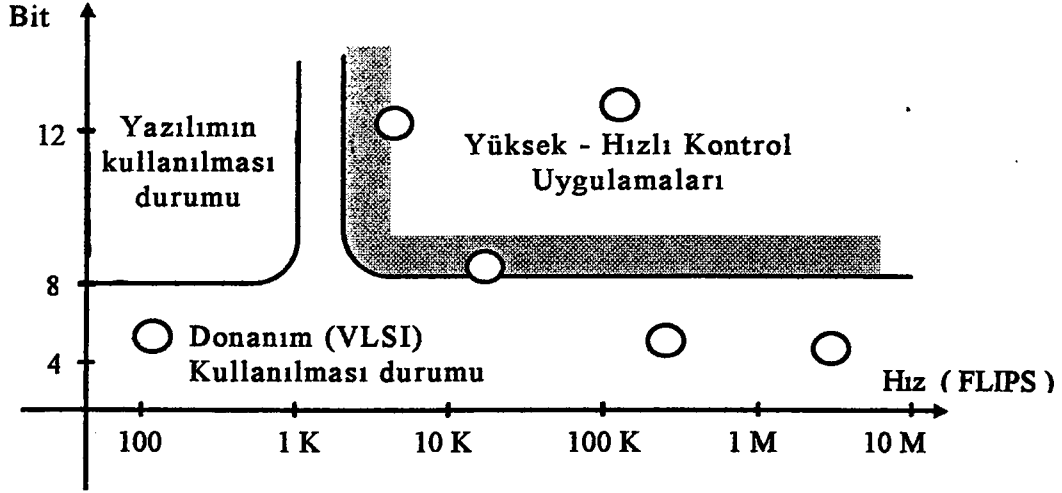
| Makale Yazarı ve Tarih | Yapılan Çalışma | Uygulamada kullanılan donanım ve malzemeler | İlave açıklamalar |
|------------------------------|---|---|--|
| Hilloowala R.M. et. al. 1996 | Rüzgar gücü ile çalışan elektrik üreten sistemin denetlenmesi | Bilgisayar, içerisinde DAC ve ADC bulunan DT2821 kartı, rüzgar tribünü, İndüksiyon jeneratörü, köprü tipi doğrultucu, PWM inverter, transformatör ve yük | — |
| Guillemin P. 1996 | DC motor hız kontrolü | SGS-Thomson ST6 (ST6265-8 bit) mikrodnetleyici, FuzzyTECH yazılım programı, 400 W gücünde DC motor, Analog takometre | Mikrodnetleyicide PWM ,zamanlayıcı, ADC ve portlar mevcuttur. Kuralları, sözel değişkenleri ve üyelik fonksiyonlarını belirleyip derlemek için FuzzyTECH programı kullanılmış, Motor devri ST6 tarafından okunup 9600 Baud hızında bilgisayara gönderilmiştir. Motorun yüklü ve yüksüz durumları için devir eğrileri çizdirilmiştir. |
| Cheng F.F. et. al. 1993 | A.C. motor servo sistemin hız kontrolü | Intel 80196 mikrodnetleyicisi, Sürücü devre için M57918LS, inverter için FM50 DY-10 MOSFETS, Stator akımı için LT100p Hall effect sensörü, 2 Hp'lik İndüksiyon motoru | 80196 Mikrodnetleyicide 8 kanal 10 bit ADC, PWM çıkışı, , yüksek hızlı Giriş/Çıkış portları bulunduğdan bu denetleme işlemi için çok uygun olduğu belirtilmiştir. |

| Makale Yazarı ve Tarih | Yapılan Çalışma | Uygulamada kullanılan donanım ve malzemeler | İlave açıklamalar |
|---------------------------|--|---|---|
| Stenz R. et. al. 1995 | Kimya endüstrisinde damıtma işleminin denetlenmesinde | Bilgisayar, ADC ve DAC (Bit sayısı belirtilmemiş), Shell Fuzzy Tech yazılım programı | Shell Fuzzy Tech programında sözel değişkenler kullanıcı tarafından belirlenir ve üyelik fonksiyonları grafiksel olarak tanımlanır. Bu programda üyelik fonksiyonlarını, fuzzy lojik işlemcilerini ve netleştirme işlemlerini kullanarak gerekli verilerin elde edilmesi için hazır bir C programı mevcuttur. |
| Surman H. et. al. 1996 | Nikel-Kadmiyum pillerinin sarj işlemi için Fuzzy denetleyici kullanılması | SGS-Thomson ST6 mikrodenetleyicisi | Yüksek güce sahip NiCd pili 6A akım ile yaklaşık 10 Dakikada sarj edilmiştir. |
| Reay D.S. et. al. 1995 | Fuzzy adaptif sistem kullanılarak anahtarlama relüktans motorun hızının denetlenmesi | Texas TMS320C25 DSP | Bu çalışmada motorun düşük ve orta hızlarında DSP ile denetleme işleminin iyi sonuç verdiği belirtilmiştir. Fakat yüksek hızlarda daha iyi sonuç alabilmek için yüksek hızlı mikrodenetleyici kullanılması önerilmiştir. |

| Makale Yazarı ve Tarih | Yapılan Çalışma | Uygulamada kullanılan donanım ve malzemeler | İlave açıklamalar |
|-------------------------|--|--|--|
| Suyitno A. et. al. 1993 | Bir servomotorun kontrolü için Fuzzy lojik kullanılarak değişken yapılı güçlendirilmiş denetleyici | Texas TMS320C14E DSP, 8086 mikroişlemcili bilgisayar, ADC, DAC, 7.5 kW, 200 V, 600 Hz, 4p ve 1800 d / dak İndüksiyon motoru, yük olarak 15kW'lık DC makine | Algoritma için bilgisayarda yazılan program seri yoldan DSP kartına gönderilmiş ve DSP üzerinde çalıştırılmıştır. Örnekleme zamanı 100 μ S 'dir. |

Tablodaki uygulamalarda denetleme işlemi mikrodenetleyici, dijital sinyal işlemcisi veya bilgisayar kullanılarak gerçekleştirilmiştir. Fuzzy lojik denetleme işlemi için donanım olarak fuzzy işlemcisi veya fuzzy çıkarım kartı kullanılmamıştır. Denetleme algoritması yazılım ile sağlanmıştır. Yazılım ile yapılan fuzzy lojik denetleme işlemi donanım kullanılarak yapılan denetleme işlemine göre yavaş kalmaktadır (Kazuo et. al. 1993). Yüksek hızlı kontrol uygulamasında çıkarım hızının fazla olması gerekmektedir. Bu durum Şekil.1 'de görülmektedir. Yazılım kullanılması durumunda hassasiyet 8 bit veya daha yukarısında çıkarım hızı en fazla 1 KFLIPS olmaktadır. Fakat donanım kullanıldığında ve hassasiyet 8 bit veya daha yukarısı seçildiğinde çıkarım hızı artmakta aynı zamanda yüksek hızlı kontrol işlemleri bölgesine gelmektedir. Bu bölgede çıkarım hızı 10 KFLIPS ve 10 MFLIPS yukarıdır. Küçük daireler ile gösterilen noktalar çeşitli fuzzy işlemcilerin çıkarım hızını ve hassasiyetlerini gösterir. Tezde kullanılan fuzzy işlemci 12 bit hassasiyetindedir.





Şekil 1

Yukarıdaki tabloda motor hız uygulamalarında yalnız bir motor alınmış denetleme yapılmıştır. Gücü fazla olan motorlar tercih edilmiştir. Fakat bu tezde kullanılan motorların gücü oldukça küçüktür. Böyle olmasının nedeni laboratuvar imkanlarının kısıtlı olmasından dolayıdır. Sonuçta yine hız kontrolü yapılmıştır. Ayrıca tek motorun hızı yerine ayrı iki motor hızı değerlendirilmiş ve denetleme işlemi buna göre yapılmıştır.

Bu sistemde diğer fuzzy denetleme çalışmalarının deneysel yapılabilmesi mümkündür. Yapılacak olan çalışmalarda sistem matematiksel olarak modellendikten sonra bilgisayarda simulasyon çalışması yapılabilir. Bu simulasyon çalışmadan sonra bu sistem üzerinde deneysel olarak uygulamak mümkündür. Sistemde yeni kartlara ihtiyaç duyulduğunda sisteme ilave edebilmesi mümkündür. Çalışmada gerçel zamanda elde edilen verilerin bilgisayara seri yoldan gönderilip grafiksel olarak eğrilerin çizdirilip incelenebilir

1.2.Fuzzy İşlemci Tasarımı İçin Yapılan makale Çalışmaları ve İşlemcilerin Özellikleri:

Fuzzy lojik kontrol ile ilgili ilk uygulamalar bilgisayar üzerinde paket yazılım programaları kullanılarak gerçekleştirildi. Fakat bu durum kontrol olayının istenildiği kadar hızlı olmamasına ve yazılımın uzunluğunun artmasına neden oluyordu. Daha sonra fuzzy lojik kontrol işlemi donanım kullanarak gerçekleştiren fuzzy işlemciler geliştirilmeye başlandı. Böylece kontrol işlemi için yazılan yazılımların uzunlukları daha da azaldı. Bu işlemciler kontrol kurallarını saklayacak ve işleyecek biçimde tasarlanmışlardır. 1985 yılında Masaki Togai ve Hiroyaki Watanabe, AT&T Bell laboratuvarında ilk sayısal fuzzy işlemciyi gerçekleştirdiler. Bu işlemci 12.5 μ s 'de 16 basit kuralı işleme kapasitesine sahipti. Daha sonra Togai, InfraLogic Inc., fuzzy hesap hızlandırıcısı donanımıyla saniyede iki milyon kuralı işleyen işlemciler üretmiştir. Mikroişlemci firmalarının çoğu fuzzy işlemci üzerinde araştırma projeleri başlatmıştır. Sonra Yamakawa bu konu üzerindeki çalışmaları geliştirmiştir,(Yamakawa,1988).Ayrıca OMRON, TEXAS ve SGS-THOMSON firmaları yeni fuzzy işlemciler üretmiştir.

Aşağıdaki tabloda ilgili makalede çalışması yapılan fuzzy işlemcilerin teknik özellikleri bu makalede verilen bilgiler kapasitesinde belirlenmiştir.

Tablo 1.2. Fuzzy işlemci tasarımı için yapılan makale çalışmaları

| Makale Yazarı ve tarihi | Fuzzy İşlemcinin makalede belirtilen teknik özellik ve kapasitesi |
|----------------------------|---|
| Huertas J. L. et. al. 1996 | Giriş: 2 Çıkış: 1 Hızı: 2 MFLIPS Türü: Analog |

| Makale Yazarı ve tarihi | Fuzzy İşlemcinin makalede belirtilen teknik özellik ve kapasitesi |
|---------------------------|---|
| Eichfeld H. et. al. 1996. | <p>İşlemci adı: SAE81C991 Evrensel Kümedeki Giriş Giriş: 4096 Üyelik fonk.:sayısı: 15360 Çıkış: 1024 Evrensel Kümedeki Çıkış Çalışma modu: 10 Üyelik fonk. sayısı: 1024 Kural sayısı: 131 072 Üyelik fonk. şekil sayısı: Osilatör frekansı: 25 MHz Keyfi, sınırsız Hızı: 10 Milyon Kural /sn Netleştirme yöntemi: 4 Hassasiyet: 12 Bit Bacak sayısı: 68 pin İç ROM:144x12b(MASK) Türü: Dijital İç RAM:4 Kx16 Bit Firma: Siemens AG</p> |
| Eichfeld H. et. al. 1995. | <p>İşlemcinin adı: SAE81C99 Hassasiyet: 8 Bit Giriş: 256 İç ROM: 64 Kbit Çıkış: 64 İç RAM: 256x6 Bit Çalışma modu: 4 Türü: Dijital Kural sayısı: 16 384 Firma: Siemens AG Osilatör frekansı: 20 MHz Hızı: 10 Milyon Kural /sn</p> |
| Guo, S., et. al. 1996. | <p>Giriş: 3 Çıkış: 1 Kural sayısı: 13 Hızı: 6 M FLIPS Türü: Analog</p> |

| Makale Yazarı ve tarihi | Fuzzy İşlemcinin makalede belirtilen teknik özellik ve kapasitesi |
|---|---|
| <p>SGS - Thomson Information Sheet 1996</p> | <p>Giriş: 3 Çıkış: 3 Kural sayısı: 16 Evrensel kümede için üyelik fonk. sayısı: 15 Giriş için üyelik fonk. şekil sayısı: 2 (Üçgen ve yamuk) Çıkış için üyelik fonk. grafiği: Tek nokta Bacak sayısı: 28 Türü: Analog Firma: SGS - Thomson</p> |
| <p>Ascia G. et. al. 1996</p> | <p>Giriş: 8 Çıkış: 8 Kural sayısı: 64 Hızı: 468 KFLIPS Osilatör frekansı: 60 MHz Türü: Analog</p> |
| <p>Costa A. et. al. 1996</p> | <p>Giriş: 5 Çıkış: 1 Kural sayısı: 75 Osilatör frekansı: 75 MHz Evrensel kümedeki üyelik fonk. sayısı: 5 Türü: Dijital</p> |



| Makale Yazarı ve tarihi | Fuzzy İşlemcinin makalede belirtilen teknik özellik ve kapasitesi |
|-----------------------------|--|
| Russo G. et. al. 1996 | Giriş: 6 Çıkış: 2 Kural sayısı: 15 Osilatör frekansı: 40 MHz Hassasiyet: 5 bit Türü: Dijital |
| Huertas J. L. et. al. 1996 | Giriş: 2 Çıkış: 1 Hızı: 2 MFLIPS Türü: Analog |
| Fattaruso J. W. et.al. 1994 | Giriş: 8 Çıkış: 4 Kural sayısı: 32 Türü: Analog - Dijital |
| Manaresi N. et. al. 1996 | Giriş: 2 Çıkış: 2 Kural sayısı: 25 Türü: Analog n giriş, m çıkış ve r kural bulunan genel bir yapı üzerinde çalışılmıştır. |



| Makale Yazarı ve tarihi | Fuzzy İşlemcinin makalede belirtilen teknik özellik ve kapasitesi |
|--|--|
| NeuraLogix, Information sheet 1992 | <p>İşlemci adı: NLX230</p> <p>Giriş: 8</p> <p>Çıkış: 8</p> <p>Kural sayısı: 64</p> <p>Hızı: 30 Milyon Kural/sn</p> <p>Türü: Analog</p> <p>Firma: American Neura Logic Inc.</p> |
| Lee S. et al. 1994 (Makalenin giriş bölümünde bu işlemcinin özellikleri kısaca anlatılmıştır.) | <p>İşlemci adı: FP5000</p> <p>Hızı: 500 MFLIPS</p> <p>Türü: Dijital</p> <p>Firma: OMRON</p> |
| SGS-Thomson Advenced Data , 1994 | <p>İşlemci adı: W.A.R.P. 1.1</p> <p>Giriş: 4</p> <p>Çıkış: 1</p> <p>Giriş hassasiyeti: 7 bit</p> <p>Çıkış hassasiyeti: 10 bit</p> <p>Kural sayısı: 256</p> <p>Osilatör frekansı: 40 MHz</p> <p>Bacak sayısı: 64</p> <p>Türü: Dijital</p> <p>Firma: SGS-Thomson</p> |



| Makale Yazarı ve tarihi | Fuzzy İşlemcinin makalede belirtilen teknik özellik ve kapasitesi |
|-------------------------------|--|
| Hollstein, T. et. al. 1996 | İşlemci adı:XC4006 Giriş: 128 Çıkış: 4 Kural sayısı: 256 Evrensel kümede giriş için üyelik fonk. sayısı: 256 Hızı: 1.25 Milyon kural/sn Türü: Analog, Dijital |
| Ascia, et. al. 1996. | Giriş : 4 Çıkış: 1 Evrensel kümede kullanılabilen sözel değişkenler: 64 Üyelik Fonksiyonu sayısı: 8 Osilatör Frekansı: 50 MHz Hızı: 50 Milyon Kural/sn Türü: Analog |
| Nakamura K. et. al. 1993 | Giriş: 2 Çıkış: 1 Hassasiyet: Giriş 12 bit , Çıkış 16 Bit Üyelik Fonksiyonu Sayısı: 30 000 Hızı: 200 KFLIPS Kural sayısı: 15 000 'den fazla Osilatör Frekansı: 20 MHz Bacak Sayısı: 80 Türü: Dijital Firma: Mutsubishi Electric Corporation |



Tezde kullanılan FP-3000, fuzzy işlemciler arasında teknik özellikler bakımından üst sıralarda yer almaktadır. Fakat Siemens firmasının SAE81C991 ve FP3000 'nün bir sonraki sürümü olan FP-5000 en başta gelen işlemcilerdir. Tabloda bulunan makalelerde sadece fuzzy işlemcinin tasarımı için çalışılmış mikrodenetleyicili bir uygulama yapılmamıştır.

Fuzzy işlemciler mikrodenetleyiciler ile beraber kullanıldığı zaman fuzzy lojik kontrol işleminin daha kolaylıkla gerçekleştirilmesi ve gerçekleştirme maliyetinin düşmesine neden olmuştur. Fuzzy işlemci ile beraber çalışacak 16 bitlik mikrodenetleyici 8XC196KC/KD seçilmiştir. İşlemci 12 bitlik olduğu ve işlemleri daha kolaylıkla hızlı yapabilmek için böyle bir tercih yapılmıştır. Ayrıca bu denetleyicinin içerisinde zamanlayıcı, dijital analog çevirici gibi çeşitli üniteler bulunmasından dolayı endüstriyel uygulamalarda ihtiyaçlara cevap verebilecek kapasitededir.. Fuzzy lojik ile kontrol edilen sistemlerde giriş bilgilerini okuyabilmek için algılayıcılara ihtiyaç vardır. Kullanılan denetleyici algılayıcılardan gelen bilgiyi almaya elverişli yapıdadır.

Bu çalışmada önce fuzzy küme teorisi anlatılmıştır. Temel işlemler hakkında bilgi verilir. Ayrıca fuzzy lojik kontrol olayı için ana konularından biri olan çıkarım teknikleri üzerinde durulur ve bir uygulama üzerinde çıkarım işlemi grafiksel ve cebirsel olarak anlatılır. Çıkarım işlemi sonucundaki ifadeden bir sonuç değeri elde edebilmek için netleştirme yöntemleri verilir. Bu bölümde son olarak fuzzy lojik kontrol sisteminin tasarımı için gerekli bilgiler anlatılır.

Sonraki bölümde mikrodenetleyici tanıtılır. Denetleyicinin adresleme türleri, özel bellek adresleri, kaydedicileri ve pencereleme teknikleri incelenir. Ayrıca adres ve veri yolunu kullanma şekilleri şemaları ile birlikte açıklanır. Daha sonra mikrodenetleyicinin donanım şeması tasarlanır ve gerçekleştirilir. Bu devre üzerinde program yazabilmek için gösterge ve tuş takımı ilave edilmiştir. Daha sonra



makina dili programların kodlarını sistemin yazılır silinir belleğe yazabilmek monitor programı yazılmış ve program akış diyagramı verilmiştir. Seri port şartlanırken kullanılan kaydedicilerin fonksiyonları incelenir. Bilgisayarda yazılan bir programın seri porttan denetleyiciye gönderilebilmesi için mikrodenetleyicide bulunan seri port ünitesi hakkında bilgi verilir. Bilgisayarda yazılan makine dili programın mikrodenetleyicili sisteme gönderen programın akış diyagramı anlatılır. İleride fuzzy lojik kontrol uygulamasında kullanılacak olan zamanlayıcılar ve zamanlayıcılara ilişkin kaydediciler incelenir.

Devreye ilave edilecek fuzzy işlemci kartının en önemli elemanı olan fuzzy işlemcinin özellikleri incelenir. İşlemcinin bacaklarının işlevleri ve özel adres bölgeleri tanıtılır. Mikrodenetleyiciye bağlanmak üzere fuzzy işlemcili ünitenin yapısı anlatılır. Bilgisayarda kontrol edilecek sisteme ait kurallar ve üyelik fonksiyolarının derlenmesinde oluşan bilgi tabanı verilerinin mikrodenetleyicili sisteme gönderilmesi ile ilgili programın akış diyagramı açıklanır.

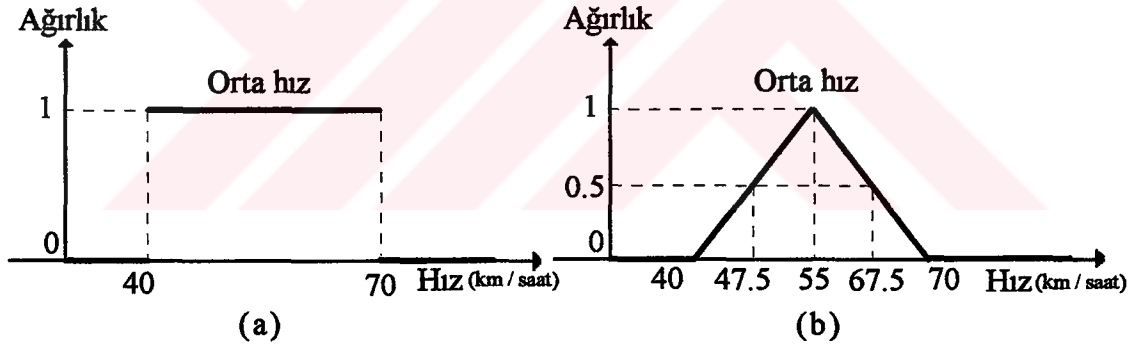
Son olarak dijital analog çevirici kullanılarak iki motorlu bir sistem üzerinde fuzzy lojik uygulama programının akış diyagramı anlatılır.



2. FUZZY KÜME TEORİSİ

2.1.Fuzzy küme kavramı

Bilindiği gibi klasik (keskin) mantıkta bir olayın olabilirlik derecesi 1 (var) ve 0 (yok) olmak üzere iki çeşittir. Dolayısıyla klasik mantıkta olayın olabilirlik derecesi 0 ile 1 arasında herhangi bir değer alamaz. Olay olarak hız düşünülecek olursa, 40 km/saat ve 70 km/saat arası orta hız olarak kabul edilirse bu durumda şekil 2.1.a 'da gösterildiği gibi klasik mantıkta 40 km/saat ve 70 km/saat dahil olmak üzere bu iki değer arasındaki her hız değeri orta hız olarak kabul edilir. Yani bu değerlerin olabilirliği 1 olur. Sınır hız değerleri arasında yorum yapmak mümkün değildir. Bu durumu daha olumlu hale getirmek için Fuzzy Mantık kullanılır.



Şekil 2.1 Klasik ve Fuzzy mantıkta hız grafiği

Fuzzy mantıkta sınır ve ara değerler için yalnız bir durum yoktur. Olabilirlik derecesi $[0,1]$ arasında çeşitli değerler alabilir. Çok seviyeli mantığın bir çeşidi olarak görülebilir. Şekil 2.b 'de gösterildiği gibi 40-70 km/saat arası yine orta hız olarak kabul edilirse bu iki değer arasındaki hızların olabilirlik dereceleri değişik değerlere sahiptir. Bu durumda 40 km/saat ve 70 km/saat hızlarının olabilirlik derecesi 0 olur. Yani orta hız sayılmazlar. 55 km/saat hızının olabilirlik derecesi 1 'dir. Yani bu değer tam orta hız sayılır. Dolayısıyla bir

değerden diğer bir değere daha yumuşak keskin olmayan geçiş sağlanmış olur. Ayrıca 47.5 km/saat ve 67.5 km/saat hızlarının olabilirlik derecesi 0.5 'tir. Bu hız değerleri noktalarına geçiş noktası adı verilir. Fuzzy mantıkta Şekil 2.1.b 'de gösterilen eğriye üyelik fonksiyonu denir. Hız ekseninde başka hız grupları için üyelik fonksiyonları gösterilebilir. (çok yavaş ,yavaş, orta, hızlı, çok hızlı gibi.) Hız eksenindeki tüm hız değerlerinin bulunduğu küme hız için evrensel küme olarak adlandırılır. Her hızın üyelik fonksiyonunda aldığı olabilirlik derecesi, üyelik ağırlığı olarak isimlendirilir. Ayrıca orta hız üyelik fonksiyonu evrensel kümenin her elemanı ve bu elemana karşılık gelen üyelik ağırlığı ile matematiksel olarak gösterilebilir. Yine orta hız üyelik fonksiyonu hız evrensel kümesinin bir fuzzy alt kümesidir.

2.2. Fuzzy kümelerde teorik işlemler

Fuzzy kümelerin teorik işlemler oldukça fazladır. Fakat bu çalışmada sadece belirli bir kısım teorik işlemler anlatılacaktır, (Ross, 1995).

2.2.1. Fuzzy kümenin matematiksel gösterilimi

Bir X evrensel kümesindeki bir A fuzzy küme $[0,1]$ aralığında değer alan μ_A üyelik fonksiyonu tarafından karakterize edilir. Bu yüzden X 'deki A fuzzy küme bir x ve x 'in şekil 2.2'de gösterilen üyelik fonksiyonu tarafından belirlenen ağırlığı ile beraber tarif edilir. Yani;

$$A = \{(x, \mu_A(x)) \mid x \in X\} \quad (2.1)$$

olur.



2.2.3. Kesişme özelliği

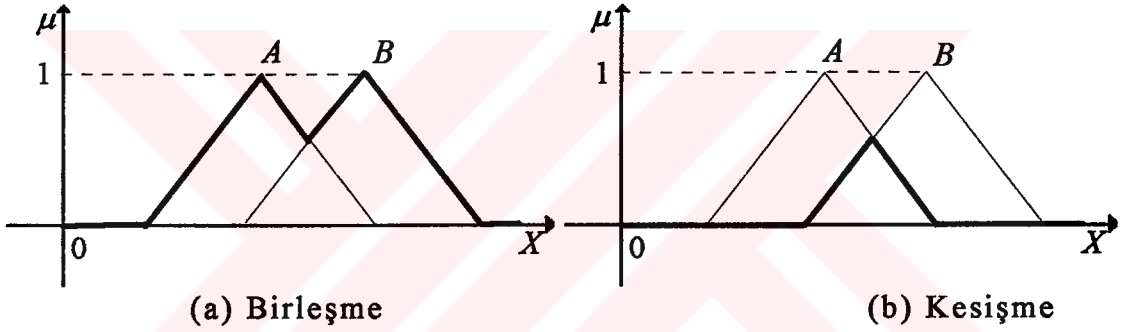
$A \cap B$ kesişimin üyelik fonksiyonu $\mu_{A \cap B}(x)$ üyelik fonksiyonu, $x \in X$ 'in her değeri için ;

$$\mu_{A \cap B}(x) = \mu_A(x) \wedge \mu_B(x) \quad (2.6)$$

veya;

$$\mu_{A \cap B}(x) = \min \{ \mu_A(x), \mu_B(x) \} \quad (2.7)$$

şeklinde gösterilebilir. Kesişme özelliği şekil 2.3.b 'deki gibi grafiksel olarak gösterilebilir.



Şekil 2.3. Birleşme ve kesişme özelliği

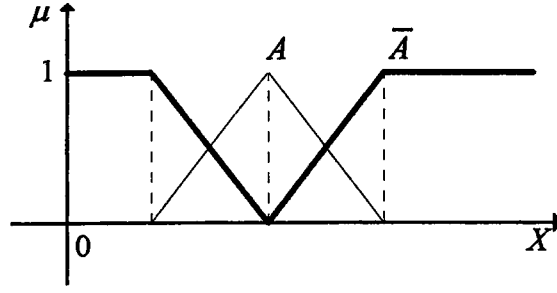
2.2.4. Evrik alma özelliği

Bulanık A kümesinin evriğini $x \in X$ 'in her değeri için $\mu_A(x)$ üyelik fonksiyonu türünden aşağıdaki gibi gösterilir.

$$\mu_{\bar{A}}(x) = 1 - \mu_A(x) \quad (2.8)$$

Evrik alma özelliği şekil 2.4 'deki gibi grafiksel olarak gösterilebilir.





Şekil 2.4. Evrik alma özelliği

2.2.5. Üs alma özelliği

Fuzzy A kümesinin $x \in X$ 'in her değeri için α . dereceden üssü;

$$A^\alpha = \sum_i \frac{[\mu_A(x_i)]^\alpha}{x_i} \quad (2.9)$$

şeklinde ifade edilir.

2.2.6. Pozitif α sayısı ile çarpma özelliği

Fuzzy A kümesinin $x \in X$ 'in her değeri için pozitif α sayısı ile çarpma;

$$\alpha.A = \sum_i \frac{\alpha.\mu_A(x_i)}{x_i} \quad (2.10)$$

şeklinde gösterilir.

2.3. Fuzzy Kümeler Arasındaki Mesafe

İki fuzzy küme arasındaki mesafe iki fuzzy kümenin eşit veya farklı olup olmadığını belirten bir işlemdir.

2. A ve B kümeleri arasında normalize edilmiş lineer mesafe;

$$d_{nl}(A,B) = \left(\frac{1}{n}\right) \sum_{i=1}^n |\mu_A(x_i) - \mu_B(x_i)| \quad (2.11)$$

şeklinde tanımlanır.

2. A ve B kümeleri arasında normalize edilmiş ikinci dereceden mesafe;



$$d_{mi}(A,B) = \left(\frac{1}{n}\right) \left[\sum_{i=1}^n |\mu_A(x_i) - \mu_B(x_i)|^2 \right]^{0.5} \quad (2.12)$$

şeklinde gösterilir.

2.4. Klasik ve Fuzzy bağıntılar

2.4.1. Klasik bağıntılar

2.4.1.1. Kartezyen çarpım

X ve Y belirli elemana sahip iki evrensel küme ise bunların kartezyen çarpımı;

$$X \times Y = \{(x,y) \mid x \in X, y \in Y\} \quad (2.13)$$

şeklindedir. Kartezyen çarpım X kümesindeki her elemana karşılık Y kümesindeki her eleman ile oluşturulan ikilileri kapsar. Göz önüne alınan herhangi bir eleman $X \times Y$ kartezyen çarpımındaki kümeye ait ise ağırlığı 1, aksi takdirde ağırlığı 0 olarak gösterilir. Yani;

$$\chi_{X \times Y}(x,y) = \begin{cases} 1, & (x,y) \in X \times Y \\ 0, & (x,y) \notin X \times Y \end{cases} \quad (2.14)$$

şeklinde ifade edilir. $X \times Y$ kartezyen çarpımı küme bağıntı matrisi olarak gösterilebilir. $X = \{1, 2, 3\}$ ve $Y = \{a, b, c\}$ şeklinde kümeler ise $X \times Y$ kartezyen çarpımında oluşan bağıntı kümesi ve bağıntı matrisi aşağıdaki gibi olur.

$$X \times Y = \{(1,a), (1,b), (1,c), (2,a), (2,b), (2,c), (3,a), (3,b), (3,c)\} \quad (2.15)$$

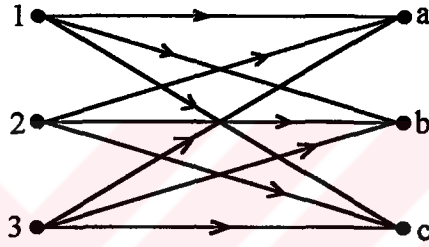
$$R = \begin{matrix} & \begin{matrix} a & b & c \end{matrix} \\ \begin{matrix} 1 \\ 2 \\ 3 \end{matrix} & \begin{bmatrix} 1 & 1 & 1 \\ 1 & 1 & 1 \\ 1 & 1 & 1 \end{bmatrix} \end{matrix} \quad (2.16)$$



Bağıntı matrisi şekil 2.4. 'deki gibi ağ yapısı şeklinde gösterilebilir. Eğer sadece $X \times Y$ kartezyen çarpımında oluşan kümenin alt kümesi olan bir bağıntıyı sadece üyelik ağırlıkları ile ifade edersek;

$$\chi_{X \times Y}(x, y) = \begin{cases} 1, & (x, y) \in R \\ 0, & (x, y) \notin R \end{cases} \quad (2.17)$$

şeklinde gösterilir ve bağıntı $X \times Y$ kartezyen çarpımında oluşan kümenin alt kümesi olduğu için $R \subset X \times Y$ ifadesi yazılabilir.



Şekil 2.4 X ve Y kümeleri için bağıntı ağı

2.4.1.2. Klasik bağıntılarda işlemler

$X \times Y$ kartezyen çarpımın alt kümeleri olan R ve S keskin bağıntıları için aşağıdaki teorik işlemler verilebilir.

$$\begin{aligned} \text{Birleşme: } R \cup S &\rightarrow \chi_{R \cup S}(x, y): \chi_{R \cup S}(x, y) = \max[\chi_R(x, y), \chi_S(x, y)] \\ \text{Kesişim: } R \cap S &\rightarrow \chi_{R \cap S}(x, y): \chi_{R \cap S}(x, y) = \min[\chi_R(x, y), \chi_S(x, y)] \\ \text{Evrik alma: } R &\rightarrow \chi_{\bar{R}}(x, y): \chi_{\bar{R}}(x, y) = 1 - \chi_R(x, y) \\ \text{Kapsama: } R \subset S &\rightarrow \chi_R(x, y): \chi_R(x, y) \leq \chi_S(x, y) \end{aligned} \quad (2.18)$$

2.4.1.3. Klasik bağıntılarda kompozisyon

$X \times Y$ kartezyen çarpımın bir alt kümesi R bağıntısı ve $Y \times Z$ kartezyen çarpımın bir alt kümesi S bağıntısı olsun. R bağıntısında S bağıntısından farklı olarak X evrensel kümesi ve S bağıntısında R bağıntısından farklı olarak Z evrensel kümesi vardır. Eğer bu bağıntılardan yararlanarak $X \times Z$ kartezyen çarpımındaki T bağıntısının

hesaplanması istenilirse kompozisyon işlemi kullanılır. Kompozisyon max-min ve max-çarpma kompozisyonu olarak iki değişik şekilde gösterilir.

$$T = R \circ S \quad (2.19)$$

Burada \circ kompozisyon işlemcisini gösterir. Kompozisyon işlemi sonucunda oluşan T bağıntısının ağırlıkları aşağıdaki ifadeler ile hesaplanır.

Max-min kompozisyonu ;

$$\chi_T(x, z) = \bigvee_{y \in E} \chi_R(x, y) \wedge \chi_S(y, z) \quad (2.20)$$

veya ;

$$\chi_T(x, z) = \max_{y \in E} \left\{ \min \left[\chi_R(x, y), \chi_S(y, z) \right] \right\} \quad (2.21)$$

Max-Çarpım kompozisyonu ;

$$\chi_T(x, z) = \bigvee_{y \in E} \chi_R(x, y) \bullet \chi_S(y, z) \quad (2.22)$$

veya ;

$$\chi_T(x, z) = \max_{y \in E} \left\{ \chi_R(x, y) \bullet \chi_S(y, z) \right\} \quad (2.23)$$

Burada \bullet normal çarpma işlemi göstermektedir.

2.4.2. Fuzzy bağıntı

Bu bağıntılar ve işlemler klasik bağıntılara benzerdir. Bağıntılarda ağırlıklar $[0,1]$ arasında değişir ve $\mu_R(x, y)$ üyelik fonksiyonu ile ifade edilirler.

2.4.2.1. Kartezyen çarpım

A fuzzy kümesi X evrensel kümesinin, B fuzzy kümesi Y evrensel kümesinin alt kümeleri ise $A \times B$ ile gösterilen A ile B 'nin kartezyen çarpımı R bağıntısı olarak ifade edilir .

$$A \times B = R \subset X \times Y \quad (2.24)$$



ve R bulanık bağıntısının üyelik fonksiyonu;

$$\mu_R(x, y) = \mu_{A \times B}(x, y) = \min\{\mu_A(x), \mu_B(y)\} \quad (2.25)$$

şeklinde gösterilir.

Fuzzy bağıntılar arasındaki özellikler klasik bağıntılardaki gibidir.

2.4.2.2. Fuzzy bağıntılarda kompozisyon

R , $X \times Y$ kartezyen çarpımının bir fuzzy bağıntısı ve S , $Y \times Z$ kartezyen çarpımının bir fuzzy bağıntısı ise $X \times Z$ kartezyen çarpımının T fuzzy bağıntısı klasik bağıntılarda anlatıldığı gibi gösterilebilir .

$$T = R \circ S \quad (2.26)$$

Max-min kompozisyonu ;

$$\mu_T(x, z) = \bigvee_{y \in Y} \mu_R(x, y) \wedge \mu_S(y, z) \quad (2.27)$$

veya;

$$\mu_T(x, z) = \max_{y \in Y} \left\{ \min[\mu_R(x, y), \mu_S(y, z)] \right\} \quad (2.28)$$

Max-Çarpım kompozisyonu ;

$$\mu_T(x, z) = \bigvee_{y \in Y} \mu_R(x, y) \cdot \mu_S(y, z) \quad (2.29)$$

veya;

$$\mu_T(x, z) = \max_{y \in Y} \left\{ \mu_R(x, y) \cdot \mu_S(y, z) \right\} \quad (2.30)$$

2.4.2.3. Fuzzy çıkarım kompozisyonu

R , X 'den Y 'ye Fuzzy bağıntı, x , X evrensel kümenin fuzzy alt kümesi ve y , Y evrensel kümenin fuzzy alt kümesi ise ;

$$y = x \circ R \quad (2.31)$$

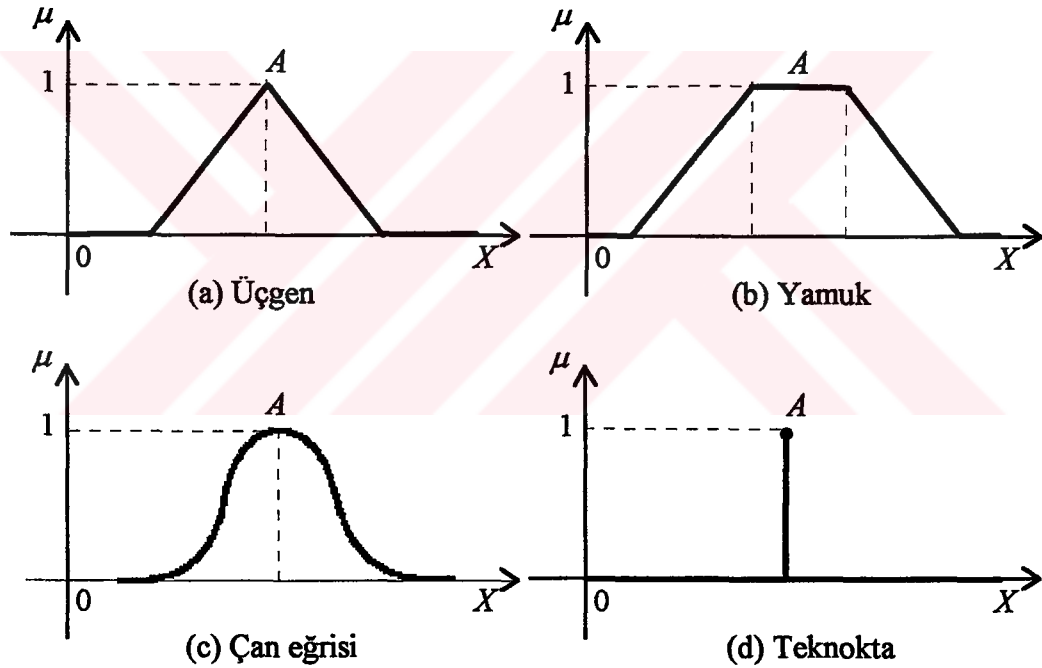
ifadesi çıkarım kompozisyonunu gösterir. Burada $x \circ R$, x ve R 'nin max-min kompozisyonudur.



2.5. Üyelik fonksiyonları

2.5.1. Üyelik fonksiyonu kavramı ve çeşitleri

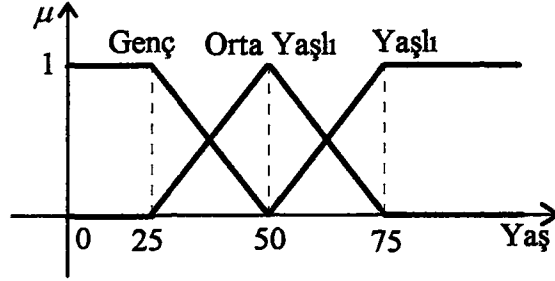
Evrensel kümenin alt kümesi olan fuzzy kümenin üyelerine karşılık gelen ağırlıklar eğri şeklinde gösterilebilir. Bu eğriler üyelik fonksiyonu olarak adlandırılır. Evrensel kümede sadece elemanlara karşılık ağırlıklar alınırsa üyelik fonksiyonu söz konusu olur. Şayet küme eleman ve bu elemana karşılık gelen ağırlık ile beraber gösterilirse bu takdirde bu küme bir fuzzy alt kümeyi teşkil eder.



Şekil 2.5 Değişik üyelik fonksiyonları

Fuzzy alt kümelerin üyelik fonksiyonlarının kullanımı belirsiz ve kapalı kavramların işleme konulmasında yardımcı olur. Üyelik fonksiyonları kontrol edilen sistemin özelliklerine göre üçgen, yamuk ve çan eğrisi şeklinde olabilir.(Şekil 2.5.a, b, c) Eğer fuzzy küme yalnız bir tek elemanın ağırlığına sahip ise bu kümenin üyelik fonksiyonu teknokta olan bir şekli gösterir.(Şekil 2.5.d)

Evrensel kümede birden fazla fuzzy küme mevcut ise bu durumda her kümeye ait bir üyelik fonksiyonu belirlenebilir,(Şekil 2.6).



Şekil 2.6. Evrensel kümede üyelik fonksiyonlarının belirlenmesi

Burada 'yaş' sözel bir değişkeni ifade eder. Evrensel kümeyi Y şeklinde gösterirsek bu kümeyi aşağıdaki gibi yazabiliriz.

$$Y(\text{yaş}) = \{ \text{genç, orta yaşlı, yaşlı} \} \quad (2.32)$$

Burada yaş değişkeni $[0, 100]$ arasında değişir. "genç", "orta yaşlı" ve "yaşlı" sözel ifadeler fuzzy kümelerin isimleridir. y tanım olarak yaş sözel değişkeni ise fuzzy alt kümeleri matematiksel olarak aşağıdaki gibi gösterilebilir.

$$\text{genç} = \int_0^{25} 1/y + \int_{25}^{50} [(50-y)/25]/y$$

$$\text{orta yaşlı} = \int_{25}^{50} [(y-25)/25]/y + \int_{50}^{75} [(75-y)/25]/y \quad (2.33)$$

$$\text{yaşlı} = \int_{50}^{75} [(y-50)/25]/y + \int_{75}^{100} 1/y$$

2.5.2. Normal ve iç bükey üyelik fonksiyonu tanımı

Bir üyelik fonksiyonunda en büyük ağırlık 1 ise bu üyelik fonksiyonuna normal üyelik fonksiyonu denir.



$$\max_{x \in X} \mu_A(x) = 1 \quad (\text{normal üyelik fonksiyonu}) \quad (2.34)$$

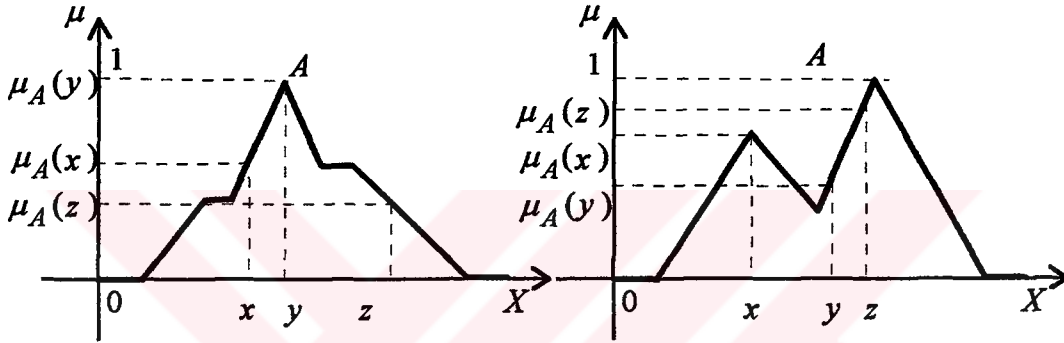
Eğer üyelik fonksiyonunda aşağıdaki tanımların biri geçerli ise bu üyelik fonksiyonu içbükey olur.

$$\mu_A(\lambda x_1 + (1-\lambda)x_2) \geq \min[\mu_A(x_1), \mu_A(x_2)], \quad x_1, x_2 \in U, \lambda \in [0,1] \quad (2.35)$$

veya

$$\mu_A(y) \geq \min[\mu_A(x), \mu_A(z)] \quad x < y < z \quad (2.36)$$

Bu durum şekil 2.7. 'de grafiksel olarak gösterilmektedir.



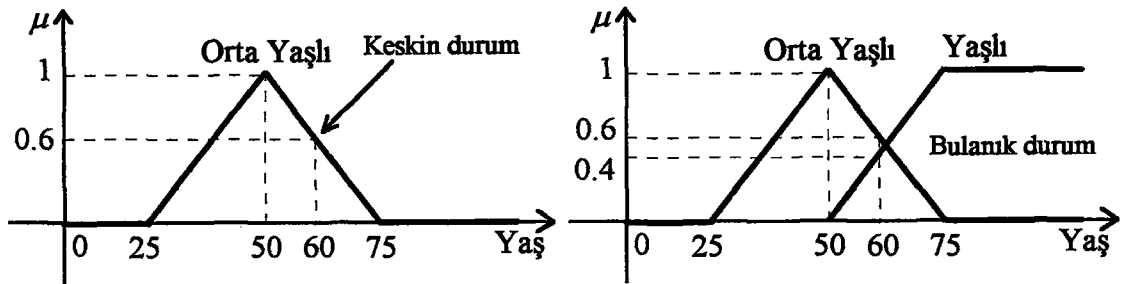
(a) İçbükey, normal

(b) İçbükey olmayan, normal

Şekil 2.7. İç bükey ve normal üyelik fonksiyonları

2.5.3. Bulanıklaştırma işlemi

Şekil 2.8.a 'da gösterilen üyelik fonksiyonunda yaş=65 için üyelik ağırlığı hesaplanırsa 0.6 olarak yalnız bir değer bulunur. Bu değer keskin değerdir. Çünkü bu şekilde yalnız "Orta Yaşlı" isimli bir



(a) Keskin üyelik ağırlığı

(b) Bulanıklaştırma

Şekil 2.8. Keskin durum ve Bulanıklaştırma

üyelik fonksiyonu vardır. Şayet Şekil 2.8.b. için aynı işlemler yapıldığında 0.6 ve 0.4 gibi iki üyelik ağırlık değeri bulunur. Çünkü bu şekil " Orta Yaşlı" ve "Yaşlı " isimli iki üyelik fonksiyonuna sahiptir. Dolayısıyla yapılan işlem bulanıklaştırmadır.

3. ÇIKARIM İŞLEMİ

Çıkarım işlemi Fuzzy Lojik Kontrol için en önemli kavramlardan birisidir. Algılayıcılardan alınan giriş bilgileri çıkarım işleminden geçirildikten sonra kontrol edilecek sisteme verilecek olan çıkış hesaplamak için kullanılır.

Fuzzy Lojik Kontrol (FLK) çıkarım sistemi genel olarak uzman sistemden daha kolaydır. Çünkü FLK önceki sonuçlardan bağımsız sadece sonraki olaylarla ilgilidir. FLK'nın kural tabanı uzman bilgiden yararlanılarak elde edilir. Kural tabanı Çok Girişli Çok Çıkışlı (ÇGÇÇ) sistem yapısına sahiptir,(Lee, 1990b) .

$$R = \{R_{\text{ÇGÇÇ}}^1, R_{\text{ÇGÇÇ}}^2, \dots, R_{\text{ÇGÇÇ}}^n\} \quad (3.1)$$

Burada $R_{\text{ÇGÇÇ}}^i$: if($x = A_i$ andand $y = B_i$) then ($z_1 = C_i, \dots, z_q = D_i$) kuralını ifade eder. $Ux \dots xV$ kartezyen çarpımdaki $A_i x \dots x B_i$ bir fuzzy küme $R_{\text{ÇGÇÇ}}^i$ 'in giriş kısmındaki ifadesini oluşturur. Sonuç q tane bağımsız kontrol olayının bileşimidir. i . $R_{\text{ÇGÇÇ}}^i$ bağıntısı bir bulanık anlam olarak ifade edilebilir.

$$R_{\text{ÇGÇÇ}}^i : (A_i x \dots x B_i) \rightarrow (z_1 + \dots + z_q) \quad (3.2)$$

R bağıntısı aşağıdaki gibi bileşim işlemi olarak da ifade edilebilir.

$$R = \left\{ \bigcup_{i=1}^n R_{\text{ÇGÇÇ}}^i \right\}$$

$$= \left\{ \bigcup_{i=1}^n [(A_i x \dots x B_i) \rightarrow (z_1 + \dots + z_q)] \right\}$$



$$\begin{aligned}
&= \left\{ \bigcup_{i=1}^n [(A_i x \dots x B_i) \rightarrow z_1], \bigcup_{i=1}^n [(A_i x \dots x B_i) \rightarrow z_2], \dots, \bigcup_{i=1}^n [(A_i x \dots x B_i) \rightarrow z_q] \right\} \\
&= \left\{ \bigcup_{k=1}^q \bigcup_{i=1}^n [(A_i x \dots x B_i) \rightarrow z_k] \right\} \tag{3.3}
\end{aligned}$$

$$R = \left\{ RB_{\text{ÇGTÇ}}^1, RB_{\text{ÇGTÇ}}^2, \dots, RB_{\text{ÇGTÇ}}^q \right\}$$

Sonuçta FLK 'nın R bağıntısı Çok Girişli Tek Çıkışlı (ÇGTÇ) bağıntı ($RB_{\text{ÇGTÇ}}^i$) alt kural tabanının bir kümesi biçimine getirilmiş olur. Her bir $RB_{\text{ÇGTÇ}}^i$ alt kural tabanı bir kontrol çıkışı ve işlem giriş değişkenleri çarpımını içeren n tane fuzzy kontrol kuralından oluşur. ÇGTÇ 'lı fuzzy sistemin kural yapısı ÇGTÇ 'lı bir sistem yapılarının toplamı olarak ifade edilebilir .

$$R = \left\{ RB_{\text{ÇGTÇ}}^1, RB_{\text{ÇGTÇ}}^2, \dots, RB_{\text{ÇGTÇ}}^q \right\} \tag{3.4}$$

Burada $R_{\text{ÇGTÇ}}^k$: if ($x = A_1$ and and $y = B_i$) then ($z_k = D_i$) $i = 1, 2, \dots, n$ ifadesini gösterir. ÇGTÇ 'lı fuzzy kontrol kurallarını iki girişli / tek çıkışlı fuzzy sistemde aşağıdaki gibi tanımlayalım.

$$\begin{aligned}
&\text{giriş: } x = A' \text{ and } y = B' \\
&R_1: \text{ if } x = A_1 \text{ and } y = B_1 \text{ then } z = C_1 \\
\text{also } &R_2: \text{ if } x = A_2 \text{ and } y = B_2 \text{ then } z = C_2 \\
&\dots\dots\dots \\
&\dots\dots\dots \\
\text{also } &R_n: \text{ if } x = A_n \text{ and } y = B_n \text{ then } z = C_n
\end{aligned} \tag{3.5}$$

$$z = C'$$

x ve y giriş, z çıkış değişkenidir. A_i, B_i ve C_i sırasıyla U, V ve W evrensel kümesinde x, y ve z sözel değişkenlerin sözel değerleridir.



Fuzzy lojik kontrol kuralı "if ($x = A_i$ and $y = B_i$) then ($z = C_i$)" R fuzzy bağıntı yerine geçer ve aşağıdaki gibi tanımlanır.

$$\mu_{R_i} \stackrel{\Delta}{=} \mu_{(A_i \text{ and } B_i \rightarrow C_i)}(u, v, w) = [\mu_{A_i}(u) \text{ and } \mu_{B_i}(v)] \rightarrow \mu_{C_i}(w) \quad (3.6)$$

Burada " A_i and B_i " $U \times V$ 'deki A_i x B_i fuzzy kümedir.

$R_i \stackrel{\Delta}{=} (A_i \text{ and } B_i) \rightarrow C_i$, $U \times V \times W$ 'daki bir fuzzy bağıntıdır ve " \rightarrow " sembolü bir fuzzy bağıntı kümesini ifade eder. C' sonucu " and " ve fuzzy bağıntıyı içeren çıkarım kurallarından max-min kompozisyon işlemi kullanılarak hesaplanır.

FLK çıkarım sisteminin bazı elverişli özellikleri vardır. Kuralların hepsi max-min ve " also " bağlayıcısı ile bir araya gelirler. Böylece fuzzy kontrol kümesinin hepsinden elde edilecek bir kontrol sonucu tek kontrol kuralından çıkan bir ağırlığa eşittir. Ayrıca aynı ağırlık sonucu sonradan anlatılacağı gibi max-çarpma kompozisyon işleminden de elde edilir. Aşağıdaki işlemlerin sonucu klasik lojik işlemlerinde geçerli değildir.

$$\text{Teorem 1.: } (A', B') \circ \bigcup_{i=1}^n R_i = \bigcup_{i=1}^n (A', B') \circ R_i \quad (3.7)$$

İspat :

$$C' = (A', B') \circ \bigcup_{i=1}^n R_i = (A', B') \circ \bigcup_{i=1}^n (A_i \text{ and } B_i \rightarrow C_i) \quad (3.8)$$

Her $w \in W$ için C' fuzzy kümesinin $\mu_{C'}$ üyelik fonksiyonu belirlenir.

$$\begin{aligned} \mu_{C'}(w) &= (\mu_{A'}(u), \mu_{B'}(v)) \circ \max_{u, v, w} (\mu_{R_1}(u, v, w), \mu_{R_2}(u, v, w), \dots, \mu_{R_n}(u, v, w)) \\ &= \max_{u, v} \left\{ \min \left[(\mu_{A'}(u), \mu_{B'}(v)), \max_{u, v, w} (\mu_{R_1}(u, v, w), \mu_{R_2}(u, v, w), \dots, \mu_{R_n}(u, v, w)) \right] \right\} \\ &= \max_{u, v} \left\{ \max_{u, v, w} \left\{ \min \left[(\mu_{A'}(u), \mu_{B'}(v)), \mu_{R_1}(u, v, w) \right] \right\} \dots \right\} \end{aligned}$$

$$\begin{aligned} & \min\left\{\left(\mu_{A'}(u), \mu_{B'}(v)\right), \mu_{R_n}(u, v, w)\right\} \\ & = \max_{u, v, w} \left\{ \left[\left(\mu_{A'}(u), \mu_{B'}(v)\right) \circ \mu_{R_1}(u, v, w) \right], \dots, \left[\left(\mu_{A'}(u), \mu_{B'}(v)\right) \circ \mu_{R_n}(u, v, w) \right] \right\} \end{aligned} \quad (3.9)$$

Bu durumda;

$$\begin{aligned} C' & = \left[(A', B') \circ R_1 \right] \cup \left[(A', B') \circ R_2 \right] \cup \dots \cup \left[(A', B') \circ R_n \right] \\ & = \bigcup_{i=1}^n (A', B') \circ R_i \\ & = \bigcup_{i=1}^n (A', B') \circ (A_i \text{ and } B_i \rightarrow C_i) \\ & \stackrel{\Delta}{=} \bigcup_{i=1}^n C'_i \end{aligned} \quad (3.10)$$

Teorem 2: $R_c, R_p, R_{bp},$ ve R_{dp} bağlayıcı ifadelerini bulmak için aşağıdaki işlemler yazılabilir.

eğer $\mu_{A_i \times B_i} = \mu_{A_i} \wedge \mu_{B_i}$ ise;

$$(A', B') \circ (A_i \text{ and } B_i \rightarrow C_i) = \left[A' \circ (A_i \rightarrow C_i) \right] \cap \left[B' \circ (B_i \rightarrow C_i) \right] \quad (3.11)$$

eğer $\mu_{A_i \times B_i} = \mu_{A_i} \cdot \mu_{B_i}$ ise;

$$(A', B') \circ (A_i \text{ and } B_i \rightarrow C_i) = \left[A' \circ (A_i \rightarrow C_i) \right] \cdot \left[B' \circ (B_i \rightarrow C_i) \right]$$

İspat:

$$C'_i = (A', B') \circ (A_i \text{ and } B_i \rightarrow C_i)$$

$$\begin{aligned} \mu_{C'_i} & = (\mu_{A'}, \mu_{B'}) \circ (\mu_{A_i \times B_i} \rightarrow \mu_{C_i}) \\ & = (\mu_{A'}, \mu_{B'}) \circ \left[\min(\mu_{A_i}, \mu_{B_i}) \rightarrow \mu_{C_i} \right] \\ & = (\mu_{A'}, \mu_{B'}) \circ \min \left[(\mu_{A_i} \rightarrow \mu_{C_i}), (\mu_{B_i} \rightarrow \mu_{C_i}) \right] \\ & = \max_{u, v} \left\{ \min \left[(\mu_{A'} \rightarrow \mu_{B'}), \min \left[(\mu_{A_i} \rightarrow \mu_{C_i}), (\mu_{B_i} \rightarrow \mu_{C_i}) \right] \right] \right\} \end{aligned} \quad (3.12)$$

$$\begin{aligned}
&= \max_{u,v} \left\{ \min \left[\min \left[\mu_{A'}, \left(\mu_{A_i} \rightarrow \mu_{C_i} \right) \right], \min \left[\mu_{B'}, \left(\mu_{B_i} \rightarrow \mu_{C_i} \right) \right] \right] \right\} \\
&= \min \left\{ \left[\mu_{A'} \circ \left(\mu_{A_i} \rightarrow \mu_{C_i} \right) \right], \left[\mu_{B'} \circ \left(\mu_{B_i} \rightarrow \mu_{C_i} \right) \right] \right\}
\end{aligned}$$

Böylece;

$$C'_i = \left[A' \circ (A_i \rightarrow C_i) \right] \cap \left[B' \circ (B_i \rightarrow C_i) \right] \quad (3.13)$$

ifadesi elde edilmiş olur.

Aşağıdaki iki özel teorem FLK ' nın anlaşılmasında önemli iki durumu ifade eder.

Teorem 3: Eğer $A' = u_0$, $B' = v_0$ olan teknocta girişleri ise R_c kuralı "min" işlemini ve R_p kuralıda çarpma işlemini gösterir ve aşağıdaki gibi ifade edilirler.

$$\begin{aligned}
1) R_c : \alpha_i \wedge \mu_{C_i}(w) & \quad 2) R_c : \alpha_i \wedge \mu_{C_i}(w) \\
R_p : \alpha_i \cdot \mu_{C_i}(w) & \quad R_p : \alpha_i \cdot \mu_{C_i}(w)
\end{aligned} \quad (3.14)$$

Burada $\alpha_i \wedge = \mu_{A_i}(u_0) \wedge \mu_{B_i}(v_0)$ ve $\alpha_i \cdot = \mu_{A_i}(u_0) \cdot \mu_{B_i}(v_0)$ ifadelerine eşittir.

İspat:

$$\begin{aligned}
1) C'_i &= \left[A' \circ (A_i \rightarrow C_i) \right] \cap \left[B' \circ (B_i \rightarrow C_i) \right] \\
\mu_{C'_i} &= \min \left\{ \left[u_0 \circ \left(\mu_{A_i}(u) \rightarrow \mu_{C_i}(w) \right) \right], \left[v_0 \circ \left(\mu_{B_i}(v) \rightarrow \mu_{C_i}(w) \right) \right] \right\} \\
&= \min \left\{ \left[\left(\mu_{A_i}(u_0) \rightarrow \mu_{C_i}(w) \right) \right], \left[\left(\mu_{B_i}(v_0) \rightarrow \mu_{C_i}(w) \right) \right] \right\}
\end{aligned} \quad (3.15)$$

$$\begin{aligned}
2) C'_i &= \left[A' \circ (A_i \rightarrow C_i) \right] \cdot \left[B' \circ (B_i \rightarrow C_i) \right] \\
\mu_{C'_i} &= \left[u_0 \circ \left(\mu_{A_i}(u) \rightarrow \mu_{C_i}(w) \right) \right] \cdot \left[v_0 \circ \left(\mu_{B_i}(v) \rightarrow \mu_{C_i}(w) \right) \right] \\
&= \left[\left(\mu_{A_i}(u_0) \rightarrow \mu_{C_i}(w) \right) \right] \cdot \left[\left(\mu_{B_i}(v_0) \rightarrow \mu_{C_i}(w) \right) \right]
\end{aligned} \quad (3.16)$$

Aşağıda anlatılacağı gibi son teorem hesaplama işlemlerini kolaylaştırdığı gibi FLK 'de fuzzy çıkarım işleminin grafik yoldan yapılmasında sağlar. max-çarpma işlemine tekrar bakılacak olursa;

$$\text{Teorem 1': } (A', B') \cdot \bigcup_{i=1}^n R_i = \bigcup_{i=1}^n (A', B') \cdot R_i \quad (3.17)$$

Teorem 2': $R_c, R_p, R_{bp},$ ve R_{ϕ} bağlayıcı ifadelerini bulmak için aşağıdaki işlemler yazılabilir.

Eğer $\mu_{A_i \times B_i} = \mu_{A_i} \wedge \mu_{B_i}$ ise;

$$(A', B') \cdot (A_i \text{ and } B_i \rightarrow C_i) = [A' \cdot (A_i \rightarrow C_i)] \cap [B' \cdot (B_i \rightarrow C_i)] \quad (3.18)$$

Eğer $\mu_{A_i \times B_i} = \mu_{A_i} \cdot \mu_{B_i}$ ise;

$$(A', B') \cdot (A_i \text{ and } B_i \rightarrow C_i) = [A' \cdot (A_i \rightarrow C_i)] \cdot [B' \cdot (B_i \rightarrow C_i)] \quad (3.19)$$

Teorem 3': Eğer $A' = u_0, B' = v_0$ olan teknocta girişleri ise R_c kuralı "min" işlemini ve R_p kuralıda çarpma işlemini gösterir ve aşağıdaki gibi ifade edilirler.

$$\begin{aligned} 1) R_c : \alpha_i \wedge \mu_{C_i}(w) & \qquad 2) R_c : \alpha_i \wedge \mu_{C_i}(w) \\ R_p : \alpha_i \cdot \mu_{C_i}(w) & \qquad R_p : \alpha_i \cdot \mu_{C_i}(w) \end{aligned} \quad (3.20)$$

Burada $\alpha_i \wedge = \mu_{A_i}(u_0) \wedge \mu_{B_i}(v_0)$ ve $\alpha_i \cdot = \mu_{A_i}(u_0) \cdot \mu_{B_i}(v_0)$ ifadelerine eşittir..

Böylece en son durum aşağıdaki gibi olur.

$$R_c : \mu_{C'} = \bigcup_{i=1}^n \alpha_i \wedge \mu_{C_i} \quad (3.21)$$

$$R_p : \mu_{C'} = \bigcup_{i=1}^n \alpha_i \cdot \mu_{C_i}$$

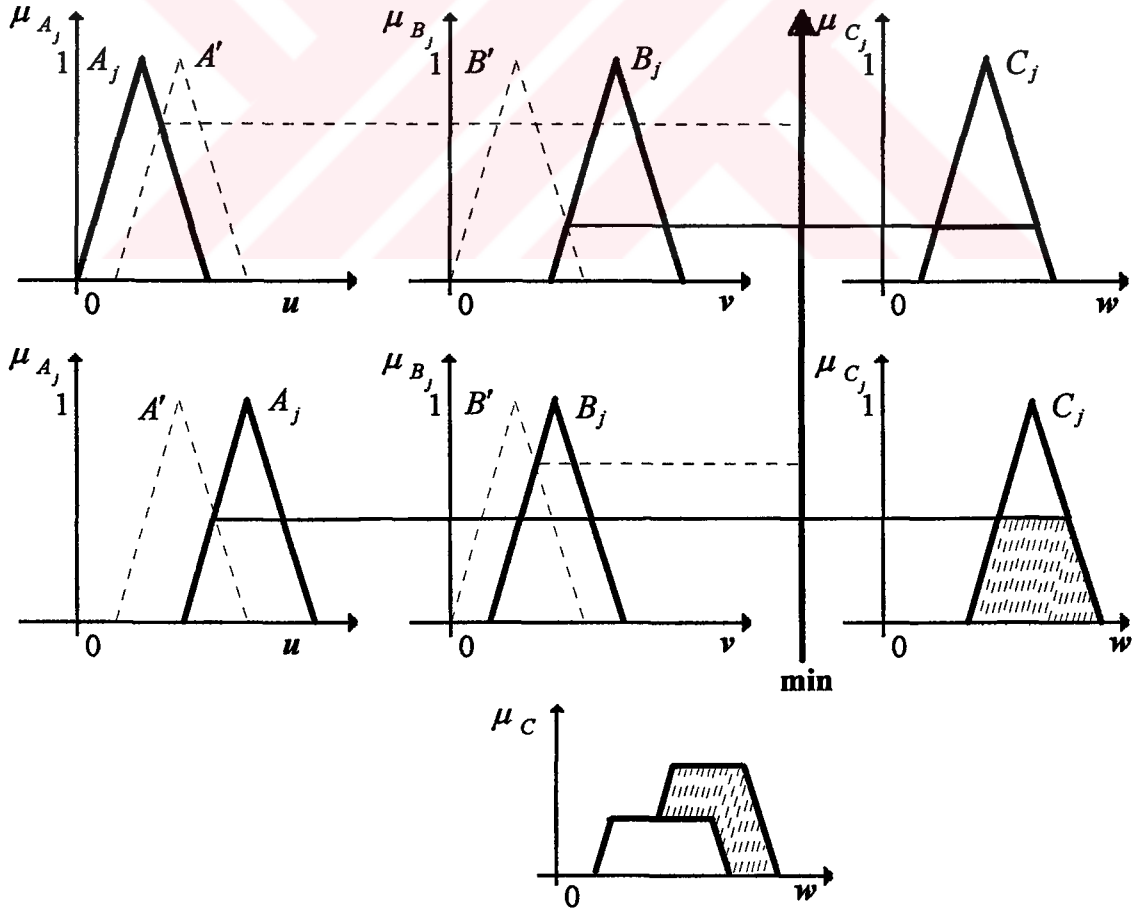
Burada α_i ağırlık faktörü i . kuralda fuzzy kontrol işleminin bir ölçüsüdür. Söz konusu ağırlık faktörü iki yöntem belirlenir. Birinci yöntem FLK uygulamalarında geniş ölçüde kullanılan kartezyen çarpımda bulunan "min" işlemi ve ikinci yöntem kartezyen çarpımdaki

cebirsel çarpma işlemidir. Giriş işlemlerindeki kolaylığı sağlamak bakımından birinci yöntem ikinci yöntemden daha etkindir. Bu yüzden uygulamalarda birinci yöntem daha çok kullanılmaktadır.

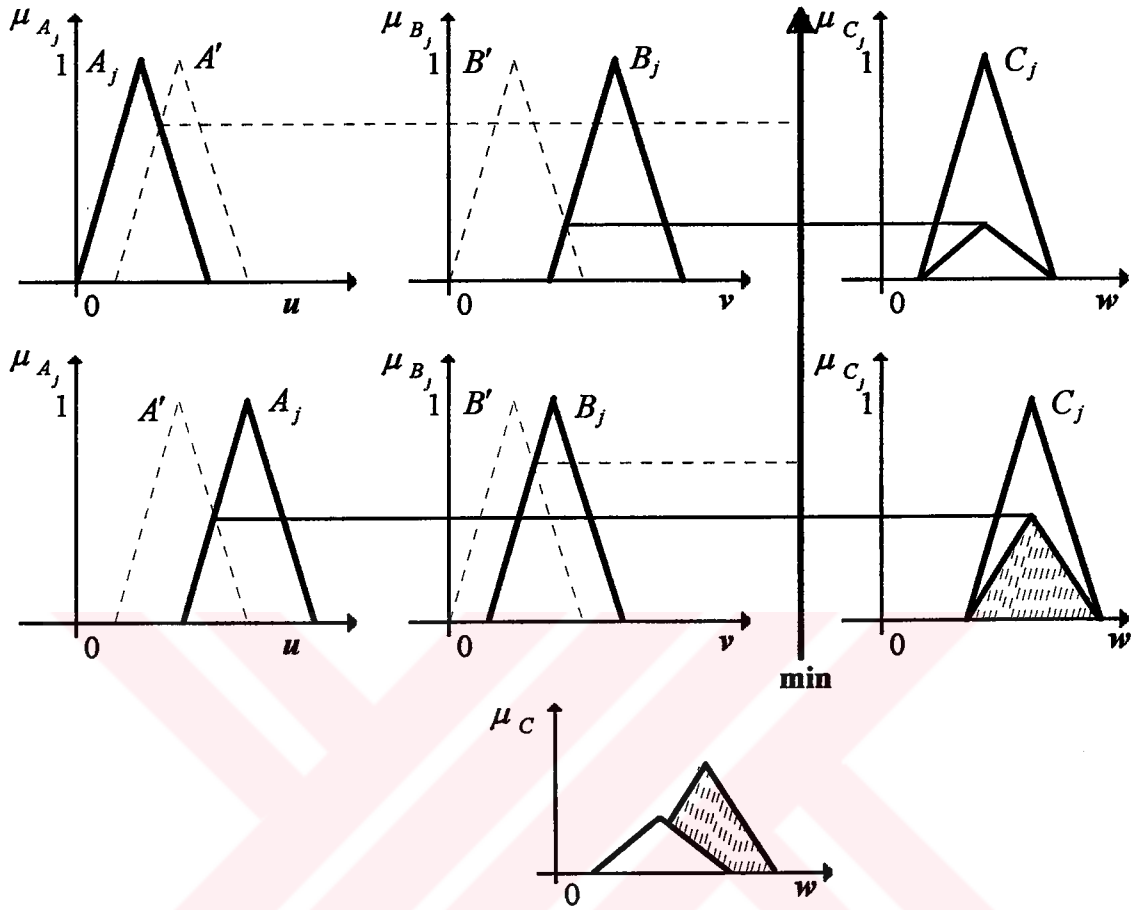
Basit olarak iki fuzzy kontrol kuralının aşağıdaki gibi kabul edildiğini kabul edersek ;

$$\begin{aligned} R_1: & \text{ if } x = A_1 \text{ and } y = B_1 \text{ then } z = C_1 \\ R_2: & \text{ if } x = A_2 \text{ and } y = B_2 \text{ then } z = C_2 \end{aligned} \quad (3.22)$$

Şekil 3.1. R_c ve α_i^{\wedge} şartları altında Teorem 2 'nin grafik yorumunu gösterir. Şekil 3.2. R_p ve α_i^{\wedge} şartları altında Teorem 2 'nin grafik yorumunu gösterir.



Şekil 3.1. R_c ve α^{\wedge} şartları için Teorem 2 'nin grafik gösterilimi.



Şekil 3.2. R_p ve α şartları için Teorem 2 'nin grafik gösterilimi

Girişler algılayıcılar tarafından ölçülür ve keskin değere sahiptirler. Giriş değerinin ölçekleme vasıtasıyla fuzzy kümelerdeki giriş bilgisine çevrilmesi daha uygun olur. Aynı zamanda bu değerler fuzzy teknoktaya karşılık gelirler. Birinci ve ikinci kuralların α_1 ve α_2 ağırlık faktörleri aşağıdaki gibi açıklanır.

$$\alpha_1 = \mu_{A_1}(x_0) \wedge \mu_{B_1}(y_0) \quad (3.23)$$

$$\alpha_2 = \mu_{A_2}(x_0) \wedge \mu_{B_2}(y_0)$$

Burada $\mu_{A_1}(x_0)$ ve $\mu_{B_1}(y_0)$ kural tabanındaki bilgi ile kaynak bilgisi arasında aynı derecede etkiye sahiptir. Bu bağıntılar dört çeşit fuzzy karar vermede önem taşırlar.

3.1. Birinci tip fuzzy karar verme ; Fuzzy anlam ifadesi olarak "min" işlemi

Bu tür karar vermede i . kural kontrol kararına yön gösterir.

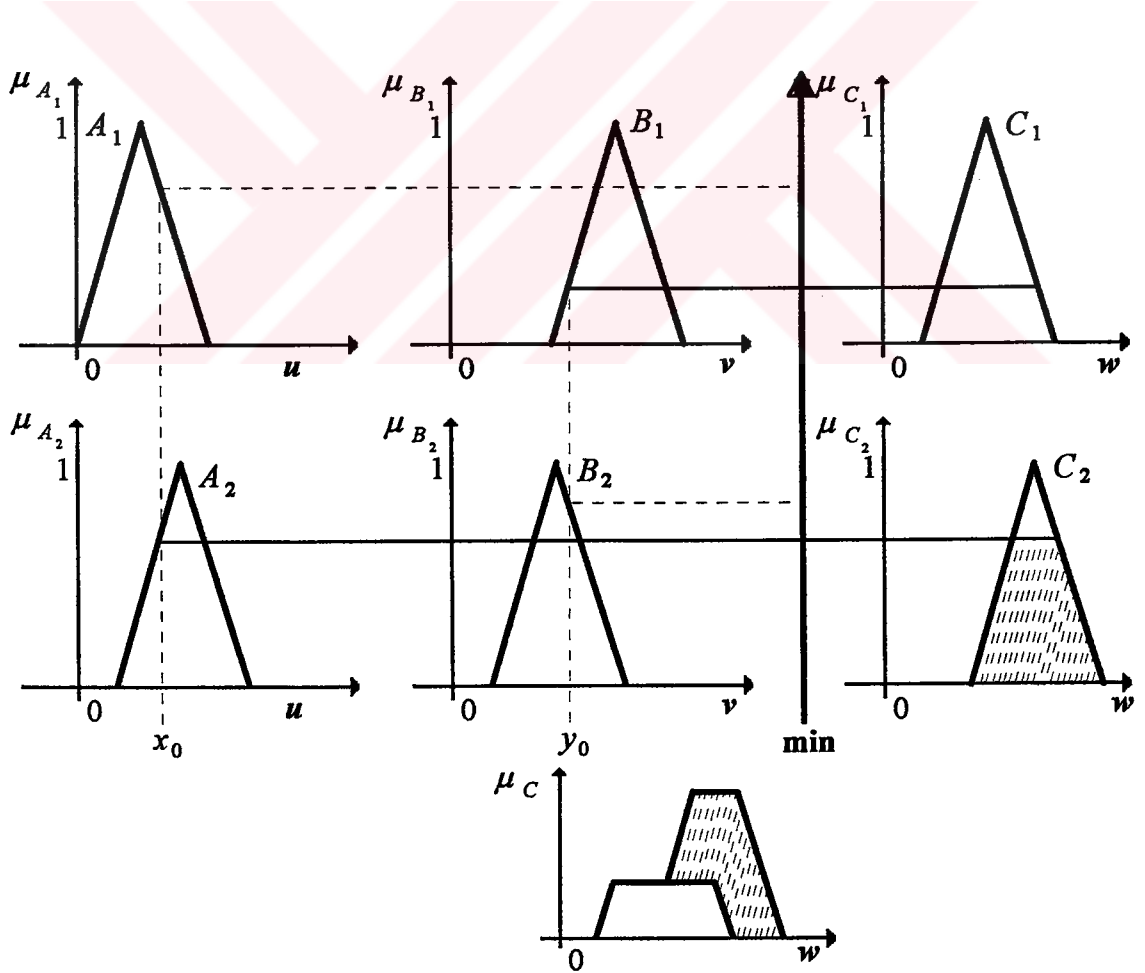
$$\mu_{C_i}(w) = \alpha_i \wedge \mu_{C_i}(w) \quad (3.24)$$

Çıkarımı yapılan μ_C üyelik fonksiyonu aşağıdaki gibi hesaplanır.

$$\mu_C(w) = \mu_{C_1} \vee \mu_{C_2} \quad (3.25)$$

$$\mu_C(w) = [\alpha_1 \wedge \mu_{C_1}(w)] \vee [\alpha_2 \wedge \mu_{C_2}(w)]$$

Şekil 3.3. fuzzy karar verme işleminde R_c yöntemi yoluyla teorem 3'ün grafiksel yorumunu gösterir. İleride anlatılacağı gibi kontrol değerini belirlemek için netleştirme işlemcilerinden herhangi biri kullanılır.



Şekil 3.3. Fuzzy karar verme 1 işleminin grafiksel gösterilimi

3.2. İkinci tip fuzzy karar verme; Fuzzy anlam ifadesi olarak "çarpma" işlemi

Bu tür karar vermede i . kural kontrol kararına yön gösterir.

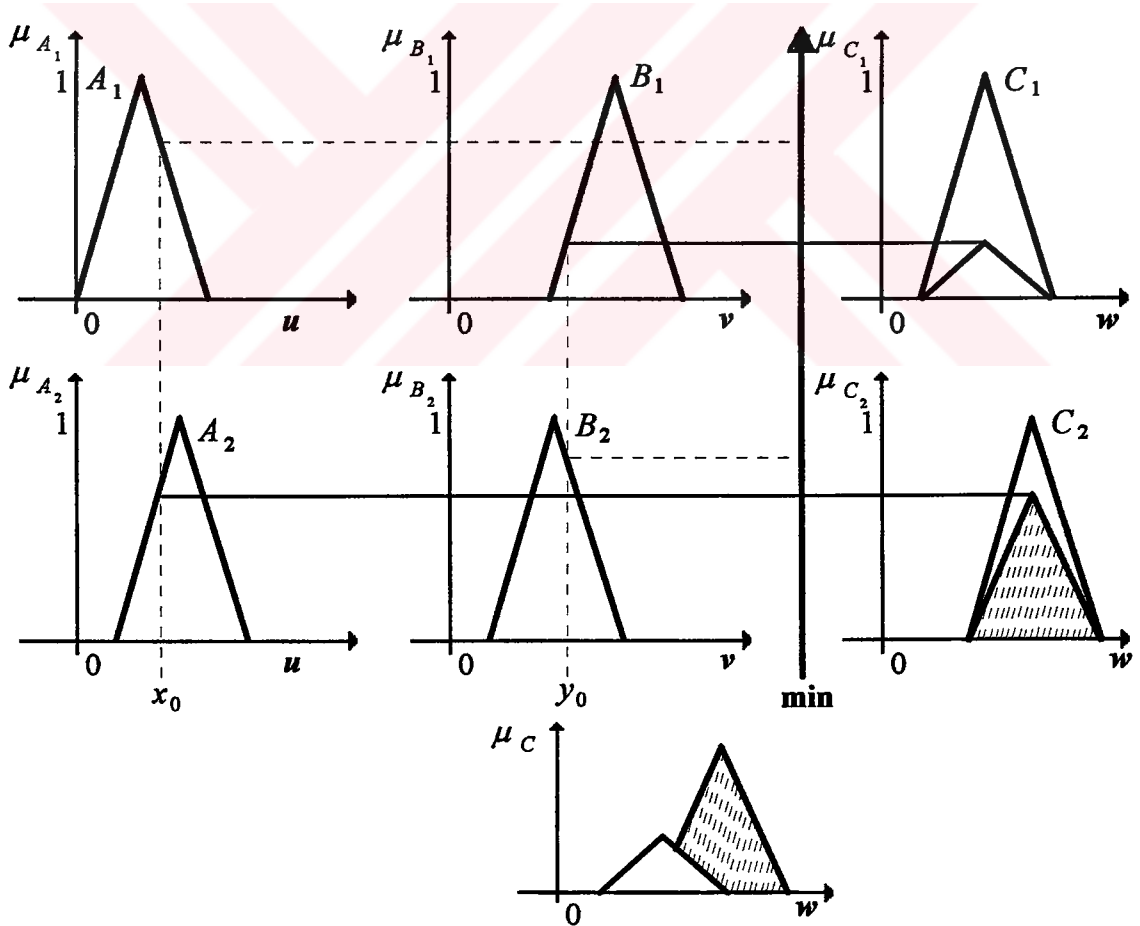
$$\mu_{C_i}(w) = \alpha_i \cdot \mu_{C_i}(w) \quad (3.26)$$

Çıkarımı yapılan μ_C üyelik fonksiyonu aşağıdaki gibi hesaplanır.

$$\mu_C(w) = \mu_{C_1} \vee \mu_{C_2} \quad (3.27)$$

$$\mu_C(w) = [\alpha_1 \cdot \mu_{C_1}(w)] \vee [\alpha_2 \cdot \mu_{C_2}(w)]$$

Şekil 3.4. fuzzy karar verme işleminde R_p yöntemi yoluyla teorem 3'ün bir grafiksel yorumunu gösterir.



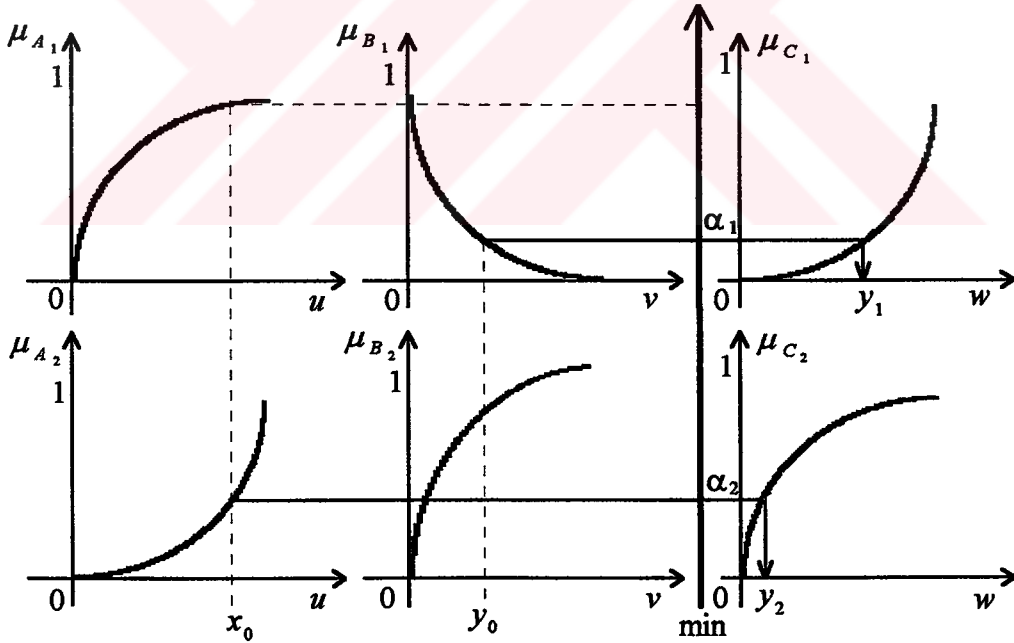
Şekil 3.4. Fuzzy karar verme 2 işleminin grafiksel gösterilimi

3.3. Üçüncü tip fuzzy karar verme ; Monotonik üyelik fonksiyonu olarak sözel terimli metod

A_i, B_i ve C_i fuzzy kümelerin üyelik fonksiyonu monotonik olduğu birinci tip karar verme ile aynı yolu kullanan basit bir yöntemdir. Bununla beraber işlemlerde A_i, B_i monotonik olmayabilir, fakat C_i monotonik olması gerekir.

Bu yöntemde birinci kuraldan elde edilen sonuç $\alpha_1 = C_1(y_1)$ ifadesindeki α_1 'e ikinci kuraldan elde edilen sonuç $\alpha_2 = C_2(y_2)$ ifadesindeki α_2 'ye eşittir. Keskin kontrol sonuç değeri aşağıdaki gibi ağırlıkların kombinasyonu olarak alınır. (Şekil 4.5)

$$z_0 = \frac{\alpha_1 y_1 + \alpha_2 y_2}{\alpha_1 + \alpha_2} \quad (3.28)$$



Şekil 3.5. Fuzzy karar verme 3 işleminin grafiksel gösterilimi



3.4. Dördüncü tip fuzzy karar verme; Kuralın sonucu sözel giriş değişkenlerinin bir fonksiyonu

Dördüncü tip fuzzy karar verme sonuç durumu eşitlik fonksiyonu ile değiştirilmiş bir şeklidir. Karar vermenin bu metodunda i . kontrol kuralı aşağıdaki yapıdadır.

$$R_i: \text{if } (x = A_i \text{ and } \dots \text{ and } y = B_i) \text{ then } z = f_i(x, \dots, y) \quad (3.29)$$

Burada sırasıyla x, \dots, y giriş değişkenlerini ve z kontrol çıkış değerini gösteren sözel değişkenlerdir. $A_i, \dots, B_i, U, \dots, V$ evrensel kümesindeki x, \dots, y sözel değişkenlerinin sözel değerleridir. f_i ve $i = 1, 2, \dots, n$ giriş alt uzayında tanımlanan x, \dots, y giriş değişkenlerinin bir fonksiyonudur.

Basit olarak çıkış değerini hesaplamak için aşağıdaki iki kuralı ele alalım ;

$$R_1: \text{if } x = A_1 \text{ and } y = B_1 \text{ then } z = f_1(x, y) \quad (3.30)$$

$$R_2: \text{if } x = A_2 \text{ and } y = B_2 \text{ then } z = f_2(x, y)$$

Birinci kuraldan kontrol olayının çıkarılan sonuç değeri $\alpha_1 f_1(x_0, y_0)$ ve ikinci kuraldan kontrol olayının çıkarılan sonuç değeri $\alpha_2 f_2(x_0, y_0)$ 'dır. Keskin çıkış kontrol sonuç değeri aşağıdaki ifade ile hesaplanır.

$$z_0 = \frac{\alpha_1 f_1(x_0, y_0) + \alpha_2 f_2(x_0, y_0)}{\alpha_1 + \alpha_2} \quad (3.31)$$

Bu yöntem Tagaki ve Sugeno tarafından geliştirilmiş ve bir model arabayı kullanıcı olmaksızın uygun bir şekilde graja park etme işlemine kullanmışlardır, (Sugeno and Murakami, 1985).



3.5.Çıkarım işleminin bir uygulama üzerinde grafiksel ve cebirsel anlatımı

3.5.1. Grafiksel anlatım

FLD 'nin giriş değişkenleri hata (e), hatanın değişimi (ce) ve çıkış değişkeni (u) alınmıştır (Şekil3.6). Evrensel kümeler e , ce ve u sözel değişkenleri temsil eder. Bu duruma göre aşağıdaki kurallar isteğe göre belirlenmiş olsun, (Li and Lau, 1989).

$$\begin{aligned}
 &\text{if } e = \text{SF and } ce = \text{KP then } u = \text{KN} \\
 &\text{if } e = \text{SF and } ce = \text{SF then } u = \text{SF} \\
 &\text{if } e = \text{KN and } ce = \text{KN then } u = \text{KP} \\
 &\text{if } e = \text{KN and } ce = \text{SF then } u = \text{BP}
 \end{aligned} \tag{3.32}$$



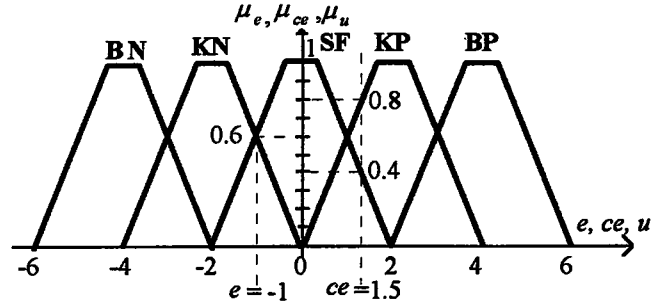
Şekil 3.6. FLK 'nin giriş ve çıkış değişkenleri

Burada e , ce ve u sözel değişkenli üç evrensel küme her biri fuzzy alt küme olan sözel etiketleri içerir.

- Büyük Pozitif (BP)
- Küçük Pozitif (KP)
- Sıfır (SF)
- Küçük Negatif (KN)
- Büyük Negatif (BN)

Bu sözel etiketlere ilişkin üyelik fonksiyonları şekil 3.7 'de gösterilmiştir. Bu şekilde üyelik fonksiyonları e , ce ve u sözel değişkenlerinin hepsi için aynı seçilmiştir. e , ce ve u sözel

değişkenleri için kontrol edilecek sistemin durumuna göre birbirinden farklı üyelik fonksiyonları ve başka sözel etiketler seçilebilir.

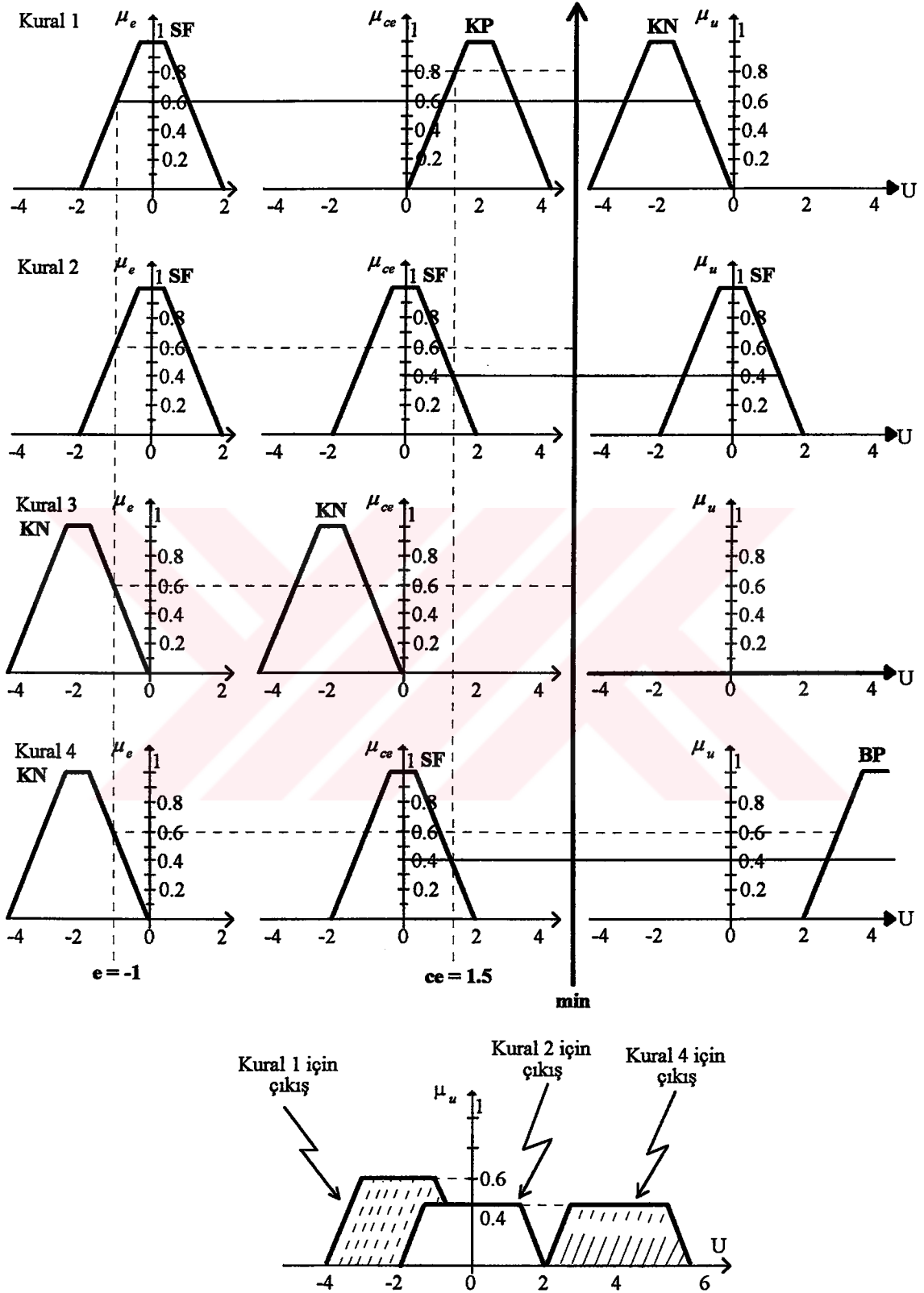


Şekil 3.7. e , ce ve u için üyelik fonksiyonları.

Tablo 3.1. Kuralların gösterilmesi

| $\frac{ce}{e}$ | BN | KN | SF | KP | BP |
|----------------|----|----|----|----|----|
| BN | X | X | X | X | X |
| KN | X | KP | BP | X | X |
| SF | X | X | SF | KN | X |
| KP | X | X | X | X | X |
| BP | X | X | X | X | X |

Başta verilen kurallar tablo 3.1 'de gösterilmiştir. Bu tabloda e için BN, KP ve BP, ce için BN, BP ve u için BN sözel etiketli fuzzy alt kümeler kullanılmamıştır. Eğer sistemi daha iyi kontrol edebilmek için yeni kurallar ilave edilmesi istenilirse duruma göre bu sözel etiketler kullanılabilir.



Şekil 3.8. Bulanıklaştırma işlemi ve çıkış grafiğinin bulunması

Şekil 3.7 'de görüldüğü gibi $e = -1$ ve $ce = 1.5$ ise e için KN ve SF sözel etiketli ce için SF ve KP sözel etiketli fuzzy alt kümelerde bir ağırlığa sahip olurlar. Bu durumda e ve ce evrensel kümelerindeki fuzzy alt kümeleri arasında oluşturulacak kartezyen çarpımlar aşağıdaki gibi olur.

1. $e = \text{KN}$ $ce = \text{SF}$
2. $e = \text{KN}$ $ce = \text{KP}$ (3.33)
3. $e = \text{SF}$ $ce = \text{KP}$
4. $e = \text{SF}$ $ce = \text{SF}$

Fakat yukarıdaki 1, 3, 4 nolu durumlar daha önce yazılan kurallarda mevcut durumdadır. 1 nolu durum kural 4 'e, 3 nolu durum kural 1 'e ve 4 nolu durum kural 2 'ye karşılık gelir. Bu kurallara ilişkin bulanıklaştırma işlemi ve sonuçta çıkışın bulunması şekil 3.8 'de grafiksel olarak gösterilmiştir.

Yukarıda elde edilen çıkış grafiğine bölüm 4 'de anlatılan netleştirme yöntemlerinden biri uygulanarak kontrol edilecek sisteme verilecek olan keskin sonuç hesaplanmış olur.

3.5.2.Cebirsel anlatım

Şekil 3.7 'de gösterildiği gibi e , ce ve u ;

$$\begin{aligned}
 e &= \{BP, KP, SF, KN, BN\} \\
 ce &= \{BP, KP, SF, KN, BN\} \\
 u &= \{BP, KP, SF, KN, BN\}
 \end{aligned}
 \tag{3.34}$$

fuzzy alt kümeleri kapsarlar. Daha önce anlatılan kurallara ait fuzzy bağıntılar aşağıdaki gibi yazılabilir.



$$\begin{aligned}
R_1 &= [\mu_{SF}(e) \wedge \mu_{KP}(ce)] \circ \mu_{KN}(u) \\
R_2 &= [\mu_{SF}(e) \wedge \mu_{SF}(ce)] \circ \mu_{SF}(u) \\
R_3 &= [\mu_{KN}(e) \wedge \mu_{KN}(ce)] \circ \mu_{KP}(u) \\
R_4 &= [\mu_{KN}(e) \wedge \mu_{SF}(ce)] \circ \mu_{BP}(u)
\end{aligned} \tag{3.35}$$

Fuzzy bağıntı tanımındaki max-min kompozisyonu kullanılarak R_1, R_2, R_3 ve R_4 bağıntıları aşağıdaki duruma getirilir.

$$\begin{aligned}
R_1(e, ce, u) &= \max \left\{ \min \left[\min \left[\mu_{SF}(e), \mu_{KP}(ce) \right], \mu_{KN}(u) \right] \right\} \\
R_2(e, ce, u) &= \max \left\{ \min \left[\min \left[\mu_{SF}(e), \mu_{SF}(ce) \right], \mu_{SF}(u) \right] \right\} \\
R_3(e, ce, u) &= \max \left\{ \min \left[\min \left[\mu_{KN}(e), \mu_{KN}(ce) \right], \mu_{KP}(u) \right] \right\} \\
R_4(e, ce, u) &= \max \left\{ \min \left[\min \left[\mu_{KN}(e), \mu_{SF}(ce) \right], \mu_{BP}(u) \right] \right\}
\end{aligned} \tag{3.36}$$

$e = -1$ ve $ce = 1.5$ için şekil 3.7 'den faydalanarak her fuzzy alt kümede bu değerler ilişkin aşağıdaki ağırlıklar bulunur.

$$\begin{aligned}
\mu_{BN}(e)|_{e=-1} &= 0 & \mu_{BN}(ce)|_{ce=1.5} &= 0 \\
\mu_{KN}(e)|_{e=-1} &= 0.6 & \mu_{KN}(ce)|_{ce=1.5} &= 0 \\
\mu_{SF}(e)|_{e=-1} &= 0.6 & \mu_{SF}(ce)|_{ce=1.5} &= 0.4 \\
\mu_{KP}(e)|_{e=-1} &= 0 & \mu_{KP}(ce)|_{ce=1.5} &= 0.8 \\
\mu_{BP}(e)|_{e=-1} &= 0 & \mu_{BP}(ce)|_{ce=1.5} &= 0
\end{aligned} \tag{3.37}$$

Bu ağırlıklara göre R_1, R_2, R_3 ve R_4 fuzzy bağıntıları aşağıdaki duruma gelirler.

$$\begin{aligned}
R_1(e, ce, u) \Big|_{e=-1, ce=1.5} &= \max \left\{ \min \left[\min(0.6, 0.8), \mu_{KN}(u) \right] \right\} \\
R_2(e, ce, u) \Big|_{e=-1, ce=1.5} &= \max \left\{ \min \left[\min(0.6, 0.4), \mu_{SF}(u) \right] \right\} \\
R_3(e, ce, u) \Big|_{e=-1, ce=1.5} &= \max \left\{ \min \left[\min(0, 0), \mu_{KP}(u) \right] \right\} \\
R_4(e, ce, u) \Big|_{e=-1, ce=1.5} &= \max \left\{ \min \left[\min(0.6, 0.4), \mu_{BP}(u) \right] \right\}
\end{aligned} \tag{3.38}$$

parantez içindeki "min" işlemi yapılırsa ifadeler;

$$\begin{aligned}
R_1(e, ce, u) \Big|_{e=-1, ce=1.5} &= \max \left\{ \min[0.6, \mu_{KN}(u)] \right\} = \min[0.6, \mu_{KN}(u)] \\
R_2(e, ce, u) \Big|_{e=-1, ce=1.5} &= \max \left\{ \min[0.4, \mu_{SF}(u)] \right\} = \min[0.4, \mu_{SF}(u)] \\
R_3(e, ce, u) \Big|_{e=-1, ce=1.5} &= \max \left\{ \min[0, \mu_{KP}(u)] \right\} = 0 \\
R_4(e, ce, u) \Big|_{e=-1, ce=1.5} &= \max \left\{ \min[0.4, \mu_{BP}(u)] \right\} = \min[0.4, \mu_{BP}(u)]
\end{aligned} \tag{3.39}$$

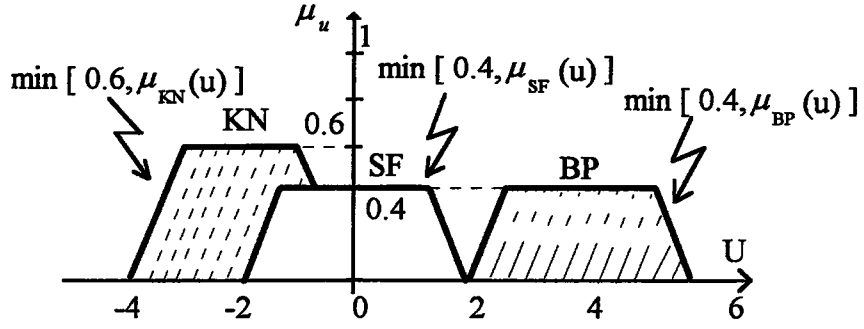
şeklinde yazılır. Bütün bu bağıntılar bileşme özelliği kullanılarak bir bağıntı durumuna dönüştürülür ve sonuç çıkış ifadesi bulunur.

$$\begin{aligned}
R &= R_1 \vee R_2 \vee R_3 \vee R_4 \\
R(e, ce, u) &= \max_{e, ce, u} (R_1, R_2, R_3, R_4)
\end{aligned} \tag{3.40}$$

ise R_1, R_2, R_3 ve R_4 sonuç fuzzy bağıntıları kullanılarak;

$$\begin{aligned}
R(e, ce, u) \Big|_{e=-1, ce=1.5} &= \max \left\{ \min[0.6, \mu_{KN}(u)], \min[0.4, \mu_{SF}(u)], 0, \min[0.4, \mu_{BP}(u)] \right\} \\
R(e, ce, u) \Big|_{e=-1, ce=1.5} &= \max \left\{ \min[0.6, \mu_{KN}(u)], \min[0.4, \mu_{SF}(u)], \min[0.4, \mu_{BP}(u)] \right\}
\end{aligned} \tag{3.41}$$

şekline gelir ve bu sonuç şekil 3.9 'da grafiksel olarak gösterilmiştir.



Şekil 3.9 Çıkış ifadesi

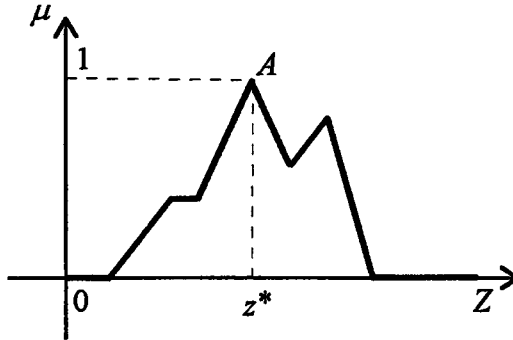
4. NETLEŞTİRME YÖNTEMLERİ

Yedi ayrı netleştirme yöntemi vardır. Bunlar aşağıda grafiksel ve cebirsel olarak anlatılmıştır, (Ross, 1995).

4.1. Maksimum-üyelik yöntemi

Yükseklik metodu olarak da bilinir. Bu yöntemde üyelik fonksiyonunda en büyük ağırlık keskin sonuç olarak alınır (Şekil 4.1). Aşağıdaki gibi ifade edilir.

$$\mu_c(z^*) \geq \mu_c(z) \quad \forall z \in Z \quad (4.1)$$



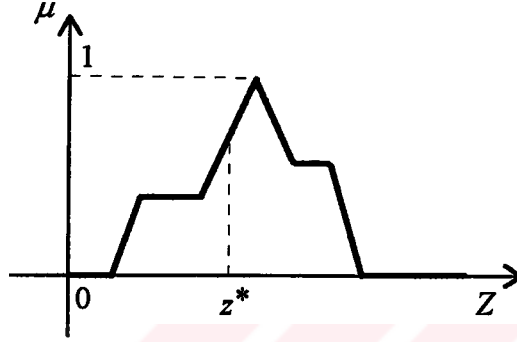
Şekil 4.1. Maks-Üyelik yöntemi

4.2. Merkezi yöntem

Bu yöntem ağırlık merkezini bulma veya alan merkezini bulma olarak adlandırılır. En çok kullanılan netleştirme yöntemlerinin birisidir. Bu yöntem aşağıdaki gibi ifade edilir.

$$z^* = \frac{\int \mu_c(z).z.dz}{\int \mu_c(z).dz} \quad (4.2)$$

Burada \int cebirsel integrali gösterir. Bu yöntem şekil 4.2. 'de gösterilmiştir.



Şekil 4.2. Merkezi yöntem

4.3. Ağırlık ortalamasını bulma yöntemi

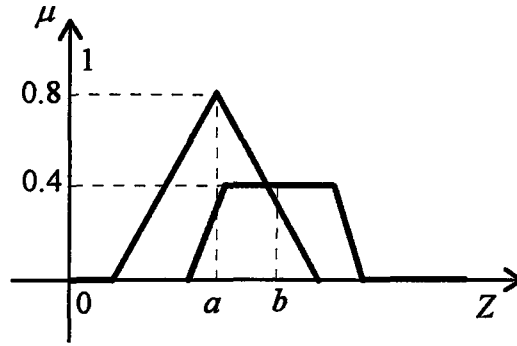
Bu yöntem sadece çıkış grafiğinin simetrik olması durumunda uygulanır. Aşağıdaki gibi gösterilir.

$$z^* = \frac{\sum \mu_c(\bar{z}).\bar{z}}{\sum \mu_c(\bar{z})} \quad (4.3)$$

\sum cebirsel toplam sembolünü gösterir. Şekil 4.3 'de gösterildiği gibi çıkıştaki üyelik fonksiyonlarından en büyük ağırlıklar alınır ve aşağıdaki işlem yapılarak netleşmiş sonuç bulunur.

$$z^* = \frac{a(0.8) + b(0.4)}{0.8 + 0.4} \quad (4.4)$$



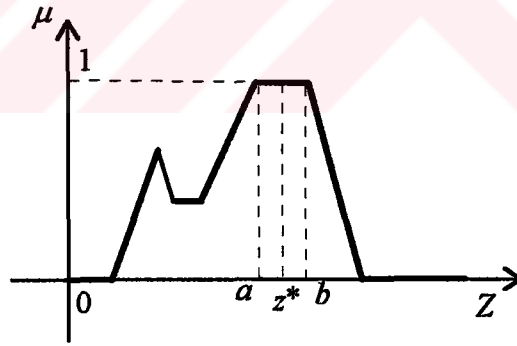


Şekil 4.3. Ağırlık ortalamasını bulma yöntemi

4.4. Maksimum üyelikleri ortalama yöntemi

Bu yöntem maksimum üyelik noktalarını ortalama yöntemi olarakda bilinir. Maksimum-üyelik yöntemine benzerdir. Farklı olarak maksimum noktaların evrensel kümedeki değerlerinin ortalaması alınır. Şekil 4.4 için netleşmiş sonuç aşağıdaki gibi bulunur.

$$z^* = \frac{a+b}{2} \quad (4.5)$$



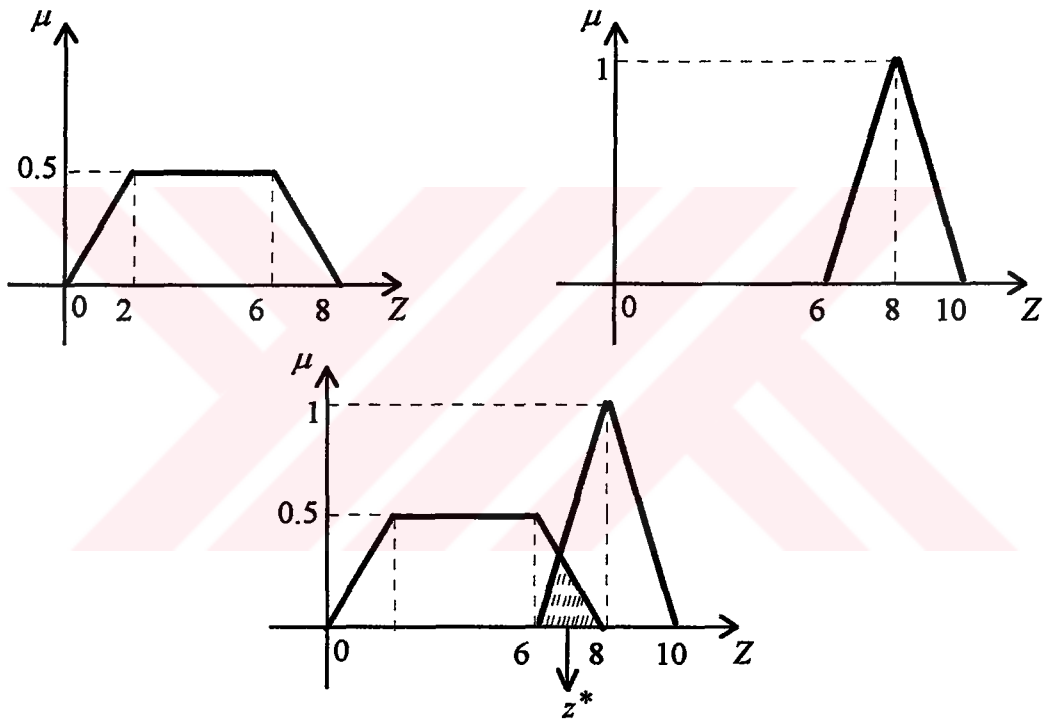
Şekil 4.4. Maksimum üyelikleri ortalama yöntemi

4.5. Toplamların merkezini bulma yöntemi

Diğer hesabı uzun olan netleştirme yöntemlerinden daha çabuk sonucun bulunmasını sağlar. Şekil 4.5. 'de gösterildiği gibi çıkıştaki fuzzy küme C_1 ve C_2 üyelik fonksiyonlarının bileşimi şeklindedir. Netleşmiş sonuç aşağıdaki gibi hesaplanır.

$$z^* = \frac{\int_z \sum_{k=1}^n \mu_{c_k}(z) \cdot z \cdot dz}{\int_z \sum_{k=1}^n \mu_{c_k}(z) \cdot dz} \quad (4.6)$$

Bu yöntem ağırlıkları ortalama yöntemine benzer. Yalnız bu yöntemde sonuçtaki üyelik fonksiyonlarının merkezdeki ağırlıkları yerine bu üyelik fonksiyonlarının alanları alınarak hesap yapılır.



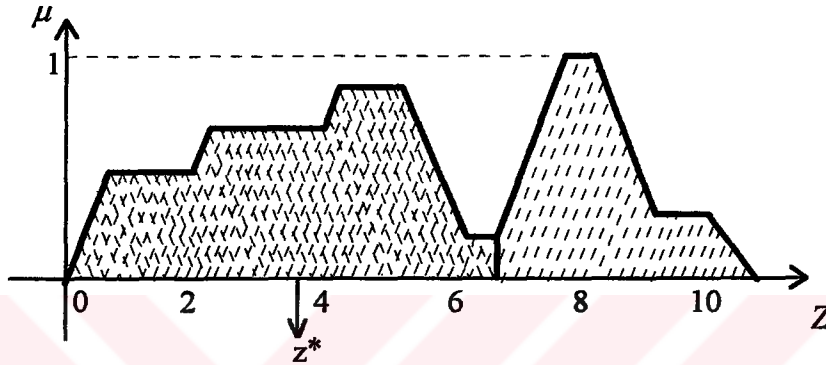
Şekil 4.5. Toplamların merkezini bulma yöntemi

4.6. En büyük alan merkezini bulma yöntemi

Eğer çıkışta birden fazla içbükey bölge var ise bu içbükey bölgelerden en büyük alana sahip olan alınır. Netleşmiş z^* çıkış değeri hesaplamak için bu bölgeye daha önce anlatılan merkezi bulma yöntemi uygulanır. Bu yöntem grafik olarak şekil 4.6 'da gösterilir ve cebirsel olarak aşağıdaki gibi hesaplanır.

$$z^* = \frac{\int \mu_{C_m}(z).z.dz}{\int \mu_{C_m}(z).dz} \quad (4.7)$$

Burada C_m , C_k 'daki en büyük içbükey alanı sembolize eder.



Şekil 4.6.En büyük alan merkezini bulma yöntemi

4.7. İlk veya son maksimum değeri bulma yöntemi

Bu yöntemde çeşitli üyelik fonksiyonlarının bileşimi olan C_k 'nın çıkış evrensel kümesinde ağırlığı büyük olan en yakın değer veya ağırlığı büyük olan en son değer alınır.Aşağıdaki gibi ifade edilir.

İlk maksimum değerini alma yöntemi;

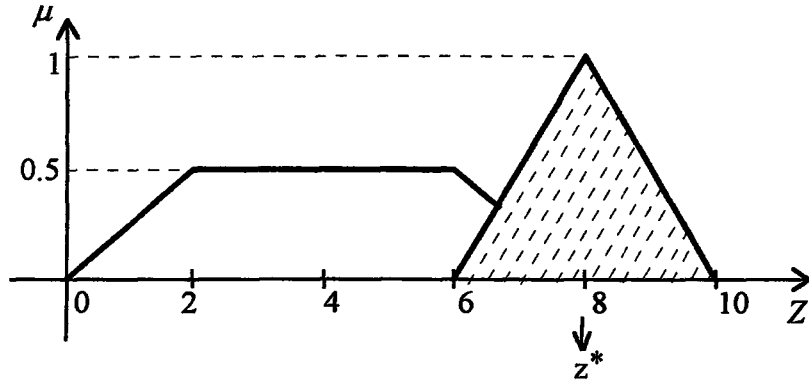
$$z^* = \inf_{z \in Z} \{z \in Z \mid \mu_{C_k} = hgt(C_k)\} \quad (4.8)$$

şeklinde ve son maksimum değerini alma yöntemi;

$$z^* = \sub_{z \in Z} \{z \in Z \mid \mu_{C_k} = hgt(C_k)\} \quad (4.9)$$

şeklinde gösterilir.

Burada infimum (inf) evrensel kümede ağırlığı en büyük olan ilk değeri ve subremum (sub) ağırlığı en büyük olan en son değeri gösterir.



Şekil 4.7. İlk veya son maksimum değeri bulma yöntemi

5. FUZZY LOJİK KONTROL

5.1. Temel Fuzzy Lojik Kontrol

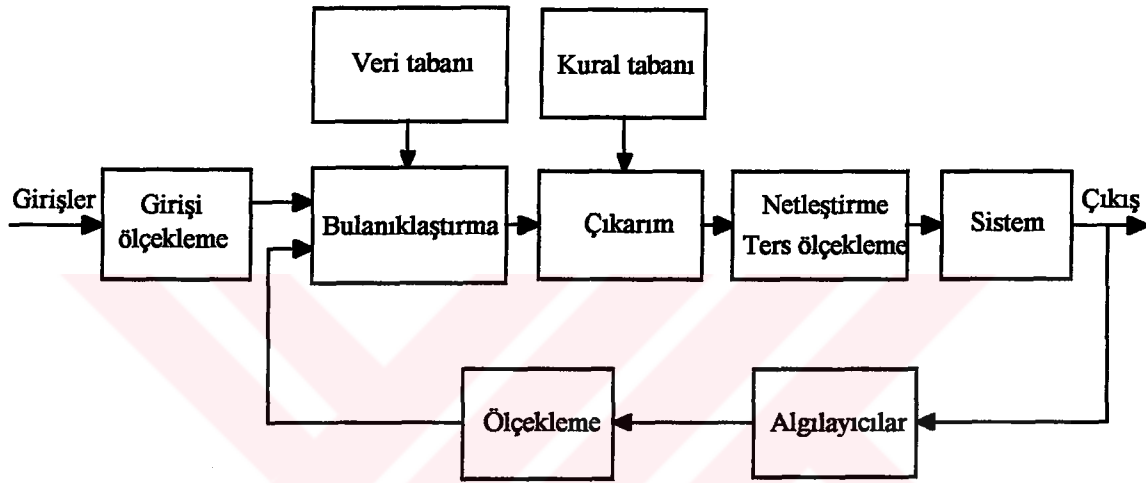
Temel Fuzzy Lojik Kontrol sisteminin blok diyagramı şekil 5.1 'de gösterilmiştir.

Şekil 5.1 'deki veri tabanı modülü giriş ve çıkışın fuzzy kısımlarının tümü hakkındaki verileri, kural tabanlı sistemde tanımlanan giriş değişkenlerine karşılık gelen üyelik fonksiyonlarını ve sistemin kontrolü için kontrol olaylarını veya çıkış değişkenlerini içerir.

Temel fuzzy lojik kontrol sisteminin tasarım basamakları aşağıdaki gibidir.

1. Giriş ve çıkış değişkenleri belirlenir.
2. Her değişkene karşılık gelen evrensel kümelerde fuzzy alt kümelerin bölümleri ve bu fuzzy alt kümelere karşılık gelen sonradan kurallarda kullanılacak sözel etiketler belirlenir.
3. Her fuzzy alt kümenin üyelik fonksiyonu belirlenir.
4. Sistemin kontrol edecek kurallar belirlenir.
5. Giriş ve çıkış normalize etmek için için ölçekleme faktörü belirlenir.

6. FLK girişleri bulanıklaştırılır.
7. Fuzzy çıkarımı kullanarak girişlerin değerleri için her kuralın çıkış değeri bulunur ve elde edilen bu çıkışlar birleştirilir.
9. Sonuçtaki çıkışa netleştirme yöntemlerinden biri uygulanarak keskin çıkış elde edilir.



Şekil 5.1 Temel Fuzzy Lojik Kontrol sisteminin blok diyagramı.

5.2. Genel Fuzzy Lojik Kontrol

Temel tasarım maddeleri aşağıdaki gibidir, (Lee, 1990a).

1. Bulanıklaştırma metodları ve bulanıklaştırma işlemcisinin veya bulanıklaştırıcının ifadesi.
2. Veri tabanı;
 - a. Evrensel kümenin ayrıştırılması / normalize edilmesi.
 - b. Giriş ve çıkış uzayının bulanık bölümlere ayrılması .
 - c. Bölümlerin tamamlanması.
 - d. Temel bir bulanık kümenin üyelik fonksiyonunun seçimi.
3. Kural tabanı
 - a. İşlem giriş ve çıkış değişkenlerinin seçimi.
 - b. Fuzzy lojik kontrol kurallarının elde ediliş kaynağı.

- c.Fuzzy lojik kontrol kurallarının yazılması.
 - d.Fuzzy lojik kontrol kurallarının içeriđi, etkileşimi ve tamamlanması.
4. Sayısal Karar verme:
- a.Bulanıklığın belirlenmesi.
 - b.Bağlayıcı AND ifadesinin yorumu.
 - c.Bağlayıcı OR ifadesinin yorumu.
 - d.Çıkarım mekanizması.
- 5.Netleştirme yöntemleri ve bir netleştirme işlemcisinin belirlenmesi,
(Netleştirici)



6. 8XC196KC/KD 16 BİT MİKRODENETLEYİCİ

8XC196KC ve 8XC196KD çok hızlı hesaplama ve giriş çıkış yapmak için tasarlanmış 16-bit CHMOS mikrodenetleyicidir, (Intel,1990,1991,1992). Aynı zamanda komutları MCS 96 ailesi ile uyumludur, (Intel, 1998a,1988b).

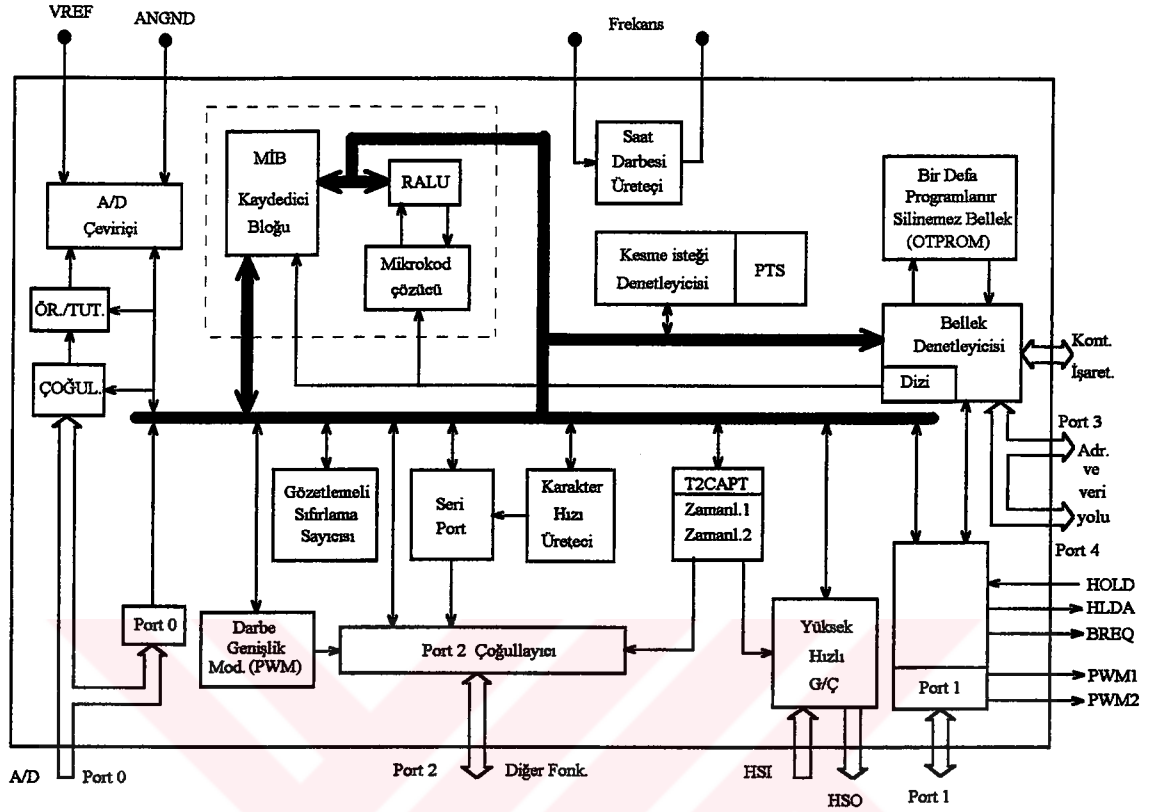
MCS 96 ailesi kapalı çevrim kontrolü, dijital sinyal işleme, modem, motor kontrol sistemi, yazıcılar, sıvı yakıtlı motor sistemi, fotokopi makinaları, klima kontrol sistemi, disk sürücüleri ve tıbbi cihazları uygulamalarında kullanılır.

8XC196KC ve 8XC196KD mikrodenetleyicisinin iç yapısının blok diyagramı şekil 6.1 'de gösterilmiştir. Her çevre birimi 16 bitlik yapıya sahiptir. Kesme isteği ve bellek denetleyicisi 16 bitlik yol ile Merkezi İşlem Birimine (MİB) bağlanırlar. 8 bit MİB yolu, komutları bellek denetleyicisinden Aritmetik mantık birimi kaydedicisi içerisindeki komut kaydedicisine transfer eder. 8XC196KC/KD mikrodenetleyicisinin ana yapısında merkezi işlem birimi, bellek ve kesme isteği denetleyicisi vardır. Ayrıca merkezi işlem biriminde ise aritmetik mantık birimi/kaydedicisi (RALU) ve kaydedici bloğu vardır.

6.1. MİB denetleme:

Görevi 256 byte alt kaydedici bloğunda veya pencereleme ile dolaysız olarak erişilebilen üst kaydedici bloğunda bayt, kelime veya çift kelime kullanan işlemleri yerine getirmek için RALU 'ya komut vermek olan MİB, mikrokod çözücüsü tarafından kontrol edilir. MİB komutları bellek denetleyicisindeki dört-byte bellek dizisinden RALU komut kaydedicisine yükler. Mikrokod çözücüsü komutların anlamını çözer ve istenilen komutların sıra ile sonuçlarının yerine getirilmesini sağlar.





Şekil 6.1. 8XC196KC/KD mikrodeneleyicisinin iç yapısının blok diyagramı

6.2. Kaydedici bloğu:

Kaydedici bloğu üst ve alt blok olmak üzere ikiye ayrılır. Alt kaydedici bloğu özel fonksiyonlu kaydedicilerin 24 baytını ve genel amaçlı kaydedicilerin 232 baytını, üst kaydedici bloğu sadece genel amaçlı yazılır-silinir bellek (RAM) kaydedicilerini içerir. (Üst kaydedici bloğu 8XC196KC 'de 256 bayt ve 8XC196KD 'de 768 bayt). Genel amaçlı kaydedicilere bayt, kelime veya çift kelime olarak ulaşmak mümkündür. RALU üst ve alt kaydedici bloğuna farklı biçimde erişir. Alt kaydedici bloğuna direkt adresleme ile erişir (Bölüm 7). Üst kaydedici bloğuna sadece düşey pencerelemeye izin verildiğinde dolaysız-kaydedici adresleme türü ile ulaşır (Bölüm 8).

6.3. Aritmetik mantık birimi (RALU)

Aritmetik Mantık Birimi kaydedicisi 17 bitlik Aritmetik Mantık Birimini, Program Durum Kelimesini, Ana Program Sayıcısını, Denetleme Kaydedicisini, Mikrokod yürütücüsünü, Sabitler Kaydedicisini, 3 bit Seçici Kaydedicisini, Çevrim Sayıcısını ve üç tane geçici kaydediciyi içerir. Seçici kaydedici 3 bit ve diğer kaydediciler 16 veya 17 bit genişliğindedir.

Aritmetik Mantık Birimi kaydedicisi Sabitler Kaydedicisinde saklanan sabit sayılarla ilgili hesaplamalar yapmak için kullanılır. Aynı zamanda bu kaydedici bayt ve kelime olarak evrik alma, arttırma, azaltma, kaydediciyi öteleme, toplama, çıkarma, çarpma ve bölme işlemlerini yapar.

6.4. Bellek denetleyicisi

Bellek denetleyicisi, kaydedici bloğu dahil olmamak şartıyla Aritmetik Mantık Biriminin bellek ile haberleşmesini sağlar. Bellek denetleyicisi adres ve veri kaydedicisini, dört bayt bellek dizisini, Uydu Program Sayıcısını ve yol denetleyicisini içerir.

Yol denetleyicisi iç RAM, OTPROM (bir defa programlanabilir sadece okunur bellek) yolunu ve dış adres ve veri yolunu sürer.

6.5. Kesme isteği denetleyicisi

Programlanabilir kesme isteği denetleyicisi kullanıcının yazılımı tarafından ayarlanan öncelikli kesme yapısına sahiptir. Bu kesme istekleri ilgili kullanıcı tarafından yazılan alt programlarda yerine getirilir. 8XC196KC/KD Paralel İşlem Yardımcısını (PTS) içermektedir. PTS veri transferini, Analog dijital (A/D) çevrime başlama, Yüksek Hızlı Giriş modülünü okuma ve Yüksek Hızlı Çıkış modülüne sonuçları yükleme kesme isteklerini ayarlar.



6.6. Standart Giriş/Çıkış (G/Ç) portları

8XC196KC/KD beş tane 8 bit G/Ç portuna sahiptir. Bir kısmı sadece giriş, sadece çıkış, bir kısmı çift yönlü ve bir kısmında çok amaçlı işlemler için kullanılabilir. Port 0 giriş portu ve aynı zamanda A/D çevrim için analog giriş işleminin yapılmasını sağlar. Port 1 yarı çift yönlü porttur. Port 1 'in uçları Darbe Genişlik Modülasyonunun iki çıkışı ve yol denetleme sinyali ile paylaşmalı olarak çalışır. Port 2 yarı çift yönlü, giriş ve çıkış olmak üzere üç çeşit port uçlarını içerir. Port 2 giriş ve çıkış için aynı uçlarını ortaklaşa olarak kullanır. Port 3 ve 4 açık-drain çift yönlü port uçları ve adres/veri yolu olmak üzere paylaşmalı bir yapıya sahiptir.

6.7. Seri G/Ç portu

Seri G/Ç portu genel senkron olmayan alıcı, vericiyi (UART) içeren asenkron ve senkron olan bir porttur. UART bir senkron (Mod 0) ve üç asenkron moda (Mod 1, 2 ve 3) sahiptir. Senkron olmayan modda gönderme ve alma işlemini aynı zamanda gerçekleştirebilir.

6.8. Yüksek Hızlı Giriş / Çıkış ünitesi (HSIO)

HSIO ünitesi dört özel modülü içerir. Bunlar zamanlayıcı 1, Zamanlayıcı 2, Yüksek Hızlı Giriş ve Yüksek Hızlı Çıkış modülleridir. Bu modüller çeşitli şekillerde kullanılabilen sayıcı/zamanlayıcı, G/Ç sistemi şeklindedir.

6.8.1. Zamanlayıcı 1 ve Zamanlayıcı 2

Zamanlayıcı 1 her 8 durum zamanında bir artan, serbest çalışan bir zamanlayıcıdır. Yüksek Hızlı Giriş modülü için periyot ölçme ve Yüksek Hızlı Çıkış modülü için isteğe bağlı olarak zaman ölçümü ile ilgili çeşitli ölçmeler yapılabilir.



Zamanlayıcı 2 çıkan veya düşen kenarın durumuna göre sayma işlemini gerçekleştirebilir. Yüksek Hızlı Çıkış modülü için periyot ölçme, yukarı / aşağı sayıcı veya ilave bir sayıcı olarak kullanılabilir.

6.8.2. Yüksek Hızlı Giriş (HSI)

HSI modülü sekiz durum zamanı hassiyetinde dış sonuç zamanlarını kaydedebilir. HSI modülü dört bağımsız şekilde şartlanabilir girişleri denetleyebilir ve sonuç oluştuğu zaman zamanlayıcı 1 'deki değeri tutabilir. Sonuç çıkan kenar, düşen kenar, yükselen veya düşen kenar ve her sekiz periyotta çıkan kenar olmak üzere dört çeşittir. HSI modülü sekiz tane sonucu (zamanlayıcı 1 değerlerini) kaydedebilir.

6.8.3. Yüksek Hızlı Çıkış (HSO)

HSO modülü zamanlayıcı 1 veya zamanlayıcı 2 'de özel olarak bölünen zaman aralıkları sonuçlarını ölçmek için tetikleme yapabilir. Bu programlanabilir sonuçlar A/D çevirmeye başlamayı, zamanlayıcı 2 'yi sıfırlamayı (reset), dört tane zamanlayıcısını oluşturmayı ve 6 tane HSO çıkışlarından birini veya fazlasını lojik 0 veya lojik 1 yapmayı içerir. HSO ünitesi Öz Adreslenebilir Bellek (CAM) bloğunda belirlenen zamanları ve bir sonuca kadar olan değerleri depolama özelliğine sahiptir. Her komut zamanlayıcı 1 veya zamanlayıcı 2 'nin referans zaman değerine geldiğinde ve kesintinin oluşmasına yani olayın referans zamanı eşitliğine göre olayın zamanını belirler.

6.9. Analog Dijital (A/D) Çevirici

Analog Dijital Çevirici analog giriş gerilimini sayısal eşdeğerine çevirir. Hassasiyet 8 veya 10 bittir. Örnekleme veya çevirim zamanı ayarlanabilir. Kendiliğinden A/D çevirimi sağlama ve sonucu saklama PTS 'nin A/D modülü tarafından kolaylaştırılır. A/D çeviricinin ana

bölümleri örnekleme ve tutma devresi, 8 kanal çoğullayıcı ve 8 veya 10 bit Ardışıl yaklaşımlı Analog Dijital çeviriciden oluşur.

6.10. Darbe Genişlik Modülatörü (PWM)

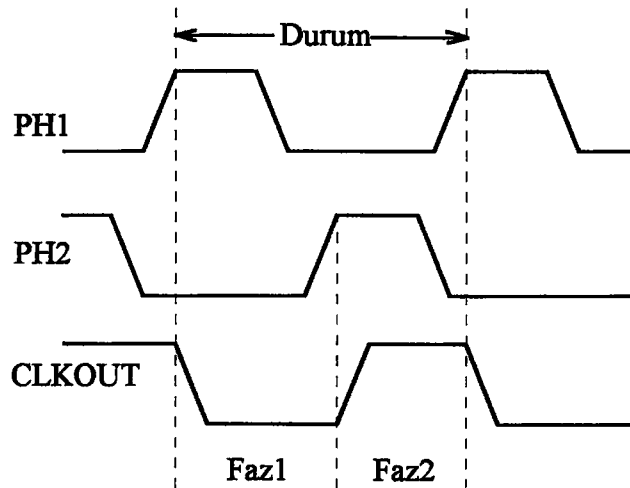
8XC196KC/KD üç PWM modülüne sahiptir. Her birinin çıkış dalga şekli, programlanmış olarak her 256 veya 512 durum zamanında oluşan değişken amaçlı periyot darbesidir. Elektrik motorlarını etkili bir şekilde denetlemek için PWM dalga şekli kullanılır. PWM dalga işareti süzgeç devresinden geçirilirse periyodun değişmesi ile 256 kademeli doğru gerilim seviyesi elde edilir.

6.11. Gözetlemeli sıfırlama sayıcısı

Bu sayıcı yazılım istenildiği gibi çalışmaz ise mikrodenetleyicinin bir müddet sonra sıfırlanmasını sağlar.

6.12. İç zamanlama

Saat darbesi üretici XTAL1 'deki sinyalin frekansını ikiye böler ve PH1 ve PH2 gibi iki iç zamanlama sinyalini üretir. Bu sinyaller lojik 1 oldukları zaman aktif olurlar. PH1 ve PH2 'nin yükselen kenarı ile iç saat darbesi üreticinin çıkışı olan CLKOUT sinyali üretilir.



Şekil 6.2. İç saat darbe fazları



CLKOUT 'a IOC3 kaydedicisindeki bit 1 ile izin verilmeyebilir. Bu bit lojik 1 olursa CLKOUT sinyali önlenir. Bu şekilde sistemin gürültüden etkilenmesi azaltılabilir.

7. 8XC196 KC/KD ADRESLEME TÜRLERİ:

8XC196KC/KD 'nin altı tane adresleme çeşidi vardır. Bunlar;

- Dolaysız-Kaydedici adresleme
- Dolaylı adresleme
- Kendinden artmalı dolaylı adresleme
- Anında adresleme
- Kısa indekslemeli adresleme
- Uzun indekslemeli adresleme

Ayrıca Sıfır Kaydedici Adresleme ve Yığın Gösteren Kaydedici adresleme türleride vardır. Sıfır Kaydedici adresleme uzun indekslemeli adresleme ile ZERO_REG kaydedicisinin bir araya gelmesiyle oluşur. Aynı zamanda bellek bölgesinde herhangi bir bellek gözüne dolaysız olarak ulaşmayı sağlar. Yığın Gösteren Kaydedici adresleme türü yığının tepesindeki veriye ulaşmak için dolaylı adresleme ile Yığın Gösteren Kaydedicinin bir araya gelmesi ile oluşur. Ayrıca yığın içerisindeki bir veriye ulaşmak için kısa indekslemeli adresleme ile yine Yığın Gösteren Kaydedicinin bir araya gelmesi durumunda da oluşur.

7.1. Dolaysız-Kaydedici adresleme

Dolaysız-Kaydedici adresleme alt kaydedici bloğundaki 256 bayt uzunluğundaki bir bölgede bir kaydediciye dolaysız olarak ulaşmak için kullanılır. Bu adresleme türü pencereleme ile üst kaydedici bloğuna dolaysız olarak ulaşabilir. Bu adreslemede kullanılacak

kaydediciler programın başında 8 veya 16 bit olarak belirlenirler. Bu adreslemede sadece kaydedicilerle ilgili kaydediciler arası işlem yapılır. Örneğin;

```
ADD AX, BX, CX ; AX ← BX + CX
MUL AX, BX ; AX ← AX * BX
INCB BL ; CL ← CL + 1
```

Bu örnekte ve bundan sonraki örneklerde kullanılan AX, BX ve CX kaydedicileri 16 bit uzunluğundadır. CL kaydedicisi CX kaydedicisinin hafif ağırlıklı baytı ve 8 bit uzunluğundadır.

7.2. Dolaylı adresleme

Bu adresleme türünde kullanılan 16 bitlik kaydedicideki değer bir adresi gösterir. İlgili işlem bu adresin gösterdiği bellek gözü ile yapılır. Dolaylı adreslemede adresi gösteren kaydedici 16 bit olması gerekmektedir. Örneğin;

```
LD AX, [AX] ; AX ← MEM_WORD (AX)
ADDB AL, BL, [CX] ; AL ← BL + MEM_BYTE (CX)
POP [AX] ; MEM_WORD (AX) ← MEM_WORD (SP)
; SP ← SP + 2
```

7.3. Kendinden artmalı dolaylı adresleme

Dolaylı adresleme türüne benzer. Fakat adresi gösteren 16 bitlik kaydedici işlem sonucunda artar. Eğer kaydedicinin gösterdiği adresteki veri ile 8 bitlik işlem yapılırsa bu kaydedici bir, 16 bitlik işlem yapılırsa aynı kaydedici iki artar. Örneğin;

```
LD AX, [BX] + ; AX ← MEM_WORD (BX)
; BX ← BX + 2
```



```

ADDB AL, BL, [CX] +      ; AL ← BL+MEM_BYTE (CX)
                          ; CX ← CX +1
PUSH [AX] +              ; MEM_WORD(SP) ← MEM_WORD (AX)
                          ; AX ← AX + 2

```

7.4. Anında adresleme

Bu adreslemede bilginin alındığı kaynak sabit bir değeri ifade eder. Komutun içerisinde işlem yapılan sayı değeri görünür. Bu değer işlemin durumuna göre 8 bit veya 16 bit olabilir. Örneğin;

```

ADD AX, #340H           ; AX ← AX + 340H
PUSH #1234H             ; SP ← SP - 2
                       ; MEM_WORD (SP) ← 1234H
DIVB AX, #10H           ; AL ← AX / 10H
                       ; AH ← AX MOD 10H

```

7.5. Kısa indekslemeli adresleme

16 bitlik bir kaydedicideki değer ile 8 bitlik sabit bir değer toplanır ve oluşan yeni değer bir adresi gösterir. Sonuçta bu adresteki veri ile ilgili işlem yapılır. 8 bitlik sabit değer komut içerisinde görülür ve işaretli bir sayıdır. Dolayısıyla temel alınan değer 127 bayt sonrası ve 128 bayt öncesi için adresleme yapılabilir. Örneğin;

```

LD AX, 12 [BX]          ; AX ← MEM_WORD (BX +12)
MULB AX, BL, 3 [CX]     ; AX ← BL * MEM_BYTE (CX + 3)

```

7.6. Uzun indekslemeli adresleme

Kısa indekslemeli adresleme türüne benzerdir. Herhangi bir komutta adres oluşturulurken 16 bitlik kaydedicideki değer ile 16 bitlik sabit bir değer toplanır. Bu durumdan dolayı 16 bitlik



kaydedicide temel alınan değerin 65535 bayt yukarısı adreslenebilir. Örneğin;

```
AND AX, BX, TABLE [CX] ;AX←BX AND MEM_WORD(TABLE+CX)
ST AX, TABLE [BX] ; MEM_WORD (TABLE + BX) ← AX
ADDB AL, BL, LOOKUP [CX] ;AL←BL +MEM_BYTE(LOOKUP+ CX)
```

7.7. Sıfır kaydedici adresleme

Kaydedici bloğunun ilk iki baytı Sıfır kaydedicisini (ZERO_REG) gösterir. Bu ilk bayt 8XC196 KC/KD donanımı vasıtasıyla daima sıfırlanır. Programda değeri sıfır ile ilgili olan hesaplamalarda ve karşılaştırmalarda kolaylık sağlar. Sıfır kaydedicisi uzun indekslemeli adreslemede 16 bitlik temel adresi gösteren kaydedici olarak alınabilir. Bu kaydedicinin sürekli sıfır olması sebebiyle bellekte herhangi bir gözü adresleyebilir. Örneğin;

```
ADD AX, 1234H [ZERO_REG] ;AX←AX +MEM_WORD (1234H)
POP 5678H [ZERO_REG] ;MEM_WORD(5678H)←MEM_WORD(SP)
; SP ← SP + 2
```

7.8. Yığın Gösteren Kaydedici adresleme

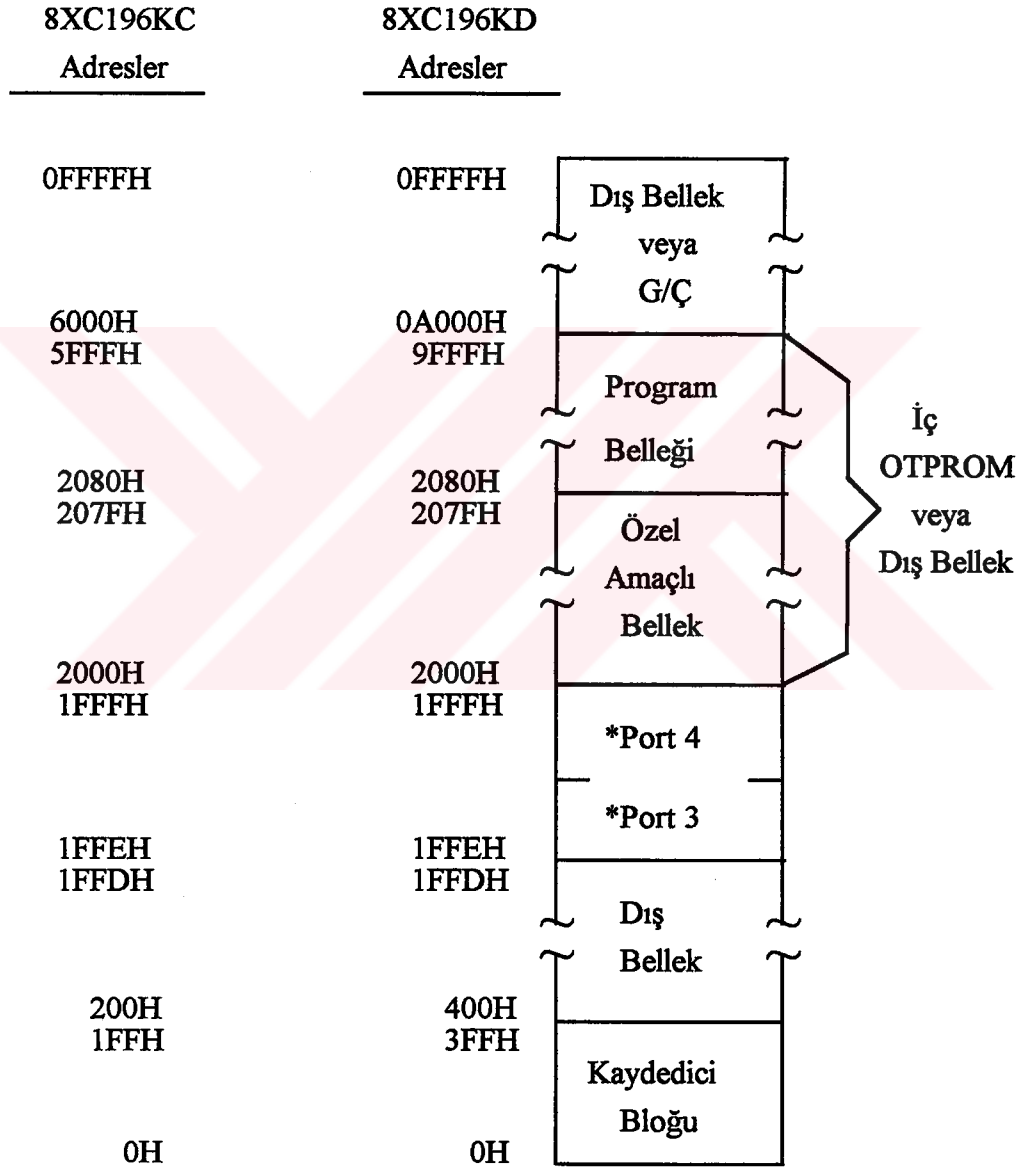
Alt kaydedici bloğunda 18H ve 19H adreslerindeki baytlar Yığın Gösteren Kaydedici için ayrılmıştır. Yığın Gösteren Kaydedici yığın adresinin en üstünü gösteren 16 bitlik bir adres olarak kullanılır. Bu adreslemeye örnek;

```
PUSH [SP] ; Yığının tepesindeki bayt bir defa daha yığının
; tepesine kopyalanıyor.
LD AX, 2[SP] ; Yığının tepesinden iki fazla olan adresteki
; veri AX 'e yükleniyor
```



8. 8XC196KC/KD BELLEK BÖLGELERİ

Bu bölümde 8XC196KC ve 8XC196KD için adreslenebilir bellek bölgeleri tanımlanmaktadır. Her iki denetleyici 64 KBayt bellek bölgesine sahiptir. Bu bölgelerin büyük bir bölümü program ve.



* Port 3 ve Port 4 beraber kullanılır.

Şekil 8.1. 8XC196KC ve 8XC196KD için bellek bölgeleri

veri bölgeleri olarak kullanılır. Her bellek gözü bir bayttır. Şekil 8.1 gerekli bellek bölgelerini göstermektedir. 8XC196KC ve 8XC196KD 'nin bellek bölgeleri birbirinden farklıdır

8.1. Dış bellek bölgesi

Kaydedici bloğunun yukarı adres bölgeleri dış bellek veya giriş/çıkış olarak ayrılır (Şekil 8.1). 8XC196KC/KD çeşitli dış bellek ünitelerine bağlanabilir. Bu durum bölüm 10 'da anlatılmaktadır.

8.2. Port 3 ve Port 4

16 bit uzunluğundaki bir kelimenin alt baytı port 3'e ve üst baytı port 4'e dahil olmak üzere bu portlardan okuma ve yazma kelime olarak yapılır. Bu portlar giriş/çıkış veya sistemin adres/veri yolu olarak, aynı zamanda Dış Erişim (EA#) bacağına göre her ikisi beraber olarak kullanılabilir. Eğer EA# bacağı lojik 0 ise bu portlar Adres/Veri yolu olarak kullanılır.

8.3. Program ve özel amaçlı bellek

Bu bölge bellek bölgesinde 8XC196KC için 16 KBaytlık ve 8XC196KD için 32 Kbaytlık yer tutar (Şekil 8.1). Bu bölgeler iç OTPROM veya dış bellek olarak ifade edilir.

8.4. İç veya dış bellek bölgesini seçme

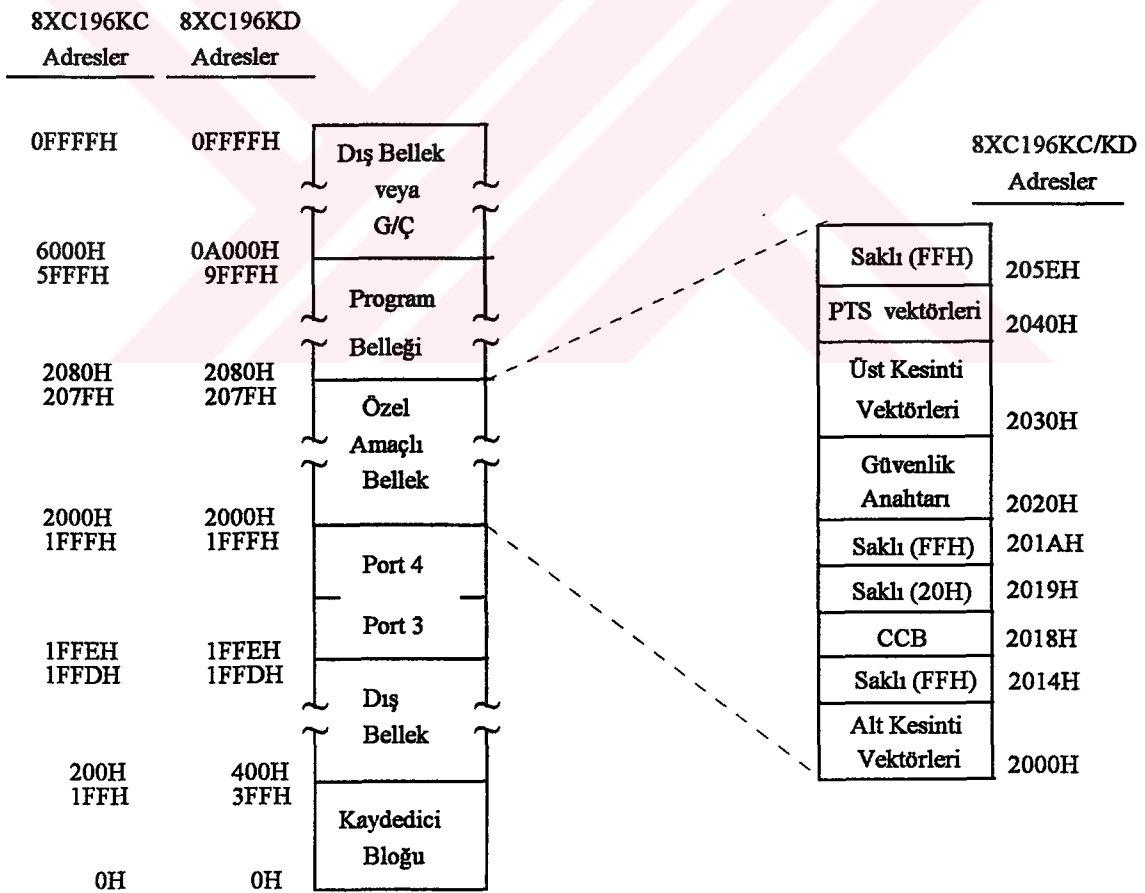
Program veya özel bellek bölgelerine ulaşmak iç OTPROM veya dış bellek olmak üzere iki değişik şekilde olur. Dış veya iç belleği kullanmak EA# bacağı'nın değeri ile belirlenir. Bu değer denetleyici tarafından sıfırlama sinyalinin çıkan kenarı ile görülür ve sistem bir daha sıfırlanıncaya kadar tutulur. Eğer EA# lojik 0 ise bu adres aralığında dış belleğe, eğer EA# lojik 1 ise iç OTPROM 'a ulaşılır.

8.5. Program Belleği

Program belleği 8XC196KC 'de 2080H-5FFFH ve 8XC196 KD'de 2080H-9FFFH adresleri arasındaki bölgededir. Denetleyici sıfırlanınca 2080H bellek gözündeki komutu alır ve yürürlüğe koyar.

8.6. Özel amaçlı bellek

Özel amaçlı bellek 2000H-207FH adresleri arasındaki bölgedir (Şekil 8.2). Bu bölge saklı tutulan bellek gözlerini, standart kesintiler ve Paralel İşlem Yardımcısı (PTS) için vektörleri, güvenlik anahtarını ve Tümdevreyi Ayarlama Baytını (CCB) içerir.



Şekil 8.2. 8XC196KC/KD Özel amaçlı bellek haritası

8.6.1. Saklı tutulan bellek gözleri

Bu tür bellek gözleri geliştirilecek yeni ürünler veya test etme işlemi için saklanır. Kullanıcının yapacağı program, saklı tutulan bellek gözlerini okuma ve bu bellek gözlerine yazma işlemini yapmaması gerekir.

8.6.2. Kesme İsteği vektörleri

Üst ve alt kesme isteği vektörleri kesme isteği servis alt programlarının adreslerini içerir. Paralel İşlem Yardımcısı (PTS) vektörleri PTS denetleme bloklarının adreslerini içerir.

8.6.3. Güvenlik anahtarı

Güvenlik anahtarı OTPROM 'u programı yazarların dışındaki kimsenin programı okumasını önlemek için kullanılır. Eğer Tümdevre Ayarlama Kaydedicisindeki (CCR) güvenlik kilitleme bitleri (CCR.6 ve CCR.7) sıfırlanırsa, 16 bayt olarak programlanabilen güvenlik kodlarının her biri dış bellekte karşılık gelen baytlar ile karşılaştırılır. Eğer dış veri ile güvenlik anahtarı birbirinin aynısı değil ise denetleyici istenilen program moduna giriş yapmaz.

8.6.4. Tümdevre Ayarlama Baytı (CCR)

Bu bayt sıfırlama işleminden önce bellekten alınan bir bayttır. Bu işlemden sonra sıfırlama işlemi gerçekleşir. CCR iç belleğin okunmasını önlemeyi, iç READY modunu, yol denetleme sinyallerini, yol genişliğini seçme işlemini ve düşük güç harcama modunu denetler.

8.7. Kaydedici bloğu

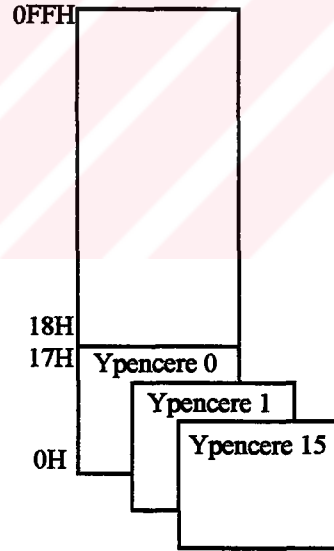
Kaydedici bloğu üst ve alt kaydedici bloğu olmak üzere ikiye ayrılır (Şekil 8.3) Üst kaydedici bloğu genel amaçlı kaydedici RAM 'ı içerir. Alt kaydedici bloğu genel amaçlı kaydedici RAM 'ı, Yığın



önceden bilinmesi gerekir. Sonuçlar SFR 'nin içeriğini değiştirebilir ve bazı SFR 'ler okunduktan sonra sıfırlanabilir.

8.8. Yatay pencereleme (Ypencere)

8XC196KC/KD alt kaydedici bloğunun alt 24 baytının içerisinde değişik üç tane 24 bayt bellek bloğu olan (Ypencere 0, 1 ve 15) yatay pencereleme düzenini kullanır (Şekil .8.4). Her Ypencere SFR 'nin değişik durumlarına ulaşip okumayı ve yazmayı sağlar. Bir kısım kaydedicilere bir bayt olarak ve diğerlerine ise kelime olarak ulaşılır. Pencere Seçme Kaydedicisi (WSR) gibi bazı kaydedicilere yatay pencerelerin hepsinde ulaşmak mümkün olur. Diğer kaydedicilere yatay pencerenin birinde yazmak mümkün olduğu gibi diğer yatay pencerede okumak mümkündür.



Şekil 8.4. Yatay pencereleme (Ypencere)

8.8.1. Ypencere seçme işlemi

Pencere Seçme Kaydedicisi (WSR, 14H) yatay ve dişey pencerelere ulaşmayı sağlar. Bir yatay pencereyi seçmek için istenen pencerenin numarası WSR.0-WSR. 3 bitlerine yazılır. Bu durumda

WSR.4-WSR.6 bitleri lojik sıfır olmalıdır. Tablo 8.1 'de her bir pencerenin nasıl seçileceği gösterilmiştir.

Tablo 8.1. Yatay pencere seçimi

| Ypencere | WSR içeriği |
|----------|-----------------|
| 0 | X000 0000B= 00H |
| 1 | X000 0001B= 01H |
| 15 | X000 1111B= 0FH |

8.8.2. Ypencere 0

Ypencere 0 şartlanma yapılmadan önceki normal durumdaki penceredir. Bu pencere okumada ondokuz kaydediciye ve yazmada yirmibir kaydediciye ulaşmayı sağlar (Şekil 8.5). Bazı kaydediciler (Örn: INT_MASK 1) Ypencere 0 'da okunabilir ve aynı pencerede yazılabilir türdendir. Diğer kaydediciler ise Ypencere 0'da okunabilir fakat aynı pencereye yazma durumunda başka bir kaydedici karşuya çıkar (Örn: IOS1). Bu çeşit kaydediciler Ypencere 0'da okunabilir ve aynı tür kaydedicilere Ypencere 15 'de bilgi yazılabilir.

8.8.3. Ypencere 1

Ypencere 1 okuma ve yazma işleminde 12 kaydediciye ulaşmayı sağlar. Aynı zamanda bu penceredeki bazı kaydedicilere Ypencere 0 ve Ypencere 15 'de erişmek mümkündür (Şekil 8.5, Şekil 8.6).

8.8.4. Ypencere 15

Ypencere 15 0CH-10H arasındaki adresler hariç Ypencere 0'daki benzer kaydedicilere ulaşmayı sağlar (Şekil 8.6). 0CH ve 0DH adresleri arasındaki baytlar Ypencere 0 'da 16 bit zamanlayıcı 2 kaydedicisi fakat Ypencere15'de 16 bit T2CAPTURE kaydedicisini gösterir..



| Ypencere 0 (Oku) | | Ypencere 0 (Yaz) | | Ypencere 1 (Oku/Yaz) | |
|---------------------|-------------------|---------------------|-----|-------------------------|--|
| 17H | IOS2 | PWM0_CONTROL | 17H | PWM2_CONTROL | |
| 16H | IOS1 | IOC1 | 16H | PWM1_CONTROL | |
| 15H | IOS0 | IOC0 | 15H | Saklı | |
| 14H | WSR | WSR | 14H | WSR | |
| 13H | INT_MASK1 | INT_MASK1 | 13H | INT_MASK1 | |
| 12H | INT_PEND1 | INT_PEND1 | 12H | INT_PEND1 | |
| 11H | SP_STAT | SP_CON | 11H | Saklı | |
| 10H | IOPORT2 | IOPORT2 | 10H | Saklı | |
| 0FH | IOPORT1 | IOPORT1 | 0FH | Saklı | |
| 0EH | IOPORT0 | BAUD_RATE | 0EH | Saklı | |
| 0DH | TIMER2(ÜST B.) | TIMER2(ÜST B.) | 0DH | Saklı | |
| 0CH | TIMER2(ALT B.) | TIMER2(ALT B.) | 0CH | IOC3 | |
| 0BH | TIMER1(ÜST B.) | IOC2 | 0BH | Saklı | |
| 0AH | TIMER1(ALT B.) | WATCHDOG | 0AH | Saklı | |
| 09H | INT_PEND | INT_PEND | 09H | INT_PEND | |
| 08H | INT_MASK | INT_MASK | 08H | INT_MASK | |
| 07H | SBUF(RX) | SBUF(TX) | 07H | PTSSRV(ÜST B.) | |
| 06H | HSI_STATUS | HSO_COMMAND | 06H | PTSSRV(ALT B.) | |
| 05H | HSI_TIME(ÜST B.) | HSO_TIME (ÜST B.) | 05H | PTSSEL(ÜST B.) | |
| 04H | HSI_TIME(ALT B.) | HSO_TIME (ALT B.) | 04H | PTSSEL(ALT B.) | |
| 03H | AD_RESULT(ÜST B.) | HSI_MODE | 03H | AD_TIME | |
| 02H | AD_RESULT(ALT B.) | AD_COMMAND | 02H | Saklı | |
| 01H | ZERO_REG(ÜST B.) | ZERO_REG(ÜST B) | 01H | ZERO_REG(ÜST B.) | |
| 00H | ZERO_REG(ALT B.) | ZERO_REG(ALT B.) | 00H | ZERO_REG(ALT B.) | |

Şekil 8.5. Ypencere 0, 1

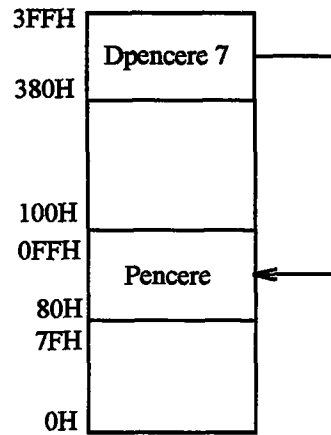
0EH ve 10H adresleri arasındaki baytlar Ypencere 0 'da IOPORT0, IOPORT1 ve IOPORT2 kaydedicilerdir. Fakat aynı baytlar Ypencere 15 'de saklı tutulur. Ypencere 15 'de yazma işlemi yapılan kaydediciler, Ypencere 0 'da okunabilirler.

8.9. Düşey pencereleme (Dpencere)

Düşey pencereleme alt kaydedici dosyasını 32, 64, 128 baytlık bloklar halinde üst kaydedici bloğuna haritalandırma işlemidir.

| | Ypencere 15 (Oku) | Ypencere 15 (Yaz) |
|-----|----------------------|----------------------|
| 17H | PWM0_CONTROL | IOS2 |
| 16H | IOC1 | IOS1 |
| 15H | IOC0 | IOS0 |
| 14H | WSR | WSR |
| 13H | INT_MASK1 | INT_MASK1 |
| 12H | INT_PEND1 | INT_PEND1 |
| 11H | SP_CON | SP_STAT |
| 10H | Saklı | Saklı |
| 0FH | Saklı | Saklı |
| 0EH | Saklı | Saklı |
| 0DH | T2CAPTURE(ÜST B.) | T2CAPTURE(ÜST B.) |
| 0CH | T2CAPTURE(ALT B.) | T2CAPTURE(ALT B.) |
| 0BH | IOC2 | TIMER1(ÜST B.) |
| 0AH | WATCHDOG | TIMER1(ALT B.) |
| 09H | INT_PEND | INT_PEND |
| 08H | INT_MASK | INT_MASK |
| 07H | SBUF(TX) | SBUF(RX) |
| 06H | HSO_COMMAND | HSI_STATUS |
| 05H | HSO_TIME(ÜST B.) | HSI_TIME (ÜST B.) |
| 04H | HSO_TIME (ALT B.) | HSI_TIME(ALT B.) |
| 03H | HSI_MODE | AD_RESULT(ÜST B.) |
| 02H | AD_COMMAND | AD_RESULT(ALT B.) |
| 01H | ZERO_REG(ÜST B.) | ZERO_REG(ÜST B.) |
| 00H | ZERO_REG(ALT B.) | ZERO_REG(ALT B.) |

Şekil 8-6. Ypencere 15



Şekil 8.7. Yatay pencereleme



8XC196KC 16 çeşit 32 bayt, 8 çeşit 64 bayt ve 4 çeşit 128 bayt düşey pencereleme yapılabilir. 8XC196KD ise 8XC196KC 'nin sahip olduğu düşey pencerelemenin iki katına sahiptir. Şekil 8.7. düşey pencerelemeye ait bir örneği gösterir

8.9.1. Dpencere seçme işlemi

Pencere seçme kaydedicisi (WSR, 14H) yatay pencerelere veya düşey pencelere ulaşmayı sağlar. WSR.4, WSR.5 veya WSR.6 bitlerinden herhangi birisinin lojik 1 olması şartıyla sırayla 128 , 64 ve 32 bayt Dpenceleri seçilir(Şekil 8.7). Bu durumda WSR 'nin alt bitlerine (WSR.3, WSR.2, WSR.1ve WSR.0) Dpencerenin numarası yazılır.

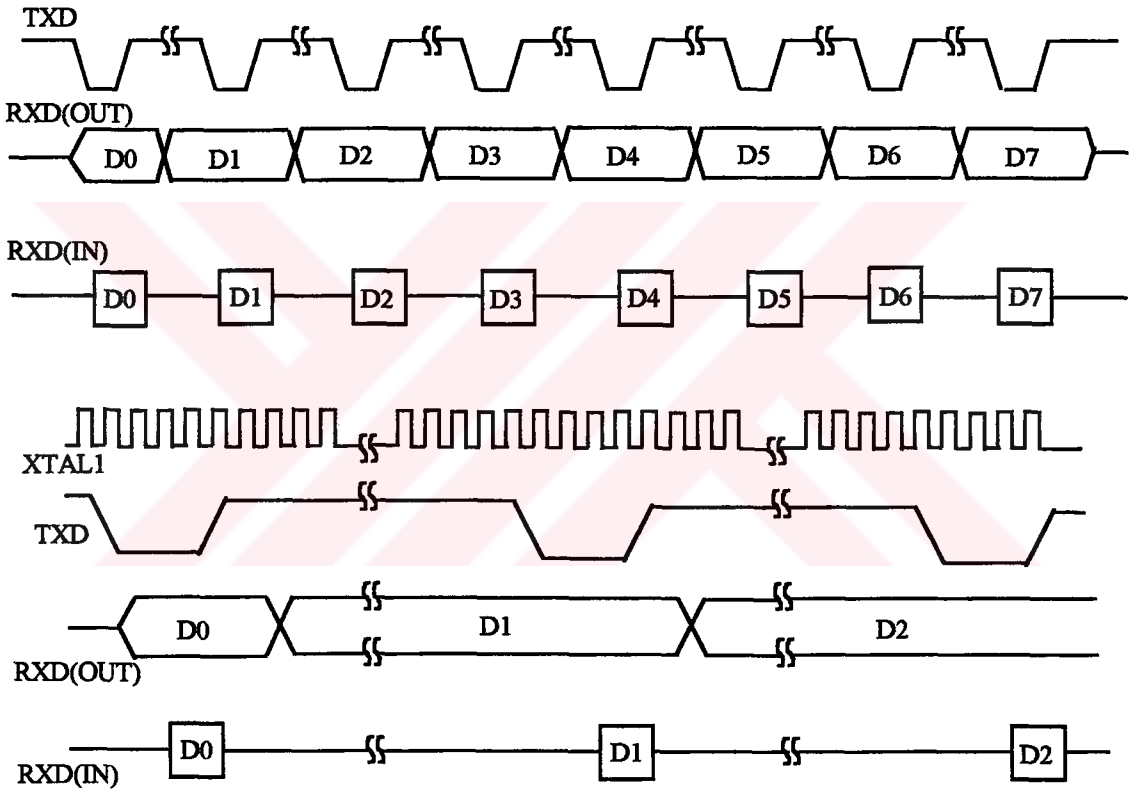
9. SERİ GİRİŞ/ÇIKIŞ PORTU

8XC196KC/KD 'de seri Giriş/Çıkış portu genel asenkron alıcı ve vericiyi (UART) içeren asenkron/senkron bir porttur. UART 'ın alma ve gönderme işlemi yapabilen senkron modu (Mode 0) ve üç asenkron modu (Mode 1, 2 ve 3) vardır. UART 'ın şartlandırılması ve kullanılması için bazı kaydediciler vardır. Bu kaydediciler daha sonra detaylı olarak anlatılacaktır.

SP_CON kaydedicisi haberleşme modunu seçmeyi, alma işlemine izin verip vermemeyi, Çift Eşitlik bitini denetlemeyi ve dokuz bit veri göndermeyi sağlar. SP_STAT kaydedicisi Alma İşlemi Kesme İsteği bayrağını (RI) ve Gönderme İşlemi Kesme İsteği bayrağını (TI) ve diğer durum bitlerini içerir. SP_STAT kaydedicisi okunduktan sonra TXE biti hariç diğer bütün bayraklar sıfırlanır. Bu yüzden SP_STAT kaydedicisinin içeriği bir görüntü kaydedicisine kopyalanır. Daha sonra görüntü kaydedicisinde JBC ve JBS bit-test komutları yürütülür.

Alınan veri SBUF(RX) kaydedicisine yazılır. Aynı zamanda gönderilen veride aynı adreste bulunan SBUF(TX) kaydedicisine

geliştirilmesidir (Şekil 9.1). RXD ucu gönderme ve alma işlemlerinin her ikisini sağlarken TXD sekiz tane saat darbesi göndermeye şartlandırılır. Verinin önce en hafif biti gönderilir. Şekil 9.2. Mod 0'da gönderme ve alma işlemi gerçekleşirken oluşan zamanlama işaretlerini gösterir.



Şekil 9. 2. Mod 0 için zamanlama işaretleri

Mod 0'da RXD 'ye gönderme işlemi sırasında izin verilmemeli ve alma işlemi sırasında izin verilmelidir. RXD 'ye izin verme veya izin vermeme seri portun şartlamasını yapan kaydediciler tarafından sağlanır. RXD 'ye izin verilmediği zaman SBUT(TX)'e veri yazıldığında gönderme işlemi başlar. Eğer RXD 'ye izin verilirse RXD 'nin yükselen kenarı veya alma işlemi kesintisi (RI) bayrağının sıfırlanması ile alma işlemi başlar.

RXD 'ye izin verilmemesiyle devam eden alma işlemi durur ve sonraki alma işlemi yasaklanır. İstenmeyen veya yarım bilgi alma durumunu ortadan kaldırmak için RI bayrağı sıfırlanmadan önce RXD 'ye izin verilmemelidir.

9.2. Asenkron modlar

Mod 1,2 ve 3 çift yönlü seri gönderme/alma işlemi gerçekleştiren modlardır. Bu modların aynı anda bilgi gönderebilmesi ve bilgi alabilmesi mümkündür. Mod 1 standart 8 bitlik veri için normal seri haberleşme için kullanılan asenkron moddur. Mod 2 ve 3 ise mikroişlemciler arası 9 bit haberleşme için kullanılır. Mod 2 'de sadece 9.bit lojik 1 olursa seri port kesme isteği üretir. Mod 3 'de seri port daima verinin alınması veya gönderilmesinin tamamlanması durumunda kesme isteği üretir.

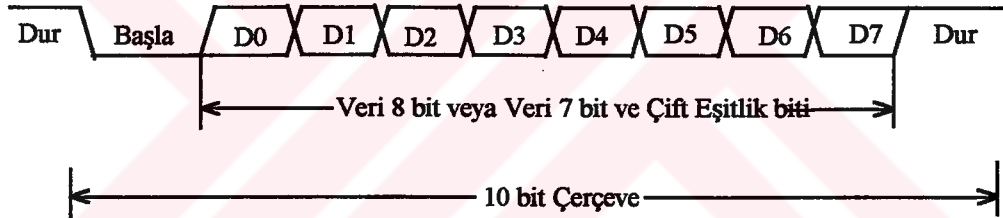
Seri port Mod 1, 2 veya 3 için ayarlandığı zaman SBUF(TX) 'e bilginin yazılması seri portun veri gönderme işlemine başlamasına neden olur. SBUF(TX)'e yeni bir veri yazılırsa Durma Biti gönderilinceye kadar yeni veri gönderilmez. RXD 'ye izin verilirse RXD giriş işaretinin düşen kenarı seri portun veri alma işlemine başlamasına neden olur. RXD 'ye izin verilmemesi durumunda devam eden alma işlemi durur ve sonraki alma işlemleri yasaklanır.

9.2.1. Mod 1

Mode 1 standart asenkron haberleşme modudur. Bu modda kullanılan Veri Çerçevesi 10 bitten oluşur (Şekil 9.3). Bunlar bir başlama biti (0), sekiz veri biti (önce hafif ağırlıklı bit - LSB) ve bir Dur biti(1) 'dir. Eğer Eşitlik Bitine izin verilirse, Çift Eşitlik biti 8. veri biti yerine gönderilir ve alma işleminde eşitliği denetlemek için kullanılır.



Alma işlemi sırasında RI bayrağı son veri bitinin alınmasından sonra lojik 1 olur. Alma kesme isteği işareti oluşturulmadan önce RI bayrağı lojik 1 durumundadır. Gönderme işlemi sırasında 8. veri biti gönderildikten sonra lojik 1 olur. TI bayrağı lojik 1 olduğu zaman gönderme kesme isteği işaretinin oluşması mümkün olur. Gönderme ve alma işlemleri ayrı öteleme için kullanılan saat darbeleri tarafından denetlenir. Gönderme işlemi için kullanılan öteleme saat darbeleri Karakter Hız Üretici şartlandığında başlar. Alma işleminde kullanılan saat darbesi düşen kenar tetikleme alındığı zaman sıfırlanır. Bu yüzden gönderme işlemi için kullanılan saat darbesi, alma işlemindeki saat darbesi ile eşit frekansta olmalarına rağmen bu iki saat darbesi uyumlu olmayabilir.



Şekil 9.4. Mod 1 için seri port veri çerçevesi

Gönderme İşlemi Kesme İsteği (TI) ve Alma İşlemi Kesme İsteği (RI) bayrakları işlemlerin tamamlandığını göstermek için lojik 1 olurlar. Alma işlemi sırasında RI bayrağı durma bitinden hemen önce lojik 1 olur. Alma İşlemi Kesme İsteği sinyali, RI bayrağı lojik 1 olduğu zaman oluşur. Gönderme işlemi sırasında TI bayrağı durma bitinin başlamasıyla lojik 1 olur. Gönderme İşlemi Kesme İsteği sinyali TI bayrağı lojik 1 olursa üretilir. Sonraki bayt durma biti gönderilinceye kadar gönderilmez.



9.2.2. Mod 2:

Mod 2, 9 bit asenkron moddur. Bu mod çok işlemcili sistemlerin haberleşmeleri için Mod 3 ile ortaklaşa kullanılır. Şekil 9.5. bu modda kullanılan veri çerçevesini gösterir. Bu mod başlama bitini (0), dokuz veri bitini (önce en hafif ağırlıklı bit - LSB) ve bir durma bitini (1) içerir. Gönderme işlemi sırasında 9. bit göndermek için, SBUF(TX) 'e bilgi yazılmadan önce SP_CON kaydedicisinde 9. bit görevini yapan TB8 biti kullanılır. Mikrodenetleyici donanımı her gönderme işleminden sonra TB8 bitini sıfırlar. Bu nedenle SBUF(TX) 'e gönderilecek veri yazılmadan önce 9. bit yerine geçen TB8 biti belirlenmelidir. Alma işlemi sırasında RI bayrağı lojik 1 olur ve sadece TB8 biti lojik 1 ise kesme isteği üretilir. Bu modda Eşitlik İşlemine izin verilmez.



Şekil 9.5. Mod 2 için seri port veri çerçevesi

9.2.3. Mod 3

Mod 3, asenkron 9 bitlik moddur. Bu mod için veri çerçevesi Mod 2 ile aynı yapıdadır. Mod 3 'ün Mod 2 'den farkı, eşitlik işlemine izin verilmesidir. Bu nedenle 9. bit çift eşitlik biti olur. Eşitlik işlemine izin verilmediği zaman 0-7 arasındaki veri bitleri verici Destek Kaydedicisine ve 9. veri biti SP_CON kaydedicisindeki bit 4 'e (TB8) yazılır. Mod 3 'de alma işlemi 9. bitin durumu ne olursa olsun bir kesme isteğine neden olur. Eğer Eşitlik İşlemine izin verilmez ise alma işleminde 9. veri biti SP_STAT kaydedicisinin bit 7 'sinden (RB8)



okunabilir. Eşitlik işlemine izin verilmez ise RB8 , Alma İşlemi Eşitlik Hata bayrağı (RPE) olur.

Tablo 9.1. Seri portu şartlamak için gerekli kaydediciler

| Kayd. sembolü | Kaydedici adı | Tanımlama |
|---------------|--------------------------------|--|
| BAUD_RATE | Karakter Hızı Ayarı | Bu kaydedici seri portun karakter hızını ve saat darbesi kaynağını seçer. Kaydedici adresine ilk bayt, hafif ağırlıklı bayt olmak üzere iki defa yazma işlemi yapılır. En yüksek ağırlıklı bit saat darbesi kaynağını seçer. En hafif 15 bit saniyedeki karakter hızı olarak belirlenen işaretli tamsayı değeri BAUD_VALUE 'yi gösterir. |
| IOC1 | I/O kontrol kaydedicisi | Bu kaydedicinin 5. biti lojik 1 olması P2.0 bacağına TXD fonksiyonu olmasına izin verir. |
| SBUF (RX) | Seri port alma kaydedicisi | Bu kaydedici seri porttan alınan veriyi içerir. |
| SBUF (TX) | Seri port gönderme kaydedicisi | Kaydedici göndermek için hazır olan veriyi gösterir. Mod 1,2 ve 3 'de SBUF(TX) 'e veri yazılırsa ve alma işlemine izin verilmemiş (SP_CON.3 = 0) ise gönderme işlemi başlar. |
| SP_CON | Seri port kontrol kaydedicisi | Bu kaydedici haberleşme modunu seçer ve alma işlemine, çift eşitlik işlemine ve 9 bit veri göndermeye izin verebilir. Her gönderme işleminden sonra TB8 sıfırlanır. |
| SP_STAT | Seri port durum kaydedicisi | Bu kaydedici seri port durum bitlerini içerir. Alma kaydedicisi Üzerine Yazma Hatası (OE), Gönderme Kaydedicisi Boş (TXE), Çerçeveleme Hatası (FE), Gönderme İşlemi Kesme isteği (TI), Alma İşlemi Kesme İsteği (RI) ve Alma İşlemi Eşitlik Hatası (RPE) veya Alma işlemindeki 8. bit (RB8) için durum bitlerine sahiptir. SBUF(TX) 'e yazma işlemi yapılırsa TXE biti sıfırlanır. |

9.2.4. Mod 2 ve Mod 3 zamanlama

Mod 2 ve Mod 3 'deki çalışma Mod 1 'deki çalışmaya benzer. Aralarındaki fark gönderme ve alma işleminde veri 9 bit ve bilgi çerçevesinin 11 bit uzunluğunda olmasıdır. Alma işlemi sırasında RI bayrağı durma bitinin sonunda lojik 1 olur. Alma işlemi kesme isteği sinyali RI bayrağı lojik 1 olduğu zaman üretilir. Gönderme işlemi sırasında TI bayrağı durma bitinin başlamasıyla lojik 1 olur. Gönderme



işlemi kesme isteği sinyali TI bayrağı lojik 1 olduğu zaman üretilir. 9. bit eşitlik işlemi veya çok işlemcili haberleşmeler için kullanılabilir.

9.3. Seri portun programlanması

Tablo 9.1. seri port fonksiyonlarını ve işlemlerini ayarlayan kaydedicileri gösterir.

9.3.1. Eşitlik işlemine izin verme ve haberleşme modunu seçme

SP_CON kaydedicisinin bit 0 ve bit 1 'i seri haberleşme modunu seçer.(Tablo 9.2, Şekil 9.6). Yeni mod seçilirse seri giriş/çıkış portu sıfırlanır ve devam etmekte olan alma veya gönderme işleminin durmasına neden olur. Bit 2 'nin lojik 1 olması Eşitlik işlemine izin verir. Bit 3 'ün lojik 1 olması P2.1 bacağıının RXD fonksiyonu olmasına izin verir. Bit 4, Mod 2 veya Mod 3 'de gönderme işleminde 9. veri biti veya eğer eşitlik işlemine izin verilmiş ise Çift Eşitlik biti değeridir. Bit 4 (TB8) her göndermeden sonra sıfırlanır

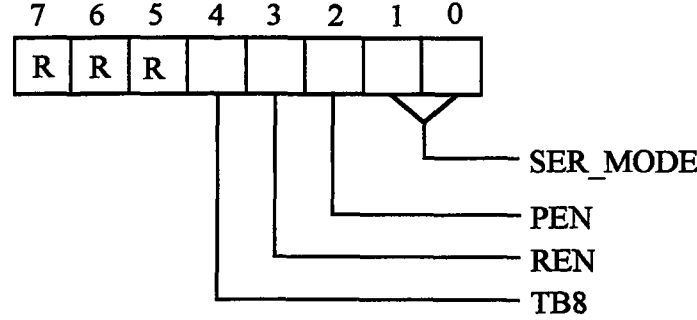
Tablo 9.2. Mod seçme

| Bit 1 | Bit 0 | Seçilen mod |
|-------|-------|-------------|
| 0 | 0 | Mod 0 |
| 0 | 1 | Mod 1 |
| 1 | 0 | Mod 2 |
| 1 | 1 | Mod 3 |

9.3.2. TXD ve RXD için şartlamalar

Tablo 9.3. seri port ile biraradaki diğer işlevli bacakları listeler. IOC1 kaydedicisinin 5. biti lojik 1 ise TXD 'ye izin verilir eğer aynı bit lojik 0 ise TXD 'ye izin verilmez. SP_CON kaydedicisinin 3. biti lojik 1 ise RXD 'ye izin verilir eğer bu bit lojik 0 ise RXD 'ye izin verilmez.





Şekil 9.6. SP_CON kaydedicisi

Tablo 9.3. Seri port sinyal bacakları

| Fonk. | Ek fonk. | Seçilme dur. | Tip | Tanımlama |
|-------|----------------|------------------------|-----|--|
| RXD | P2.1/ PALE | SP_CON=1 | I/O | Seri veri alma. Mod 1,2 ve 3 'de RXD karşı üniteden gönderilen verinin giriş bacağı. Mod 0 'da giriş ve çıkış. |
| T2CLK | P2.3 | BAUD_ RATE MSB=0 | I | Zamanlayıcı 2 saat darbe girişi ve Karakter Hızı Üretici için iki saat darbesi kaynağından birisi. |
| TXD | P2.0/ PVER# | IOC1.5 = 1 | O | Seri veri gönderme. Mode 1, 2 ve 3 'de TXD seri port çıkış verisini karşıya gönderen bacak. Mod 0 'da seri saat darbesi çıkışıdır. |

9.3.3. Seri port Kesme isteğine izin verme

Seri port gönderme işlemi kesme isteğini ve alma işlemi kesme isteğinin her ikisini veya yalnız seri port kesme isteğini üretmek için ayarlanabilir. Eğer seri port kesme isteği önlenir, alma ve gönderme işlemi kesme isteklerine izin verilirse RI ve TI bayrakları ayrı ayrı alma ve gönderme kesme istekleri üretir. Eğer 8096BH ile uyumluluk söz konusu değil ise bu ayarlama tercih edilir.

8096BH ile uyumluluk istenilirse alma ve gönderme işlemi kesme isteklerine izin verilmez ve seri port kesme isteğine izin verilir. RI ve TI bayraklarının her ikisinde seri port kesme isteklerini üretebilir. TI bayrağı kesme isteği üretirse SP_STAT kaydedicisinde 5. bit lojik 1



olur. RI bayrağı kesme isteđi üretirse SP_STAT kaydedicisindeki 6. bit lojik 1 olur.

Tablo 9.4. Seri port kesme isteđi kaydedicileri

| Kayd. semb. | Kaydedici adı | hex adr | Tanımlama |
|-------------|---------------------------|---------|--|
| INT_MASK | Kesme isteđini önleme | 08H | Bu kaydedicinin 6. bitinin lojik 1 olması 8096BH ile uyumlu olan seri port kesme isteđine (INT 06H - 200CH) izin verir. Aynı bitin lojik 0 olması kesme isteđini önler. |
| INT_MASK1 | Kesme isteđini önleme1 | 13H | Bu kaydedicinin 0. bitinin lojik 1 olması gönderme işlemi kesme isteđine (INT 08H - 2030H) izin verir. 0. bitin lojik 0 olması kesme isteđini önler. Bu kaydedicinin 1. bitinin lojik 1 olması alma işlemi kesme isteđine (INT 09H-2032H) izin verir. 1. bitin lojik 0 olması kesme isteđini önler. |
| INT_PEND | Kesme isteđini bekletme | 09H | Bu kaydedicinin 0. biti lojik 1 olduđu zaman bekletilen seri port kesme isteđini (INT 06H) gösterir. Kesme isteđi vektörü 2030H olduđu zaman bu bit lojik 0 olur. |
| INT_PEND1 | Kesme isteđini bekletme 1 | 12H | Bu kaydedicinin 0. biti lojik 1 olduđu zaman bekletilen gönderme işlemi kesme isteđini (INT 08H) gösterir. Kesme isteđi vektörü 2030H olduđu zaman bu bit lojik 0 olur. Bu kaydedicinin 1. biti lojik 1 olduđu zaman bekletilen alma işlemi kesme isteđini (INT 09H) gösterir. Kesme isteđi vektörü 2032H olduđu zaman bu bit lojik 0 olur. |

Özel kesme isteklerine izin vermek için INT_MASK1 kaydedicisindeki TI_MASK ve RI_MASK bitleri lojik 1 olmalıdır. 8096BH ile uyumlu kesme isteđine izin vermek için INT_MASK kaydedicisindeki SER_MASK bitinin lojik 1 olması gerekir.

9.3.4. Karakter hızı ve saat darbesi kaynađını programlama

BAUD_RATE kaydedicisi Karakter hızı üreteçi için saat darbesi giriřini seçer ve seri Giriř/Çıkıř modlarının hepsi için karakter hızını tanımlar. Kelime uzunluđundaki bu kaydediciye ard arda gelen iki



bayt yüklenmelidir. Bu kaydedici adresine karakter hızını belirleyen kelimenin önce hafif ağırlıklı baytı yüklenir. Kaydedicinin en fazla ağırlıklı biti (Bit 15) Karakter Hız Üreteçi için iki uygun saat darbesi kaynağından birisini seçer. Eğer 15. bit lojik 1 ise XTAL1 giriş sinyali (f_{osc}) veya bu bit lojik 0 ise T2CLK bacağındaki dış giriş sinyali Karakter Hız Üreteçi saat darbesi kaynağı olarak seçilir. En yüksek T2CLK giriş frekansı $f_{osc} / 4$ 'tür.

Bu kaydedicinin alt 15 biti karakter hızı olarak hesaplanan işaretli tamsayı olan BAUD_VALUE 'yi gösterir. Bu değer en fazla 7FFFH (32767) olabilir. Verilen bir saniyedeki karakter hızı BAUD_VALUE değerini hesaplamak için aşağıdaki ifadeler kullanılır.

Senkron mod 0 için;

$$\text{BAUD_VALUE} = \frac{f_{osc}}{\text{Karakter hızı} \times 2} - 1 \text{ veya } \frac{\text{T2CLK}}{\text{Karakter hızı}} \quad (9.1)$$

Asenkron mod 1, 2, ve 3 için;

$$\text{BAUD_VALUE} = \frac{f_{osc}}{\text{Karakter hızı} \times 16} - 1 \text{ veya } \frac{\text{T2CLK}}{\text{Karakter hızı} \times 8} \quad (9.2)$$

Tablo 9.5. 16 MHz 'de XTAL1 kullanıldığı zaman BAUD_RATE değerleri

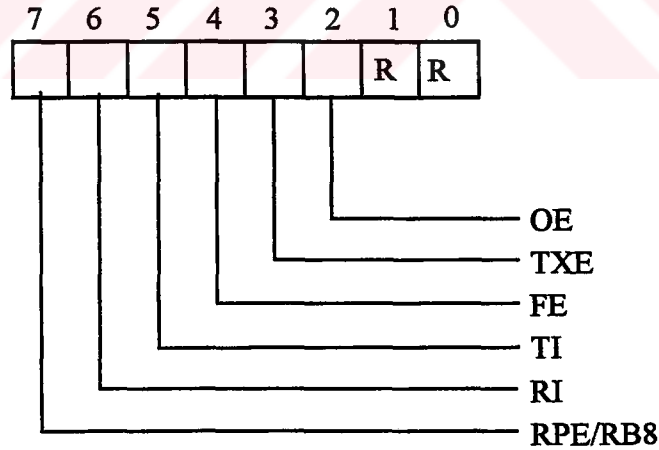
| Karakter hızı | BAUD RATE | | % Hata | |
|---------------|-----------|-----------|--------|-----------|
| | Mod 0 | Mod 1,2,3 | Mod 0 | Mod 1,2,3 |
| 9600 | 8340H | 8067H | 0.04 | 0.16 |
| 4800 | 8682H | 80CFH | 0.02 | 0.16 |
| 2400 | 8D04H | 81A0H | 0.01 | 0.08 |
| 1200 | 8A9AH | 8340H | 0 | 0.04 |
| 300 | E82BH | 8D04H | 0 | 0.01 |



Tablo 9.5. Karakter hız üreteci için 16 MHz'lik XTAL1 saat darbesi giriş seçildiği zaman çok kullanılan karakter hızları için BAUD_RATE değerlerini gösterir. BAUD_VALUE denklemi tam kesin denklem olmadığından sonuçlar yaklaşık olarak hesaplanmıştır. Tablo 9.5 aynı zamanda bu yaklaşık değerler ile gerçek değerler arasındaki hatayı yüzde olarak gösterir. Çoğu zaman karakter hızlarındaki %5 'lik fark ihmal edilebilir.

9.3.5. Seri portun durumunu tespit etme

Seri portun durumu SP_STAT kaydedicisinde görülür (Şekil 9.6). SP_STAT kaydedicisi okunduğu zaman TXE biti hariç diğer bitler sıfırlanır. Bu yüzden SP_STAT kaydedicisinin içeriği görüntü kaydedicisi gibi kullanılan başka bir kaydediciye kopyalanır. Sonra JBC ve JBS gibi bit test komutları görüntü kaydedicisi üzerinde yürütülür.



Şekil 9.6. SP_STAT kaydedicisi

8XC196 KC/KD 'deki alıcı, geçerli durma bitini denetler. Eğer durma biti kendine ayrılan zaman içerisinde bulunamamış ise SP_STAT kaydedicisindeki Çerçeve Hata (FE) biti lojik 1 olur. Durma biti tespit edildiği zaman alma işlemini yapan ötelemeli kaydedicideki veriyi



SBUF(TX) kaydedicisine yükler ve alma işlemi kesinti (RI) bayrağı lojik 1 olur. Eğer bu olay SBUF(RX) kaydedicisindeki önceki baytın okunmasından önce meydana gelmesi durumunda Üzerine Yazma Hata (OE) biti lojik 1 olur. SBUF(RX) daima en son alınan baytı içerir.

Alma İşlemi kesme İsteği (RI) bayrağı yeni veri baytı alınmasında lojik 1 olur. Gönderme İşlemi Kesme İsteği (TI) bayrağı bir veri baytının gönderilmesi bittiğinde lojik 1 olur. Bu bayraklar kesme isteklerini tetikler ve Kesme İsteği Bekletme kaydedicisinde karşılık gelen bitleri lojik 1 yaparlar. Bilgi alma /gönderme işlemi sonucu sırasında SP_STAT 'daki RI/TI biti ve karşılık gelen Kesme İsteği bekletme biti lojik 1 olur. SP_STAT kaydedicisindeki RI/TI bitine programda herhangi bir şey yazılması Kesme İsteği Bekletme bitleri etkilemez ve bir kesme isteğine neden olmaz. Benzer şekilde SP_STAT kaydedicisinin okunmasıyla RI ve TI bitleri sıfırlanır. Fakat Kesme İsteği Bekletme Kaydedicisinde bu bitlere karşılık gelen bitler sıfırlanmaz.

Eğer SBUF (TX) ve destekleyicisi boş ve iki bayt almaya hazır ise lojik 1 olur. TXE biti SBUF(TX) 'e bir bayt yazılır yazılmaz sıfırlanır. Eğer yalnız TI lojik 1 ise bir bayt yazılabilir. Eğer TXE henüz lojik 1 ise gönderme işlemi tamamlandığında TI lojik 1 olacaktır.

Alma İşlemi Eşitlik Hata (RPE) bayrağı veya Alınan Bit 8 (RB8) bayrağı Eşitlik İşlemine izin verip vermeme için kullanılır. Eğer İşitlik İşlemine izin verilir ve Eşitlik Hatası tespit edilirse RPE biti lojik 1 olur. Eğer Eşitlik İşlemine izin verilmez ise RB8 biti Mod 2 ve 3 'de alınan 9. veri biti olur.

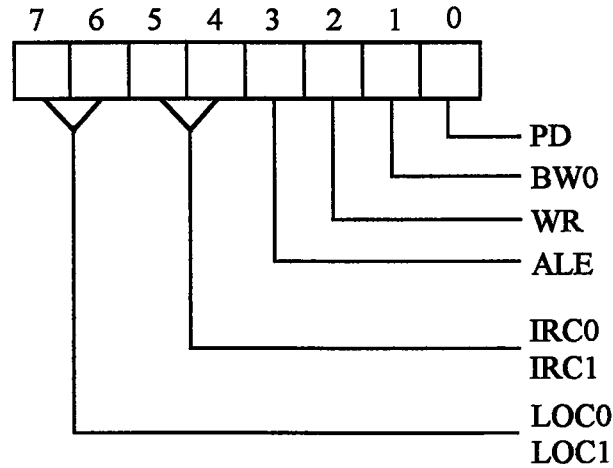


10. MİKRODENETLEYİCİNİN DIŞ BELLEK İLE BAĞLANMASI

8XC196 KC/KD çeşitli dış belleklerle sabit 8 bit yol genişliğinde veya dinamik 8 bit/16 bit yol genişliğinde bağlanabilir. Ayrıca hızı yavaş olan dış bellekler için iç READY denetlemeyi, yol üzerinde yer alan dış birimlere izin veren yol tutma işlemini ve çeşitli yol denetleme modlarını sağlayabilir. Bunların en önemli özelliği dış bellek birimleri ile bağlanıldığı zaman büyük bir oranda uyumluluk sağlamasıdır.

10.1. Denetleyici Ayarlama Kaydedicisi (CCR)

Denetleyici Ayarlama Kaydedicisi (CCR) yol genişliğini, yazma tutma sinyalini üretmeyi, adres geçerli sinyalini üretmeyi ve READY bacağı lojik 0 'da kaldığı zamanda araya konulan bekleme durumu süresini denetler. CCR kaydedicisi önce bellekten bir bayt alır ve sonra sistem sıfırlanır. Sistem sıfırlandığında yol denetleyici 2018H bellek gözünden Denetleyiciyi Ayarlama Baytını (CCB) alır ve denetleyiciyi ayarlama kaydedicisine (CCR) yükler. CCB eğer EA# bacağı lojik 1 ise iç OTPROM 'dan ve EA# bacağı lojik 0 ise dış bellekten alınır.



Şekil 10.1. Denetleyiciyi Ayarlama Kaydedicisi



Denetleyiciyi ayarlama kaydedicisine sadece ard arda gelen sıfırlama işaretleri sırasında yüklenme olur. Bir defa yükleme yapıldıktan sonra CCR sonraki sistem sıfırlanmasına kadar değişmez. CCB kullanıcı programı derlendiği zaman bir defa programlanır ve işlemler sırasında tekrar tanımlanmaz.

CCR ilk şartlamalar yapılmadan kendi değerinde olması CCB 'yi alma sırasında yol genişliğini ve zamanlamayı denetlemek için READY ve BUSWITH sinyallerine izin verir. Eğer CCB hızı yavaş olan dış bellekte saklanırsa READY sinyali lojik 0 'a çekilir. Bu CCB 'yi alma sırasında üç bekletme durum zamanının geçmesine neden olur. (CCR:4 ve CCR.5 bekletme durum zamanının sayısını denetler, kendi ilk değerinde olması üç durum zamanı ve en yüksek bekletme zamandır.) Eğer CCB 16 bitlik dış belleğe yazılı durumda ise BUSWITH sinyali lojik 1 , CCB 8 bitlik dış belleğe yazılı durumda ise BUSWITH sinyali lojik 0 olması gerekir. CCB, CCR 'ye yüklendikten sonra yol genişliği CCR.1 ve BUSWITH sinyali tarafından 8 bit veya dinamik 16 bit olarak denetlenebilir şekilde ayarlanır.

10.2. Yol genişliğinin ve belleğin ayarlanması

8XC196KC/KD dış yolu 8 bit veya 16 bit Adres/Veri çoğullamalı olarak çalışabilir (Şekil 10.2). CCR.1 'in değeri BUSWITH sinyali tarafından denetlenebilen yol genişliğini 8 bit yol genişliği veya 16 bit/ 8bit yol genişliği olarak ayarlar. Eğer CCR.1 sıfırsa yol denetleyicisi 8 bit yol moduna ayarlanmış olur. CCR.1 lojik 1 olursa, BUSWITH sinyali yol genişliğini kontrol eder. BUSWITH bacağı lojik 1 olduğu zaman yol genişliği 16 bit ve BUSWITH lojik 0 olduğu zaman yol genişliği 8 bit olur.



10.3. Yol denetleme modları

Dış okuma ve yazma periyotlarında hangi yol denetleme sinyallerinin üretileceğini CCR.2 ve CCR.3 bitleri belirler.

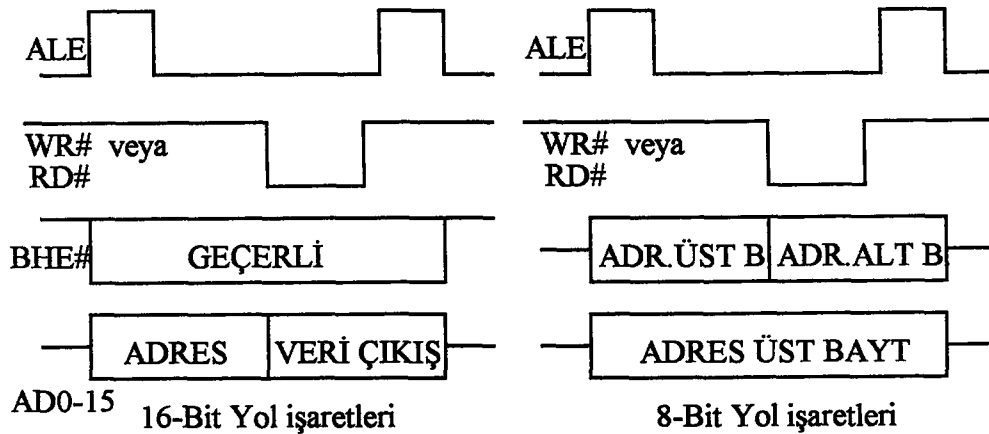
Tablo 10.1. Yol denetleme modları

| Yol denetleme modu | Yol denetleme Sinyalleri | CCR.2 | CCR.3 |
|-------------------------------------|--------------------------|-------|-------|
| Yazma tutma modu için geçerli adres | ADV#, RD#, WRL#, WRH# | 0 | 0 |
| Tutma geçerli adres modu | ADV#, RD#, WR#, BHE# | 0 | 1 |
| Yazma tutma modu | ALE, RD#, WRL#, WRH# | 1 | 0 |
| Standart yol denetleme modu | ALE, RD#, WR#, BHE# | 1 | 1 |

Tablo 10.1. dört yol denetleme modlarını listeler ve CCR.3, CCR.2'nin herbirinin lojik 1 olması durumlarını gösterir.

10.3.1. Standart yol denetleme modu

Standart yol denetleme modunda 8XC196 KC/KD ALE, WR#, RD# ve BHE# standart yol denetleme işaretlerini üretir (Şekil 10.2.). Mikrodenetleyici adresi dışarı verdiğinde ALE işaretini üretir ve ALE dışarıdaki işareti tutmak için kullanılabilir. BHE# lojik 0 olduğu zaman veri yolunun üst baytı tarafından gösterilen bellek gözünü seçer.

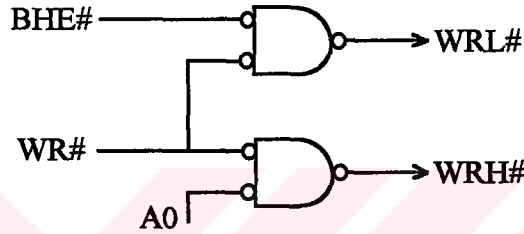


Şekil 10.2. Standart yol denetleme işaretleri

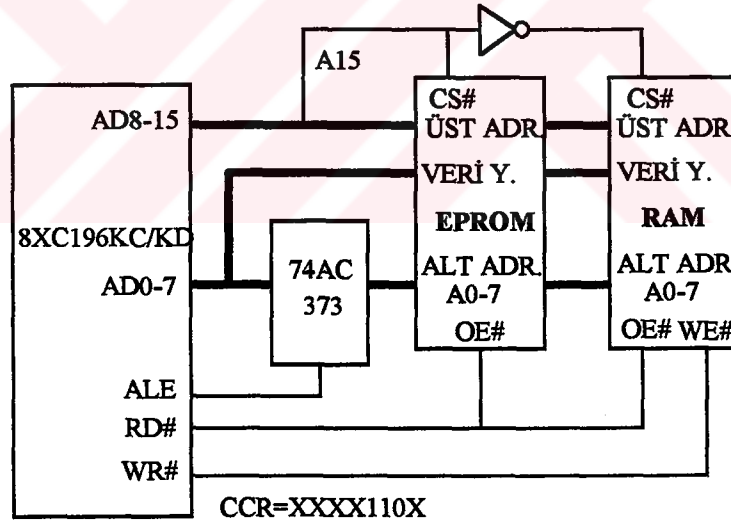


RD# işareti dış belleği her okuma ve WR# işareti belleğe her yazma işleminde oluşur.

Sistem 16 bitlik yol için ayarlandığı zaman, her defasında bir bayt yazmak üzere alt ve üst bayt sinyalleri ayrı ayrı üretilir. Şekil 10.3 WRL# ve WRH# sinyallerini üretmek üzere A_0 ve BHE# işaretlerinin bileşimi olan bir devreyi gösterir. Okuma işareti için ayrı iki işarete ihtiyaç duyulmaz. 16 bitlik yoldan bir bayt okunacağı zaman veri yoluna üst ve alt baytın her ikisinde yüklenir.



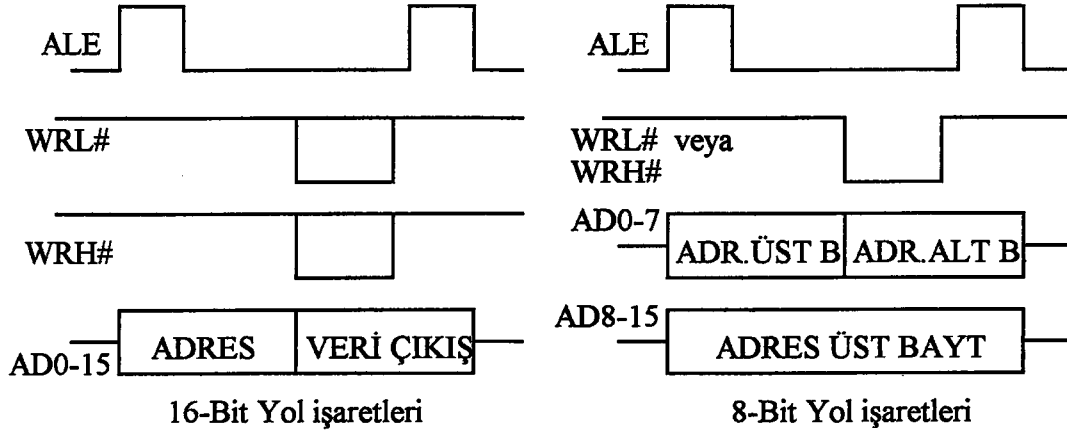
Şekil 10.3. WRL# ve WRH# işaretlerinin elde edilişi



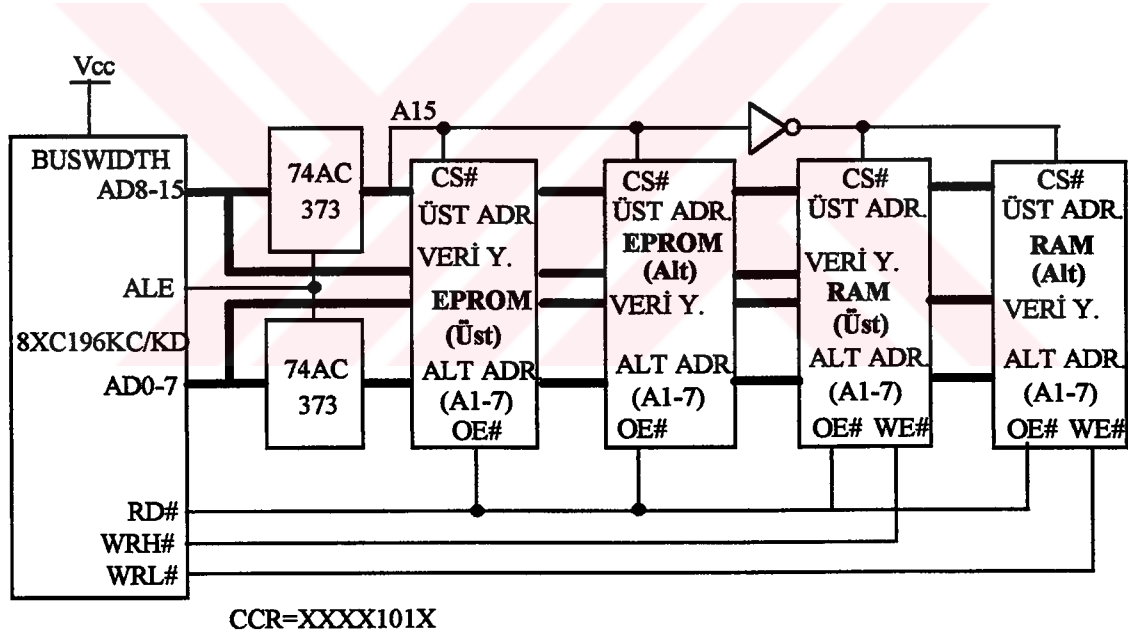
Şekil 10.4. EPROM ve RAM 'ın beraber kullanıldığı 8 bitlik sistem

Şekil 10.4 EPROM 'un ve RAM 'ın beraber kullanıldığı 8 bitlik bir sistemi gösterir. EPROM alt yarı bellekte ve RAM üst yarı bellekte yer almaktadır. Bu sistem en fazla ağırlıklı adres biti (A_{15}) Tümdevre seçme işareti ve ALE adres tutma işareti olarak kullanılır.



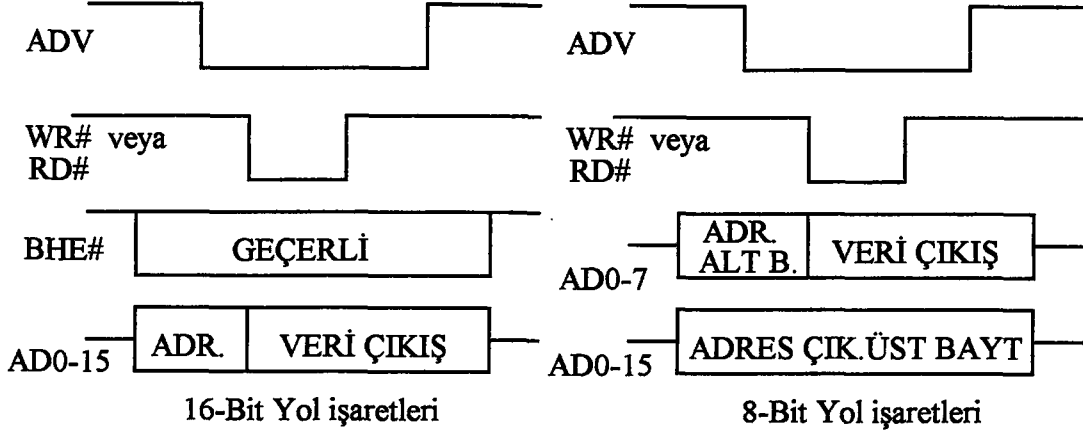


Şekil 10.6.Yazma tutma modundaki zamanlama işaretleri



Şekil 10.7 RAM 'e tek bayt yazan 16 bitlik sistem

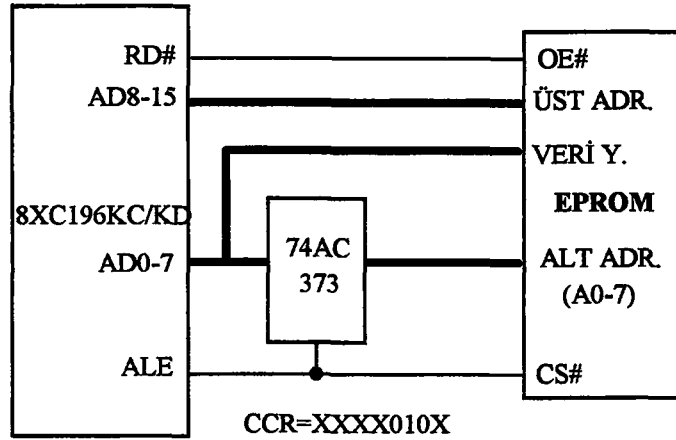
ALE sinyali adresi tutma işine yarar ve A_{15} EPROM ve RAM için tümdevre seçme sinyalidir. Kelime yazılırken WRL#, alt baytı yazma sırasında ve WRH# üst baytı yazma sırasında üretilir. Bellekler adres yolunun A_0 bitini kullanmazlar. WRL# ve WRH# alt bayt ($A_0=0$) veya üst bayt ($A_0=1$) durumları oluşturken elde edilir.



Şekil 10.8. Geçerli adres tutma modu zamanlama işaretleri

10.3.3. Geçerli adres tutma modu

Bu mod seçildiği zaman 8XC196 KC/KD adres tutmaya izin verme (ALE) işareti vasıtasıyla geçerli adres (ADV#) işareti üretilir. ADV# dış adres geçerli olduktan sonra oluşur (Şekil 10.8). Bu işaret geçerli adresi tutmak ve aynı anda dış belleğe izin vermek için kullanılabilir.

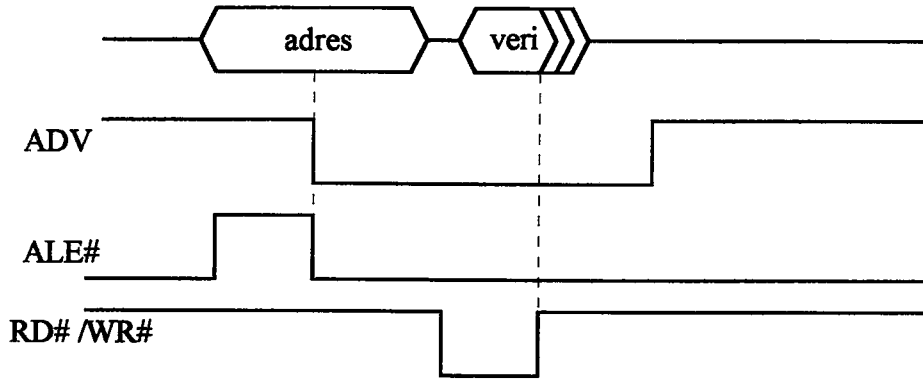


Şekil 10.9. EPROM kullanan 8 bitlik sistem

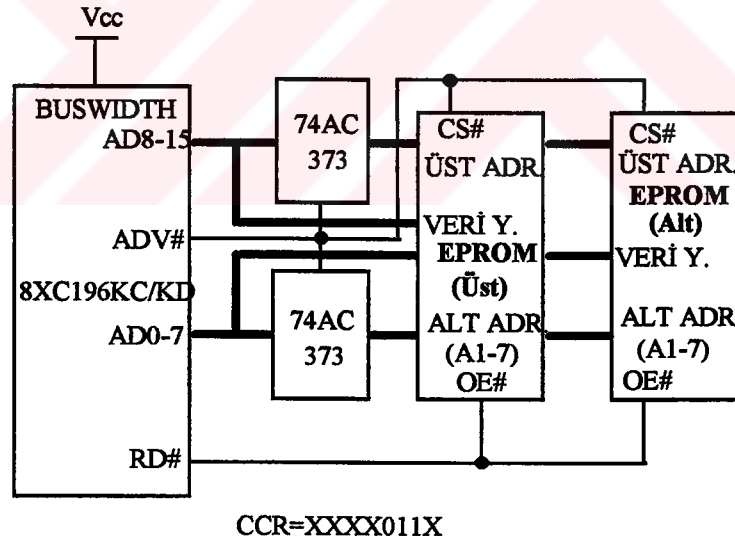
ALE ve ADV# arasındaki fark ALE adres oluştuğunda hemen konum değiştirir ve lojik 1 olur. Fakat ADV# adresin oluşup bitme süresinin



ortasında konum deđiřtirir ve lojik 0 olur (řekil 10.10). Ayrıca ADV# iřareti lojik 1 'de iken dıř belleđe izin verilmez. řekil 10.9 ve 10.11 geđerli adres tutma modu kullanan temel devreleri gosterir.



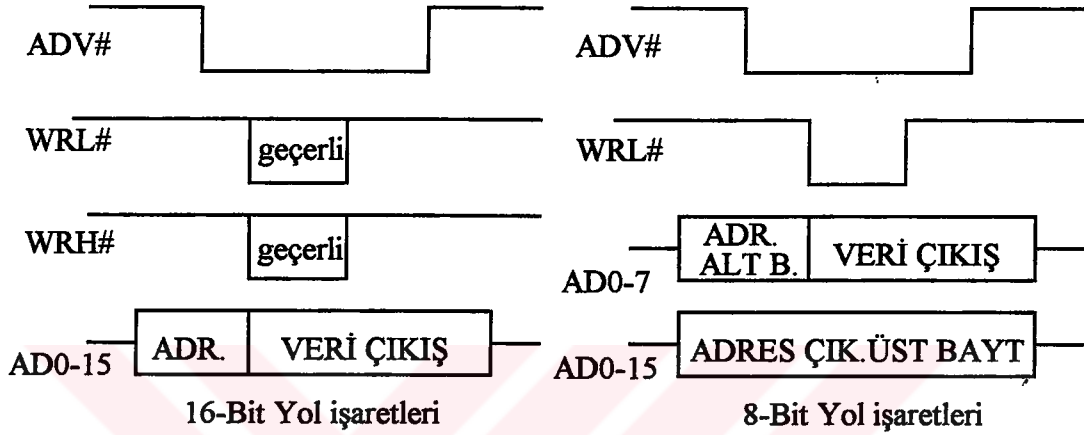
řekil 10.10. ALE ve ADV# yol iřaretlerinin zamanlamalarının karřılařtırılması



řekil 10.11. İki EPROM kullanan 16 bitlik sistem

řekil 10.9. tek EPROM kullanan temel 8 bitlik bir sistemi gosterir. Geđerli adres tutma modu için ayarlanmıřtır. Bu sistem ADV# iřaretini EPROM tümdevresini seđe iřareti ve adres tutma iřaretinin her ikisini sađlamak için kullanılır.

Şekil 10.11. iki EPROM 'lu 16 bitlik bir sistemi gösterir. Bu sistem EPROM tümdevresini seçme işareti ve adres tutma işaretinin her ikisini oluşturmak için ADV# işaretini kullanır.

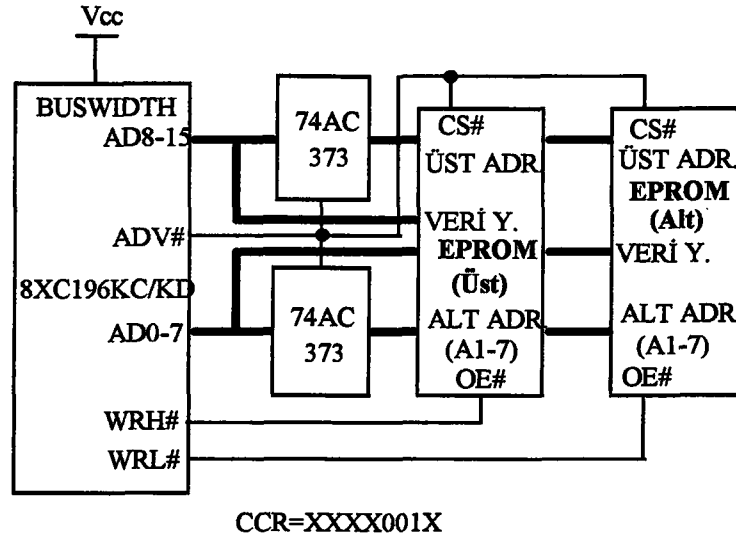


Şekil 10.12. Yazma tutma modu ile beraber geçerli adres modu zamanlama işaretleri.

10.3.4. Yazma tutma modu ile beraber geçerli adres modu

Bu mod seçildiği zaman 8XC196KC/KD ADV#, WRL# ve WRH# yol denetleme işaretlerini üretirler. Bu mod 16 bitlik dış RAM kullanan temel bir sistem için kullanılır. Şekil 10.12. bu moddaki zamanlama işaretlerini gösterir. Bu şekilde görünmeyen RD# işareti WRL#, WRH# ve WR# 'işareti gibidir. Şekil 10.13 'deki örnek sistem yazma tutma modu ile beraber geçerli adres modunu kullanır.





Şekil 10.13.RAM kullanan 16 bitlik sistem

11. YÜKSEK HIZLI GİRİŞ / ÇIKIŞ ÜNİTESİ

8XC196KC/KD sayıcı ve zamanlayıcı ile beraber dört tane Yüksek Hızlı Giriş ve Çıkış ünitesi içerir. Bunlar TIMER1, TIMER 2, Yüksek Hızlı Giriş (HSI) modülü, Yüksek Hızlı Çıkış (HSO) modülüdür (Şekil 11.1). HSIO darbe genişliğini ölçmede, dalga işareti üretmede ve periyodik kesme isteği üretmede kullanılır.

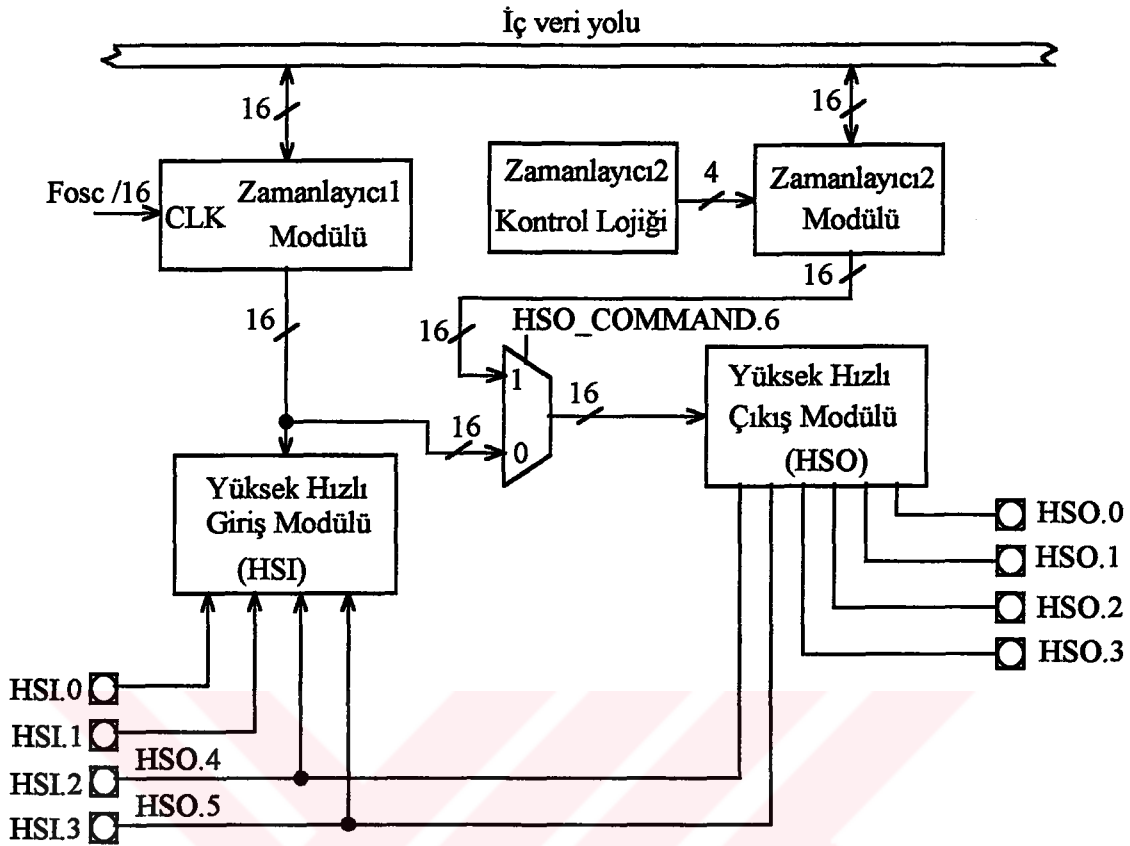
11.1. Zamanlayıcılar

8XC196KC/KD iki tane 16 bit zamanlayıcı içerir. Bunlar zamanlayıcı 1 ve zamanlayıcı 2 'dir. HSI modülü zamanlayıcı 1 'i ve HSO modülü ise zamanlayıcı 1 ve zamanlayıcı 2 'yi kullanır.

11.1.1. Zamanlayıcı 1 işlevleri:

Zamanlayıcı 1 her sekiz periyotta bir artan, serbest çalışan 16 bitlik zamanlayıcıdır. Zamanlayıcı 1 daima HSI modülü için zaman aralığıdır. Aynı zamanda HSO modülü içinde zaman aralığı olarak seçilebilir. Ypencere 15 'e sıfırdan farklı bir değer yazarak (TIMER1) zamanlayıcı 1 'e bir yükleme yapılmış olur.





Şekil 11.1. HSIO blok diyagramı

11.1.2. Zamanlayıcı 2 işlevleri

Zamanlayıcı 2 ileri/geri sayıcı, HSO modülü için zaman aralığı ve 16 bitlik programlanabilir sayıcı olarak kullanılabilir. Zamanlayıcı 2'ye dışarıdan veya içeriden saat darbesi verilebilir. T2CLK veya HSI.1 bacaklarının herhangi birisi dışarıdan saat darbesi girişi olarak seçilebilir. Zamanlayıcı 2 hızlı veya normal sayma modunda kullanılabilir (hızlı $f_{osc}/4$, normal $f_{osc}/32$). Zamanlayıcı 2'ye yüklenecek sayı Ypencere 0 'da TIMER2 'ye yazılır. Yanlış yazılacak değer sıfırdan farklı olmalıdır.

11.1.3. Zamanlayıcı 2 'yi programlama

Tablo 11.1. zamanlayıcı 2 modülünü programlamaya yarayan kaydedicilerin listesini gösterir.



Tablo 11.1.Zamanlayıcı 2 modülünü programlayan kaydediciler

| Kayd. sembolü | Kaydedici adı | Tanımlama |
|-----------------------|---|--|
| TIMER2 | Zamanlayıcı2 | Zamanlayıcı 2'nin değerini içerir. |
| T2CAPTURE | Zamanlayıcı2'yi tutma | P2.7 bacağına uygulanan sinyalin çıkan kenarında zamanlayıcı 2 değerinin T2CAPTURE kaydedicisinde tutulmasına neden olur ve Zamanlayıcı 2 'yi Tutma Kesme isteği oluşur (INT 11H). |
| INT_MASK INT_MASK1 | Kesme isteği önleme Kesme isteği önleme1 | Zamanlayıcı 2 'nin kesme isteklerine izin verme veya önleme |
| IOC0 | Giriş / Çıkış kontrol Kaydedicisi 0 | Zamanlayıcı 2 için sıfırlama ve saat darbesi kaynağını seçer. |
| IOC1 | Giriş / Çıkış kontrol Kaydedicisi 1 | Zamanlayıcı taşma kesme isteği (INT 07) için kesme isteği kaynağını seçer. |
| IOC2 | Giriş / Çıkış kontrol Kaydedicisi 1 | Hızlı sayma modunu, ileri/geri sayıcı fonksiyonunu ve Zamanlayıcı 2 taşma kesme isteği (INT 12H) için taşma sınırını seçer. |
| IOC3 | Giriş / Çıkış kontrol Kaydedicisi 3 | Zamanlayıcı 2 için dış veya iç saat darbesi kaynağını seçer. |

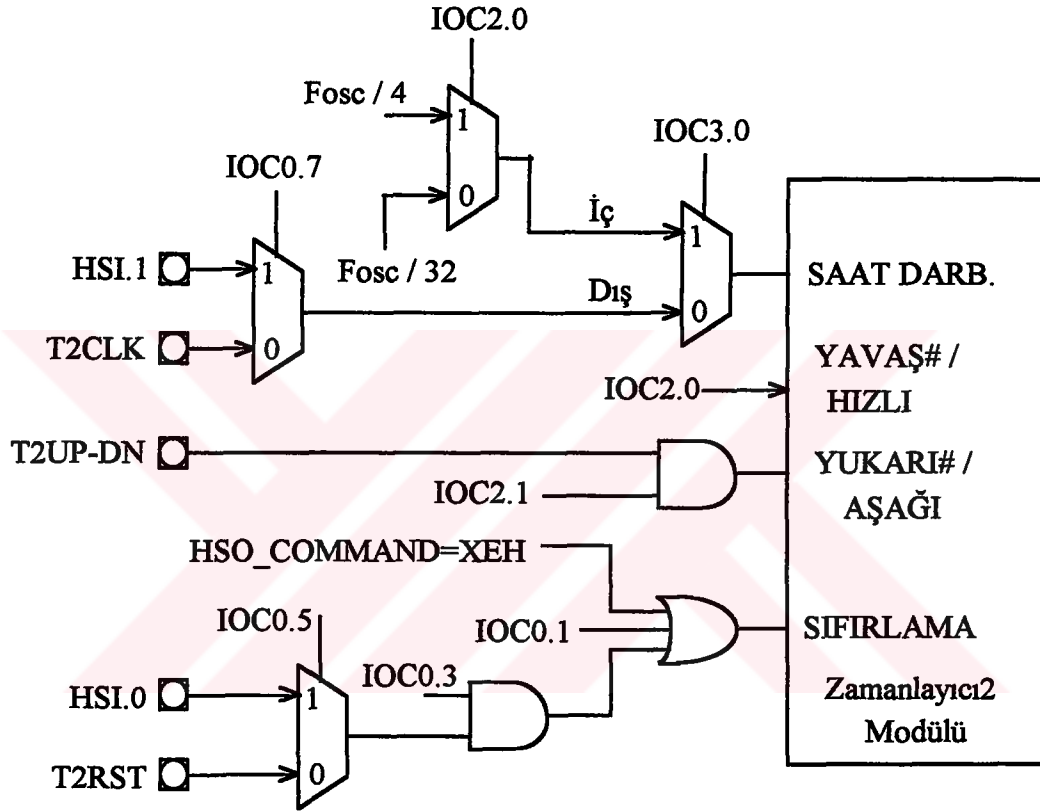
11.1.4. Saat darbesi Kaynağını seçme

Zamanlayıcı 2 düşen ve çıkan kenar tetikleminin her ikisinde sayma işlemi yapabilir. Saat darbesi içeriden veya dışarıdan verilebilir. Bu işlem IOC3 kaydedicisindeki T2_ENA (IOC3.0) bitinin durumuna göre olur. IOC3.0 lojik 1 ise saat darbesi içeriden, lojik 0 ise saat darbesi dışarıdan verilir (Şekil 11.2).

Dış saat darbesi kaynağı seçildiği zaman IOC0 kaydedicisindeki T2CLK_SRC biti (IOC0.7) iki dış saat darbesi kaynağını kullanmayı denetler. Dış saat darbesi IOC0.7 biti lojik 1 ise HSI.1, eğer bu bit



lojik 0 ise T2CLK (P2.3) bacağından verilir. Zamanlayıcı 2 'ye dışarıdan saat darbesi verildiği zaman IOC2 kaydedicisindeki (IOC2.0) FAST_T2_ENA biti ile saat darbesi frekansı bire veya sekize bölünebilir. Eğer FAST_T2_ENA biti lojik 1 ise en yüksek giriş frekansı oluşur. Yani giriş saat darbesi bölünmeden zamanlayıcıya



Şekil 11.2. Zamanlayıcı 2 'yi denetleme

ulaşır. Aynı bit lojik 0 ise sayıcı her sekiz saat darbesinde bir sayar. saat darbesi frekansı sekize bölünmüş olur. Zamanlayıcı 2 'ye içeriden saat darbesi verilirse FAST_T2_ENA biti giriş saat darbesi frekansını seçer. FAST_T2_ENA lojik 1 ise saat darbesi frekansı $f_{osc} / 4$ ' e eşit ve sayıcı her saat darbesinde bir artar (hızlı sayma). FAST_T2_ENA lojik 0 ise saat darbesi frekansı $f_{osc} / 32$ ' e eşit ve zamanlayıcı 2 her sekiz saat darbesinde bir artar.

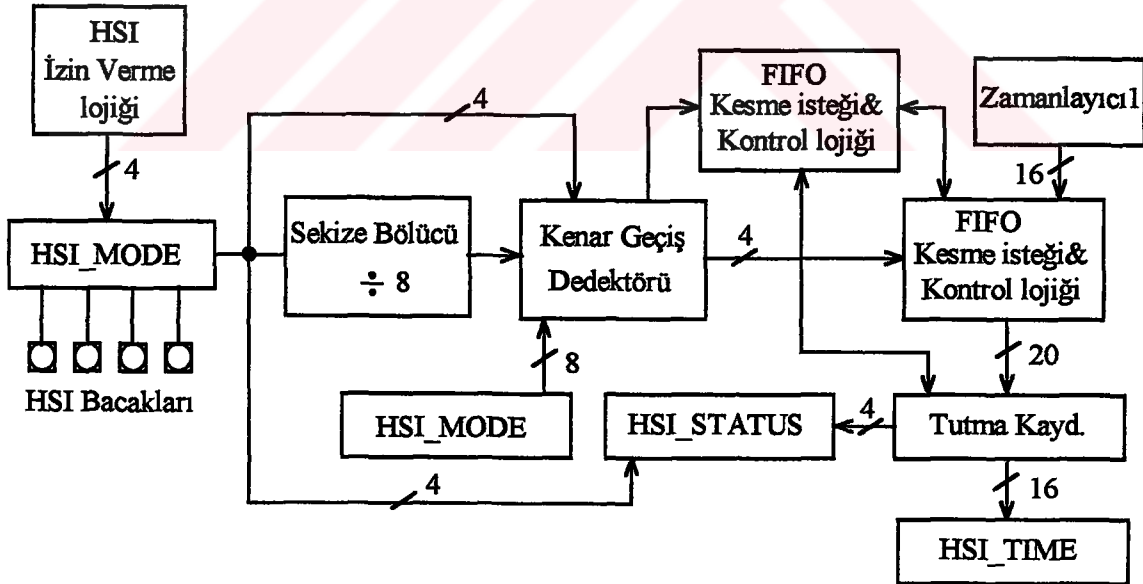


11.1.5. İleri/geri sayma

İleri/geri sayma zamanlayıcı 2 'de mevcuttur. Bu işlemi IOC2 kaydedicisindeki T2UD_ENA biti (IOC2.1) ile denetleyicinin T2UP-DN bacağı denetler (Şekil 11.2). IOC2.1 biti lojik 0 ise zamanlayıcı 2 daima ileri doğru sayar. Bu durumda T2UP-DN bacağının konumu önemli değildir. Eğer IOC2.1 biti lojik 1 ise sayma T2UP-DN bacağının durumuna göre değişir. T2UP-DN lojik 0 ise ileri aksi takdirde geri sayma işlemi gerçekleştirilir. Zamanlayıcı 2 'yi sıfırlama ve dış veya iç saat darbesinin seçilme işlemlerinin gerçekleştirilmesinde ilgili bacakların ve bitlerin nasıl kullanılacağı şekil 11.2 'de gösterilmiştir.

11.2. Yüksek Hızlı Giriş Modülü (HSI)

HSI modülünün dört tane dış giriş bacağı (HSI.0-HSI.3) vardır. Önceden tanımlanan bacakların biri veya daha fazlasında sonuç



Şekil 10.3. HSI blok diyagramı

oluşursa her giriş için durum bitleri ile beraber zamanlayıcı 1 'deki sayma değerleri kaydedilir. HSI modülü 7x20 bitlik FIFO (First Input First Output) yedi sonuç bilgisini ve tutma kaydedicisindeki veriyi



saklar (Şekil 10.3). Veri FIFO 'dan tutma kaydedicisine yüklenir ve bu veri tutma kaydedicisine yüklendikten sonra okunabilir.

HSI her çıkan kenar geçişlerinde, düşen kenar geçişlerinde, kenar geçişlerinin her ikisinde ve sekiz darbe sonra çıkan kenar geçişinde zamanlayıcı 1 'deki değeri tutabilir. Böylece HSI modülü girişlerin durumunu (darbe genişliğini, periyodu, faz farkını) ölçmek için kullanılabilir. Her sekiz darbede zamanlayıcı değeri tutma kaydedicisine kaydedilerek çok hızlı işaretler ölçülebilir ve sayılabilir.

11.2.1. Sonuç verisini okuma

Sonuçtaki veri tutma kaydedicisine yüklendikten sonra okunabilir. Sekiz darbe (CLKOUT) geçtiği zaman FIFO 'da mevcut olan zamanlayıcı 1 değeri tutma kaydedicisine yüklenir. Bu durumda IOS1 kaydedicisindeki HSI_READY biti (IOS1.7) lojik 1 olur. Aynı zamanda kesme işlemine izin verilmiş ise HSI 'da bilgi okunabilir kesme isteği (INT 02) oluşabilir.

Sonuç içeren tutma kaydedicisi okunmadan önce HSI_STATUS kaydedicisi okunur. HSI_STATUS kaydedicisinin çift bitleri HSI.0 - HSI.3 bacakları için sonuç durum bitlerini gösterir. Eğer bu bitlerden herhangi birisi veya daha fazlası lojik 1 ise bu bitlere karşılık gelen HSI bacaklarında çıkan veya düşen kenar sonucu oluştuğunu gösterir. HSI_STATUS kaydedicisindeki tek bitler ise HSI.0 - HSI.3 bacaklarındaki o anda devam eden durumu gösterir.

Tutma kaydedicisi zamanlayıcı 1 sayma değerini HSI_TIME kaydedicisine yükler. Böylece sayma sonucu HSI_TIME kaydedicisinden alınabilir. HSI_TIME kaydedicisini okuma, FIFO 'da sonraki sonuç verisinin tutma kaydedicisine yüklenmesine neden olur.



11.2.2. HSI modülünü programlama

Tablo 11.2. HSI modülünü programlamaya yarayan kaydedicilerin listesini gösterir.

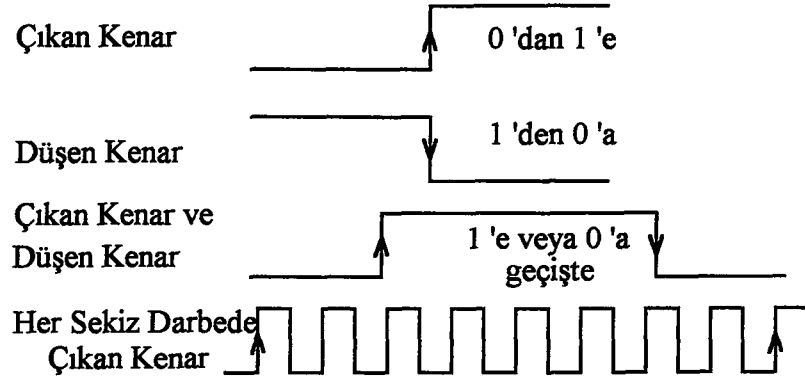
Tablo 11.3. HSI modülünü programlayan kaydediciler

| Kayd. sembolü | Kaydedici adı | Tanımlama |
|-----------------------|---|--|
| HSI_MODE | HSI mod | Zamanlayıcıda sonuca neden olacak HSI bacaklarının kenar geçiş şeklini ayarlar. |
| HSI_STATUS | HSI 'daki durum | HSI bacaklarından hangisinin sonuca neden olduğunu ve HSI bacaklarının sürekli değişen konumlarını gösterir. |
| HSI_TIME | HSI zaman değeri | Sonuçtaki TIMER1'in 16 bitlik değerini içerir. |
| INT_MASK INT_MASK1 | Kesme isteğini önleme Kesme isteğini önleme1 | HSI kesme isteklerine izin verir veya önler. |
| IOC0 | Giriş / Çıkış kontrol Kaydedicisi 0 | Her bir HSI bacağına izin verir veya izin vermez. HSI.0 ve HSI.1 bacakları için diğer fonksiyonları seçer. |
| IOC1 | Giriş / Çıkış kontrol Kaydedicisi 1 | HSI 'da bilgi okunabilir kesme isteği için kesme isteği oluşturacak kaynağı seçer (INT 02H). |
| IOS1 | Giriş / Çıkış durum kaydedicisi | HSI FIFO 'nun durumunu gösterir. |

12.2.3. Kenar geçiş çeşitlerini tanımlama

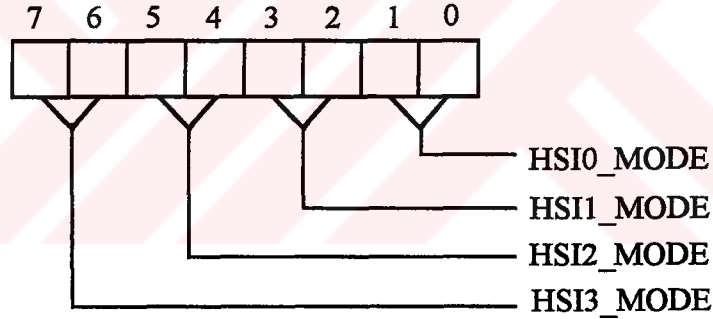
HSI_MODE kaydedicisinin denetleme özellikleri, her HSI bacağı için FIFO 'da sonuç bilgisini tutmak için dört ayrı kenar geçişini tanımlar.





Şekil 11.1. HSI 'da sonuç oluşturan kenar geçişleri

Bu kenar geçişleri çıkan kenar, düşen kenar, çıkan kenar ve düşen kenarın her ikisinde veya her sekiz darbeden sonra çıkan kenar geçişleri olarak ifade edilir (Şekil 11.1).



Şekil 11.2. HSI_MODE kaydedicisi

HSI bacaklarına karşılık gelen girişlerin kenar geçişlerinin nasıl ayarlanacağı şekil 11.2 ve tablo 11.4 'de gösterilmektedir.

11.2.4. HSI kesme isteklerine izin verme

HSI modülü aşağıdaki her sonuçta kesme isteği üretebilir.

- Dördüncü sonuç FIFO 'ya transfer edilirse,
- Altıncı sonuç FIFO 'ya transfer edilirse,
- Bir sonuç FIFO 'dan Tutma kaydedicisine yüklenirse



Tablo 11.4. Kenar geiş modlarını seçme işlemleri

| HSI_MODE | Tanımlama |
|----------|--|
| 00 | HSI_FIFO 'ya her sekiz darbeden sonra çıkan kenar, sayma sonucunu transfer eder. |
| 01 | Aynı durum her çıkan kenarda oluşur. |
| 10 | Aynı durum her düşen kenarda oluşur. |
| 11 | Aynı durum her düşen ve çıkan kenarda oluşur. |

INT_MASK ve INT_MASK1 kaydedicilerin bitleri ilgili kesme isteğine izin vermek veya kesme isteğini önlemek için kullanılır. Aşağıdaki tablo ilgili kesme isteğinin nedenini, kesme isteği listesini, kesme isteği nosunu ve öncelik sıralarını belirtir.

Tablo 11.5. HSI'daki kesme isteği isimleri ve nedenleri

| Kesme isteği Kaynağı | Üretilme nedeni | Kesme isteği adı ve nosu | Öncelik |
|-------------------------|---|-----------------------------------|---------|
| HSI_FIFO dolu | INT_MASK1.6 = 1 ve altıncı sonuç FIFO 'ya yüklenirse. | HSI_FIFO dolu (INT 14) | 14 |
| | IOC1.7 = 1, INT_MASK.2 = 1, INT_MASK1.6 = 0 ve altıncı sonuç FIFO 'ya yüklenirse | HSI 'da bilgi okunabilir (INT 02) | 2 |
| HSI_FIFO 4 | INT_MASK1.2=1 ve dördüncü sonuç FIFO 'ya yüklenirse | HSI_FIFO (INT 10) | 10 |
| HSI.0 | INT_MASK1.2=1, HSI.0 bacağındaki sinyalin çıkan kenarında ve bu sinyal son bir durum zamanında lojik 1 'de kalırsa. Bu kesme isteği bağımsız dış kesme isteğidir. | HSI.0(INT 04) | 4 |
| HSI'da bilgi okunabilir | IOC1.7 = 0, INT_MASK.2 = 1 ve sonuç FIFO 'dan tutma kaydedicisine yüklenirse. Bu kesme isteği işlemler için HSI'da en son bir sonuçun oluştuğunu gösterir. | HSI 'da bilgi okunabilir (INT 02) | 2 |

11.2.5. HSI bacaklarına izin verme

HSI bacaklarına karşılık gelen IOC0 kaydedicisindeki bitler lojik 0 veya lojik 1 yapılarak ilgili uçlara HSI giriş fonksiyonu olarak izin verilir veya verilmeyebilir.

IOC0 'daki ilgili bitlerin lojik 1 olması ile HSI geçişlerine izin verilmiş olur. Eğer bu bitler sıfırlanırsa HSI giriş fonksiyonlarına izin verilmez. Fakat HSI_STATUS kaydedicisindeki tek nolu bitlerden bu girişlerin konumu okunabilir ve HSI bacakları diğer ilave fonksiyonları yerine getirir. Bu ilave fonksiyonlar aşağıdaki tabloda gösterilmiştir.

Tablo 11.6. HSI bacaklarının ilave fonksiyonları

| HSI bacağıнын adı | İlave fonksiyonları | Seçilme işlemi |
|-------------------|---|---|
| HSI.0 | HSI.0 dış kesme isteği (INT 04) | INT_MASK1.4 = 1 ise bu kesme isteğine izin verilir. (INT 04) |
| | Zamanlayıcı 2'yi sıfırlama kaynağı | IOC.5 = 1 ise HSI.0 zamanlayıcı 2 'yi sıfırlama bacağı olur. Çıkan kenar ile zamanlayıcı 2 sıfırlanır. |
| HSI.1 | Zamanlayıcı 2 için saat darbesi kaynağı | IOC0.7 = 0 ve IOC3.0 = 0 ise HSI.1 zamanlayıcı 2 için saat darbesi kaynağı olur. |
| HSI.2 | HSO.4 | IOC1.4=1 ise bu bacak HSO.4 çıkış işlemi yerine getirir. HSI.2 ve HSO.4 aynı anda giriş ve çıkış işlemlerini yerine getirebilir. |
| HSI.3 | HSO.5 | IOC1.6 =1 ise bu bacak HSO.5 çıkış işlemi yerine getirir. HSI.3 ve HSO.5 aynı anda giriş ve çıkış işlemlerini yerine getirebilir. |



12.FP 3000 FUZZY İŞLEMÇİ

Fuzzy işlemci, donanım kullanarak çok hızlı bulanıklaştırma, çıkarım ve netleştirme yapabilen OMRON firmasının üretmiş olduğu bir tümdevredir,(Omron, 1991a). FP 3000, 24 MHz saat frekansında 5 girişi 2 çıkışı olan 20 kuralı, ağırlık merkezini bulma yöntemini kullanarak sonucu bulma zamanı 650µs'dir. Bu işlemci mikroişlemciler veya mikrodenetleyiciler ile uyumlu çalışabilmektedir,(Omron,1991b). İşlemci işlemleri tamsayılarla yaptığı için mikrodenetleyiciler için yazılan makina dili programlarda kolaylık sağlar. 12 bit hassasiyetinde işlem yapabilme kapasitesine sahiptir. Fuzzy işlemcinin yapmış olduğu bulanıklaştırma, çıkarım ve netleştirme işlemini yazılımı kullanarak bir bilgisayar yardımı ile yapmak mümkün olabilir. Fakat bu durum hız gereken işlemlerde zaman kaybettireceği için uygun olmayan yönleri vardır. Ayrıca mikrodenetleyici veya mikroişlemcilerde yazılımı kullanarak bu işlemlerin yapılması daha zahmetli olmaktadır.

İşlemciye sekiz tane giriş değeri vermek ve sonuçta netleşmiş olarak dört çıkış değeri almak mümkündür. Bu durum yazılacak olan kuralların sekiz girişinin ve dört çıkışının olmasını sağlar. Ayrıca herbir giriş veya çıkış için her etiket bir bulanık alt kümeyi göstermesi şartıyla yedi tane sözel etiket belirlenebilir. İşlemcide fuzzy alt kümeler için kullanılacak üyelik fonksiyonları üçgen (\wedge), yamuk(∇) ve teknokta(\perp) şeklinde olabilir. Fuzzy işlemciye kurallar ve üyelik fonksiyonu ile ilgili verileri, giriş ve çıkış ile ilgili verileri, işlemcinin meşgul olma durumunu gösteren verileri içeren 8Kbaytlık RAM bağlanabilir.

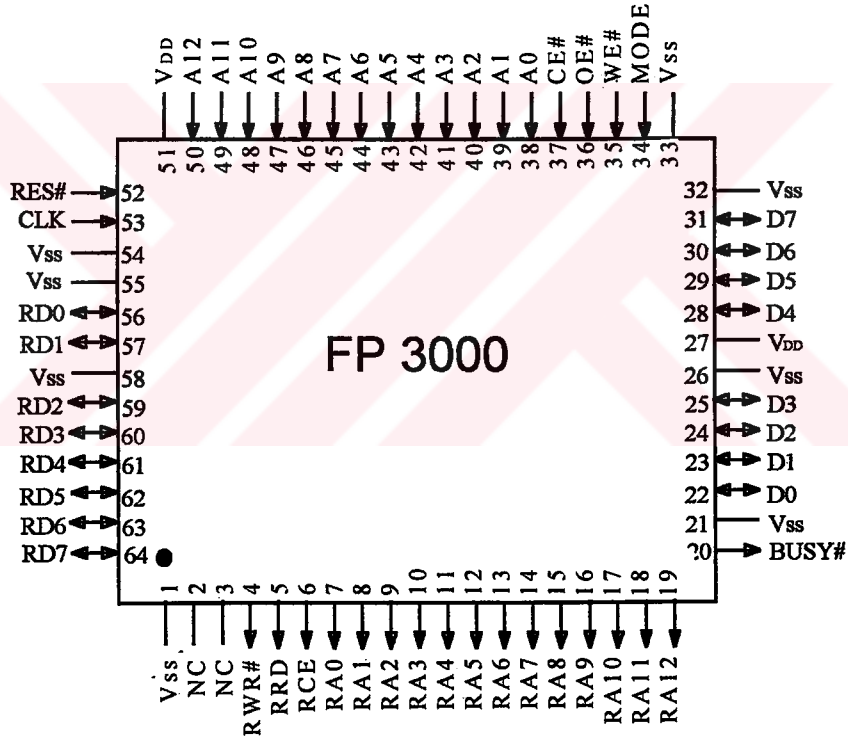
Bu işlemçi, çıkarım yönteminde max-min kompozisyonunu kullanır ve netleştirme işleminde ise maksimum ağırlığı alma veya ağırlık merkezini bulma yöntemlerinden birini kullanır.



FP 3000 'nin MODE bacağı ile denetlenebilen tek mod ve dış mod olarak adlandırılan iki ayrı modu vardır. Tek modda beş giriş ve iki çıkış kısmı olan en fazla 29 kuralı işleyebilir. Dış modda ise sekiz giriş ve dört çıkış kısmı olan en fazla 128 kuralı işleyebilme kapasitesine sahiptir.

FP 3000 besleme gerilimi +5 Volt kullanır ve dış kılıf şekli yüzey montajlıdır.

12.1.FP 3000 Fuzzy işlemcinin bacak bağlantıları ve tanımları



Şekil 12.1. FP 3000 fuzzy işlemcisinin bacak bağlantıları

A0 - A12 (Giriş) :13 bitlik adres yolu.Mikrodenetleyicinin adres yoluna bağlanırlar.

RA0-RA12(Çıkış): 13 bitlik adres yolu. Fuzzy işlemcinin çıkarım yapması için gerekli bilgilerin saklandığı RAM 'ın adres yoluna bağlanırlar.

D0-D7 (Giriş-Çıkış): 8 bitlik Veri yolu. Mikrodenetleyicinin veri yoluna bağlanırlar.

RD0-RD7(Giriş-Çıkış): 8 bitlik Veri yolu. RAM 'ın veri yoluna bağlanırlar.

OE# (Giriş): Okunma işlemi. Dış ünitenin işlemciyi okuması için işaret giriş bacağı. Mikrodenetleyicinin RD# bacağına bağlanır.

RRD#(Çıkış): Dış üniteyi okuması için gerekli işareti üretir. Fuzzy işlemciye bağlanan RAM'in okuma girişine bağlanır.

WE#(Giriş): Dış ünitenin işlemciye yazma işlemi yapabilmesi için işaret giriş bacağı. Mikrodenetleyicinin WRL# bacağına bağlanır.

RWR#(Çıkış): İşlemcinin RAM 'e yazma işlemi yapabilmesi için gerekli işareti üretir. RAM'in WR# bacağına bağlanır.

CE#(Giriş): İşlemciyi aktif duruma getirmek için seçme işlemi.

RCE#(Çıkış): RAM 'ı aktif duruma getirmek için seçme işlemi.

CLK(Giriş): 24 MHz saat darbesi giriş bacağı.

RES#(Giriş): İşlemciyi ilk şartlarına getirmek için sıfırlama bacağı.

BUSY(Çıkış): Çıkarım işleminin bitip bitmediğini tespit etme. Çıkarım tamamlandığında mikrodenetleyiciye kesme isteği işaretini gönderir.

MODE(Giriş): Tek mod veya dış modu seçme. Lojik 0 ise tek mod, lojik 1 ise dış mod seçilir.

V_{DD}: + 5 Volt

V_{SS}: GND

12.2. Sistemin donanımı

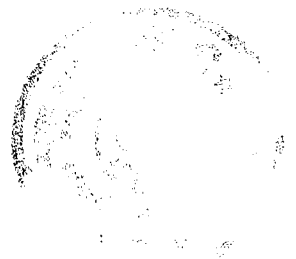
Mikrodenetleyicinin adres yolundaki A0 adres bacağı gerek diğer ünitelerde gerekse fuzzy işlemcili sistemde kullanılmamıştır. Bu durumda 16 bitlik veri yolundan dış belleğe 16 bitlik veri alt ve üst baytlar olmak üzere ayrı ayrı iki bayt şeklinde yazılır. Çift adrese 16 bitlik veri yazılırken önce alt bayt yazılır bir sonraki adrese üst bayt yazılmaktadır. Çünkü her adres gözü bir baytı gösterir. Alt bayt

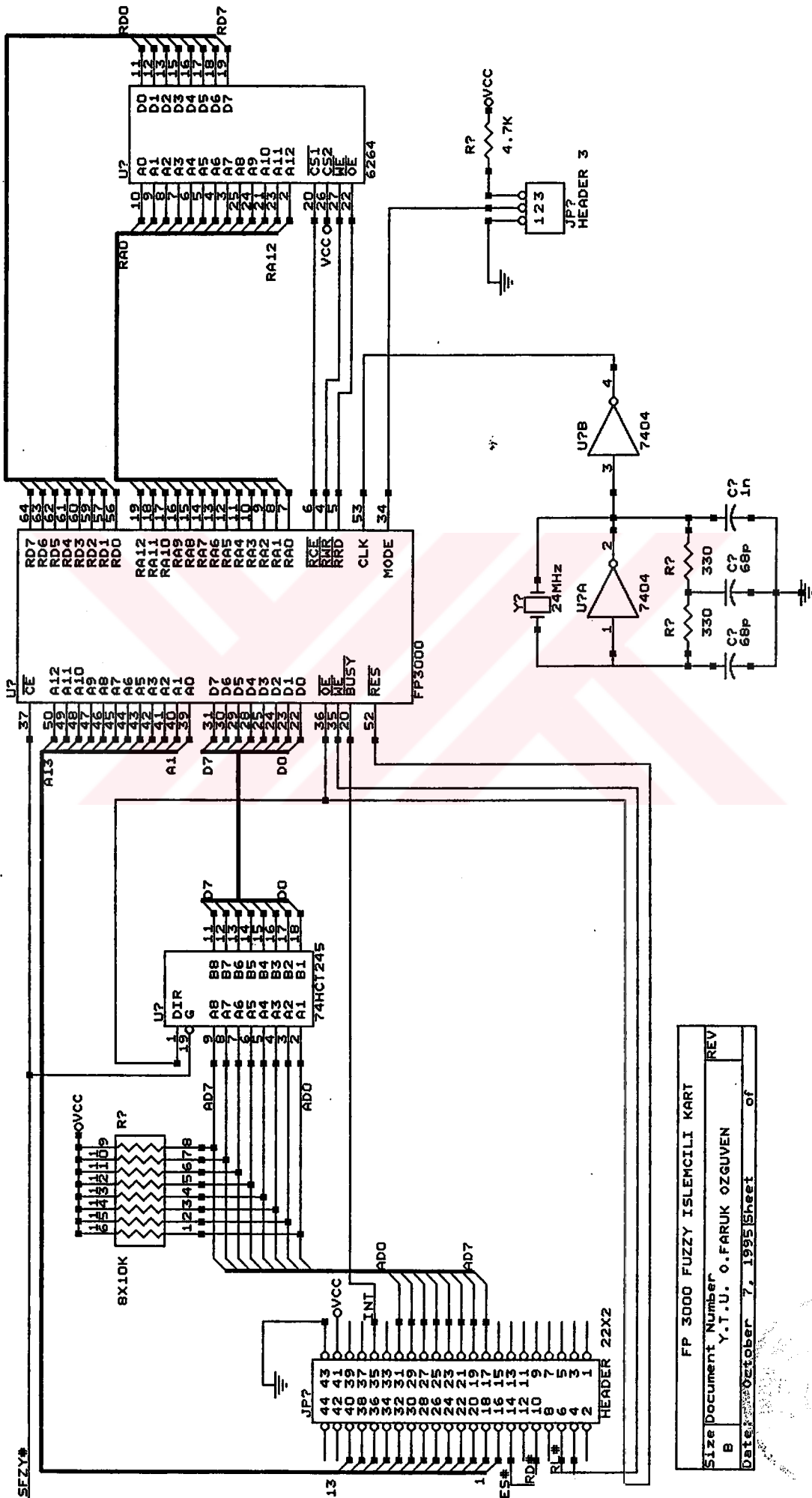
yazılırken mikrodenetleyici WRL#, üst bayt yazılırken WRH# işareti üretir. WRL# işareti çift adresler için WRH# işareti tek adresler için oluşturulur. Bu yüzden Fuzzy işlemci 16 bitlik veri yolunun sadece alt sekiz baytını okuyabilir. Çünkü işlemcinin veri yolu 8 bittir. Mikrodenetleyicinin WRL# bacağı işlemcinin WR# bacağına bağlanır. Bu şekilde sadece çift adreslerde işlem yapılır. Dolayısıyla fuzzy işlemci bellekte 16 KBaytlık yer tutar. Fakat bu bölgenin tek adreslerle temsil edilen yarı bölgesi kullanılmaz. İşlemciye gerekli verileri yazarken veya işlemciden gerekli verileri okurken bu duruma dikkat etmek gerekir.

Fuzzy işlemciyi seçmek için kullanılan CE# işareti adres seçici devreden gelir. Tasarlanan donanıma göre bu işaret 8000H-BFFFH adresleri arasında lojik 0 olur ve işlemciyi aktif duruma getirir. Bu bölgenin sadece çift adresleri kullanılır.

FP 3000 'nin veri yolu girişi 74HCT245 tümdevresi ile kuvvetlendirilir (Şekil 12.2). Eğer bu tümdevre kullanılmaz ve sadece CE# kullanılarak fuzzy işlemci seçilmeye çalışılırsa veri yolu mikrodenetleyicinin veri yoluna yük olarak geleceği için sistemin çalışmamasına neden olur. Bu tümdevre giriş ve çıkış yapılabilecek şekilde çift yönlüdür. Bu kuvvetlendiriciye izin verme (G#) işlemi aynı zamanda fuzzy işlemciye bağlı olan CE# işareti ile sağlanır. Veri yolunun işlemciden denetleyiciye veya denetleyiciden işlemciye doğru olacağı kuvvetlendiricinin DIR bacağı ile belirlenir. DIR bacağına mikrodenetleyicinin RD# bacağı bağlanır. Eğer DIR ve G# lojik 0 ise veri yolu fuzzy işlemciden mikrodenetleyiciye, şayet G# lojik 0 ve DIR lojik 1 ise veri yolu mikrodenetleyiciden fuzzy işlemciye doğrudur.

Devrede Mod bacağı lojik 1 durumundadır. Böylece sistem dış moda ayarlanmış olup en fazla 128 kuralı işleyebilir. Ayrıca devre üzerinde her iki modu seçebilmek için kısa devre elemanı ilave edilmiştir. Bu çalışmada sürekli dış mod kullanılmıştır.



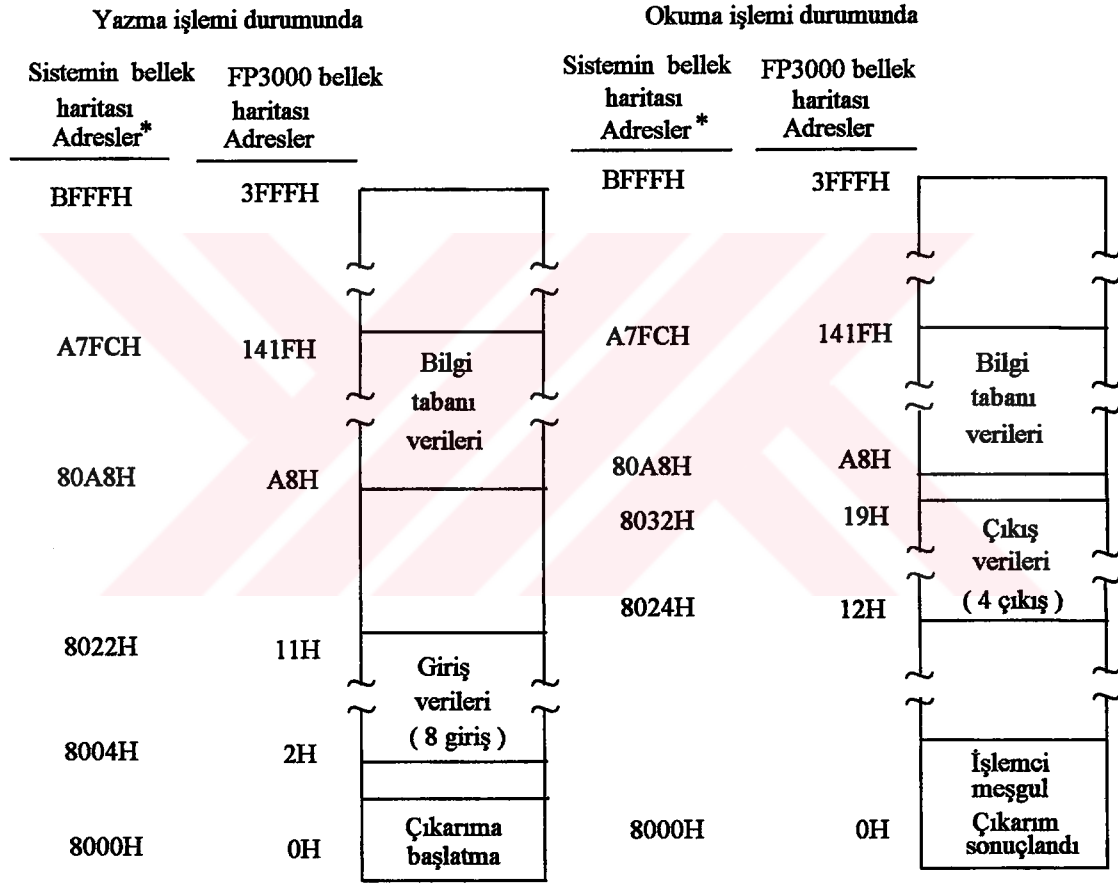


Şekil 12.2. Fuzzy işlemcili kartın şeması

| | |
|------------------------------|-------------------------|
| FP 3000 FUZZY İŞLEMCİLİ KART | |
| Size Document Number | REV |
| B | Y.T.U. O. FARUK ÖZGÜVEN |
| Date: 7 October 1995 | Sheet of |

Saat derbesi üreticinin ana kısmı 74HCT04 tümdevresidir. Frekans 24 MHz 'e bir kristal vasıtasıyla ayarlanmıştır. Osilator çıkışındaki evirici saat derbesi işaretini kuvvetlendirerek işlemciye verir.

FP 3000 'nin BUSY# işareti sistemin genişleme yuvalarına bağlıdır. İstenilirse işlemci çıkarım işlemini tamamladığında mikrodenetleyiciye kesme isteği gönderilebilir. Bu sistemde çıkarımın



* Yanlız çift adresler kullanılır.

Şekil 12.3. FP 3000 ve sistemin bellek haritası

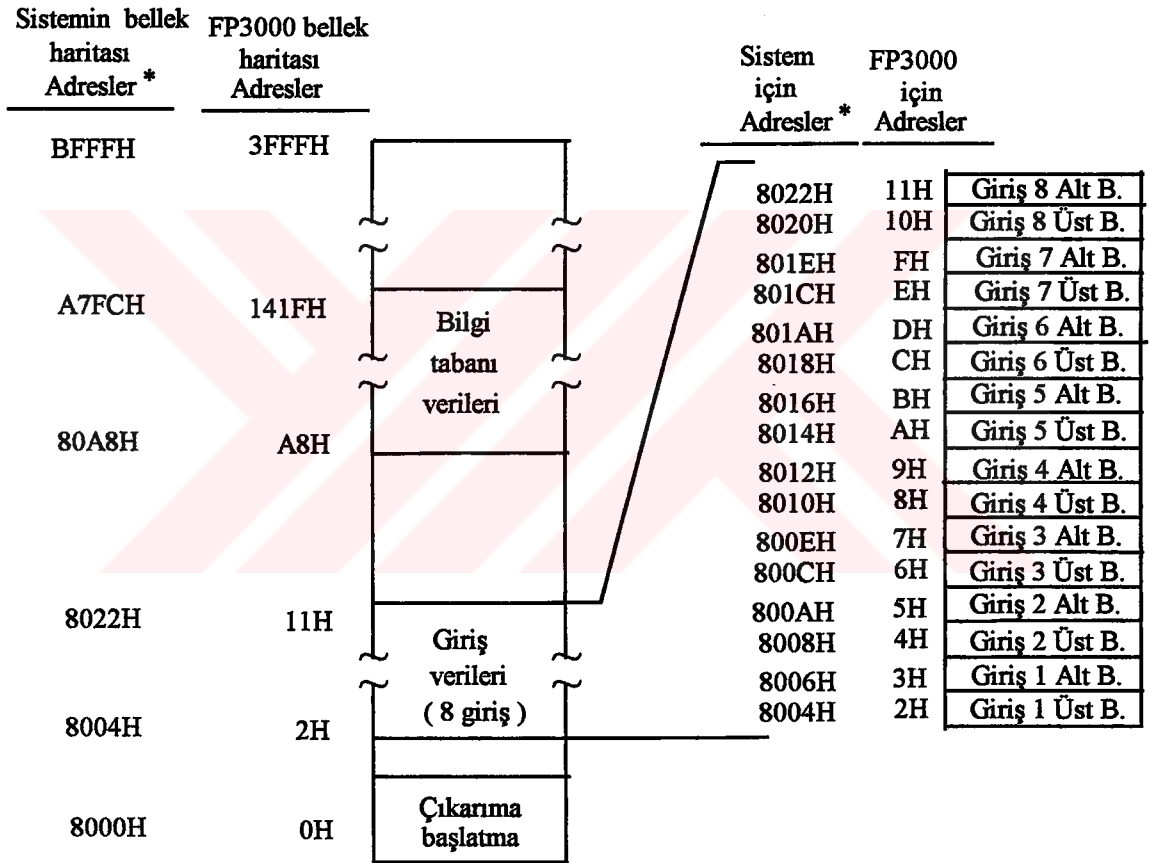
tamamlandığını anlama işlemi yazılım ile denetlenir. Kesme isteği işlemi kullanılmaz. Ayrıca işlemcinin bacaklarının mikrodenetleyiciye bağlanma durumu Şekil 12.2 'de gösterilmektedir.

12.3. Fuzzy İşlemcili Sistemin Bellek Haritası

Bellek bölgesi giriş, çıkış verilerini ayrıca kuralların ve üyelik fonksiyonun bir araya getirilmesi ile oluşturulan bilgi tabanı verilerini içerir. Ayrıca bu bölgede FP3000 'ni çıkarıma başlatmak ve çıkarım işleminin tamamlandığını anlamak için bir bayt bulunur (Şekil 12.3.).

12.3.1 Giriş verilerinin yazılması

Yazma işlemi durumunda



* Yanlış çift adresler kullanılır.

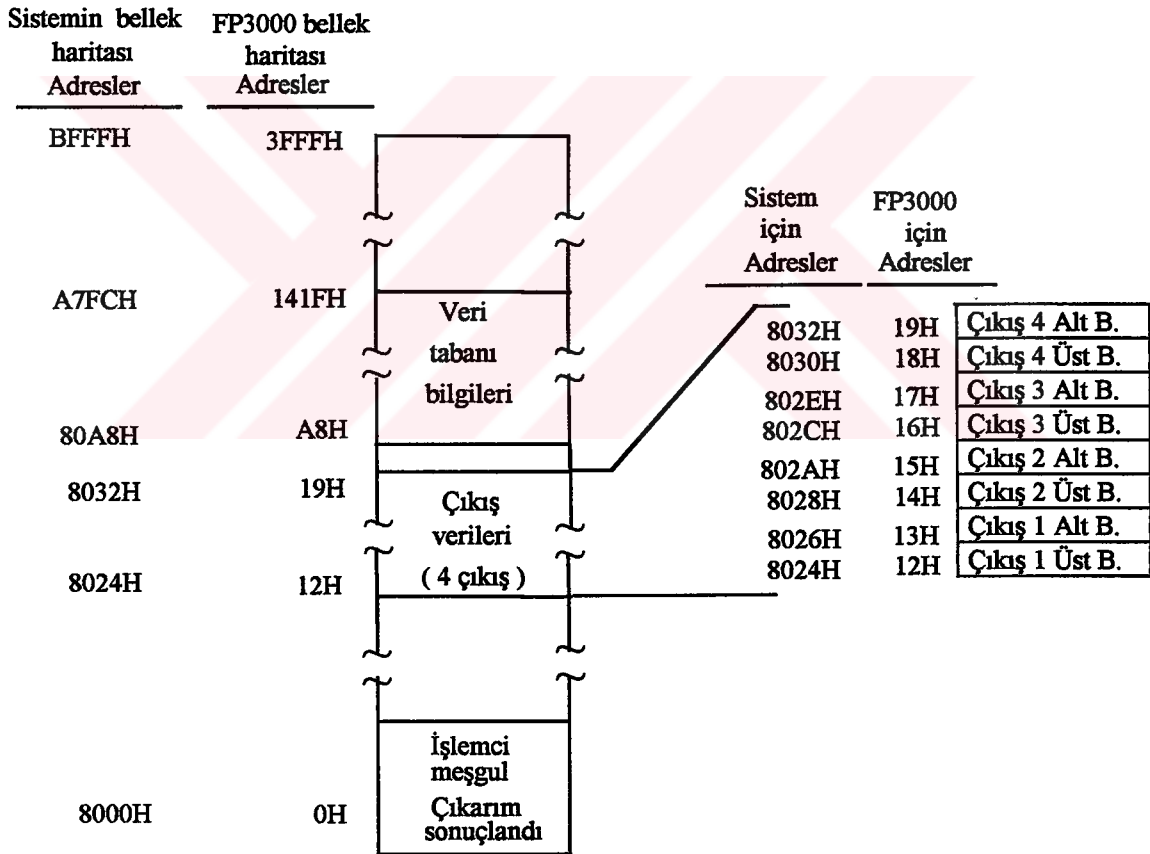
Şekil 12.4. Giriş için bellek düzeni

Şekil 12.4.'den görüleceği gibi giriş verileri 8004H-8022H adresleri arasındaki bellek gözlerine yazılır. Her giriş 12 bit olduğu için bellek iki baytlık yer kaplar. Giriş verileri yazılırken ilk çift adrese

önce giriş verisinin üst baytı yazılır .Bu baytın üst dört biti kullanılmayacağı için sıfırlanması gerekir. Bir sonraki adrese giriş verisinin alt baytı yazılır. Daha önce anlatıldığı gibi donanımın özelliğinden dolayı sistemde tek adresler kullanılmaz. FP 3000 'ne yazılacak kuralın sekiz tane girişi olduğu için girişlerin bellekte kullandığı göz sayısı en fazla 16 bayttır. Eğer kullanılmayan tek olan adreslerde sayılırsa göz sayısı 32 bayt olur.

12.3.2.Çıkış verilerinin okunması

Okuma işlemi durumunda



Şekil.12.5. Çıkış için bellek düzeni

Dört ayrı çıkış verisi 8024H- 8032H adresleri arasındaki çift adreslerden okunur (Şekil.12.5.).Her bir çıkış verisi 12 bit uzunluğundadır.İlk çift adreste (8024H) ilk çıkışın üst baytı vardır. Bu

adresten sonraki çift adreste aynı çıkışın alt baytı mevcuttur. Bir kuralda en fazla 4 çıkış olduğu için çıkış verileri bellekte en fazla 8 baytlık yer tutar. Eğer kullanılmayan tek adreslerde ilave edilirse çıkış için ayrılan bellek göz sayısı 16 baytlık olur. Bellekten alınan bir çıkış verisinin üst baytının üst 4 biti sıfır olması gerekir. Eğer bu 4 bit sıfır değilse elde edilen çıkış sonucu kullanılmaz. Yani o andaki giriş verilerine karşılık, kurallardan ve üyelik fonksiyonundan çıkarım ile bulunacak sonuç verisi mevcut değildir.

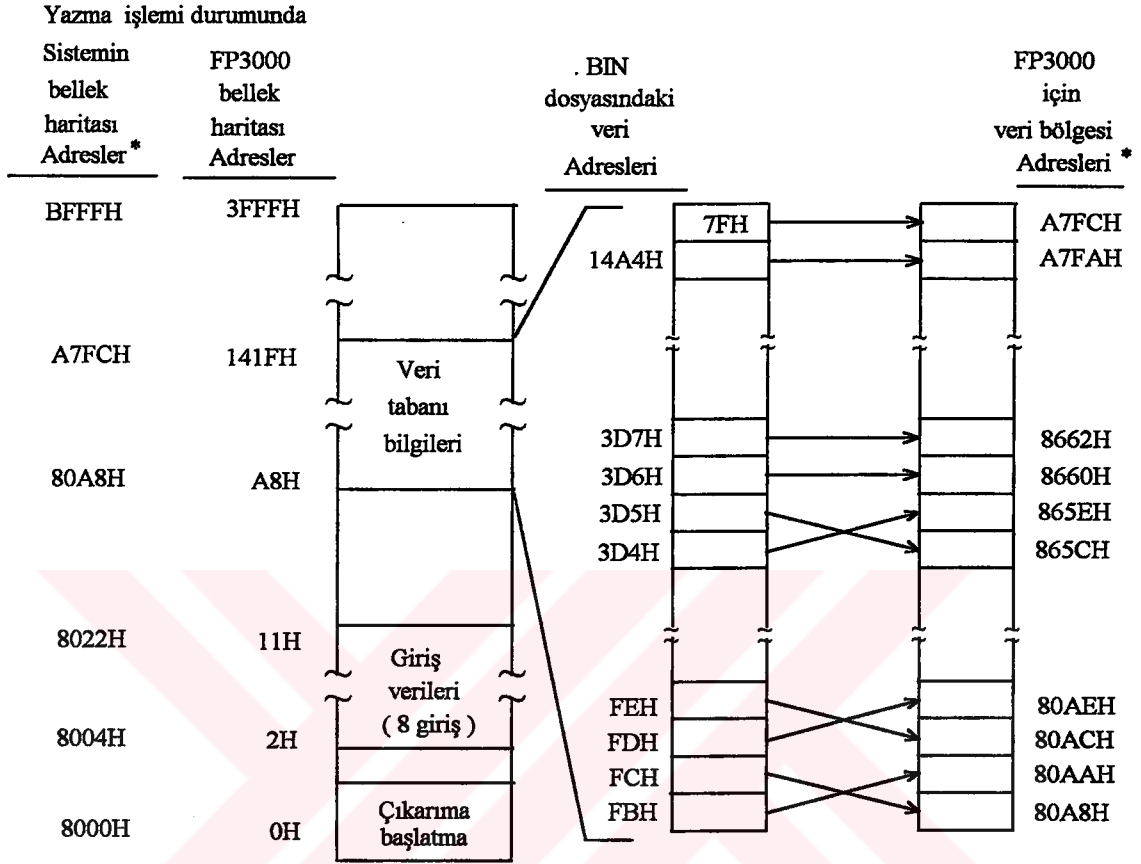
12.3.3. Çıkarım işlemine başlatma ve çıkarımın bittiğini tespit etme

0000H adresindeki bellek gözü bu işlemleri sağlamak için kullanılır. Bellek gözünün 4. biti bu iki işlemi gerçekleştirmeye yarar. Yazma durumunda işlemci çıkarım işlemine başlayabilir. Okuma durumunda ise çıkarım işleminin tamamlandığı anlaşılabilir. Gerekli giriş verileri belleğe yazıldıktan sonra 0000H bellek gözünün 4. biti lojik 1 yapılır. Bu durumda çıkarım işlemi başlar. Sonra aynı bellek gözünün aynı biti okunur. Eğer bu bit lojik 1 ise çıkarım işlemi bitmemiş ve işlemci meşgul durumdadır. Lojik 0 olursa çıkarım işleminin tamamlandığı anlaşılır. Çıkarım sonucunda ilgili adreslerden çıkış verileri alınır.

12.3.4. Bilgi tabanı verileri

Bu bilgiler 80A8H-A7FCH adresleri arasında çift adreslere yazılır. Bilgisayarda FB-30AT fuzzy çıkarım kartı için kullanılan FS-30AT Fuzzy Çıkarım yazılımında kurallar ve üyelik fonksiyonları yazılır. Daha sonra seçilen netleştirme yöntemine göre bu kurallar üyelik fonksiyonları ile bir araya getirilerek derleme yapılır. Derleme işlemi sonucunda bilgi tabanı olarak kullanılacak gerekli veriler elde edilir. Bu bilgilerin saklandığı dosyanın uzantısı *. BIN şeklindedir.





* Yalnız çift adresler kullanılır.

Şekil 12.6. Veri tabanı için bellek düzeni

Daha sonra bu dosyadan fuzzy işlemcinin çıkarım işlemi yapabilmesi için gerekli bilgiler alınır.*. BIN adlı dosyadaki FBH-3D5H arasındaki her bayt bir sonraki adres gözündeki bayt ile yeri değiştirilir. Daha sonra FBH-14A4H adresleri arasındaki dosya bilgileri fuzzy işlemcide karşılık gelen 80A8H-A7FBH arasındaki çift adres gözlerine seri porttan gönderilir. En sonunda işlemcinin A7FCH adres gözüne sonu belirtmek için 7FH verisi yazılır (Şekil 12.6.).Gönderilen veriler Fuzzy işlemcili sistemdeki belleğe kaydedilir. İşlemciye bağlı bellek tümdevresi pil ile beslenecek olursa bilgi tabanı için gönderilen veriler sürekli olarak mikrodenetleyicili sistemde saklanabilir.

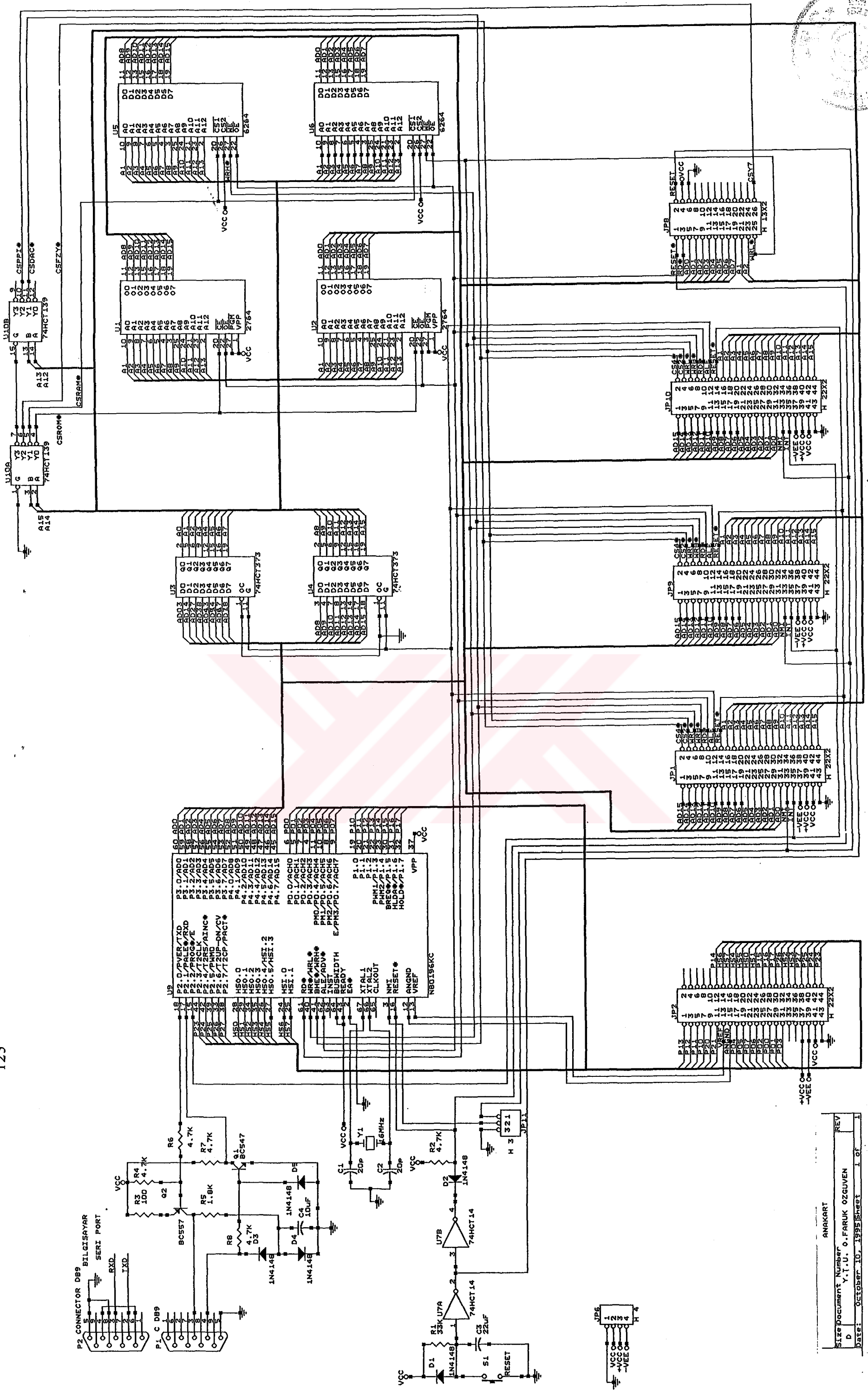


13.MİKRODENETLEYİCİLİ SİSTEMİN ANAKART DONANIMI VE DİĞER ÜNİTELER

Ana kartta mikrodeneleyici, adres tutma işlemleri için tutma tümdevreleri, RAM ve EPROM bellekleri, tümdevre seçme işlemleri için seçici devre, sistemi sıfırlama devresi, seri giriş ve çıkış için arabirim devresi ve genişleme yuvalarından oluşur. (Şekil 13.1) Genişleme yuvaları üç çeşit olarak tasarlanmıştır. Devrede birinci tür genişleme yuvasından üç tane vardır. Bunlara A1-A15 adres yolu, AD0-AD15 veri yolu, tek ve simetrik besleme kaynağı uçları ve ayrıca kontrol uçları bağlanmaktadır (Şekil13.2.a). Dolayısıyla istenilen amaca göre kullanılacak kartlar bu yuvalara bağlanabilir. İkinci tür genişleme yuvası bu sistemde gösterge ve tuş takımını denetlemek için kullanılır (Şekil 3.2.b). Bu yüzden adres ve veri yolu ile beraber kontrol uçlarının sadece bu işlem için işe yaracak kısımları bağlanmıştır. Üçüncü tür genişleme yuvası ise kullanılması muhtemel port uçlarını ve diğer işlevleri olan bir takım uçları içerir (Şekil. 13.2.c)

Mikrodeneleyicili sistem dinamik adres/veri yolunu kullanan 16 bitlik yapıya sahiptir. (Şekil 10.8). Yani adres ve veri yolu 16 bit olarak çalışır.Bu yüzden CCR kaydedicisinin sıfırlama işlemi sırasında EPROM 'dan 2018H adres gözünden okuduğu tümdevreyi ayarlama baytının (CCB) 2.biti lojik 1 olarak belirlenir. Bu durumda mikrodeneleyicinin BUSWIDTH bacağıнын durumu yol genişliğini belirler ve 16 bitlik yol için lojik 1 durumuna getirilir.Bu durumda sistem bir defada 16 bit okuduğu için daha hızlı çalışma özelliğine ulaşır.Bu adres/veri yolları port 3 ve port 4'ü paylaşmalı olarak kullanılır.Bu portların çıkışında 16 bitlik adres yolunu tutmak için iki tane 74HCT373 tümdevresi kullanılarak sağlanmıştır.74HCT373 tümdevrelerinden biri adresin alt baytını ve diğeri üst baytını tutmak için kullanılır. Girişlerdeki geçerli adresi tutma işleminin



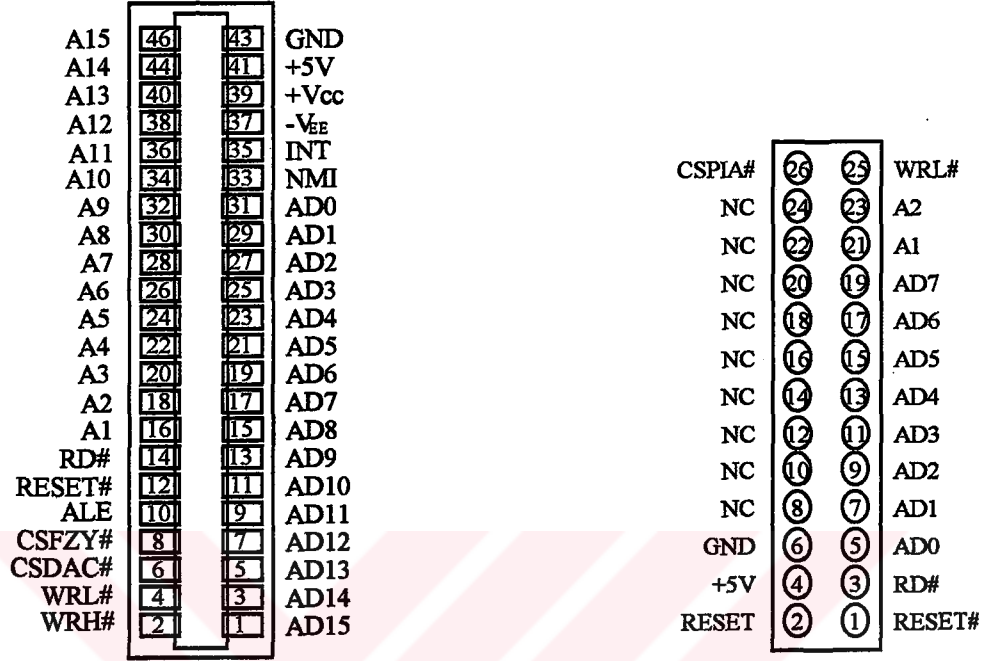


Size Document Number
 D Y.T.U. O.FARUK OZGUVEN
 Date: October 10, 1995 Sheet 1 of 1

Şekil 13.1. Anakart şeması

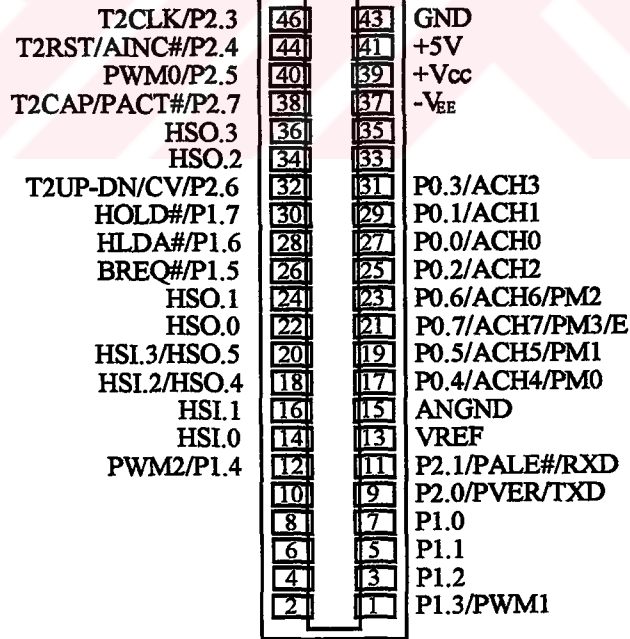


gerçekleştirilmesi mikrodenetleyicinin ALE bacağı ile sağlanır. Geçerli adres oluştuğunda ALE lojik 0 olur. Bu durumda tutma tümdevrelerinin



(a) Çok amaçlı

(b) Gösterge ve tuş takımı için



(c) Mikrodenetleyici port uçları

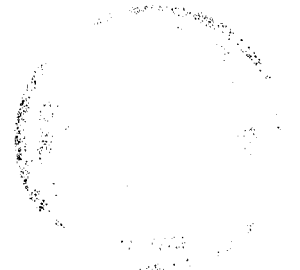
Şekil 13.2. Genişleme yuvası bacak bağlantıları

çıkışına o andaki adres bilgisi ulaşır. Daha sonra adres/veri yolunda veri bilgisi oluşursa ALE lojik 1 olacağı için tutma tümdevrelerinin girişi kapatılmış olur. Böylece sadece adres bilgisi tutulmuş olur.

Burada mikrodnetleyici programı dış EPROM bellekten okuduğu için EA# bacağı lojik 0 durumundadır. EPROM 'lar veri yolunun alt ve üst baytları için iki tane olarak kullanılır. Bu belleklerin adres yolları paralel ve veri yolları üst ve alt bayt olmak üzere seri yapıya sahiptir. OE# bacakları birbirine paralel bağlanarak mikrodnetleyicinin RD# bacağı ile denetlenir. Yani okuma işleminde üst ve alt baytlar bir defada veri yoluna alınır.

Yazılır ve okunur (RAM) belleklerin adres ve veri yolu bağlantıları EPROM'lar ile aynı yapıdadır. RAM okunurken EPROM 'da olduğu gibi üst ve alt baytlardan oluşan 16 bitlik veri bir defada okunur. RAM 'e 16 bitlik bir bilgi yazılması işlemi okuma işleminde olduğu gibi veri bir defada yazılmaz. Yani 16 bitlik verinin üst ve alt baytları ilgili belleklere ayrı bir şekilde yazılır. Alt belleğe alt bayt yazılırken mikrodnetleyici WRL# işaretini ve üst belleğe üst bayt yazılırken WRH# işaretini üretir. WRL# işareti alt belleğin WR# bacağına, WRH# işareti ise üst belleğin WR# bacağına bağlanmıştır.

Her adres bir baytlık bellek gözünü gösterir. Adres yolunun A0 bacağı kullanılmadığı için alt belleklerdeki gözler çift adresler ve üst belleklerdeki gözler ise tek adresler ile temsil edilirler. Mikrodnetleyicideki bir adresin EPROM ve RAM 'deki adres karşılığı farklıdır. Örneğin sıfırlama işlemi sırasında denetleyici 2018H bellek gözüne gider ve ilk komutu bu bellek gözünden alır. Fakat denetleyicinin adres yolunun A0 bacağı bağlı olmadığı ve A1 bacağı bellek ünitelerinin A0 bacaklarına bağlı olduğu için 2018H bellek adresi 1040H adresine denk gelir. Bu adres tablo13.1 'deki gibi hesaplanır.



Tablo 13.1. Mikrodenetleyicideki adresin dış ünitedeki karşılığı

| Adres | A15 | A14 | A13 | A12 | A11 | A10 | A9 | A8 | A7 | A6 | A5 | A4 | A3 | A2 | A1 | A0 | Hex. adr. |
|-----------|-----|-----|-----|-----|-----|-----|----|----|----|----|----|----|----|----|-------|----|-----------|
| Mikroden. | 0 | 0 | 1 | 0 | 0 | 0 | 0 | 0 | 1 | 0 | 0 | 0 | 0 | 0 | 0 | 0 | |
| | 2 | | | 0 | | | | 8 | | | | 0 | | | 2080H | | |
| Karşılığı | K14 | K13 | K12 | K11 | K10 | K9 | K8 | K7 | K6 | K5 | K4 | K3 | K2 | K1 | K0 | - | |
| Dış ünite | 0 | 0 | 1 | 0 | 0 | 0 | 0 | 0 | 1 | 0 | 0 | 0 | 0 | 0 | 0 | - | |
| | 1 | | | 0 | | | | 4 | | | | 0 | | | 1040H | | |

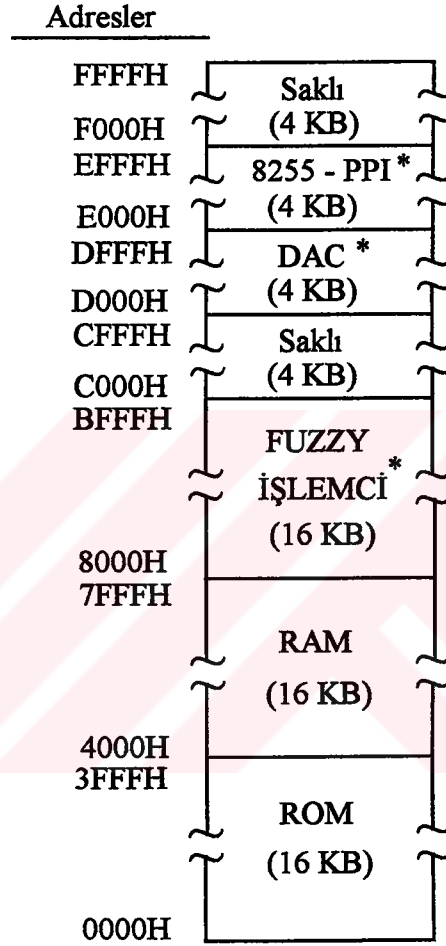
Bu tablodan da anlaşılacağı gibi mikrodenetleyicideki adres sola bir bit ötelenmektedir. Yani bu adresin dış ünitedeki karşılığı, iki sayısına bölünmesidir.

Sıfırlama devresinde 74HCT14 evirici tümdevresi kullanılmıştır. Bu eviriciler girişe bağlanan anahtar ile sıfırlama işlemi yapıldığı zaman mikrodenetleyici dışındaki ilgili diğer ünitelerin sıfırlamaları için kuvvetlendirme işlemini yaparlar. Her iki evirici çıkışında sıfırlama işaretinin lojik iki durumu mevcuttur. Dış ünitenin sıfırlanma durumuna göre aktif işaret alınabilir. Mikrodenetleyicinin sıfırlama bacağına bağlanan 4.7K Ω 'luk direnç evirici çıkışındaki gerilimi yukarı çekmek için kullanılmıştır.

Sistemde 8XC196KC kullanıldığından saat darbesi frekansı, kristal kullanılarak 16 MHz olarak belirlenir. Şayet denetleyici olarak 8XC196KD kullanılırsa saat darbesi frekansı 24 MHz olmalıdır.

Seri haberleşme için kullanılan arabirim devresi gönderme ve alma işlemi için kullanılan iki tranzistör mevcuttur(Elector, 1987). Gönderme işlemi için kullanılan BC557 tranzistörü ise denetleyiciden çıkan işareti kuvvetlendirerek çıkış hattına verir. Aynı zamanda bu tranzistör gönderilen işaretin evriğinin alınmasına neden olur. Çünkü bu işaret bilgisayar tarafından bir kez daha evriği alınır. Böylece normal işaret elde edilir. BC 547 tranzistörü bilgisayar tarafından

evriği alınarak gönderilen işaretin evriğini alarak mikrodenetleyiciye ulaşmasını sağlar. Bilgisayarın mikrodenetleyiciye gönderdiği işaret +9V ile -9V arasında değişir. Arabirim devresindeki BC547 ve diyotlar gelen bu işareti 0V ile 5V arasında sınırlar.



* Sadece çift adresler kullanılır.

Şekil 13.3. Anakart bellek bölgeleri

Adres seçme işleminde içinde iki tane 2 hattı 4 hatta çeviren çoğullayıcı bulunan 74HCT139 tümdevresi kullanılır. İlk çoğullayıcı 64 KByte'lik bölgeyi 16 KByte'lik bölgelere ayırır (Şekil 13.3). Bu yüzden çoğullayıcının girişine A14 ve A15 adres uçları bağlanmıştır. İlk 16 KByte'lik bölgeye (0000H-3FFFH) program belleği olarak kullanmak

için herbiri 8 Kbayt olan iki EPROM yerleştirilmiştir. Sistem sıfırlandığında mikrodenetleyici ilk komutu 2080H adresinden alır. Dolayısıyla EPROM için ayrılan bölge bu adresi ve kesme isteği vektör adreslerini kapsamalıdır.

İkinci 16 Kbaytlık (4000H-7FFFH) bölgede herbiri 8 Kbayt olan iki tane 6264 RAM tümdevresi vardır. Bu belleğe yazılacak programın kodları 4000H adresinden başlayarak yazılabilir. Yalnız 7F00H ile 7FFFH adresleri arasındaki bellek gözleri geliştirme seti programı için bazı verilerin saklanması için kullanılır. 7FF0H ile 7F05H adresleri arasındaki bellek gözleri o andaki adres ve bu adres gözündeki 8 bitlik verinin onaltılı sayı değerinin yedi parçalı gösterge değerine çevrilmiş verilerini saklamak için kullanılır. Ayrıca 7F0AH, 7F16H ve 7F1CH adres gözleri tuş takımında bazı tuşlar için ileride yapılacak geliştirmeler için kullanılabilir. Bu nedenle sistem ilk açıldığında bu bellek gözlerine geridön (RET) komutunun kodu olan F0H yazılır.

Üçüncü bölge 8000-BFFFH adresleri arasındaki bellek gözlerini kapsar. Bölüm 12 'de anlatıldığı gibi bu bölge fuzzy işlemci için ayrılmıştır. Adresteki verilerin sadece çift adresli olanları kullanılır.

Dördüncü bölge olan C000H ile FFFFH adres bölgesi ikinci çoğullayıcı tarafından dörder KBaytlık bölgelere ayrılır. Bu çoğullayıcı çıkışındaki birinci ve dördüncü 4 KBaytlık bölgeler kullanılmamıştır. İkinci 4 KBaytlık bölge (D000H-DFFFH) Analog-Digital ve Digital-Analog çevriciler için kullanılır. Bu çevriciler bu bölgeye yansımali olarak yerleştirilebilir. Ayrıca bölge için kullanılan seçici uç genişleme yuvalarına bağlıdır. İstenilirse başka amaç için kullanılabilir. İkinci çoğullayıcının çıkışında belirlenen üçüncü 4 KBaytlık bölge (E000H-EFFFH) gösterge ve tuş takımı devresi için ayrılmıştır.



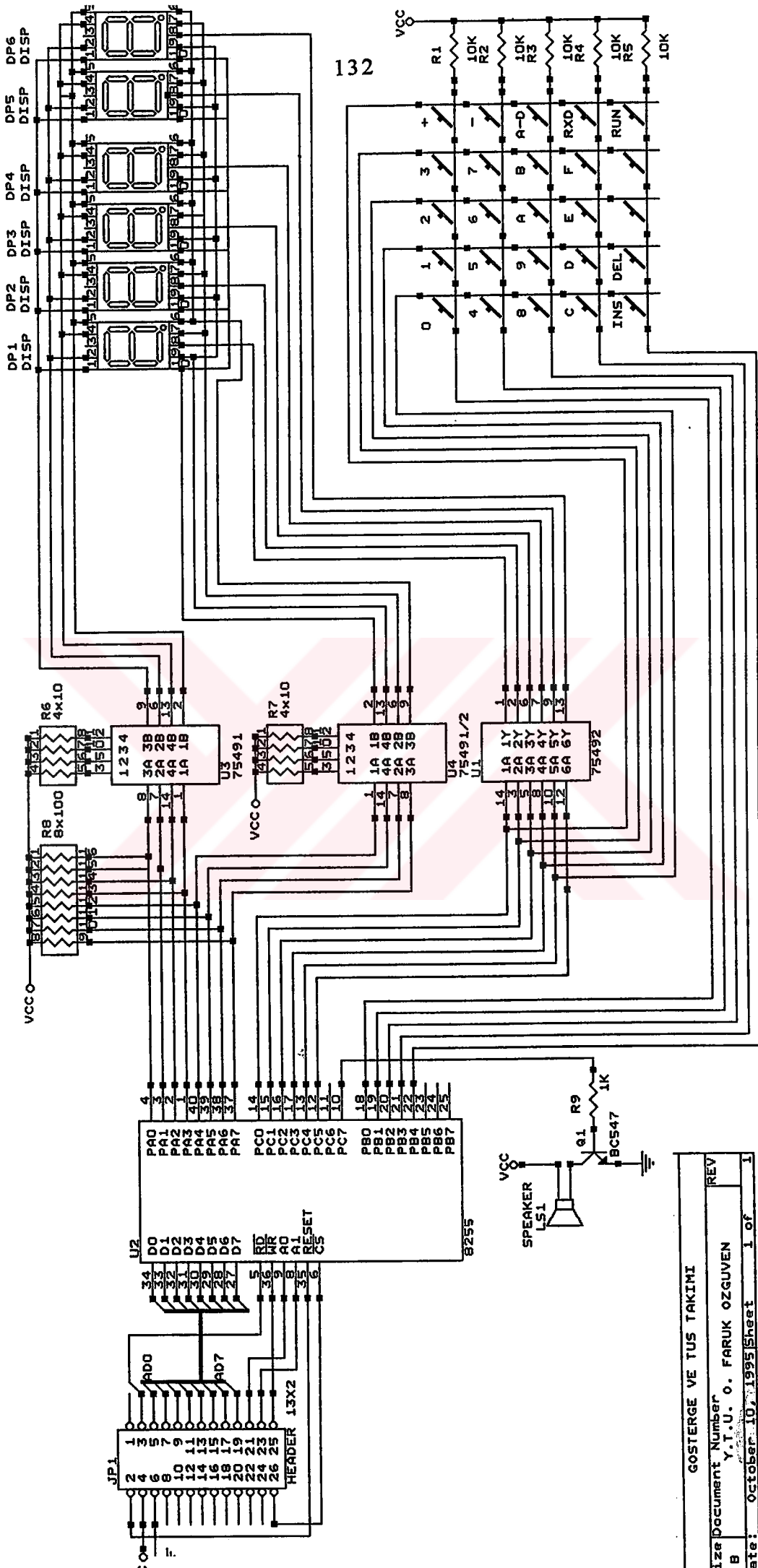
13.1. Gösterge ve tuş takımı devresi:

Bu devrede kullanılan 8255 paralel giriş çıkış arabirim tümdevresi yansımali olarak yerleştirilmiştir. 8255 fuzzy işlemciye benzer şekilde çift adreslerde bulunur. Yani 16 bitlik veri yolunun alt baytı kullanılır. Bu yüzden WR# bacağına denetleyicinin WRL# ucu bağlanır(Şekil 13.4). 8255 arabirim tümdevresinin üç giriş çıkış portu ve ayrıca bir kontrol kaydedicisi vardır. Portlara ve kaydedicilere 8255'in A0 ve A1 bacakları şartlanarak ulaşılır. Bu iki bacak mikrodenetleyicinin A1 ve A2 adres uçlarına bağlıdır. Tablo 13.2. ilgili adreslerde bulunan portları ve kaydedicileri gösterir.

Tablo 13.2. 8255 çevre birimi kaydedicilerinin adresleri

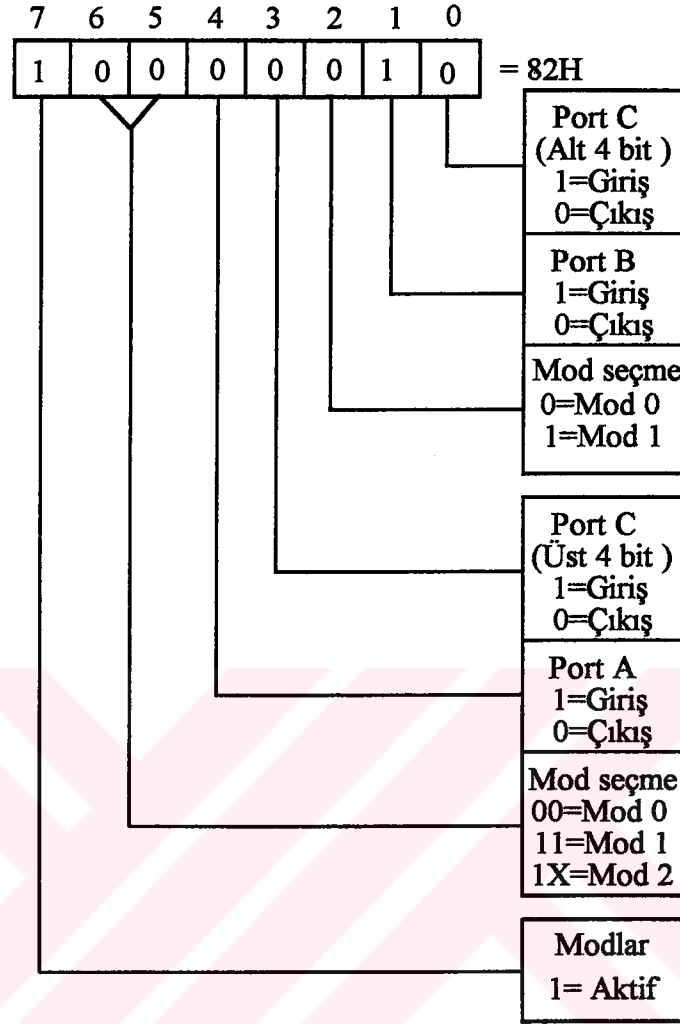
| A2 | A1 | ADRES | FONKSİYONU |
|----|----|-------|------------|
| 0 | 0 | E000H | A portu |
| 0 | 1 | E002H | B portu |
| 1 | 0 | E004H | C portu |
| 1 | 1 | E006H | Kontrol |

Gösterge ve tuş takımı devresinde A portu (PA0-PA7) gösterge parçaları, C portunun altı biti (PC0-PC5, 6 gösterge) göstergelerin katodları ve aynı zamanda tuş takımının kolonları (PC0-PC4, 5 kolon), B portunun beş biti ise tuş takımının satırları (PB0-PB4, 5 satır) için kullanılır. Ayrıca C portunun 7. biti hoparlörü sürer. Bu yüzden A ve C portu çıkış ve B portu giriş olarak şartlandırılır (Brey, 1987), (Şekil 13.5).



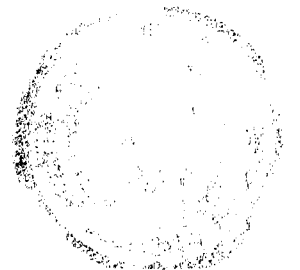
Şekil 13.4. Gösterge ve tuş takımı şeması

| | |
|------------------------|-------------------------|
| GOSTERGE VE TUS TAKIMI | |
| İzle | Document Number |
| B | Y.T.U. O. FARUK ÖZGUVEN |
| Revizyon | REV |
| Şirket | October 10, 1995 |
| Yazdırma Tarihi | Sheet 1 of 1 |



Şekil 13.5. Kontrol kaydedici bitlerinin fonksiyonları

A portunun gösterge parçalarına, C portunun göstergenin katotlarına ve tuş takımının kolonlarına, B portunun tuş takımının satırlarına bağlanma durumlarındaki ilgili uçlara karşılık gelen port uçları tablo 13.3. ve tablo 13.5. 'de gösterilir. Ayrıca A portu için göstergede elde edilecek 0H-FH arasındaki sayılar için gösterge şekline çevrilmiş değerler tablo 13.4. 'da gösterilir.



Tablo 13.3. C portunun katot ve sutunlarına karşılık gelen port uçları

| PC5 | PC4 | PC3 | PC2 | PC0 | PC0 |
|--------|--------|--------|--------|--------|--------|
| Katot6 | Katot5 | Katot4 | Katot3 | Katot2 | Katot1 |
| X | Kolon5 | Kolon4 | Kolon3 | Kolon2 | Kolon1 |

Tablo 13.4. 0H - FH arasındaki sayıların gösterge karşılıkları

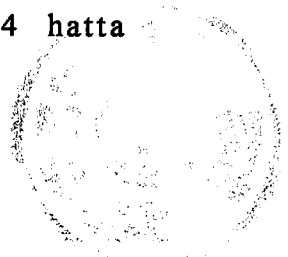
| | PA7 | PA6 | PA5 | PA4 | PA3 | PA2 | PA1 | PA0 | |
|---|-----|-----|-----|-----|-----|-----|-----|-----|-----|
| | e | d | n | c | g | f | a | b | |
| 0 | 1 | 1 | 0 | 1 | 0 | 1 | 1 | 1 | D7H |
| 1 | 0 | 0 | 0 | 1 | 0 | 0 | 0 | 1 | 11H |
| 2 | 1 | 1 | 0 | 0 | 1 | 0 | 1 | 1 | CBH |
| 3 | 0 | 1 | 0 | 1 | 1 | 0 | 1 | 1 | 5BH |
| 4 | 0 | 0 | 0 | 1 | 1 | 1 | 0 | 1 | 1DH |
| 5 | 0 | 1 | 0 | 1 | 1 | 1 | 1 | 0 | 5EH |
| 6 | 1 | 1 | 0 | 1 | 1 | 1 | 1 | 0 | DEH |
| 7 | 0 | 0 | 0 | 1 | 0 | 0 | 1 | 1 | 13H |
| 8 | 1 | 1 | 0 | 1 | 1 | 1 | 1 | 1 | DFH |
| 9 | 0 | 1 | 0 | 1 | 1 | 1 | 1 | 1 | 5FH |
| A | 1 | 0 | 0 | 1 | 1 | 1 | 1 | 1 | 9FH |
| B | 1 | 1 | 0 | 1 | 1 | 1 | 0 | 0 | DCH |
| C | 1 | 1 | 0 | 0 | 0 | 1 | 1 | 0 | C6H |
| D | 1 | 1 | 0 | 1 | 1 | 0 | 0 | 1 | D9H |
| E | 1 | 1 | 0 | 0 | 1 | 1 | 1 | 0 | CEH |
| F | 1 | 0 | 0 | 0 | 1 | 1 | 1 | 0 | 8EH |

Tablo 13.5. B portunun satırlara karşılık gelen port uçları

| PB4 | PB3 | PB2 | PB0 | PB0 |
|--------|--------|--------|--------|--------|
| Satır5 | Satır4 | Satır3 | Satır2 | Satır1 |

13.2. Dijital Analog (D/A) Çevirici Devre

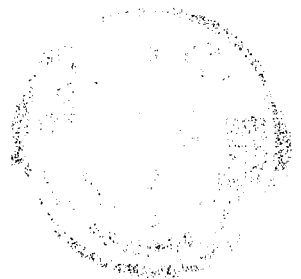
Bu devre tümdevre seçici, dijital veriyi tutma ve tutulan veriyi analoga çeviren tümdevre ünitelerinden oluşur (Şekil 13.6). Adres seçici devrede 74HCT139 tümdevresi içerisindeki 2 hattı 4 hatta



çeviren iki çoğullayıcıdan biri kullanılır. Bu ünite D000H-DFFFH arasındaki 4 KBaylık adres bölgesini birer Kbaylık dört bölgelere ayırır. D/A çevirici bu bölgelerden ilk bölgede (D000H-D3FFFH) aktif duruma geçer. Fuzzy işlemci 12 bitlik olduğu için D/A çeviricide 12 Bitlik olarak seçilmiştir. Bu yüzden çevirici girişine bağlanan veri tutma devreside 12 bitlidir. Veri tutma işlemi 74HCT373 (8 bit) ve 74HCT75 (4 bit) tutma tümdevreleri ile gerçekleştirilir. Mikrodenetleyicinin WRH# bacağı sayesinde 16 bitlik verinin üst 8 bitinin alt 4 biti 74HCT75 tümdevresine yazılır. Ayrıca WRL# bacağı sayesinde 16 bitlik verinin alt 8 bitide 74HCT373 tümdevresine yazılır. D000H-D3FFFH adresleri arasındaki herhangi bir adres gözündeki veriyi D/A çeviriciye ulaştırabilmek için WRL# ve WRH# bacakları ile 74HCT139 seçici devresinin Y0 çıkışı iki ayrı NOR kapısından geçirilir ve ayrı ayrı tutma tümdevrelerinin G (İzin verme) bacağına bağlanırlar. Böylece tümdevre seçme sinyali ürettiği zaman, WRL# ve WRH# sinyallerinden birisi var ise gerekli tutma tümdevresi gelen veriyi tutar ve D/A çevirici girişlerine verilmiş olur.

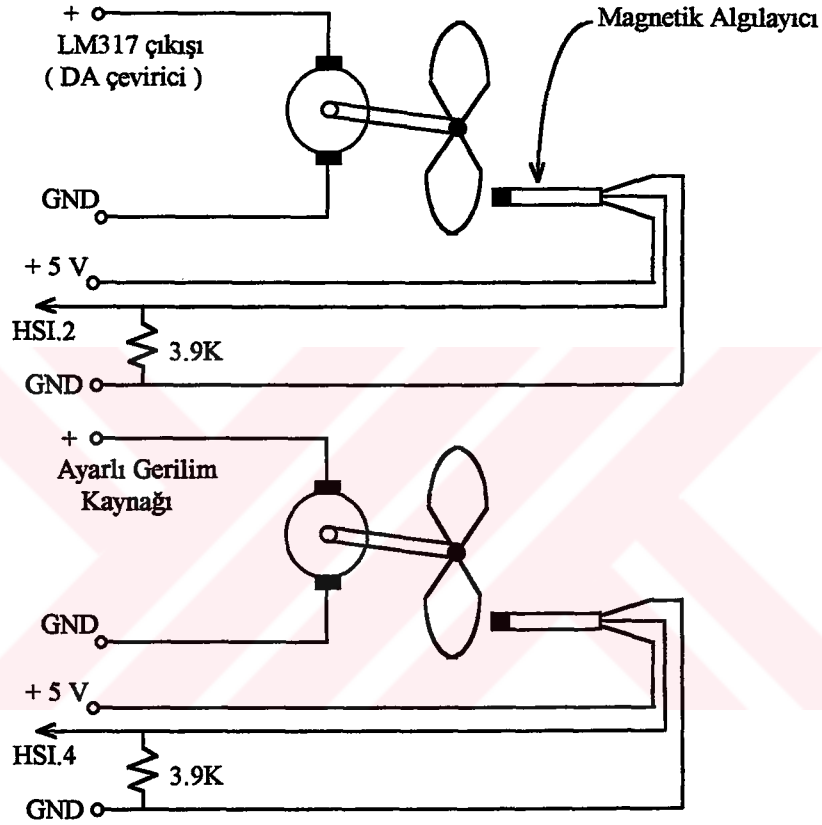
D/A çevirici olarak DAC 1200 tümdevresi kullanılmıştır. Tümdevrenin besleme gerilimi ± 12 Volttur. Çıkışında ± 10.24 Volt elde edilir. Eğer çıkışın simetrik olması istenmez ise D/A çevirici çıkışı 0-10.24 Volt olarak ayarlanabilir. Yani 12 bitin hepsi lojik 1 ise çıkış 0 volt ve 12 bitin hepsi lojik 0 ise çıkış 10.24 Volt olur. Bu durumda bir bitlik değişim $10.24V/4096 = 2.5$ mV değerine karşılık gelir.

Çıkışın tam ölçekleme ve ofset ayarı için devre üzerinde iki ayrı trimpot mevcuttur. Devre ± 12 V ve ayrıca 5 V gerilim kaynağı ile beslenir. D/A çıkışındaki gerilim ile motoru sürebilmek için LM 317 gerilim regülatörü ilave edilmiştir.



13.3. Motorlar ve Magnetik Algılayıcılar

Sistemde iki ayrı 12 Voltluk DC motor ve magnetik algılayıcı vardır(Şekil 13.6).Motorlardan birinin hızı mikrodenetleyici tarafından kontrol edilir. Diğer motorun hızı sabit ve isteğe bağlı olarak değiştirilir.



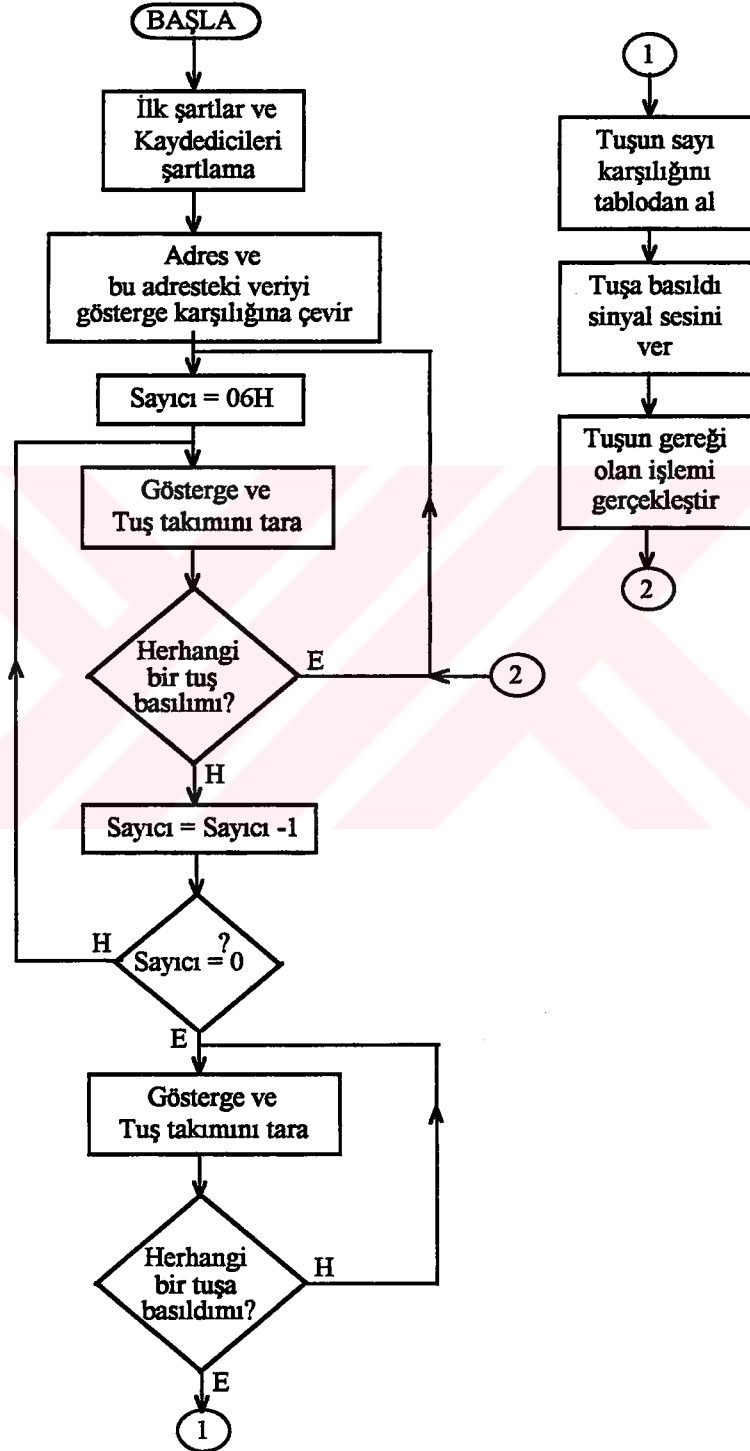
Şekil 13.6. Motorların ve magnetik algılayıcıların bağlantıları

Motorların dönüş hızları magnetik algılayıcılar tarafından mikrodenetleyiciye ulaştırılır.Hızı kontrol edilen motorun dönüş hızı bilgisi mikrodenetleyicinin HSI.2 bacağına ve hızı sabit olan motorun dönüş hız bilgisi ise HSI.3 bacağına verilir. HSI.2 ve HSI.3 girişlerinden gelen darbelerin çıkan ve düşen kenarlarına göre zamanlayıcı1 'deki sayma sonuçları değerlendirilir.



14. PROGRAMLAR

14.1.Gösterge ve tuş takımını kullanan geliştirme seti programı



Şekil 14.1. Geliştirme seti programı akış diyagramı

İlk şartlar verilirken ve kaydediciler şartlanırken önce Dpencere 32 bayta ve Ypencere ise 0 nolu pencereye şartlanır. Ayrıca Yığın Gösteren Kaydedici 0200H adresine şartlandırılır. 8255 'in A portu gösterge parçalarına ve C portu katotlara bağlı oldukları için her iki port çıkış, B portu tuş takımının satır bilgisini okuduğu için giriş olarak şartlandırılır. Seri haberleşme için saniyedeki karakter hızı, haberleşme modu ayarlanır. Aynı zamanda ileride ilaveler için boş bırakılan iki tuşa basıldığı zaman gidilen adreslere geridön (RET) komutunun kodu konulur.

RAM 'e yazılacak programların kodları 4000H adresinden başlanarak yazılabilir. Bu adresi ve bu adresteki bilgiyi göstergede görebilmek için gösterge karşılığı olan değere çevrilir. İlgili bayt bu değere çevrilirken üst ve alt dört bit ayrı ayrı alınır. Daha sonra bu dört bitin gösterge karşılığı EPROM tablosundan alınır. Bu bilgilerin saklama bölgesi olan 7F00H-7F05H adreslerinde saklanır. 7F05H adresi en sağdaki göstergeye ait verinin saklandığı ve 7F00H adresi en soldaki göstergeye ait verinin saklandığı bellek gözüdür.

Esas gösterge ve tuş takımı taramaya geçmeden önce ilk tarama yapılır. Bu ön tarama herhangi bir tuşa basılmış ve gereği olan işlem yapıldıktan sonra eğer aynı tuş halen basılı ise yine aynı işlemler yapılmasına engel olur. Yani tuşa basılırsa gereği olan işlem bir defa yapılır. Sonra eğer halen ilgili tuş basılı ise gerçek taramaya geçilmez. Yine bir işlem yaptırabilmek için tuşu bırakmak gerekir. Yalnız bırakıldıktan sonra geçici durumlardan dolayı bir takım istenmeyen darbeler oluşur. Böylece bu durum birden fazla aynı işlemlerin yapılmasına neden olur. Oluşan bu sakıncayı ortadan kaldırmak için sayıcı kullanılır. Programın akışına göre ancak en son alınacak tuş basıldı darbesinden sonra sayıcı birer alzalarak sıfırlanır. Sayıcı sıfırlandıktan sonra esas gösterge ve tuş taramasına geçilir.



Bu tarama işleminde herhangi bir tuşa basılırsa tuşun sayısal olarak karşılığı EPROM tablosundan alınır. Tuş tarama ve display tarama işlemi aynı anda gerçekleşir. Gösterge taramada önce en sağdaki göstergeden başlanır. İlgili göstergelerin, gösterge parçalarına A portundan veri gönderilir ve aynı göstergenin katodu C portunun ilgili biti ile lojik 0'e çekilir. C portunun çıkışlarına evrik alma ve sürücü tümdevresi bağlıdır. Bu durumda ilgili gösterge bir süre yanık olarak bekletilir. Her gösterge tarandığında programdaki tuş sayıcısı ise satırları sayma işlemini gerçekleştirir. Gösterge en sağdan taramaya başlanıldığı için tuş takımında aynı şekilde taranır. Programdan geri dönülürken tuşa basılmış ise bu tuşun sayıcı tarafından sayısal değeri saklanır. Bu durumdaki değerler kullanılırsa tuşların isteğe göre yerlerini değiştirmek mümkün olmaz. Bu yüzden alınan sayısal değerlerin asıl değeri EPROM'da başlangıç adresi 3F10H olan tablodan alınır. Böylece istenilen tuşa isteğe göre numara vermek mümkün olur. Eğer basılan tuşun değeri 10H 'e eşit veya bu değerden büyük ise komut anlamına gelir.

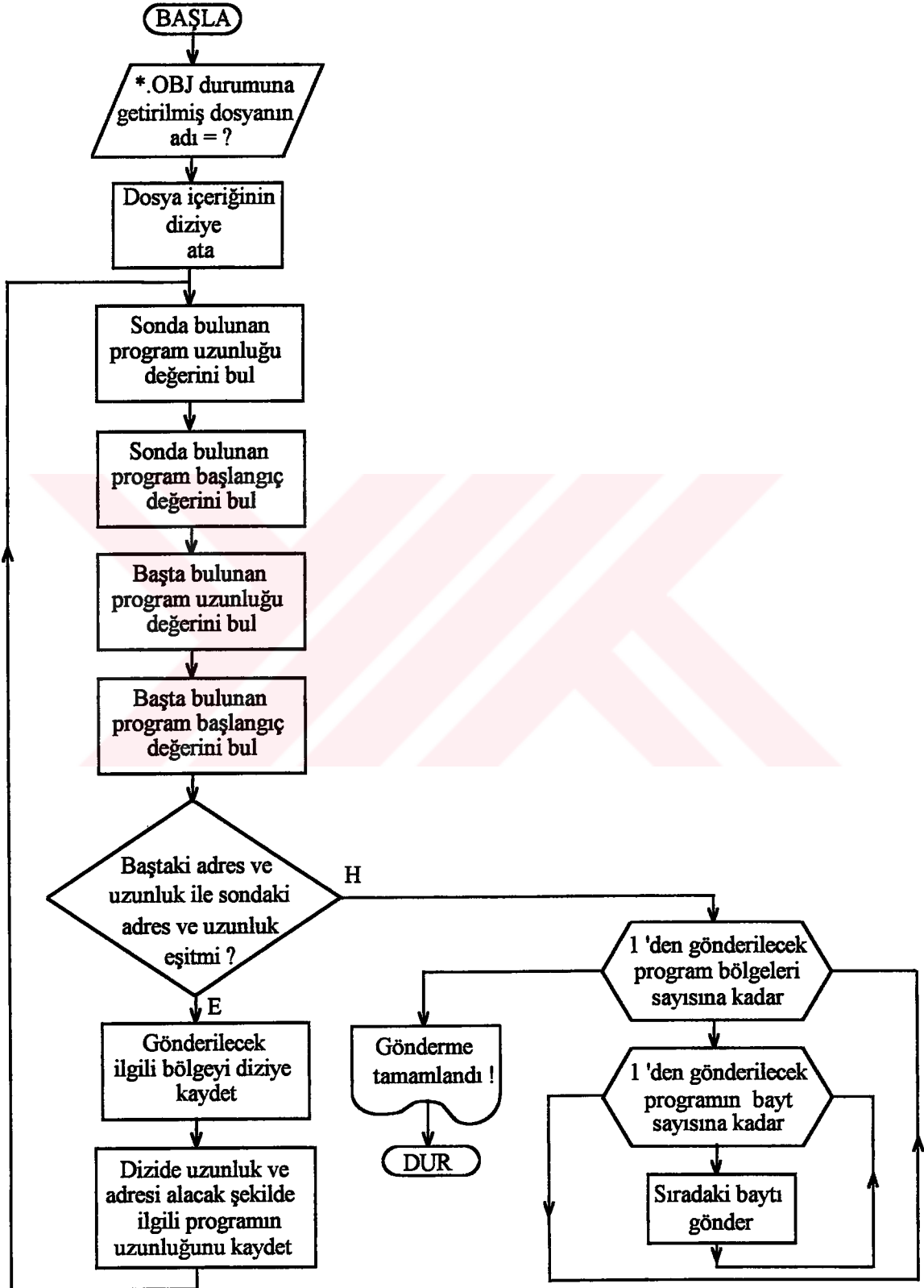
Tuşa basıldığını kullanıcıya bildirmek için sinyal sesi oluşturulur. Sinyal sesi C portunun 7. bitinden elde edilir. Çıkış tranzistör üzerinden hoparlöre bağlıdır. Ses programda elde edilen kare dalgadan elde edilir.

Tuşun gereği olan işlem olarak araya bir bayt ilave etme (insert), aradan bir bayt silme (delete), adresi bir azaltma, adresi bir arttırma, seri porttan alma ve bir programı çalıştırma işlemleri vardır. Insert işleminde o anda göstergede görülen adresten itibaren sonraki adresleri bir bayt ileri öteleme işlemini gerçekleştirir. Bu sırada diğer veriler bozulmaz. Delete işlemi göstergede görülen veriyi siler. Bu adresten bir sonraki adresdeki veriler bir bayt geri kaydırılır. Adres arttırma işleminde göstergede görülen adres bir artar ve bu adresdeki veri gösterilir. Adres azaltma işleminde adres bir azalır ve adresdeki veri

gösterilir. RS 232 tuşuna basılırsa göstergeler sönük duruma geçer ve bilgisayardan seri porttan gönderilecek verileri bekler. Bu durumda alınan ilk iki bayt gönderilecek bayt sayısını, sonraki iki bayt bu verilerin yazılacağı adresin başlangıç adresidir. Sonra gönderilen veriler en son adrese yazılacak bayttan başlar.

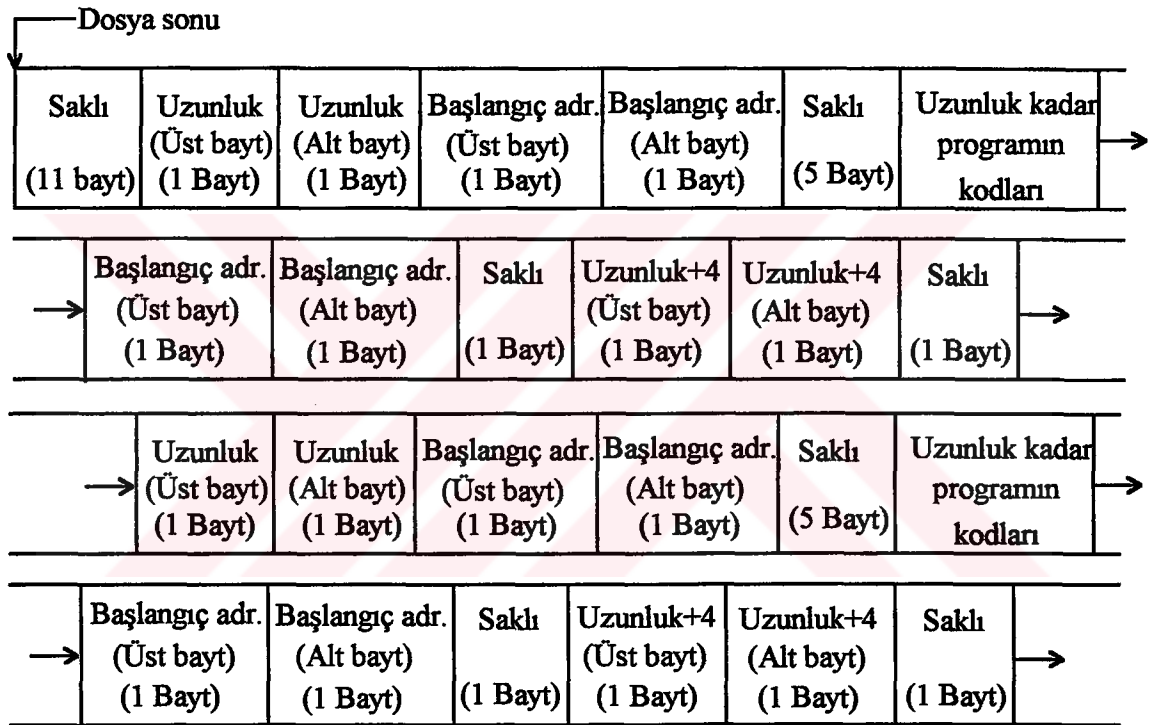


14.2. Programın seri porttan geliştirme setine gönderilmesi



Şekil 14.2. Programları seri porttan geliştirme setine gönderen prog.

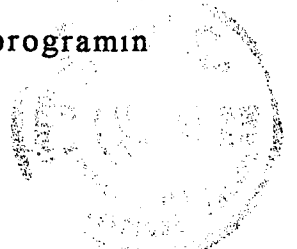
Programın başında *.OBJ olarak verilen program herhangi bir editör programında yazılan makina dili *.SRC olarak kaydedilen program derlendikten sonra oluşur. Derleme işlemi ASM96 programı tarafından yapılır. *.OBJ dosyasının içinde gönderilecek ayrı ayrı adreste yazılan programların başlangıç adresleri , program uzunlukları mevcuttur (Şekil 14.3).



Şekil 14.3. *. OBJ dosyasının içeriğinde ayrı ayrı bellek bölgelerine yazılacak olan programların format durumu

İlgili *.OBJ dosyası ilk adresten itibaren dosya sonuna kadar bayt bayt okunur. Okunan her bayt, bayt() dizisine atanır. Dizinin boyutu başta bilinmediği için boyut ayırma işlemi sonradan yapılır.

Programın uzunluğu dosyanın sonundan 11 bayt önceki bayttır. Önce uzunluğun üst baytı sonra ise uzunluğun alt baytı vardır, (Şekil 14.3). Bu iki bayt alınır ve bir araya getirilerek programın



uzunluęu bulunur. Sonraki iki bayt ise programın geliştirme setinde yazılacağı bellek başlangıç adresinin üst ve alt baytı vardır. Bu iki bayt bir araya getirilerek adres başlangıçı hesaplanır. Daha sonra program uzunluęu+5 bayt sonra tekrar aynı bellek bölgesine yazılacak programın başlangıç adresi iki bayt olarak görülür. Bu iki bayt tekrar okunur ve tekrar aynı programın başlangıç adresi hesaplanır. Bir saklı bayttan sonra aynı programın uzunluęunun 4 fazlası olan iki bayt vardır. Bu uzunluk okunur ve tekrar uzunluk hesaplanır.

Önceden ve sonradan okunan uzunluk ve adresler karşılaştırılır. Eğer eşitlik var ise bu aradaki veriler programın kodlarıdır ve bu kodlar gndr() dizisine alınır. Bu işlem sırasında önce uzunluęun üst baytı sonra alt baytı alınır. Aynı işlem adres başlangıçı için de yapılır. Son olarak adres başlangıçından 5 bayt sonra başlayan program kodları diziye atanır.

Her defasında bulunan bu program bölgeleri sayılır. Ayrıca her programın bölgesinin uzunluęu ve başlangıç adreside geliştirme setine gönderileceęi için program bölgesi uzunluęuna 4 ilave edilerek bu uzunluklar bir dizide saklanır.

Eğer bir program bölgesi için önceden ve sonradan okunan adresler ve uzunluklar eşit deęil ise alınacak program bölgeleri bitmiş demektir ve programları gönderme işlemine geçilir. Önce kaç tane program bölgesi gönderileceęi seri porttan geliştirme setine iletilir. Sonra program bölgesinin uzunluęu ve ardından başlangıç adresi ve bu program bölgesi için son olarak, sondan başlayarak program kodları gönderilir. Geliştirme setindeki seri port programı gönderilen uzunluęa ve adrese göre gönderilen verileri ilgili adreslere yazar.

Ayrıca gönderme işleminden önce bilgisayarın seri portunun istenen amaçlara göre ayarlanması gerekir. Bu şartlamayı sağlayan kaydedicilerin adresi ve bitlerinin fonksiyonları, gönderme işlemi



sırasında hat durumlarını gösteren durum kaydedicisi bitlerinin görevleri Ek 1 'de gösterilir.

14.4. Bilgi tabanı verilerinin fuzzy işlemciye gönderilmesi



Şekil 14.4. Veri tabanı bilgilerinin fuzzy işlemciye gönderen programın akış diyagramı



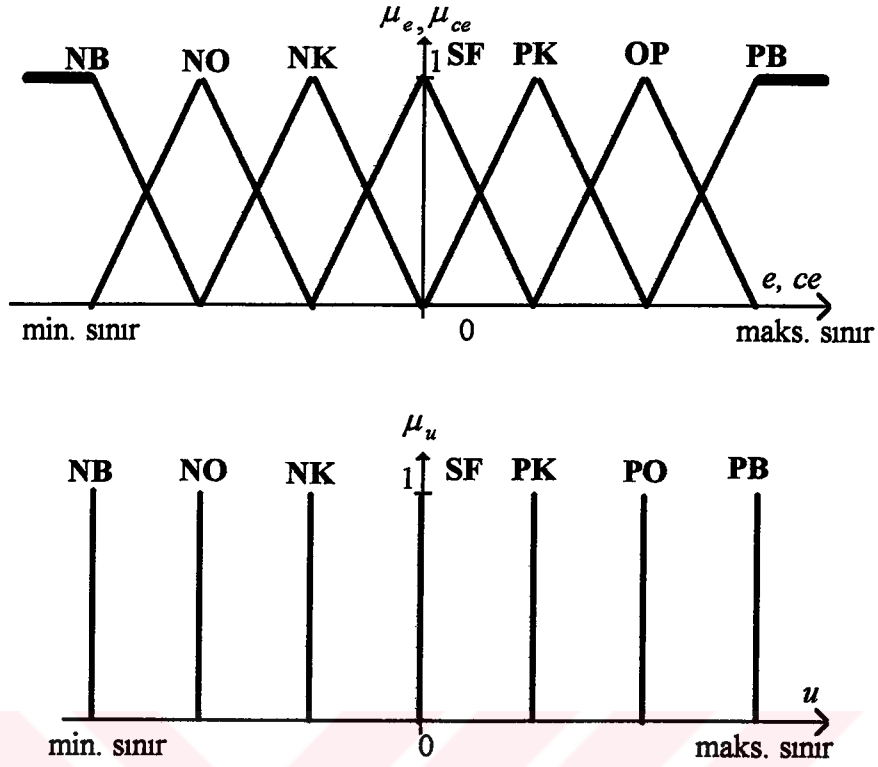
En başta haberleşme hızı 4800 Baud'a ayarlanır. Çünkü mikrodenetleyicinin seri port haberleşme hızında 4800 Baud'a ayarlanmıştır. Diğer seri portu kullanan programlarda bu ayarlama yapılmaktadır.

*.BIN dosyası fuzzy çıkarım kartı için kullanılan FS 30-AT yazılım programından elde edilir. Bu programda önce kurallar yazılır (tablo 14.1.). Daha sonra üyelik fonksiyonları ve netleştirme yöntemi seçilir (Şekil 14.5). Bu işlemlerden sonra kuralların ve üyelik fonksiyonlarının bir araya getirilmesi ile derleme işlemi yapılır. Böylece *.BIN dosyası oluşur. Bu dosyada belirli adreslerde veri tabanı için gerekli bilgiler bulunur.

*.BIN dosyasındaki FBH-3D6H adresleri arasındaki veri baytları okunur ve diziye kaydedilir. Bu veri baytlarının kendinden sonra gelen baytlar ile yerleri değiştirilir. 3D7H-14A4H adresleri arasındaki veriler yerleri değiştirilmeden diziye kaydedilir. Bu bilgiler daha önce üzerinde çalışma yapılan simülasyon programının analizinden sonra belirlenmiştir. Daha sonra oluşan yeni dizi seri port vasıtasıyla geliştirme setine buradan fuzzy işlemciye gönderilir.

Gönderme işlemi sırasında önce kaç değişik adres bölgesi kullanılacağıнын sayısı gönderilir. Bu durumda yalnız bir adres bölgesi mevcut olduğu için önce 01H sayısı gönderilir. Daha sonra gönderilecek bayt sayısı (uzunluk=2755H) ve başlangıç adresi (80A8H) gönderilir. Her bayt gönderilmeden önce gönderme kaydedicisinin boş olup olamaması kontrol edilir. Bu işlem bilgisayarın durum kaydedicisinin 7. biti yardımıyla sağlanır. Eğer bit lojik 0 ise gönderme kaydedicisi dolu aksi durumda gönderme kaydedicisinin boş olduğu anlaşılır. Ek 1 'de bu kaydedici ile ilgili bilgi verilir.



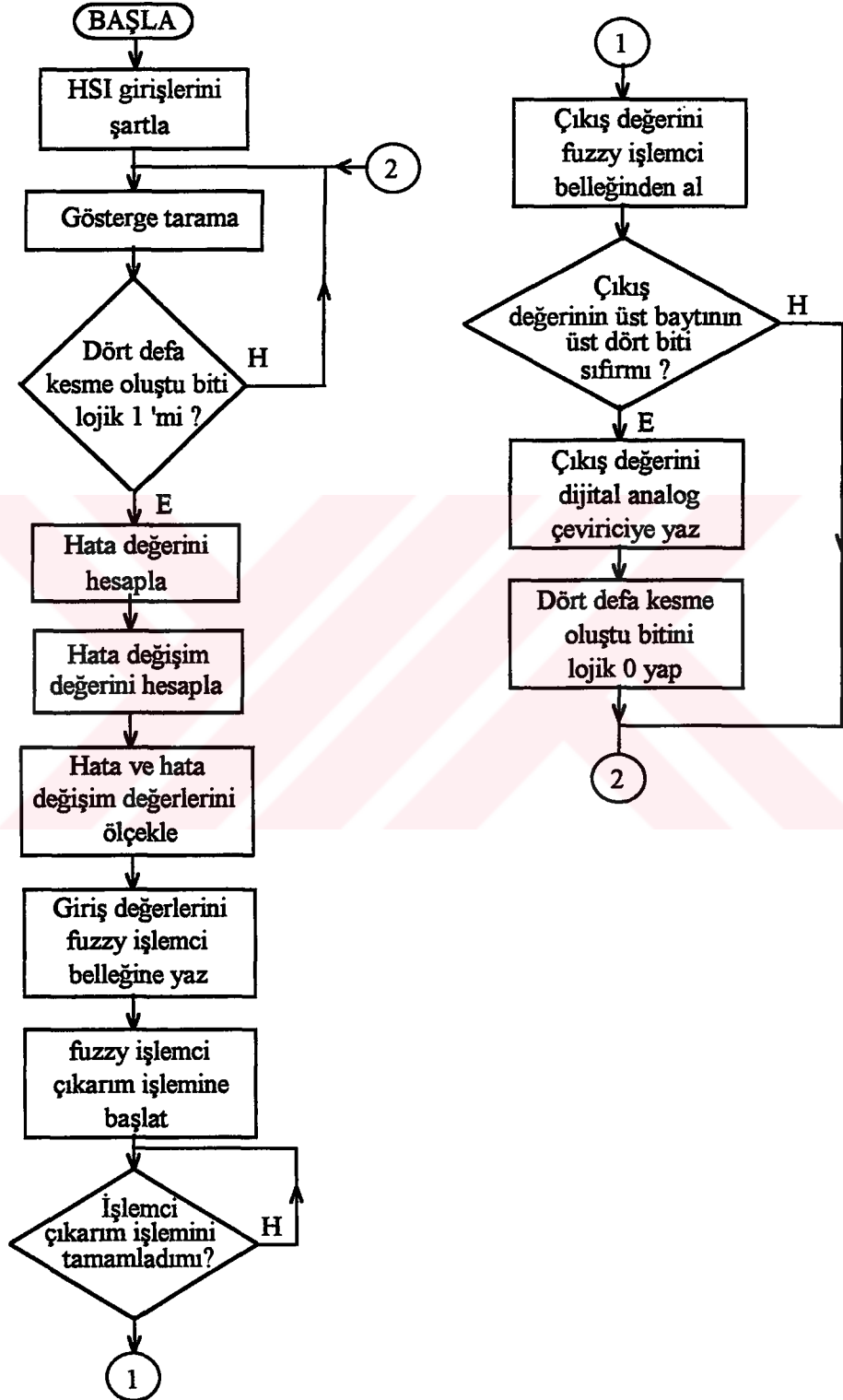


Şekil 14.5. Uygulamada kullanılan e , ce ve u için üyelik fonksiyonları.

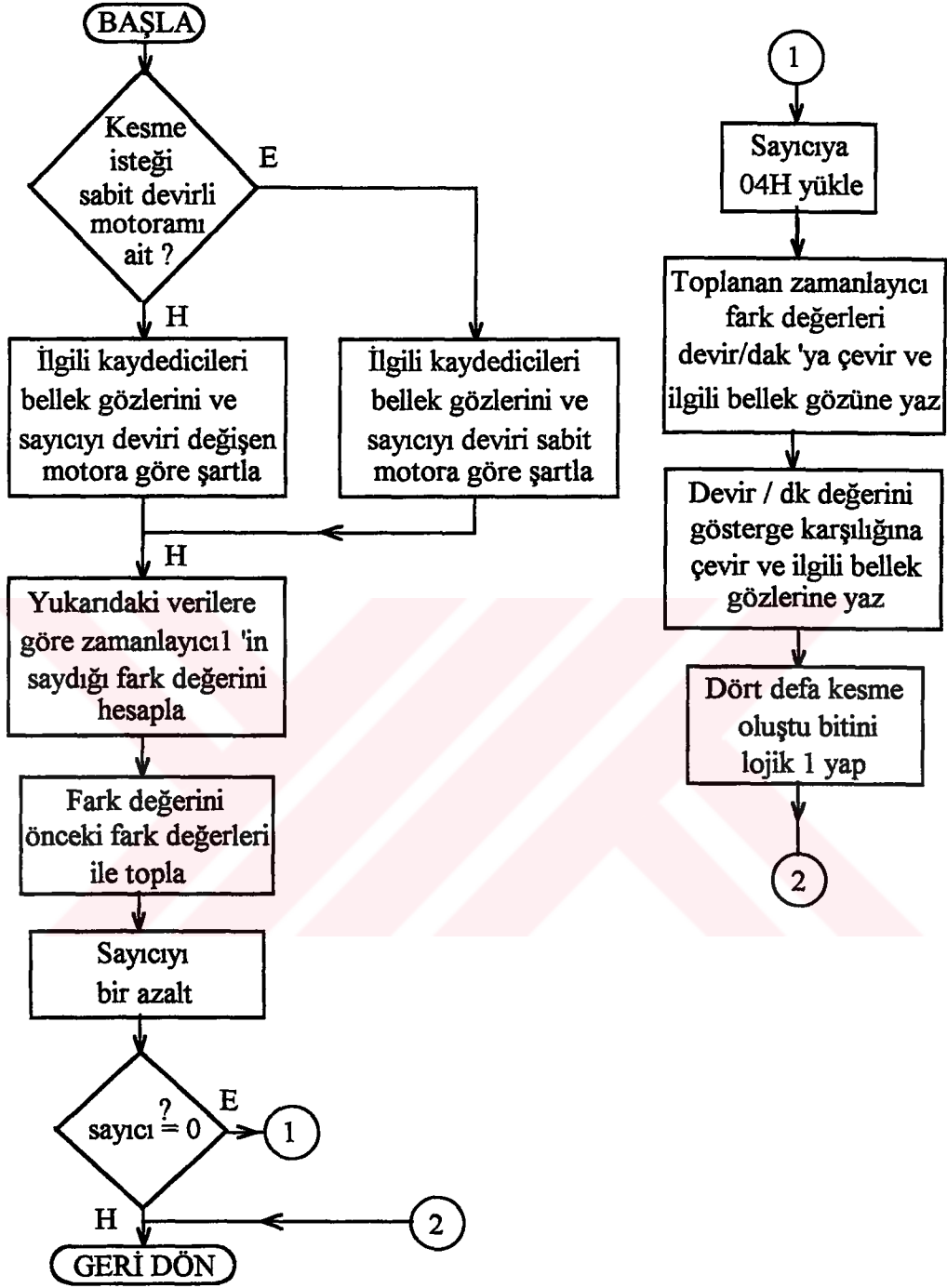
Tablo 14.1. Uygulamada kullanılan kuralların gösterilimi

| $\frac{ce}{e}$ | NB | NO | NK | SF | PK | PO | PB |
|----------------|----|----|----|----|----|----|----|
| PB | NB | PO | PB | PB | PB | PB | PB |
| PO | NB | * | PB | PB | PB | PB | PB |
| PK | NB | * | * | PK | PB | PB | PB |
| SF | NB | NB | NK | SF | PK | PB | PB |
| NK | NB | NB | NK | NK | * | * | PB |
| NO | NB | NB | NB | NB | NB | * | PB |
| NB | NB | NB | NB | NB | NB | NB | PB |

14.5. Mikrodenetleyiciyi ve fuzzy işlemciyi kullanarak fuzzy lojik kontrol uygulama programı



Şekil 14.6. Uygulama programının akış diyagramı



Şekil 14.7. Kesme isteği programının akış diyagramı

Programın en başında HSI girişlerinden HSI.2 ve HSI.3 bacaklarına izin verilir (Şekil 14.6). Bu girişlerin çıkan ve düşen

kenar tetiklemeleri zamanlayıcı1'deki değerlerin tutma kaydedicisine yüklenmesine neden olur.

Deviri değiştirilen motorun devir sayısının göstergede gösterilmesi gösterge tarama ile sağlanır. Ayrıca devir sayısı sabit olan motorun dönüş hızını göstergede görebilmek için tuş takımı kullanılabilir. Dört defa kesinti isteği oluşmaz ise sürekli olarak gösterge taranır. Şayet dört defa kesme isteği oluşursa programın akışı değişir. Herhangi bir motor bir devir döndüğünde dört defa kesme isteği oluşur. Çünkü bir devirde dört kenar tetiklemesi vardır. Her iki motorun bir devirde programın akışını değiştirebilmeleri için her motor için ayrı bir sayıcı kullanılır. Bu sayıcılar kesme isteğini sayarlar ve herhangi biri sıfır olursa dört defa kesme isteği oluştu biti lojik 1 olur ve tekrar ilgili sayıcıya 04H yüklenir. Sonuçta bu bit kontrol edilir. Eğer bit lojik 1 ise programın akışı değişir. Programın akışı değiştiği zaman fuzzy işlemci ile ilgili işlemlere geçilir.

Önce iki motor arasındaki farkı veren hata hesaplama işlemi yapılır. Yani hızı sabit motorun devir sayısından hızı değiştirilen motorun devir sayısı değiştirilir. Yani $e_n = w_{sbt} - w_{deg}$ formülü ile ifade edilir. İkinci giriş değişkeni olan hatanın değişim değeri ise o andaki hatadan bir önceki hatanın değeri çıkarılarak hesaplanır. Yani $ce_n = e_n - e_{n-1}$ ifadesi ile hesaplanır. Bu işlem yapıldıktan sonra önceki hata değerine o andaki hata değeri ($e_{n-1} = e_n$) atanır.

Yukarıdaki gibi hesaplanan hata ve hatanın değişimi değerleri fuzzy işlemcinin belleğine yazılmadan önce ölçeklenmesi gerekir. Çünkü işlemçi 0 ile 4097 arasındaki sayılar ile işlem yapar. Fakat hata ve hatanın değişim değerleri motor devirlerine göre minimum ve maksimum sınır değerlerine sahiptir (Şekil 14.5). Bu yüzden minimum sınır değeri fuzzy işlemcide 0 'a ve maksimum sınır değeri ise 4094 'e karşılık gelir . Hata ve hatanın değişiminin sıfır değeri işlemcide 2047

sayısına denk düşer. Bu ölçekleme her iki giriş değeri için aşağıdaki gibi yapılır.

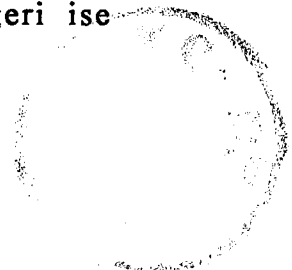
$$|maks.sınır| = |min.sınır| \quad (14.1)$$

$$Ölçekleme = 2047 + giriş\ değeri \frac{2047}{maks.sınır}$$

Elde edilen ölçeklenmiş giriş değerleri fuzzy işlemcinin belleğine yazılır. Daha önce anlatıldığı gibi giriş bilgilerinin yazıldığı ilk adres 8004H adresidir. Önce ilk giriş değeri olan hata değerinin üst baytı, sonraki çift adrese alt baytı yazılır. Bu adreslerden hemen sonraki ilk çift adrese hata değişim değerinin üst baytı ve sonraki çift adrese alt baytı yazılır. Her iki durumda üst baytların üst dört biti sıfır olması gerekir. Giriş bilgileri yazıldıktan sonra fuzzy işlemçi çıkarım işlemine başlatılır. Bu işlem 8000H adresindeki bellek gözünün 4.biti lojik 1 yapılarak sağlanır. İşlemciyi çıkarım işlemine başlattıktan sonra çıkarım sonucunu bulduğu yine aynı adresteki aynı bit ile anlaşılır. Eğer bu bit halen lojik 1 ise çıkarım işlemi tamamlanmamış demektir. Yani fuzzy işlemci meşgul durumda demektir. İlgili bit lojik 0 ise çıkarım işlemi tamamlanmış demektir.

Sıra sonuçta oluşan çıkış değerini okumaya gelmiştir. Çıkış değeri bellekten 8024H adresinden alınır. 16 bit olarak bellekte bulunan değerın üst baytı ilk adreste ve alt baytı bir sonraki çift adreste bulunur. Alınan çıkış değerinin üst baytının, üst dört biti sıfırdan farklı ise çıkarım işlemi sonucunda alınan değer geçerli değildir. Yani verilen giriş değerlerine karşılık çıkarım sonucunda elde edilecek bir değer mevcut değildir. Bu yüzden digital analog çeviriciye herhangi bir bilgi yazılmaz ve tekrar başa dönülür.

Elde edilen çıkış değeri 0 ile 4094 arasındadır. 0 değeri 1.25 volt değerine (DAC çıkışında LM 317 olduğu için) ve 4094 değeri ise



10.65 volta karşılık gelir. Fakat elde edilen dijital değerlerin evriği alındıktan sonra dijital analog çeviriciye verilmesi gerekir. Çünkü çevirici kendi içinde bir evrik alma işlemi daha yapar. Fuzzy işlemciden elde edilen çıkış değerinin ölçeklenmesine gerek yoktur. Çünkü dijital analog çeviricinin ile fuzzy işlemcinin işlem kapasiteleri aynı ve 12 bittir.

Son olarak dört kesme isteği sonunda bir devir için işlem yapıldığı için dört defa kesinti biti tekrar aynı işlemlerin yapılmaması için lojik 0 yapılır ve tekrar gösterge tarama işlemine dönülür.

14.6.Kesme isteği alt programı:

Bu program 7000H adresinden itibaren başlar. HSI girişlerinde oluşan çıkan ve düşen kenar tetiklemelerinde programın akışı kesme isteği alt programına yönelir. (Şekil 14.7).

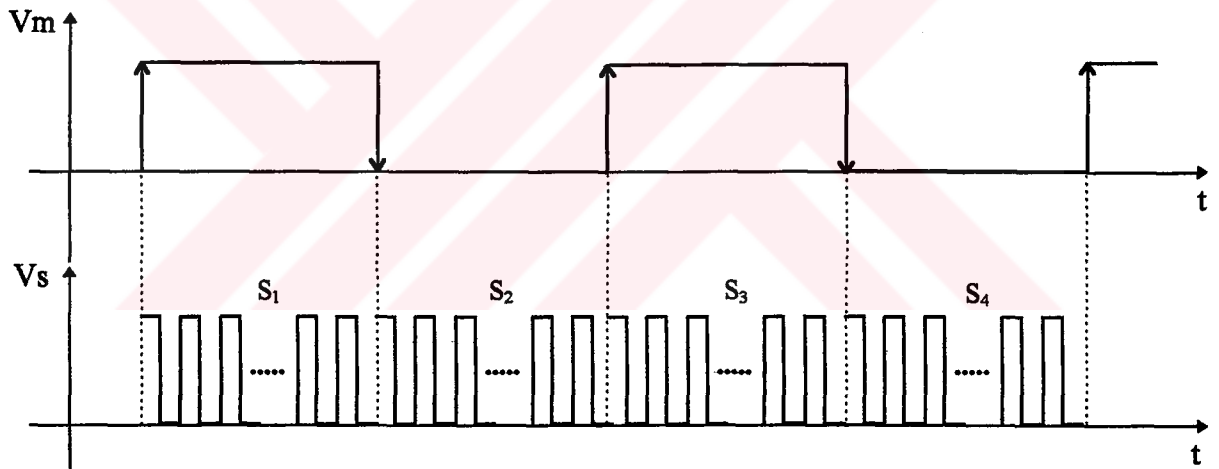
Bu programın başında oluşan kesme isteğinin hangi motora ait olduğu tespit edilir. Bu şekilde aynı kesme programı ile ayrı iki motorun devir sayısı ölçülür. HSI durum kaydedicisinin 4. biti (HSI.2) ve 6. biti (HSI.3) kesme isteğinin hangi motordan geldiğini gösterir. Bu karşılaştırma işleminden sonra sabit hızlı motor veya değişken hızlı motor için verilerin alınacağı veya yazılacağı ilgili bellek gözleri kaydedicilere yüklenerek ayarlanır.

Devir ölçümü için zamanlayıcı1 'deki değer alınır ve saklanır. Kesme isteği gelene kadar zamanlayıcı içeriden aldığı saat darbeleri ile ileri sayar. Her saat darbesi periyodu $1\mu s$ 'dir. HSI girişlerinden kesme isteği gelirse zamanlayıcı1'de o andaki değer ile başta saklanan değer arasındaki fark hesaplanır. Hesaplanan bu değer motorun bir devrinin yarısında lojik 1 'de veya lojik 0 'da kalma zamanı içinde sayılan değeri oluşturur. Magnetik algılayıcı önünden geçen pervane iki taraflı olduğu için bir devirde oluşan darbelerde iki tane lojik 1 zamanı ve iki tanede lojik 0 zamanı vardır. Bu durumda bir devirde iki çıkan ve iki düşen

kenar vardır. Böylece lojik 1 'de sayılan değerler ile lojik 0 'da sayılan değerler toplanır ve bir devirde sayılan değer bulunmuş olur. Böylece kenar tetiklemelerini sayan sayıcıda sıfıra gelmiş olur. Programın bu bölümünde tekrar kenar tetiklemelerini saymak için sayıcıya 04H sayısı yüklenir. Sonra bir devirde sayılan değer devir/dk 'ya çevrilir ve aşağıdaki gibi hesaplanır (Şekil 14.8.).

$$\text{Devir} / dk = \frac{60.10^6}{\text{Bir devirde sayılan değer}} \quad (\text{Sayıcı darde Periyodu}=1\mu s) \quad (14.2)$$

Hesaplanan bu değer göstergede gösterilecek şekle çevrilerek gösterge için ayrılan bellek bölgesine yazılır. Son olarak ana programda dört defa kesme isteğinin oluştuğunu anlayabilmek için dört defa kesme oluştu biti lojik 1 yapılır.



Şekil 14.8. Devir ölçmede kullanılan yöntem

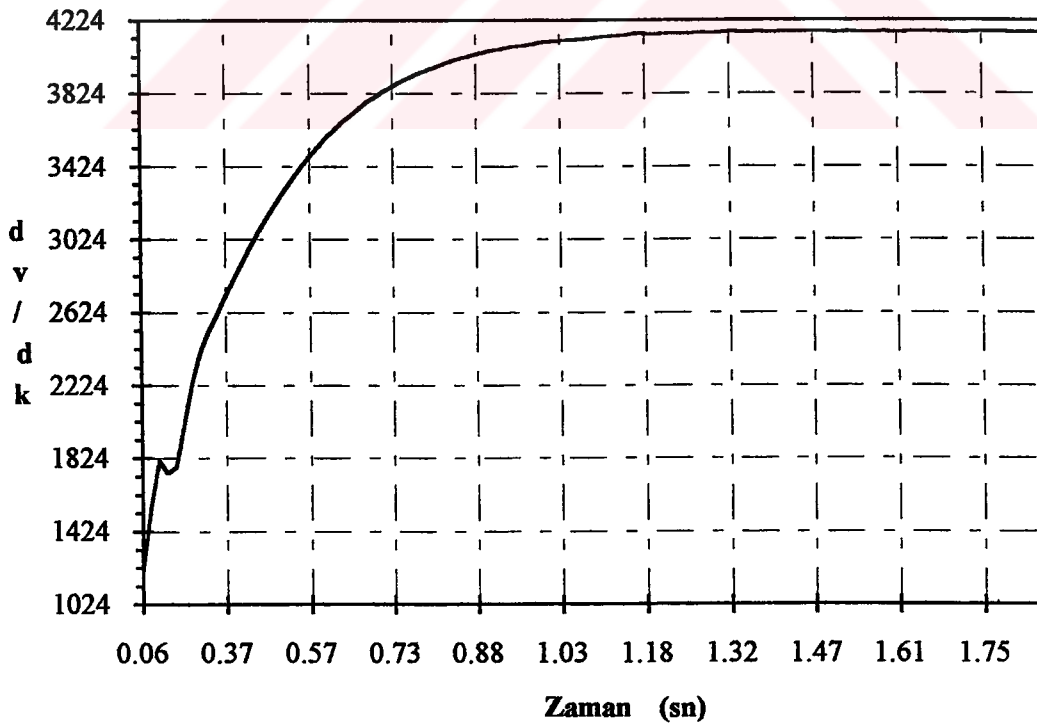
$$S_T = S_1 + S_2 + S_3 + S_4$$

$$\text{Devir} / dk = \frac{60.10^6}{S_T} \quad (14.3)$$

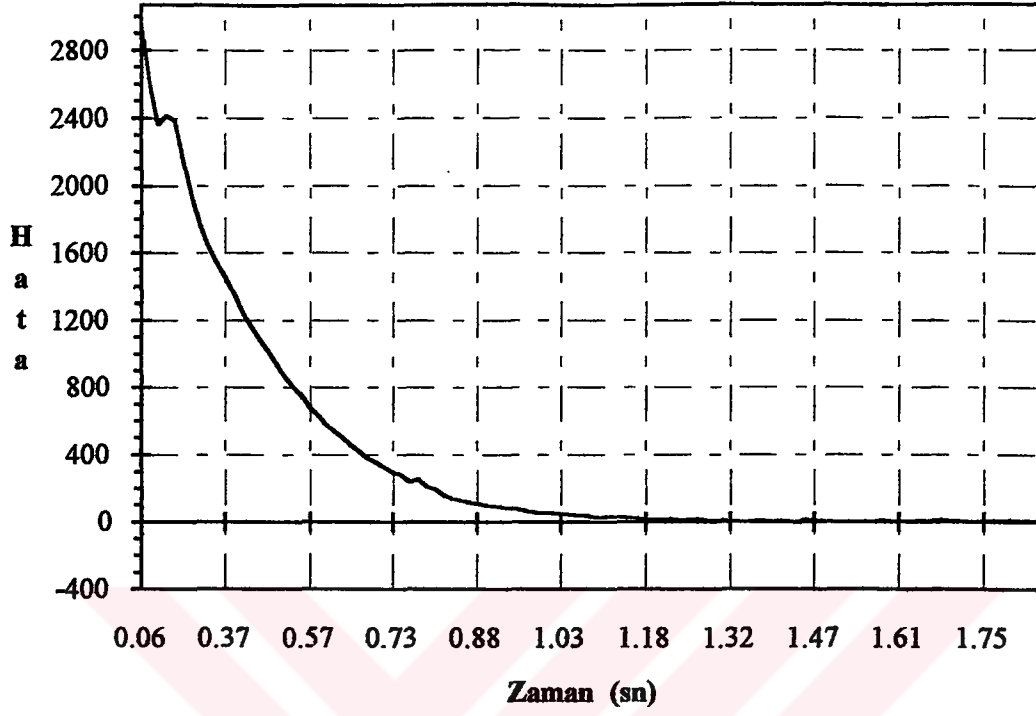
15.ELDE EDİLEN EĞRİLERİN ANALİTİK YORUMU:

Bu bölümde incelenecek olan eğrilerin tamamı motorun hızı kontrol edilirken gerçel zamanda çizilerek elde edilmiştir.

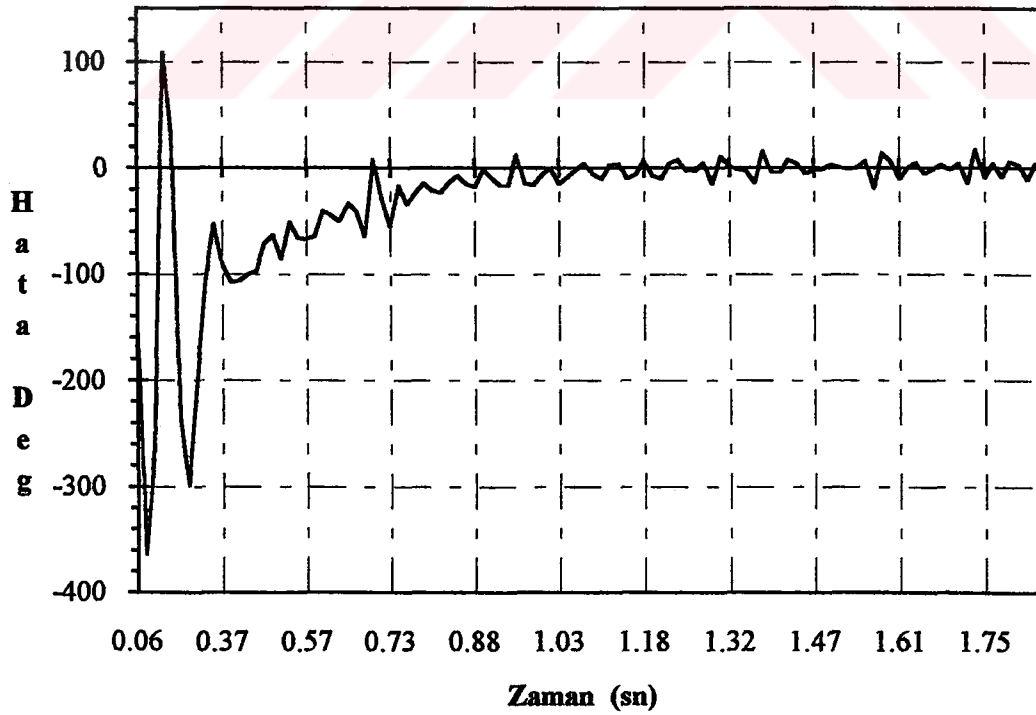
Şekil 15.1, 15.2, 15.3, 15.4, 15.6, 15.7 ve 15.8'deki eğriler devri kontrol edilen motorun devir, hata ve hatanın değişimi parametrelerinin zamana karşı değişen grafiklerini göstermektedir. Devri kontrol edilen motorun jeneratör olarak kullanılan devri kontrol edilen motora bir şaft ile bağlanmadığı ve devir ölçmek için magnetik algılayıcılar önünden geçen metal kanat boyu küçük olan pervane ile yapılan ölçümleri içerir. Eğride ve motorlarda en az devir 1024 dv/dk ve en fazla devir 4124 dv/dk olmaktadır. En az devirin 1024 dv/dk olmasının nedeni ölçüm için kullanılan zamanlayıcı modülünün 16 bitlik yani 0 'dan 65535'e kadar sayması durumundan kaynaklanır. En yüksek devrin 4124 dv/dk olmasının nedeni ise devri ayarlanan motora verilen gerilimin en fazla 9V-10V olmasından kaynaklanır. Motor için mikrodenetleyici kontrollü sürme gerilimi üreten DAC en



Şekil 15.1



Şekil 15.2



Şekil 15.3

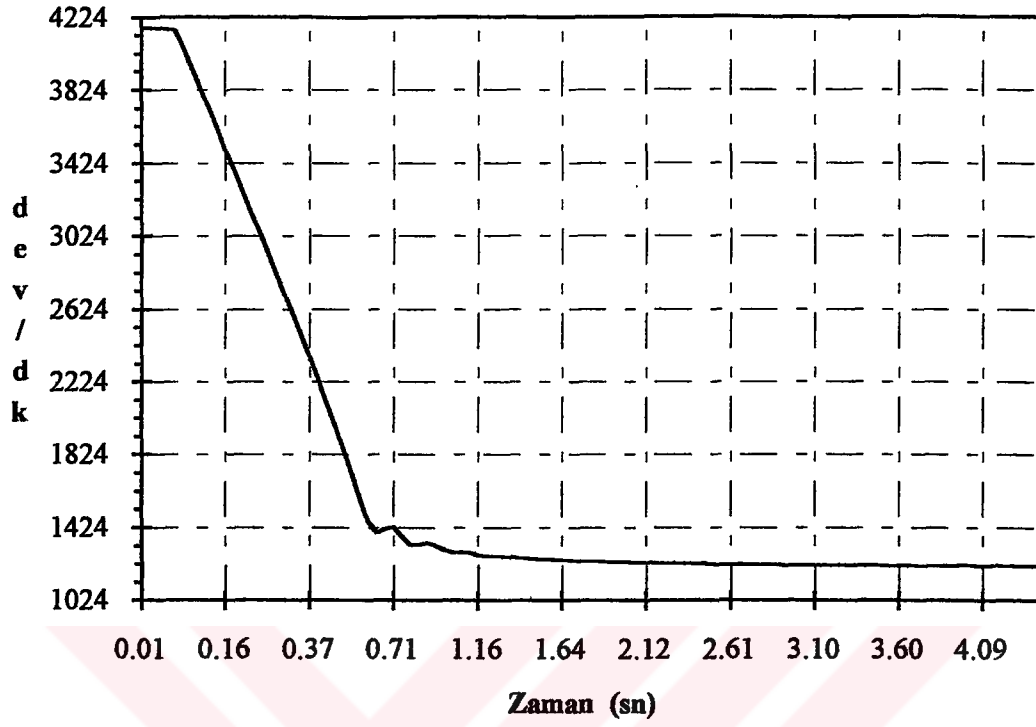
fazla 10.25V çıkış vermesi en fazla devri belirleyen etkenlerden birisidir. Yazılan makine dili program kullanılan mikrodenetleyicinin ve fuzzy işlemcinin hızlı olmasından dolayı diğer hesaplama işlemlerini yaparken daha yüksek hızlı devirleride ölçme yeteneğine sahiptir.

Şekil 15.1'de zamana karşılık olarak çizdirilen devir eğrisi görülmektedir. Hızı sabit olan motor 4124 dv/dk hızlı dönmektedir ve hızı kontrol edilebilen motor ise 1024 dv/dk hızla dönmektedir. Program çalıştırıldığı anda kontrol edilen motorun devri 1.32 sn'de diğer motorun hızına ulaşmakta ve bu hızda sabit kalmaktadır. Bu geçiş süresi daha sonraki eğrilerde görüleceği üzere hata, hatanın değişimi ve fuzzy çıkış ölçeklemesi değiştirilerek en az süreye indirmek mümkündür. Bu durumlar ilerideki eğrilerde çeşitli ölçekleme değerleri için yorumlanmıştır. Kullanılan sistemin fiziksel özelliklerinden ve kontrol algoritmasından dolayı kalıcı değere yaklaşım üstel olarak gerçekleşir. Eğri üzerinden görüleceği üzere 1824 dv/dk hız değerinde eğrinin bir çentik oluşturduğu görülmektedir. Bunun nedeni ise kurallarla ilgilidir. Çünkü bu kurallara göre ilk anda ilk devir ile ulaşılacak devir arasında çok büyük fark vardır. Bu sebeple motor çok hızlı bir şekilde eğim yüksek olarak hızını arttırmaya başlar. Fakat ulaşılması istenen devirde salınım olmaması için devir aniden biraz düşürülerek eğimin azalması sağlanır.

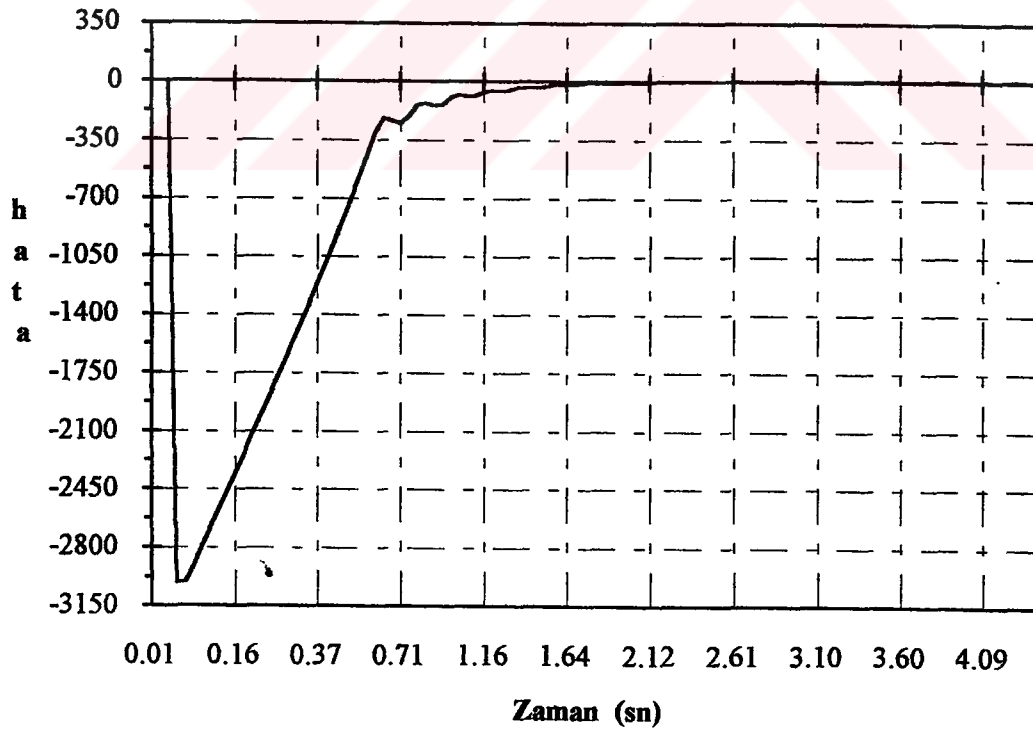
Şekil 15.2 hata zaman grafiğini göstermekte olup hata değeri 3100 dv/dk'dan başlayıp devir-zaman grafiğinde olduğu gibi 1.32 sn'de sifıra düşmektedir. Bu eğride 2400 dv/dk değerinde yine bir çentik görülmektedir. Bu olay şekil 15.1 eğrisindeki aynı olaydan kaynaklanır.

Şekil 15.3'de hata değişimi veya hata hızı ile zaman grafiği görülmektedir. İlk anda hata değişimi olmadığı için sıfırdan başlamaktadır. 0.29 sn içerisinde eğri dört salınım yapmakta daha





Şekil 15.4



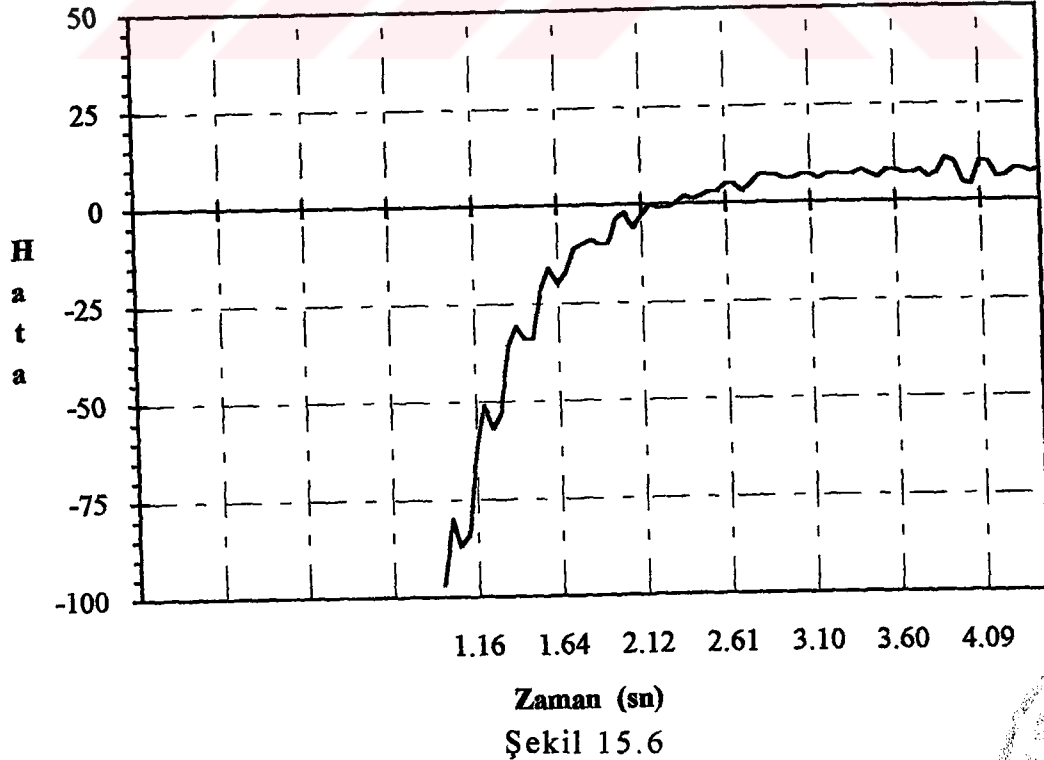
Şekil 15.5



sonra 0.35 sn'de salınımlar oldukça yavaşlamakta ve hata hızının değişimleri en aza inmiş bulunmaktadır. Eğriden görüleceği üzere daha önce anlatılan eğrilerde olduğu gibi 1.32 sn'de negatif değerlerden sıfıra çıkmakta ve sıfır yatay ekseninde çok küçük salınımlar yapmaktadır. Bunun nedeni ise hızın artmasından dolayı motorun titreşmesinden kaynaklanır. 0.35 sn'ye gelene kadar hata hızında meydana gelen salınımlar hızı kontrol edilen motorun 1824 dv/dk'daki devrinde oluşan çetikten meydana gelmektedir.

Şekil 15.4'deki eğri devir-zaman grafiğini gösterir. Burada hızı sabit olan motorun devri 1200 dv/dk'ya set edilmiş hızı kontrol edilen motorun devri ise 4100 dv/dk'dan başlayıp 1200 dv/dk'ya doğru lineer olarak azalmakta ve 0.60 sn'de hafif bir salınım ile motorun devri 1200 dv/dk hızına kilitlenmektedir.

Şekil 15.5 'de hata-zaman grafiğinde hata -3000 dv/dk'dan başlayıp 0.60 sn'de -200 dv/dk'ya çıkmakta ve şekil 15.4'deki eğride olduğu gibi küçük salınımlar ile hata değeri sıfıra gelmektedir. Şekil 15.6 bu salınımların büyük ölçekli olarak çizilmiş olan grafiğini göstermektedir.



Şekil 15.6



Şekil 15.7’de hata değişimi-zaman grafiği görülmekte olup hata değişimi 0.04 sn içerisinde 0’dan 3100 dv/dk’ya ulaşmakta ve tekrar sıfıra gelerek burada hatanın değişimi hemen hemen sabitleşmekte ve 0.60 sn’de hata grafiğinde olan salınımlardan dolayı hatanın değişimide salınımlara başlamakta ve 1.52 sn’lik bir yerleşme zamanına sahip olmaktadır.

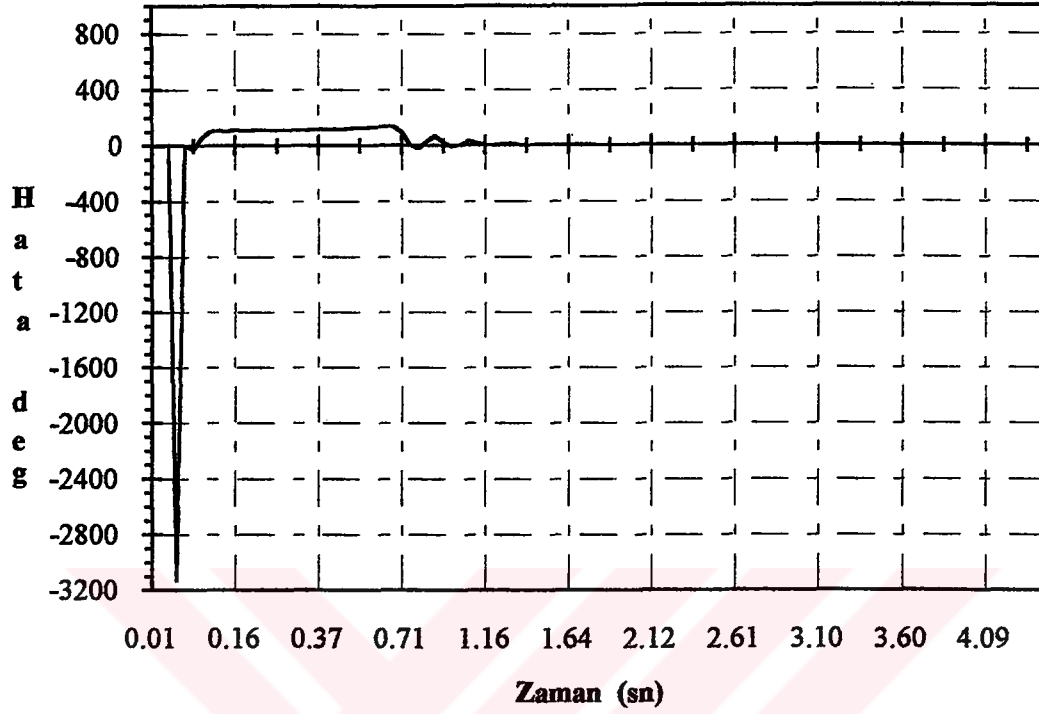
Şekil 15.9’dan şekil 15.38’e kadar olan eğriler devri kontrol edilen motora jeneratörün bağlanması (yük bağlı değil) sonucunda oluşan grafikleri gösterir. Bu durumda hızı kontrol edilen motorun devrini ölçmek için manyetik algılayıcının önünden geçen pervanenin kanat uzunluğu arttırılmıştır. Daha önce anlatılan eğrilerde ve şekil 15.9’dan şekil 15.26 arasındaki eğrilerde hata 20FFH, hatanın değişimi 3FEH ve fuzzy çıkış 600H değerleri ile ölçeklenmişlerdir.

Şekil 15.9 devir-zaman grafiğini göstermekte olup burada devir 1024 dv/dk değerinden başlamakta 2.01 sn’de 2565 dv/dk’ya çıkmakta ve bu devire kilitlenmektedir. Bu durum hızı kontrol edilen motor kalıcı duruma erişme süresinin 0.69 sn uzadığını gösterir.

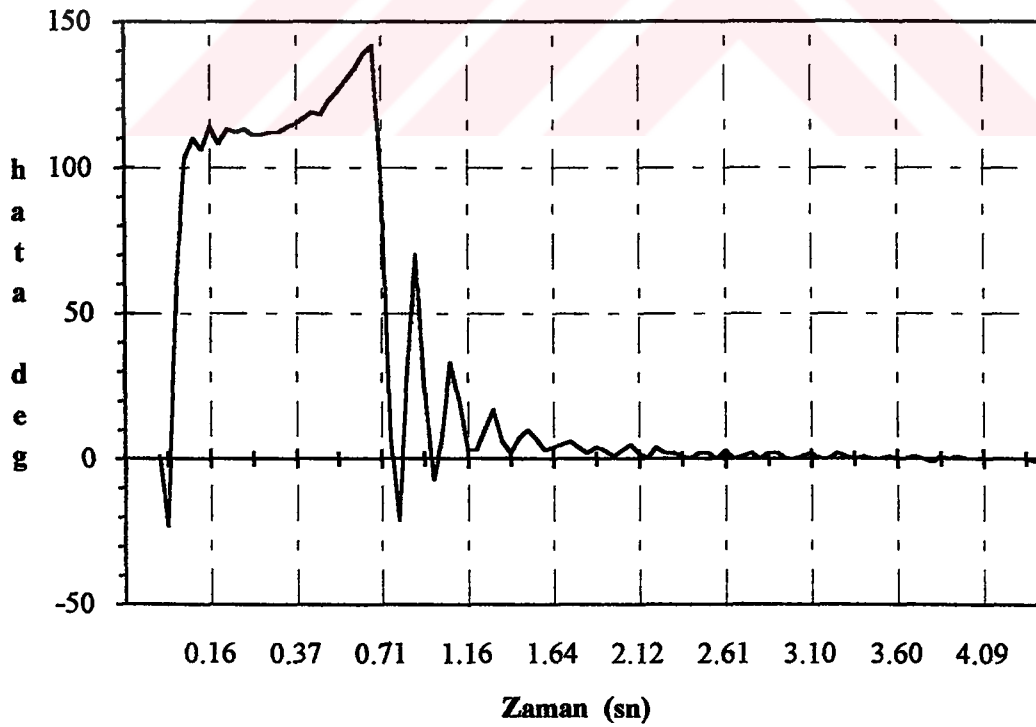
Şekil 15.11’de görülen hata değişimi eğrisinde şekil 15.9 ve şekil 15.10 eğrilerinde olduğu gibi hata hızının 2.01 sn’de sıfıra ulaştığı görülür. Eğride görülen salınımlar pervane kanadının bir önceki eğrilere göre artmasından dolayı motor yüksek devirlere çıkınca titreşimin artmasından kaynaklanır.

Şekil 15.12, 15.13 ve 15.14 hızı kontrol edilen motorun 1024 dv/dk’dan başlayıp 3650 dv/dk hızla dönen hızı sabit olan motorun devrine ulaşmasındaki devir, hata ve hatanın değişim eğrilerini gösterir. Dikkat edilecek olursa daha yüksek devirlere çıkıldığı zaman karalı duruma erişim süresi şekil 15.9’a göre azalmış ve şekil 1’deki gibi 1.32 sn olmuştur.

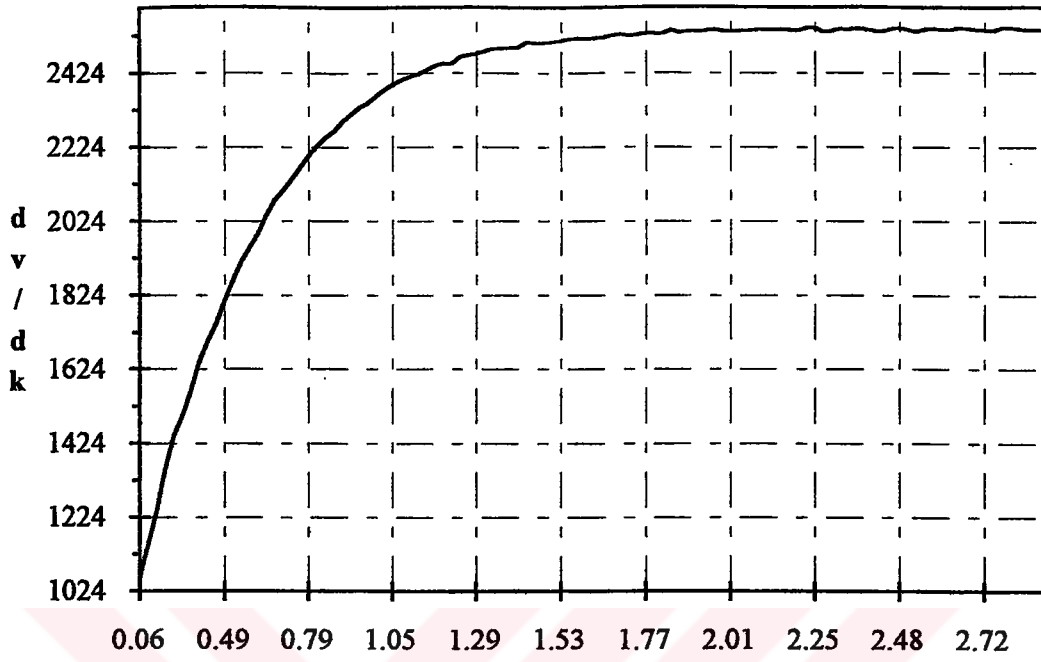




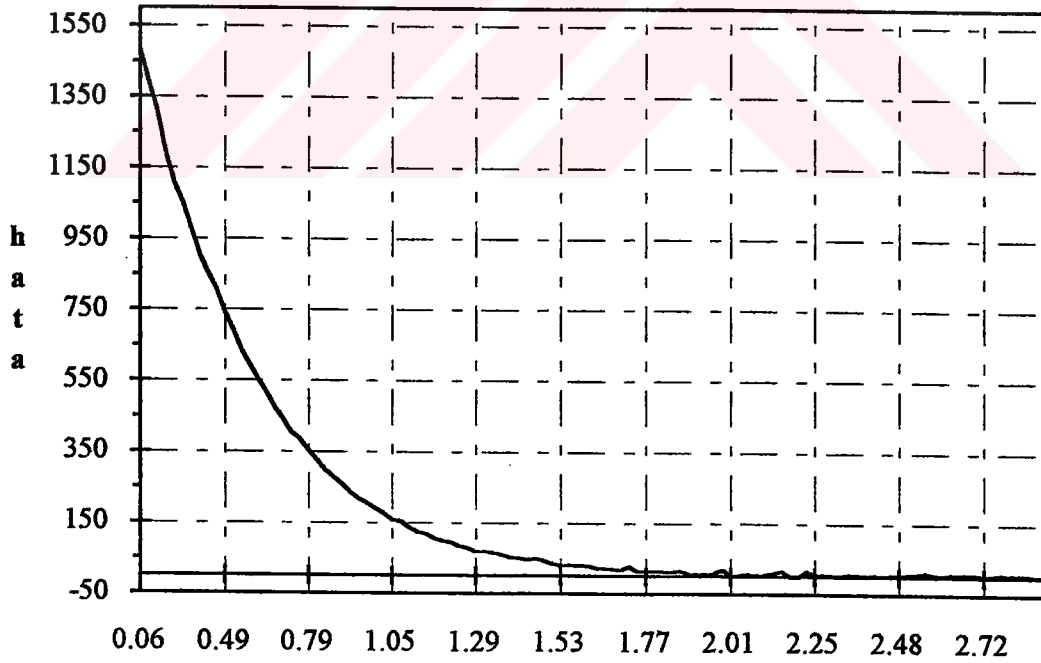
Şekil 15.7



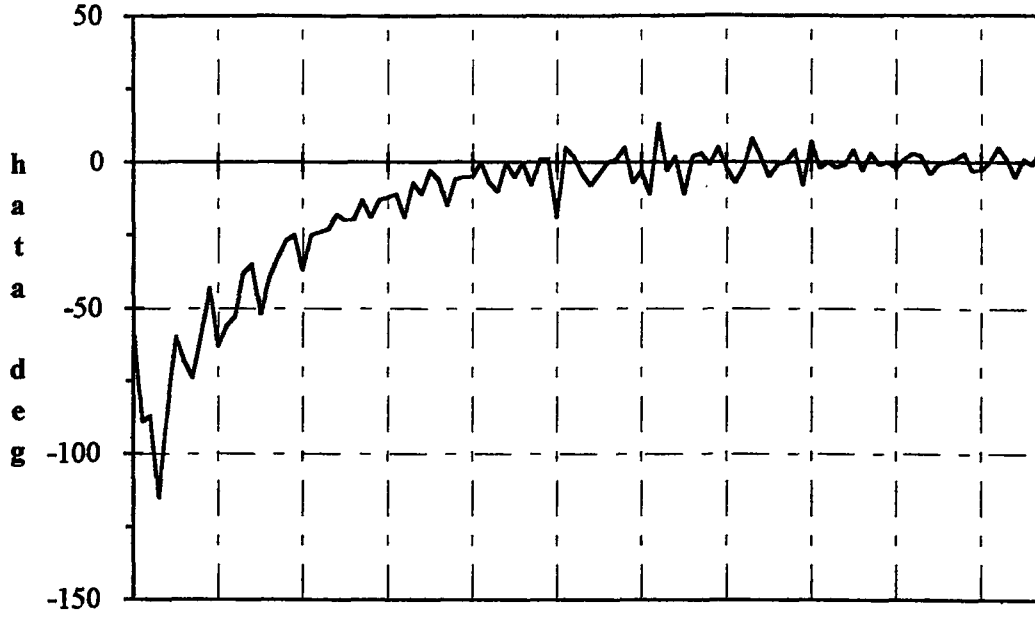
Şekil 15.8



Zaman (sn)
Şekil 15.9

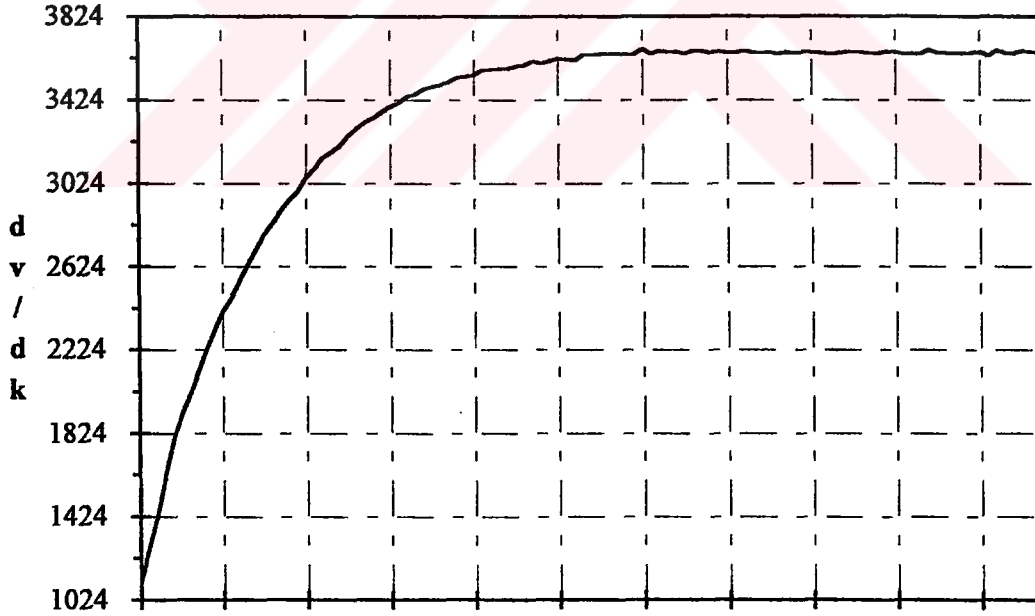


Zaman (sn)
Şekil 15.10



0.06 0.49 0.79 1.05 1.29 1.53 1.77 2.01 2.25 2.48 2.72
Devir 1024 - 2565

Zaman (sn)
Şekil 15.11

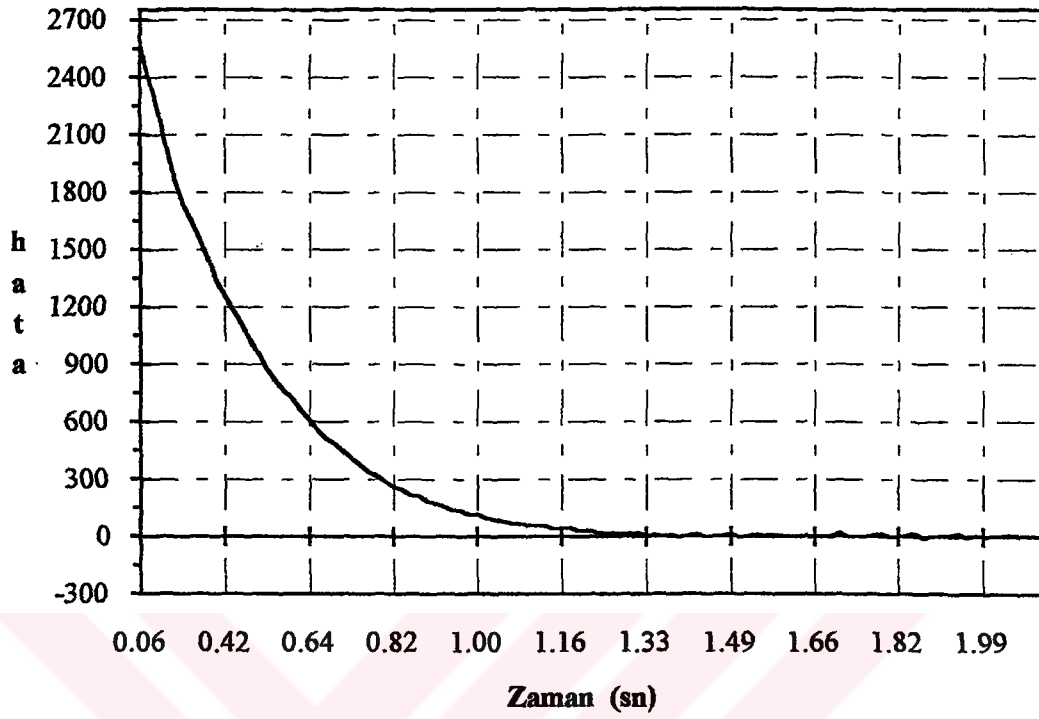


0.06 0.42 0.64 0.82 1.00 1.16 1.33 1.49 1.66 1.82 1.99

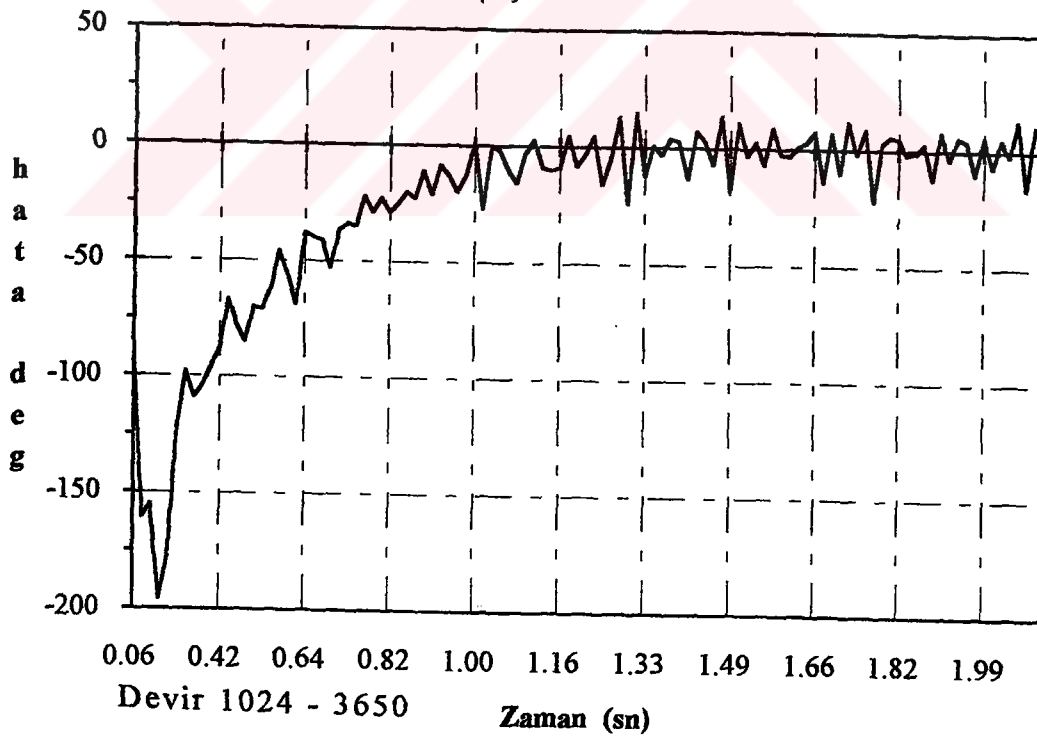
Zaman (sn)

Şekil 15.12



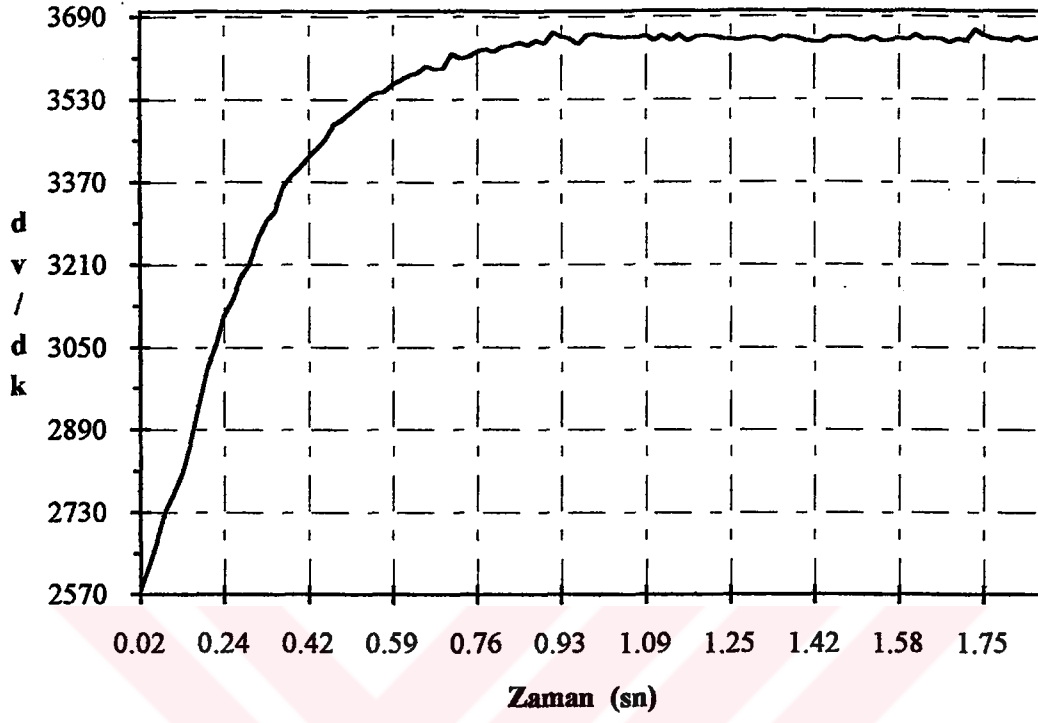


Şekil 15.13

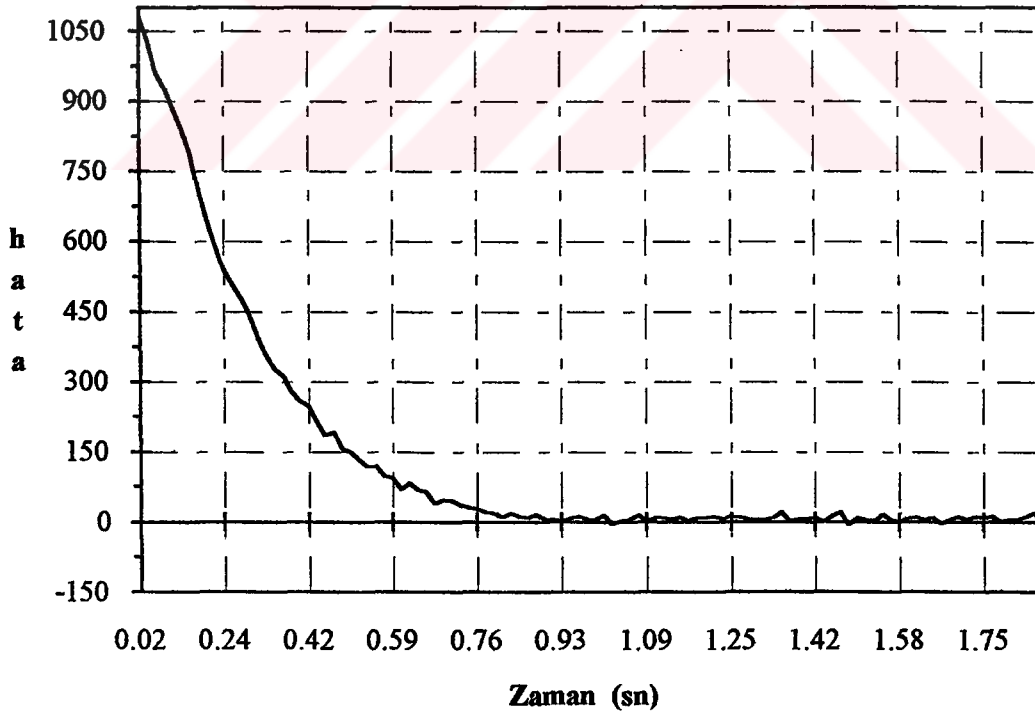


Şekil 15.14





Şekil 15.15



Şekil 15.16

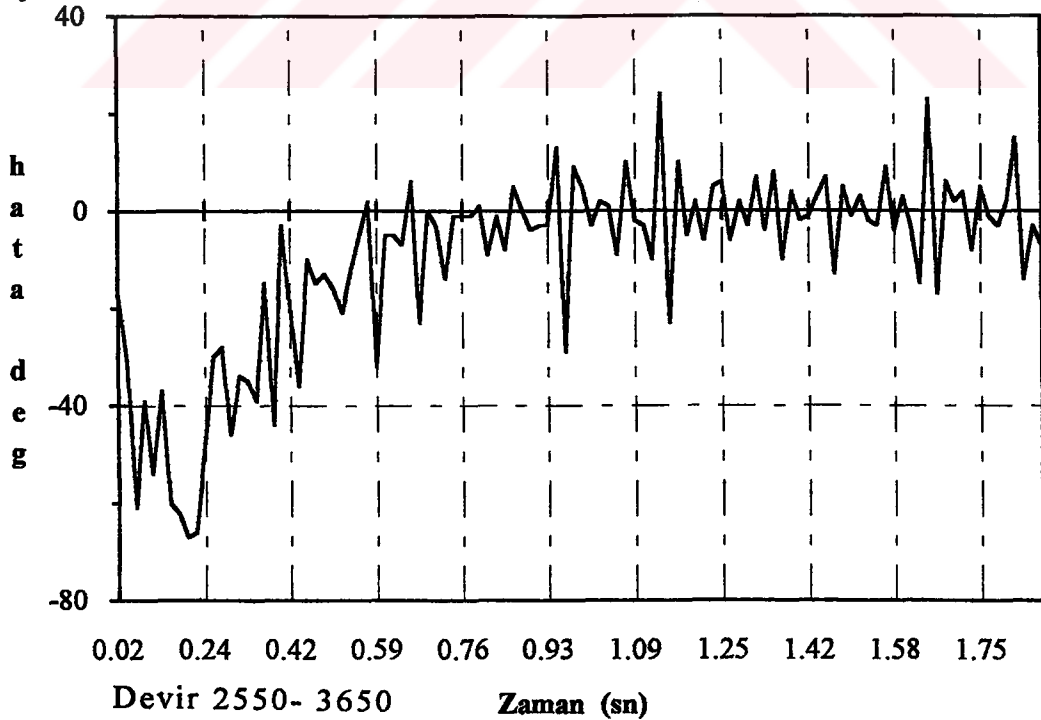


Şekil 15.15, 15.16 ve 15.17 devir kontrolü yapılan motorun hızı 2550 dv/dk'dan 3650 dv/dk'ya çıkarıldığındaki devir, hata ve hatanın değişimi eğrilerini göstermektedir. Devir daha fazla arttığı için motorun oluşturduğu titreşimler şekil 15.17'de hatanın değişimi eğrisinde olduğu gibi biraz daha artmıştır.

Şekil 15.18'den şekil 15.26'ya kadar olan eğriler motorun devrinin belirli bir değerden, hızı daha az sabit hızlı motorun devrine düşürülmesi durumundaki eğrileri gösterir.

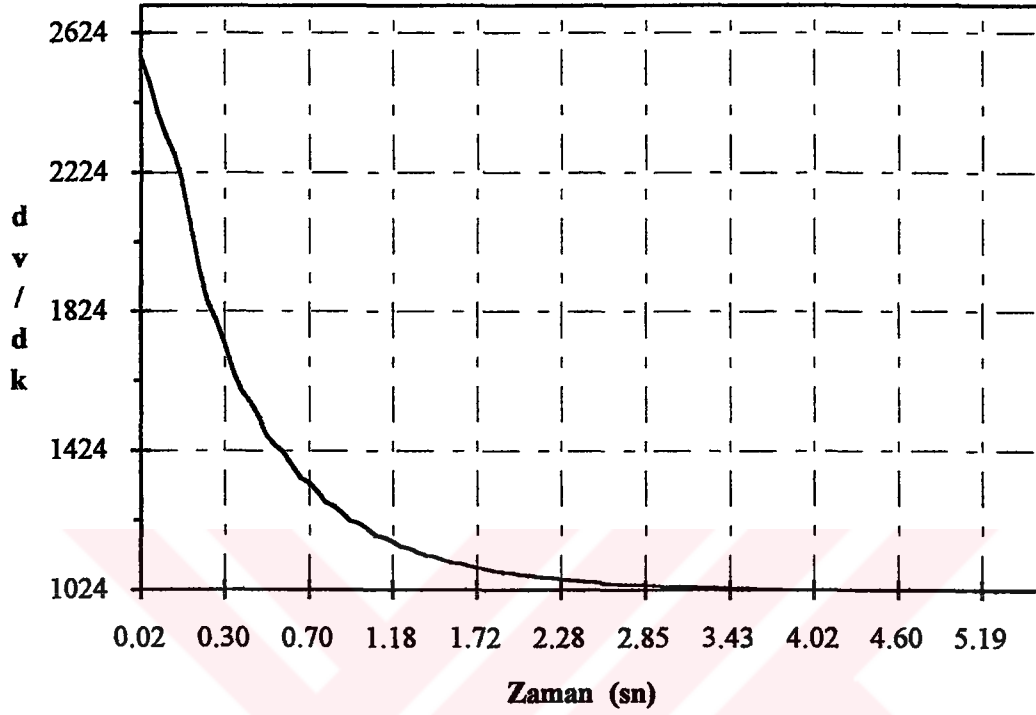
Şekil 15.18'de devir-zaman grafiği 2565dv/dk'dan 1024 dv/dk'ya ulaştığını ve bu devirde kilitlenen bu motorun sürekli duruma erişme süresi 3.2 sn olmuştur.

Şekil 15.20'de hata değişim-zaman eğrisinde hızı kontrol edilen motorun devri 1024 dv/dk'ya kilitlendiğinde salınım genliklerinin son derece küçük olması dikkat çekici olup bunun nedeni ise motor hızının düşmesinden ve dolayısıyla meydana gelen titreşimin azalmasından kaynaklanır.

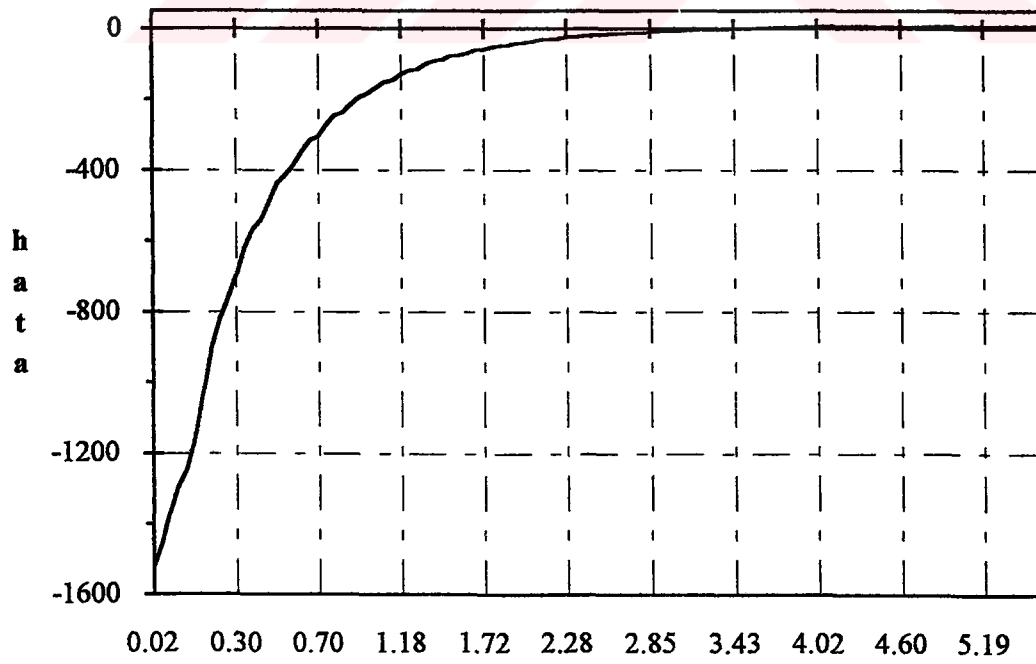


Şekil 15.17



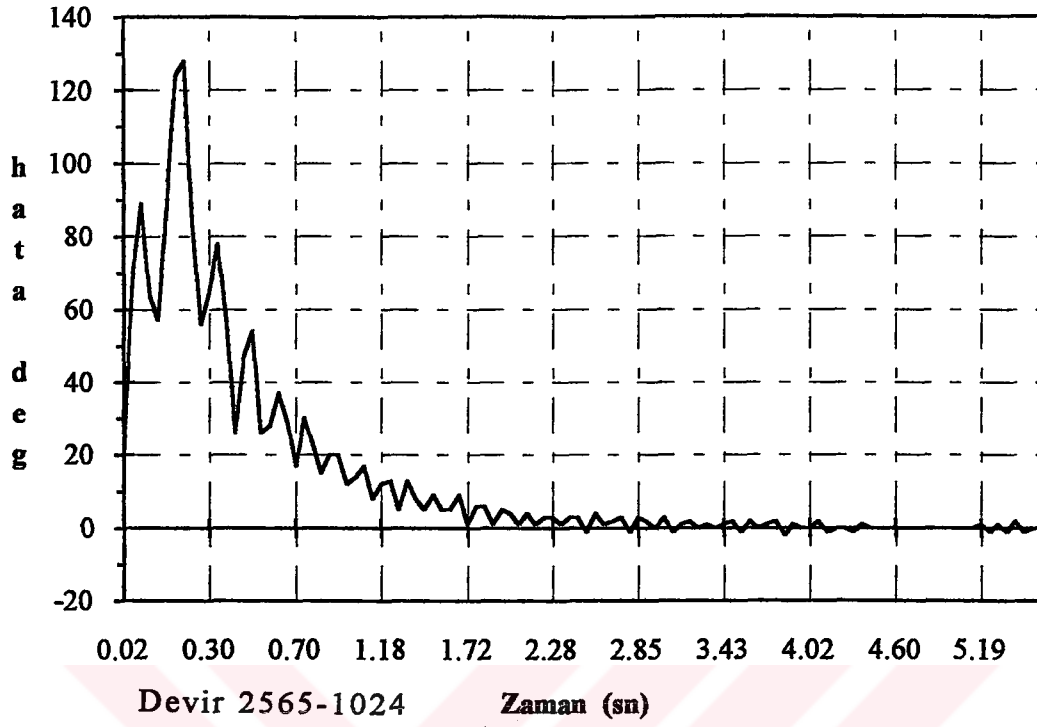


Zaman (sn)
Şekil 15.18

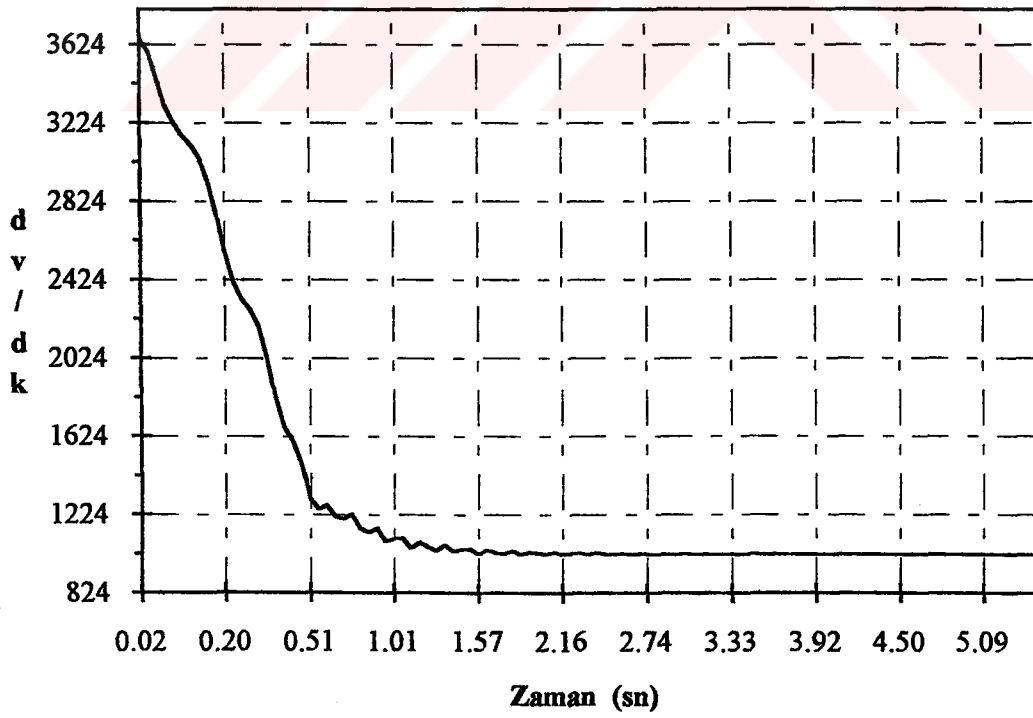


Zaman (sn)
Şekil 15.19



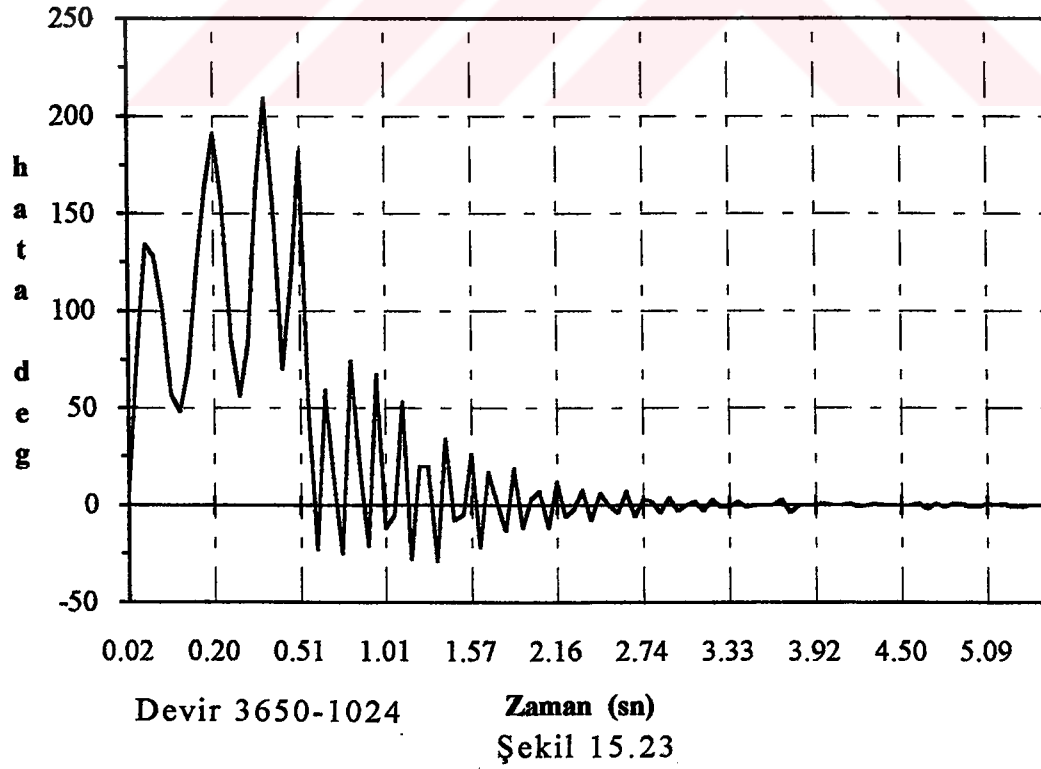
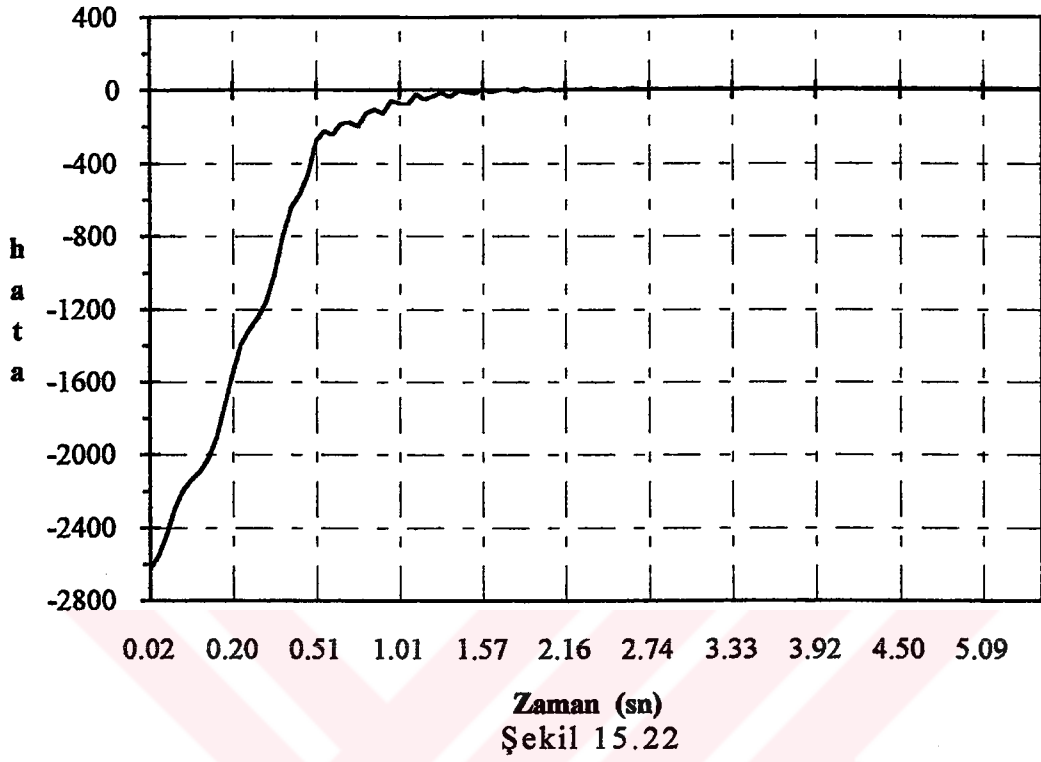


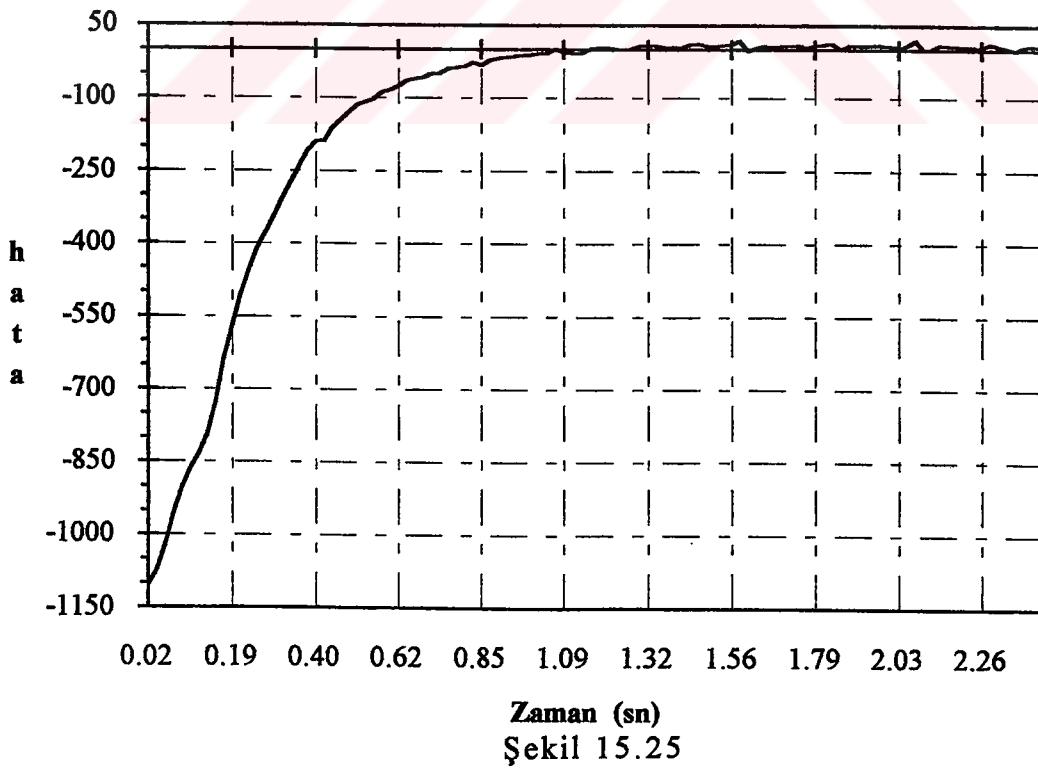
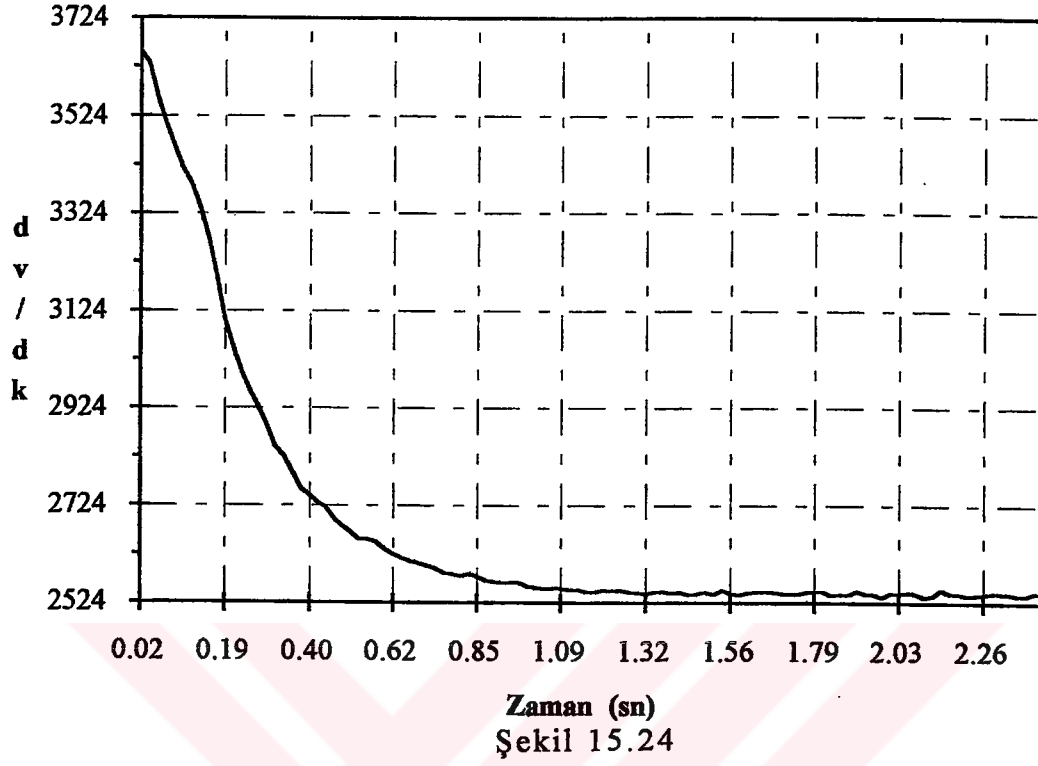
Şekil 15.20

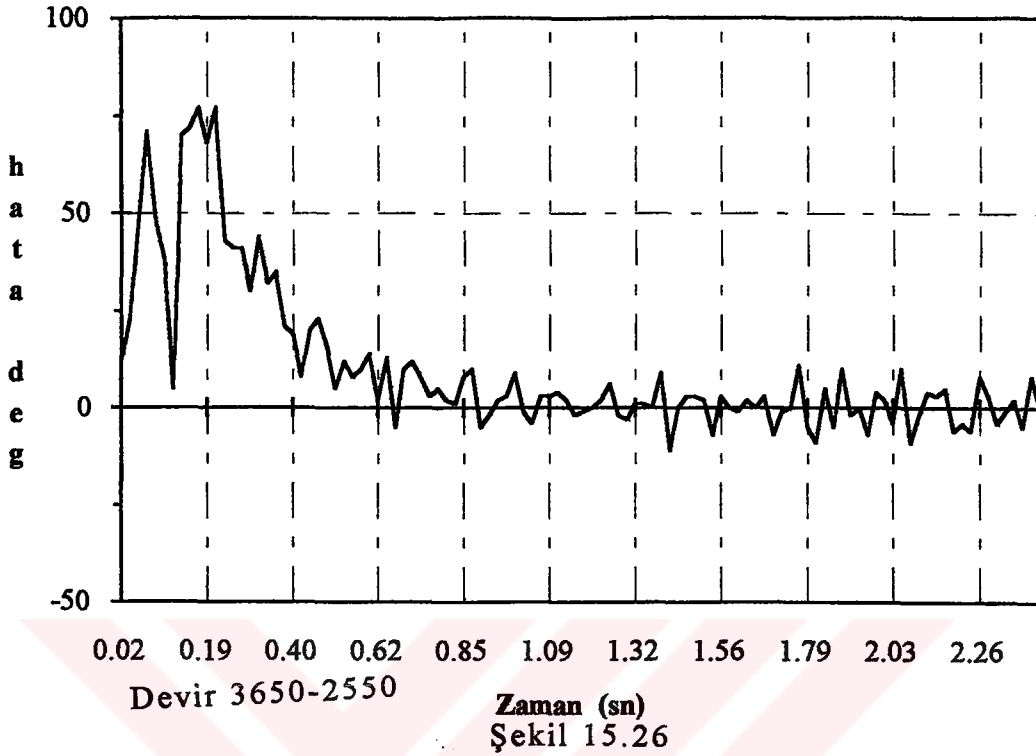


Şekil 15.21



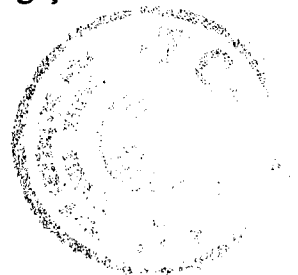


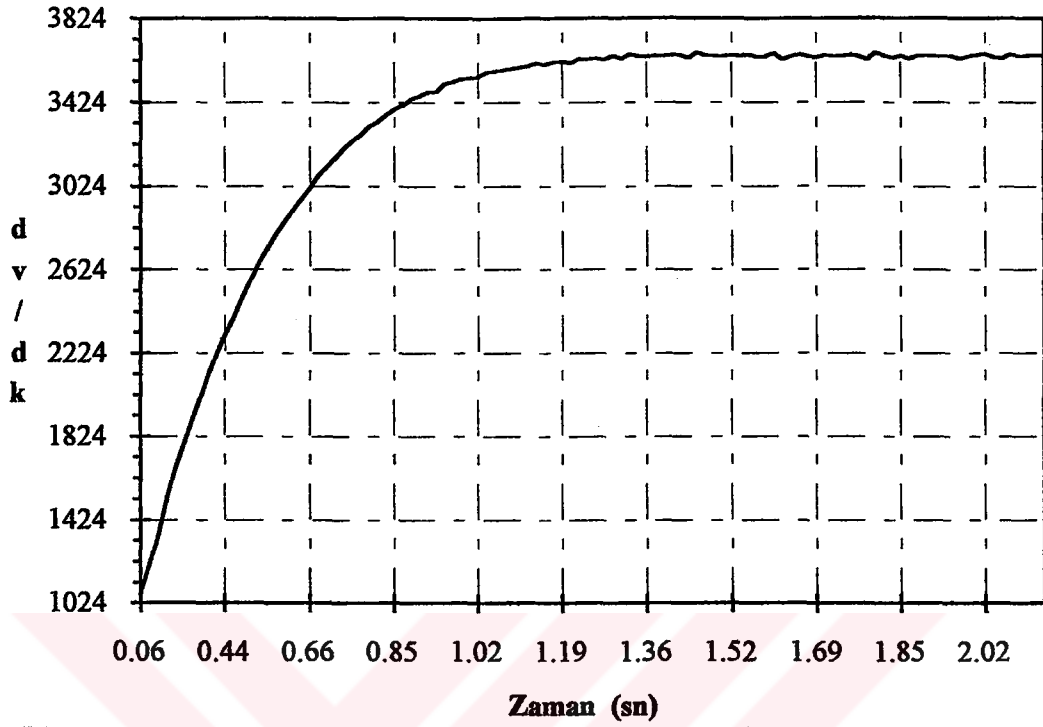




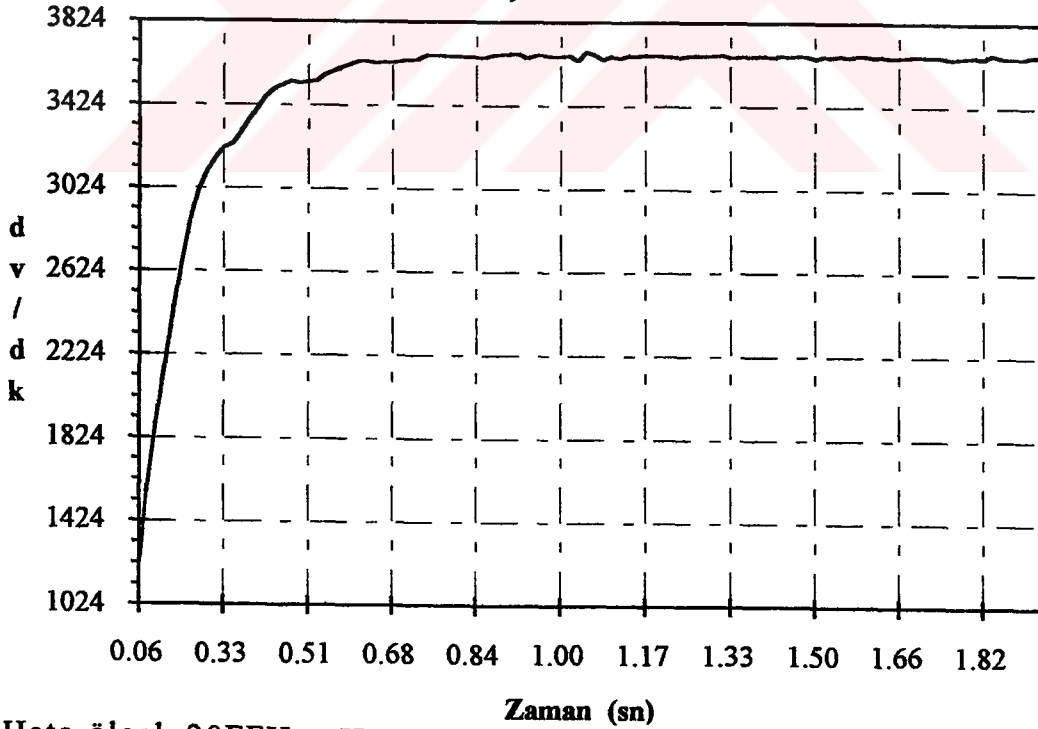
15.1. Tasarlanan Fuzzy lojik denetleyicinin çeşitli ölçek değerleri için performansının eğriler ile değerlendirilmesi:

Şekil 15.27'den şekil 15.37'ye kadar olan eğriler çeşitli ölçeklemelere karşın devir-zaman grafiklerini göstermektedir. Eğrilerden görüleceği üzere ölçekleme sınırlarını arttırdığımızda fuzzy algoritmada hassasiyetin azaldığını ve kalıcı hıza erişim sürelerinin uzadığını görebiliriz. Ölçekleme sınırlarını daralttığımızda ise hassasiyetin arttığını ve bununla beraber kalıcı hıza erişme süresinin azaldığını görebiliriz. Yani daha küçük ölçekleme sınırlarında sistemin kontrol edilme hızının artmasına neden olur. Fakat bu durum fuzzy işlemcideki ölçekleme ile karıştırılmamalıdır. Çünkü fuzzy işlemcinin ölçek alanının geniş olması (bit kapasitesi) hassasiyetin artması demektir. Fuzzy denetleyicili bir sistemde normal ekseninde hassasiyetin azalması durumunda kalıcı hıza salınımı daha az olan bir eğri ile yaklaşmak mümkün olur. Fuzzy denetleyici girişindeki değişmeler çıkışa az olarak yansır. Dolayısıyla erişim daha yavaş olur.



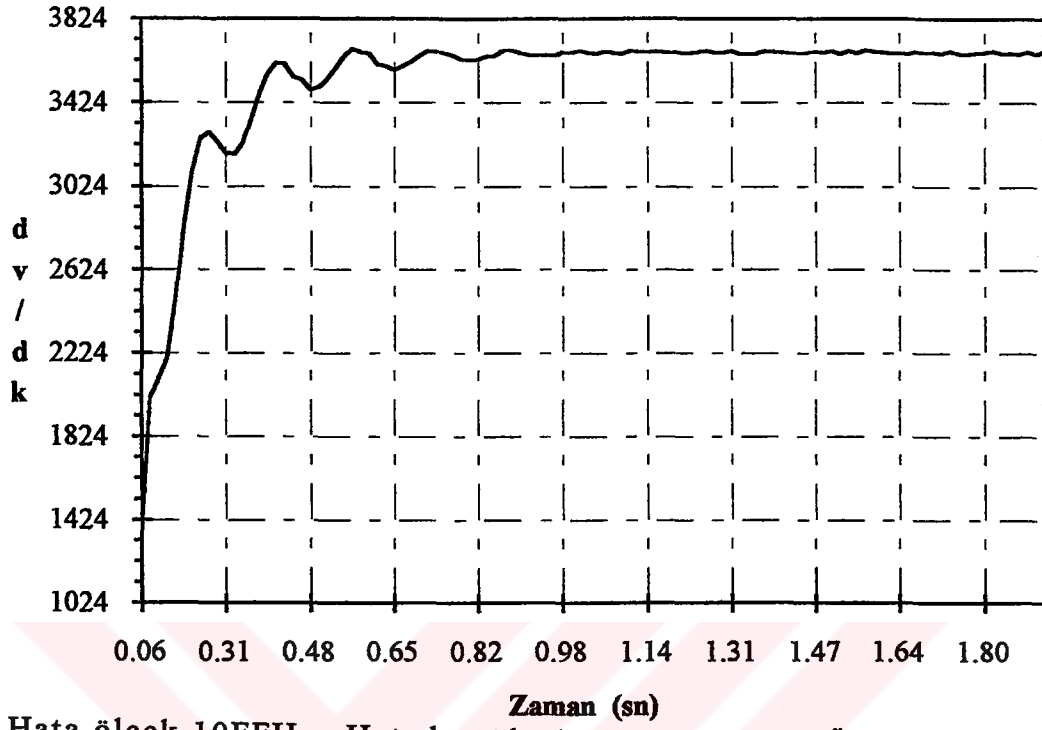


Hata ölçek 70FFH Hatadeg ölçek 0FFEH Çıkış Ölçek 0FFFH
Şekil 15.27



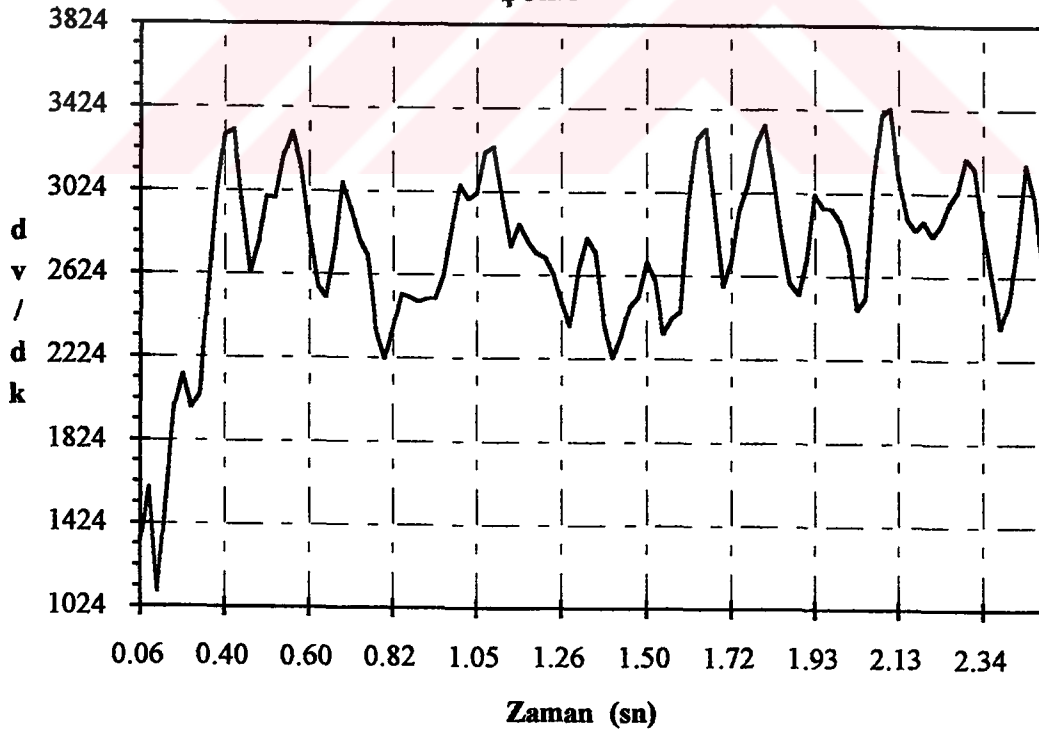
Hata ölçek 20FFH Hatadeg ölçek 0FFEH Çıkış Ölçek 0FFFH
Şekil 15.28





Hata ölçek 10FFH Hatadeg ölçek 0FFEH Çıkış Ölçek 0FFFH

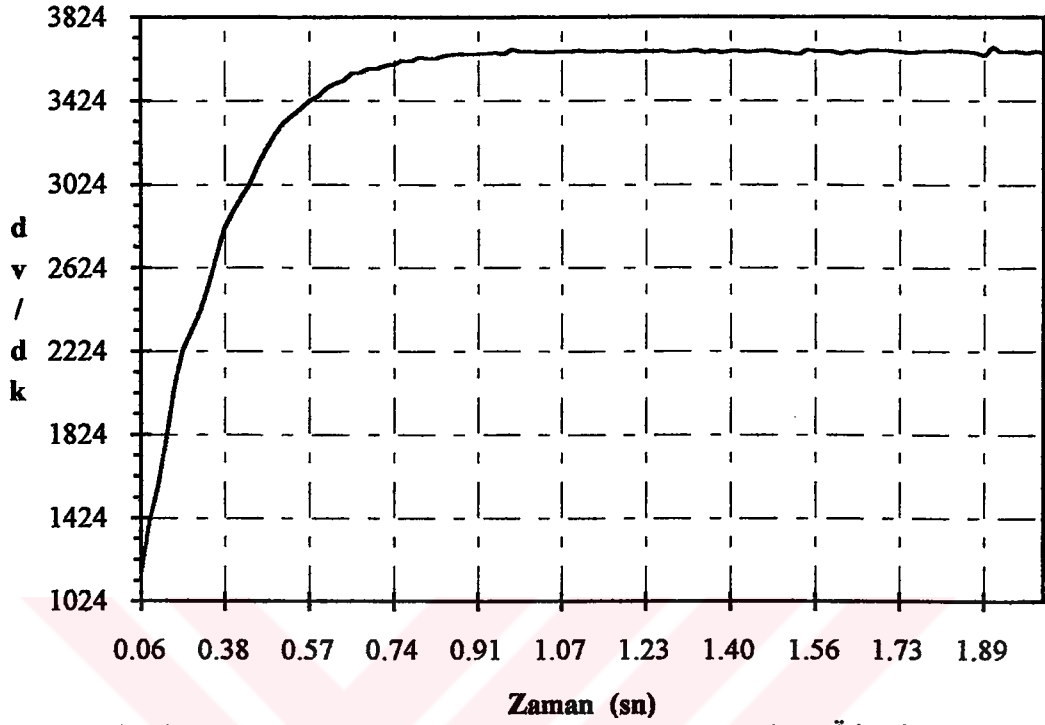
Şekil 15.29



Hata ölçek 00FFH Hatadeg ölçek 0FFEH Çıkış Ölçek 0FFFH

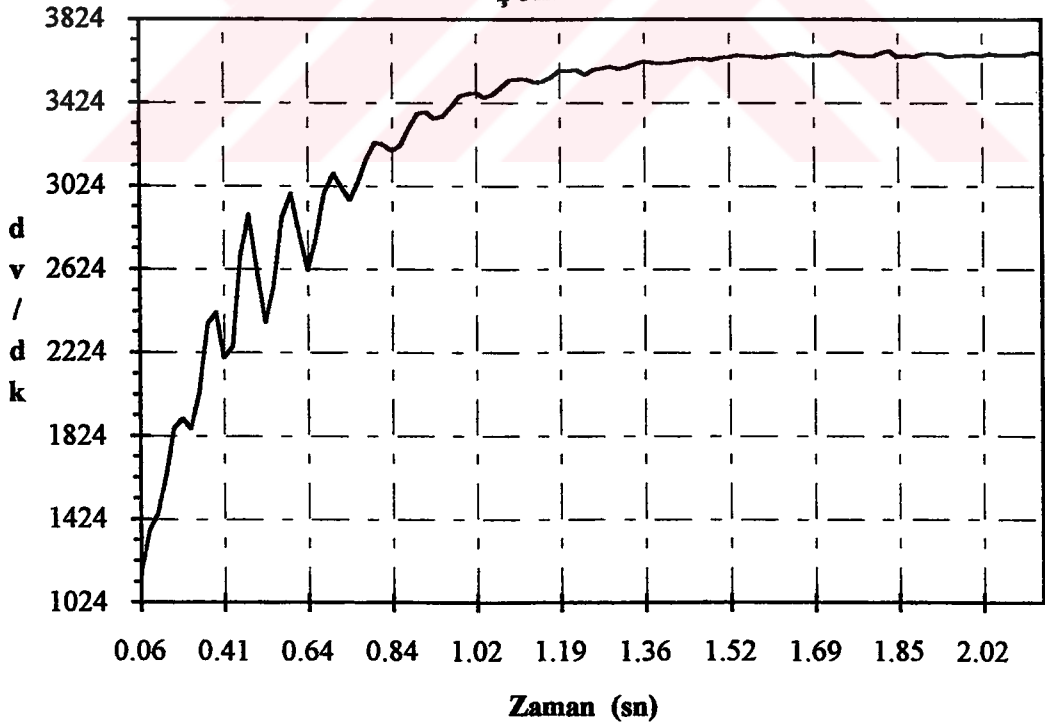
Şekil 15.30





Hata ölçek 30FFH Hatadeg ölçek 07FEH Çıkış Ölçek 0FFFH

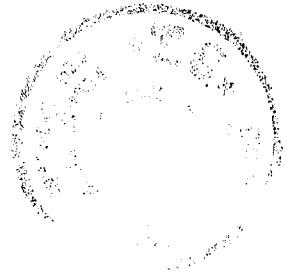
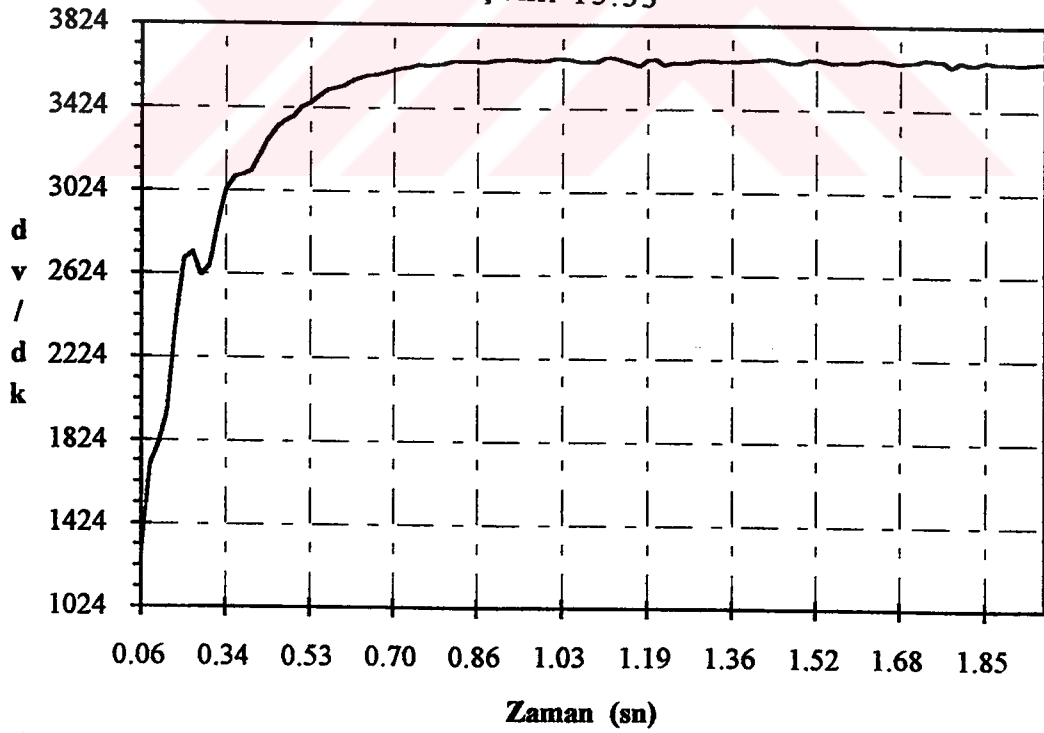
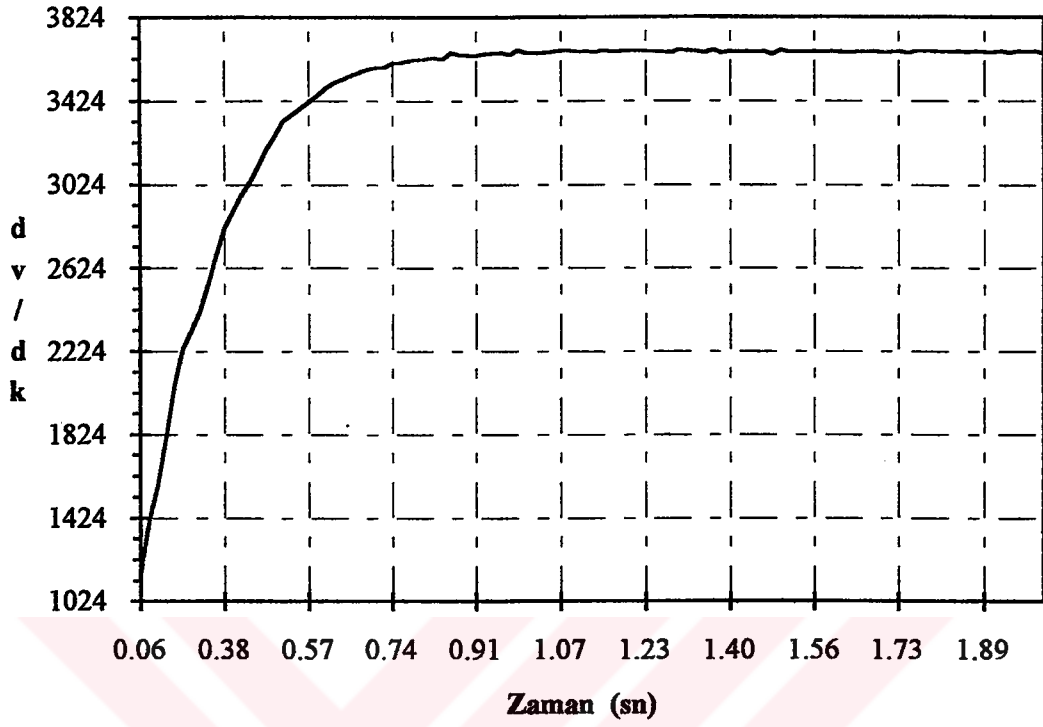
Şekil 15.31

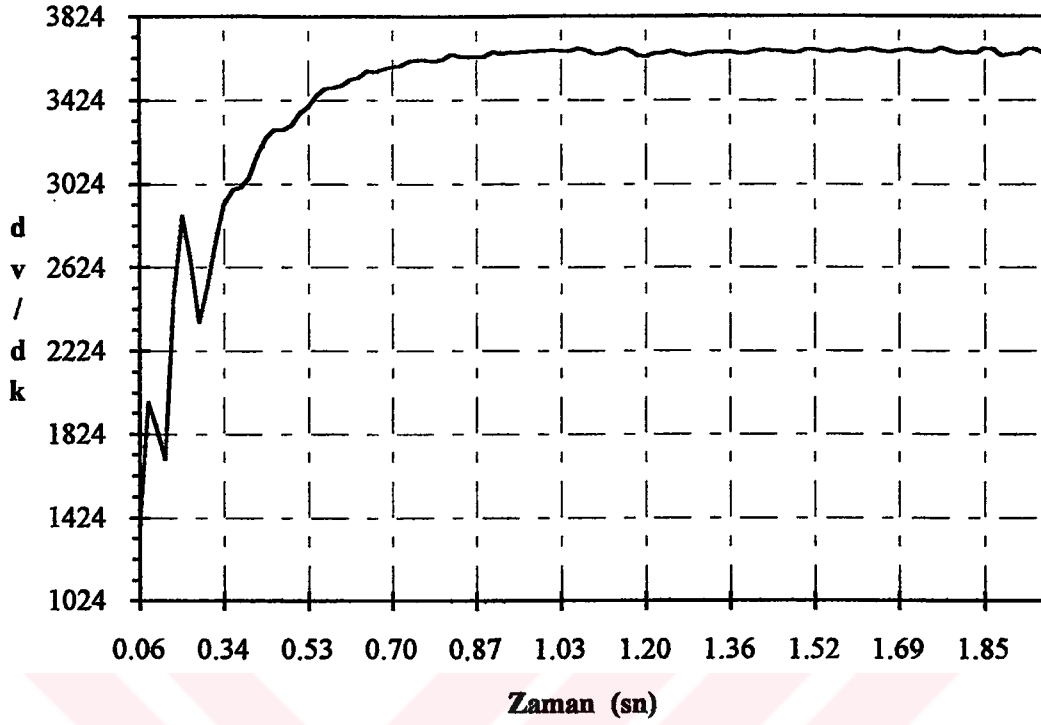


Hata ölçek 30FFH Hatadeg ölçek 03FEH Çıkış Ölçek 0FFFH

Şekil 15.32

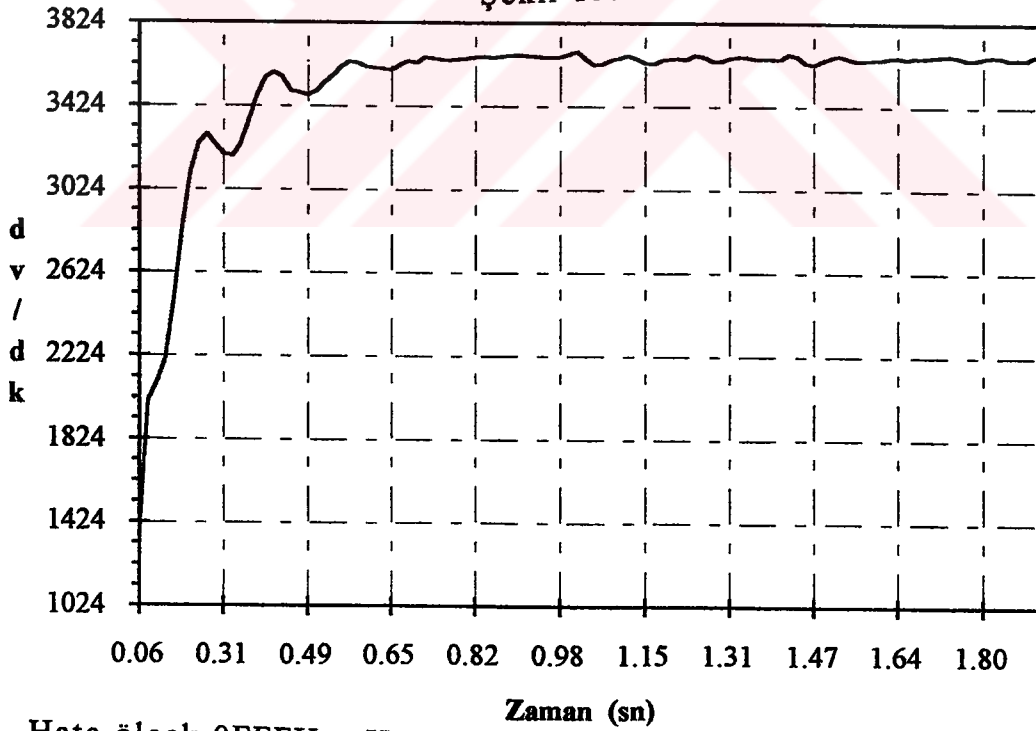






Hata ölçek 30FFH Hatadeg ölçek 07FEH Çıkış Ölçek 3000H

Şekil 15.35

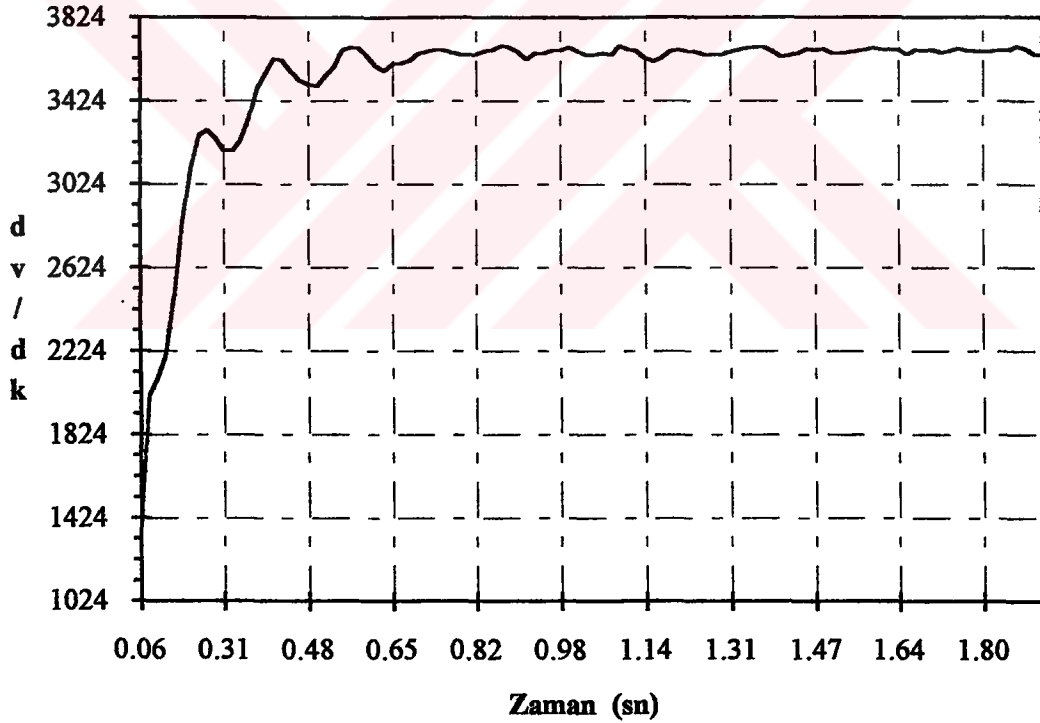


Hata ölçek 0FFFH Hatadeg ölçek 07FEH Çıkış Ölçek 3000H

Şekil 15.36



Hassasiyet arttırıldığı durumda ise kalıcı hıza erişim daha hızlı olacak fakat salınım daha da artar. Yani girişteki değişimler çıkışa daha büyük olarak yansır. Bu nedenle fuzzy lojik denetleyici tasarımcıları bu duruma dikkat etmeleri ve aynı zamanda ölçekleme sınırlarının belli bir değerin altına düşmesi durumunda sistemin kararsızlığa girmemesi için düşünülmesi gerekir. Şekil 30'da bu durum açıkça görülmektedir. Böyle bir sistemde fuzzy algoritma tasarlanırken dikkat edilecek diğer husus ise ölçeklemedeki hata giriş ölçeünün sistemin kontrolünde diğer ölçeklere göre daha etkili olduğu göz önüne alınmalıdır. Ayrıca diğer bir husus çıkış ölçeği hata ve hatanın değişimi ölçeklemesi işleminin tersi olarak sistem kontroluna etki yapmaktadır.

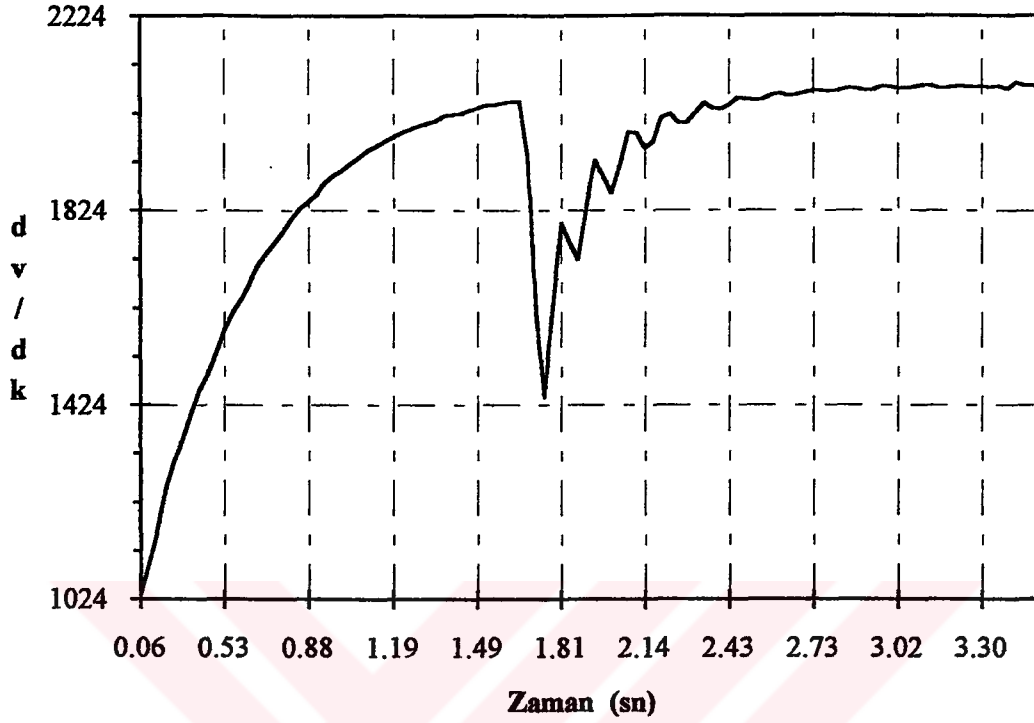


Hata ölçek 0FFFH Hatadeg ölçek 2000H Çıkış Ölçek 3000H

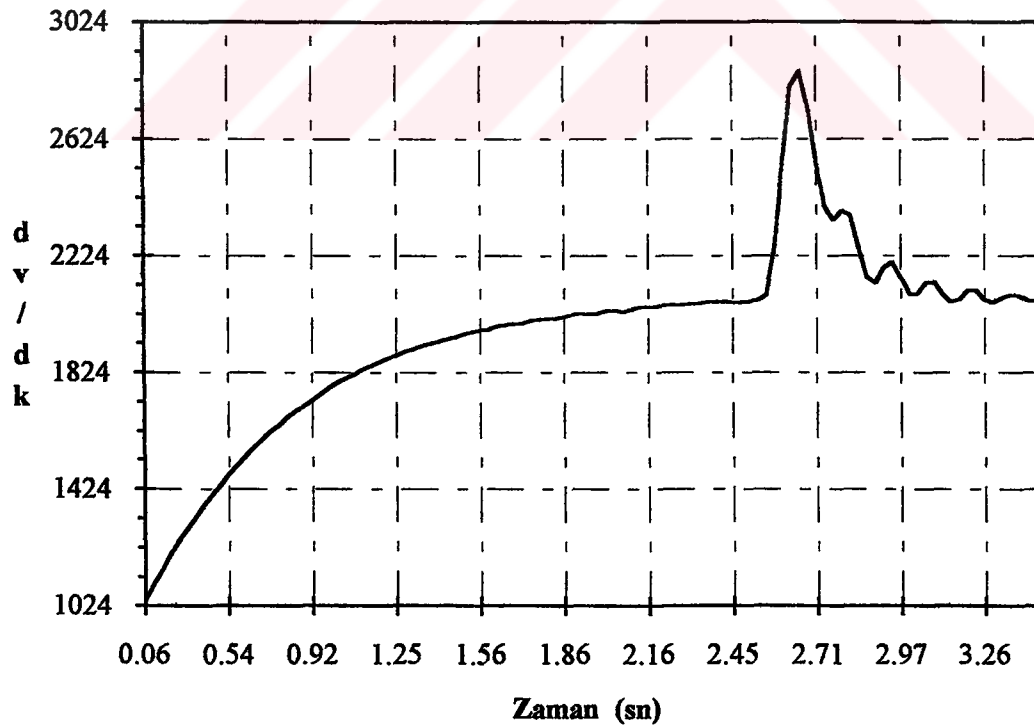
Şekil 15.37



15.2. Sistemin Yüklenmesi ve Yükten Bırakılması Durumu:



Şekil 15.38

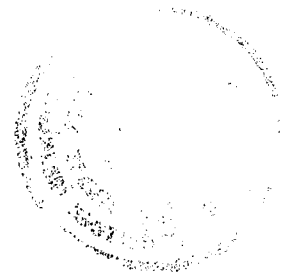


Şekil 15.39



Şekil 15.38 sistemin yüksüz durumdan yüklü duruma getirilmesi durumundaki eğriyi gösterir. Sistemin yüklenmesinde kullanılan jeneratör çıkışına yük olarak bağlanan omik karakterde 2.2Ω 'luk bir direnç özelliğindedir. Şekil 15.38'de görüleceği üzere hızı kontrol edilen motorun devri yüksüz durumda 1024 dv/dk'dan başlayıp 1.65 sn'de 2100 dv/dk kalıcı devir değerine ulaştığında sisteme bağlı olan yük devreye girmekte ve sistem 0.15 sn içerisinde motor devri 1430 dv/dk'ya düşmekte ve sistem kendini 1 sn içerisinde toparlayarak tekrar nominal devir değerine, ulaşması gereken devire kilitlemiştir. Bu kilitleme süresini daha aza indirmek için önceden anlatıldığı gibi ölçekleme sınırlarını en iyi şekilde değiştirmek gerekir. Ayrıca devir bilgisi motor bir tur atmadan daha önce alınırsa sistemin performansı artar. Bu işlem bir shaft encoder ile sağlanabilir.

Şekil 15.39'daki devir zaman grafiğine bakıldığında yüklü durumda 1024 dv/dk'dan 2100 dv/dk'ya 2.57 sn'de ulaşmakta ve burada jeneratöre bağlı yük bırakıldığında motorun hızı 0.15 sn'de 2824 dv/dk'ya çıkmakta ve daha sonra kendini 0.61 sn'de toparlayıp nominal devire kilitlemiştir.



16. SONUÇLAR

Daha önce aynı konuda yapılan çalışmalarda bilgisayara ilave edilen FB 30-AT kartı ve bu kart için kullanılan FS 30-AT yazılımı kullanıldı. Bu kart ve program vasıtasıyla simülasyon çalışmaları yapıldı. Çalışmalar sonucunda elde edilen eğriler incelendi, (Cansever ve diğerleri, 1993a; Cansever et. al.,1993b; Cansever and Özgüven, 1994, 1995). Fakat gerçek ortamda herhangi bir uygulama yapılmamıştı. Bu çalışma ile bilgisayardan bağımsız kendi başına kontrol edilecek her sisteme uyarlanabilen fuzzy lojik kontrol ünitesi tasarlanmış ve mikrodenetleyici ile uygulaması yapılmıştır.

Önce tasarlanan mikrodenetleyicili anakart, gösterge ve tuş takımı ile makina dilinde yazılan bir programın sadece kodlarını sistemin belleğine yazma imkanı elde edilmiştir. Bunun için monitor programı yazılmış ve yazılan programın çalıştırılması sağlanmıştır. Daha sonra bilgisayarda yazılan bir makina dili program derlendikten sonra oluşan *.OBJ dosyasının içerisindeki gerekli program kodları alınmış ve seri porttan mikrodenetleyicili anakartta gönderilmiştir. Böylece bilgisayarda yazılan böyle bir programın fazla zorluk çekilmeden anakartta çalışması sağlanmıştır. 8XC196KC/KD mikrodenetleyici ile çalışacak ve uygulama yapacak araştırmacılar için bir geliştirme seti tasarımı gerçekleştirilmiştir.

Anakart üzerinde bulunan genişleme yuvaları sayesinde, istenilen amaca göre yeni uygulamalar için gerçekleştirilen yeni ünitelerin sisteme ilave edilmesi uygun duruma getirilmiştir. Yani sistem geliştirilmeye açıktır.

Sistem üzerinde fuzzy lojik kontrol işlemini gerçekleştirebilmek için FP 3000 fuzzy işlemci kullanılarak bir ünite tasarlanmış ve uygulanmıştır. Çıkarım ve netleştirme işlemi bu ünite üzerinde gerçekleştirilmiştir. Böylece kontrol işleminde donanım kullanıldığı için

işlemlerin daha hızlı olması sağlanmıştır. Ayrıca ünite sayesinde bu işlem için yazılan yazılımın daha da azalması mümkün olmuştur.

DAC 1200 tümdevresi kullanılarak 12 bitlik dijital analog çevirici devresi tasarlanarak sisteme ilave edilmiştir. Kontrol uygulaması için iki DC motorlu sistem üzerinde çalışılmıştır. Fuzzy lojik kontrol tekniği kullanılarak isteğe göre değiştirilen sabit hızlı motorun devir sayısına diğer motorun devir sayısı eşitlenmiştir.

Fuzzy işlemcinin kullanımı için simülasyon programı analiz edilmiştir. Böylece işlemcinin bilgi tabanı, giriş ve çıkış verilerinin yazıldığı adresler bulunmuştur. Ayrıca işlemciyi çıkarıma başlatma ve ve çıkarımı sonuçlama işlemlerinin nasıl yapılacağı anlaşılmıştır. Fuzzy işlemcili ünitenin donanımı için yukarıda sözü geçen FB 30-AT kartı

Tablo 16.1. Diğer kontrol algoritmaları ile Fuzzy Lojik Kontrolün karşılaştırılması

| Diğer Kontrol algoritmaları | Fuzzy Lojik Kontrol |
|--|--|
| Sistemin transfer fonksiyonuna ihtiyaç duyar. | Sistemin transfer fonksiyonuna ihtiyaç duyulmaz. |
| Sistem karmaşık duruma geldikçe gerçekleştirme gücü oluşur ve maliyet artabilir. | Uzman kişinin tecrübelerinden yararlanılır ve kontrol kurallarına ihtiyaç vardır. |
| Çoğunlukla bilgisayara bağımlı olarak çalışırlar. | Kontrol olayı hızlıdır. |
| Tasarım ve gerçekleştirme uzun zaman alabilir. | Fuzzy işlemci ve mikrodenetleyici bir sistemle yalnız başına gerçekleştirilebilir. |
| Kesin ölçüm değerlerini kullanılır. | Kesin olmayan ifadeleri kullanabilir. |
| | Uygulamada kolaylık sağlar. |
| | Algılayıcılara ihtiyaç vardır. |



incelenmiş ve bu kartın donanım yapısı hakkında bilgi edinilmiştir. Bu şekilde işlemcinin hem yazılım ve hemde donanım bakımından mikrodenetleyicili sisteme uyarlama işlemi gerçekleştirilmiştir.

Elektronik devrelerin çizimi ve baskılı devrelerinin tasarımında bütünüyle elektronik devre çizim ve baskılı devre tasarımı yapan bir paket program kullanılmıştır, (OrCAD, 1989a, 1989b). Bu program elektronik bir devre için gerekli olan yazılım uygun bir şekilde kullanılmıştır. Böyle bir durumda daha karmaşık diğer devrelerin tasarlanıp gerçekleştirilebileceği görülmüştür.

Sonuçta elde edilen devre ile başka kontrol işlemlerini fuzzy lojik kontrolu kullanarak gerçekleştirmek mümkün olmaktadır. Kontrol edilen sisteme göre sadece kurallar ve üyelik fonksiyonları değiştirilerek yeni bilgi tabanı verileri oluşturulur. Daha sonra bu veriler fuzzy işlemcili üniteye gönderilir ve kontrol olayına geçilebilir. Ayrıca mikrodenetleyicinin içerisinde bulunan analog dijital çevirici, zamanlayıcı, darbe genişlik modülatör ünitesi, giriş çıkış portları gibi çevre birimlerinin bulunması sayesinde kontrol edilen sistemden alınan bilgilerin rahatlıkla devreye iletilmesi mümkün olmaktadır. Böylece genel amaçlı fuzzy lojik kontrol sistemi elde edilmiş olmaktadır.

Daha ilerisi için bu sisteme yeni geliştirmeler ilave edilebilir. Kurallar ve üyelik fonksiyonları tuş takımından verilir. Daha sonra bu sistem üzerinde derleme işlemi yapılarak fuzzy işlemci için gerekli olan bilgi tabanı verileri oluşturulabilir. Bilgi tabanı verileri fuzzy işlemci ünitesine yazıldıktan sonra kontrol işlemine geçilebilir.

Fuzzy lojik kontrol işleminde üyelik fonksiyonları seçiminde belirli bir yöntem yoktur. Ayrıca kuralları yazmak için uzman kişinin tecrübelerine ihtiyaç duyulur. Bu yüzden bu konudaki güçlüklerin aşılması için yapay sinir ağları ile fuzzy lojiğin bir araya getirilmesi çalışmaları devam etmektedir.



Fuzzy Lojik Kontrol işlemleri diğer kontrol algoritmaları ile tablo 16.1 'deki gibi kısa olarak karşılaştırılabilir.

16.1. Çalışmanın maliyet hesabı ve benzer diğer üniteler ile karşılaştırılması:

Tablo 16.2. Çalışmanın maliyet hesap tablosu

| Kartın Adı | Maliyeti (T.L.) |
|---|---------------------|
| N80196KC Mikrodenetleyicili Geliştirme seti (Anakart) | 9. 400. 000 |
| FP3000 Fuzzy İşlemcili Kart | 9. 500. 000 |
| Keyboard ve Display kartı | 3. 900. 000 |
| Digital - Analog Çevirici (DAC) kartı | 4. 700. 000 |
| Toplam: | 27. 500. 000 |

Tablo 16.3. Piyasada bulunan benzer ünitelerin fiyat tablosu

| Kartın Adı | Maliyeti (T.L.) |
|---|----------------------|
| N80196KC Mikrodenetleyicili Geliştirme seti | 85. 000. 000 |
| FB 10- AT Fuzzy İşlemcili Kart | 120. 000. 000 |
| Digital - Analog Çevirici (DAC) kartı | 40. 000. 000 |
| Toplam: | 245. 000. 000 |

Not: 1 \$ = 170 000 T.L. alınarak hesap yapılmıştır.

Bu tezde bütün çalışmalar laboratuarda kendi imkanlar ile gerçekleştirilmiştir. Bu sistem üzerinde gerekli yazılımlar yapılmıştır. Dolayısıyla oluşturulan sistem en büyük yarar olarak piyasaya göre ekonomik yönden daha az maliyet getirmiştir. Sistem en küçük ayrıntısına kadar bilindiği için sistem üzerine yeni ilavelerin yapılması, geliştirilmesi mümkündür. Geliştirme seti yapısı bilindiğinden diğer mikroişlemciler ve mikrodenetleyiciler için geliştirme seti tasarlanabilir. Bu durum yine ekonomik yönden daha az maliyet getirecektir. Maliyetinin az ve sistemin uygun olmasından dolayı eğitimde kullanılabilecek özelliklere sahiptir.

http://tbsv.telemarkt.technopark.gmd.de/tt/www/preise_e.htm
inter-net adresinden alınan aynı cins , kalite ve fonksiyonları yerine getiren cihazların fiyatları aşağıda DM olarak verilmiştir. Bu nedenle donanım ve yazılım fiyatları ayrı ayrı verilmiş olup bunların toplamı (3. ve 4. sırada) 5400 DM gözükmekte yaklaşık 500.000.000 T.L. olmaktadır. Yapmış olduğumuz cihaz yaklaşık 17 kat benzer emsallerinden daha ucuzdur. Yurt içinden ilgili üniteleri satın almaya çalışırsak sadece donanımı 8 defa daha pahalı olduğu görülmektedir. Böylece hem yurtiçi ve hem yurtdışından benzer cihazlarla karşılaştırma yaptığımızda ekonomik yönden büyük avantajlara sahiptir.

Price List 03/1996

Price list from March 1996.

All prices in DM; shipping costs and taxes (if applicable) not included.

Fuzzy Control Manager

- | | | |
|----------------|---|---------|
| 1.FCM-Standard | Fuzzy development system with universal ANSI-C-code output | 3100 DM |
| 2.FCM-3000 | Fuzzy development system with C-code output supporting the FP-3000 (without hardware) | 1800 DM |
| 3.FCM-SOFT | Reductioned Fuzzy development system for VMEbus board VMEFP3000 (without hardware) | 1800 DM |



| | | |
|-----------------|--|-----------|
| 4.FCM-TEAM | Fuzzy development system including FP-3000 microcontroller board | 3600 DM |
| 5.FCM-SPS | Fuzzy development system for fuzzy modul FZ001 (without hardware) | 1800 DM |
| 6.FCM-Modicon | Fuzzy development system for Quantum PLC (without hardware and "Concept" software module) | (inquire) |
| 7.FCM-I3HD-CINT | Fuzzy development system for microcontrollers of 78K0-, 78K3-, V-series (integer C-code output) | 1800 DM |
| 8.FCM-I3HD-75X | Fuzzy development system for microcontrollers of 75X family (assembler source code output) | 1800 DM |
| 9.FCM-I3HD-17K | Fuzzy development system for microcontrollers of 17K family (assembler source code output) | 1800 DM |
| 10.FCM-PX-1500 | Fuzzy development system for microcontrollers of MN1500 family (assembler source code output) | 1800 DM |
| 11.FCM-HC11 | Fuzzy development system for microcontroller 68HC11 (assembler source code output) | 1800 DM |
| 12.FCM-8051 | Fuzzy development system for microcontrollers of 8051 family (assembler source code output) | 1800 DM |
| 13.FCM- μ C | Fuzzy development system for several microcontrollers (integer-C-code output) | 2500 DM |
| 14.FCM-T800 | Fuzzy development system for Transputer | 2500 DM |

Fuzzy denetleme işleminde kontrol edilen sistemden direkt olarak algılayıcılardan bilgi almak gerekir. Algılayıcılardan alınan bilgi analog ise mikrodenetleyici tarafından değerlendirilebilmek için ADC ile dijitalle çevirmek gerekir. Şayet direkt bilgi geliyorsa bu bilgilerin mikrodenetleyiciye ulaşması için Giriş/Çıkış portlarına ihtiyaç vardır. Ayrıca program içerisinde zamanlayıcı ve sayıcıya ihtiyaç olabilir. Yukarıdaki çalışmalarda bu işlemleri yerine getirmek için ayrı kartlar kullanılmıştır. Bu durum maliyetin artmasına neden olmaktadır. 80 196 mikrodenetleyicisi yukarıda



sözü geçen ünitelerin hepsini kendi içerisinde barındırmaktadır. Dolayısıyla maliyetin düşmesine neden olmaktadır.

Fuzzy işlemcinin kullandığı bellek ünitesi ROM olarak alınıp, kurallar ve üyelik fonksiyonunun derlenmesinden oluşan veriler bu bellek ünitesine yazılırsa sistem bilgisayara ihtiyaç duyulmadan denetleme işlemi yapılabilir.

KAYNAKLAR

Ascia, G., Catania, V., Puliafito, A., Vita, L., 1996."A Reconfigurable Parallel Architecture for Fuzzy Processor ", Information Sciences, Vol. 88: p.p. 299 - 315

Ascia, G., Catania, V., Russo, M., Vita, L., 1996." Rule Driven VLSI Fuzzy Processor", IEEE Micro, p.p. 62 - 74

Bander, W., and Khout, L.J., 1985. Probabilistic Versus Fuzzy Production Rules in Expert System, Int. J. Man. Machine Studies, Vol. 22:p.p. 347-353

Bellman, R.E. and Zadeh, L.A., 1970. Decision Making in a Fuzzy environment, Management Sci., Vol. 17 : p.p. 141-164.

Bezdek, J.C., 1981. Pattern Recognition with Fuzzy Objective Function Algorithms, Plenum Press.

Brae, M., and Rutherford, D.A., 1979. Theoretical and Linguistic Aspects of the Fuzzy Logic Controller, Automatica, Vol.15: p.p. 553-557.

Brey, B.B., 1987. The 8086/8088 Microprocessor.

Cansever, G., Engin, Ş.N., Özgüven, Ö.F., Uzam, M., 1993b. Fuzzy Logic Controller in Modern Control System. An Industrial Applications, International AMSE Conference Systems, London, England, Vol 2:p.p.45-67

Cansever, G., Özgüven, Ö.F., 1994. Applications of Fuzzy Set Theory to Stabilization of an Inverted Pendulum by a High Speed Fuzzy Logic Controller, 7th Mediterranean Electrotechnical Conference, Vol. 3: p.p.1085-1088

Cansever, G., Özgüven, Ö.F., 1995. An Adaptive Fuzzy Controller Improving a Control System for Process Control. IECON'96 Conference TAIPEI - TAIWAN.

Cansever, G., Özgüven, Ö.F., Uzam, M., Engin, Ş.N., 1993a. Kontrol Sistemlerinde Bulanık Lojik: Bulanık Lojik Denetleyici, Elektrik Mühendisliği 5. Ulusal Kongresi, K.T.Ü.-Trabzon: p.p.57-62

Cheng, F. F., Yeh, S. N., 1993."Application of Fuzzy Logic in Speed Control of AC Servo System and an Intelligent Inverter", IEEE Trans. on Energy Conversion, Vol.8, No.2: p.p. 312 - 318

Corbet, T., Sepehri, N., Lawrence, P. D., 1996."Fuzzy Control of a Class of Hydraulically Actuated Industrial Robots", IEEE Trans. on Control Systems Technology, Vol.4, No.4: p.p. 419 - 426



Costa, A., Alessandro, G., Olivieri, M., 1996. "Hardware Design of Asynchronous Fuzzy Controllers", IEEE Trans. on Fuzzy Systems, Vol. 4., No.3: p.p. 328- 338

Eichfeld, H., Klimke, M., Menke, M., Nolles, J., Künemund, T., 1995. "A General-Purpose Fuzzy Inference Processor", IEEE Micro, p.p. 12 - 17

Eichfeld, H., Kunemund, T., Menke, M., 1996. "A 12b General-Purpose Fuzzy Logic Controller Chip", IEEE Trans. on Fuzzy Systems, Vol. 4, No.4: p.p. 460 - 475

Elector, 1987. 8052AH BASIC microcontroller

El-Metwally, K. A., Hancock, G. G., Malik, O. P., 1996. "Implementation of a Fuzzy Logic PSS Using a Micro-controller and Experimental Test Results", IEEE Trans. on Energy Conversion , Vol. 11, No. 1: p.p. 91 - 96

Fattaruso, J. W., Mahant-Shetti, S. S., Barton, J. B., 1996. "A Fuzzy Logic Inference Processor", IEEE Journal of Solid-State Circuits, Vol.29, No.4: p.p.397- 402

Gains, B.R., 1976. Foundations of Fuzzy Reasoning , Int. J. Man-Machine Studies, Vol. 8: p.p 623-668

Guillemin, P., 1996. " Fuzzy Logic Applied to Motor Control", IEEE Trans. on Industry Applications, Vol. 32: p.p. 51-56



Guo, S., Peters, L., Surman, H., 1996. "Desing and Application of an Analog Fuzzy Logic Controller", IEEE Transaction on Fuzzy Systems, Vol.4, No.4: p.p. 429 - 438

Hara, K., Yokogawa, R., 1991. "Applications of Fuzzy Reasoning to Precision Inserting Operation", Fuzzy Sets and Systems, Vol. 39: p.p. 204 - 214

Haung, L.J., Tomizuka, M., 1990. A Self-Paced Fuzzy Tracking Controller for Two-Dimensional Motion Control, IEEE Trans. Sys., Man, Cybern., Vol.20: p.p. 1115-1124

Hesburg, T., Tomizuka, M., 1994. "Fuzzy Logic Control for Lateral Vehicle Guidance", IEEE Control Systems, p.p. 55 - 62

Hiloowala, R. M., Sharaf A. M., 1996. "A Rule Based Fuzzy Logic Controller for a PWM Inverter in a Stand Alone Wind Energy Conversion Scheme", IEEE Trans. on Industry Applications", Vol. 32, No.1: p.p. 57-65

Hollstein, T., Halgamuge, S. K., Glesner, M., 1996. "Computer - Aided Desing of Fuzzy Systems Based on Generic VHDL Specifications", IEEE Transaction on Fuzzy Systems, Vol.4, No.4: p.p. 403 - 417

Huang, T. C., Fellow, M.A.S., 1996. "High Performance Speed and Position Tracking of Induction Motors Using Multi-Layer Fuzzy Control", IEEE Trans. on Energy Conversion, Vol.11, No.2: p.p. 353 - 358



Huertas, J. L., Solano, S. S., Baturone, I., Barriga, A., 1996."Integrated Circuit Implementation of Fuzzy Controllers", IEEE Journal of Solid - State Circuits, Vol. 31, No.7: p.p. 1051 - 1058

Intel, 1988a. Embedded Control Applications

Intel, 1990. 8XC196KC User's Guide

Intel, 1991. 8XC196KC Advance Information

Intel, 1992. 8XC196KC/8XC196KD User's Manual

Intel, 1998b. MCS96 Macro Assembler User's Guide for DOS Systems

Kaufmann, A., 1975. Introduction to the Theory of Fuzzy Subsets, Academic Press ,Vol. I.

Kickert, W.J.M., 1976. Applications of a Fuzzy Controller to a warm Plant, Automatica, Vol. 12:p.p. 301-308

King, P.J., and Mamdani, E.H., 1977. The Application of Fuzzy Control System to Industrial Processes, Automatica, Vol.13: p.p.235-242.

Lai, M. F., Nakano M., Hsieh G.C., 1996. "Application of Fuzzy Logic in the Phase-Locked Loop Speed Control of Induction Motor Drive", IEEE Trans. on Industrial Electronics, Vol. 43, No. 6: p.p. 630 - 639

Lee, C.C., 1990a. Fuzzy Logic in Control Systems: Fuzzy Logic Controller, Part I, IEEE Trans. Sys., Man, Cybern., Vol. 20: p.p.404-418

Lee, C.C., 1990b. Fuzzy Logic in Control Systems: Fuzzy Logic Controller, Part II, IEEE Trans. Sys., Man, Cybern., Vol. 20: p.p.419-435

Lee, S., Bien, Z., 1994."Desing of Expandable Fuzzy Inference Processor ", IEEE Trans. on Consumer Electronics, Vol. 40, No.2: p.p. 171 - 175

Leung, K.S., and Lam, W., 1988. Fuzzy Concepts in Expert Systems, IEEE Computer, September:p.p. 43-56

Li, Y.F., and Lau, C.C., 1989. Development of Fuzzy Algorithm for Servo Systems, IEEE Control System Magazine, April 1989: p.p. 65-72

Liaw, C. M., Cheng, S. Y., 1995. " Fuzzy Two-Degrees-of-freedom Speed Controller for Motor Drivers", IEEE Trans. on Industrial Electronics, Vol. 42, No. 2: p.p. 209-216

Liaw, C.M., and Wang, J.B., 1991. Design and Implementation of a Fuzzy Controller for a High Performance Induction Motor Drive, IEEE Trans. Sys., Man, Cybern., Vol.21: p.p.921-929.

Lu, Y. S., Chen, J. S., 1994. "A Self-Organizing Fuzzy Sliding-Mode Controller Design for a Class of Nonlinear Servo Systems ", IEEE Trans. on Industrial Electronics, Vol. 41, No. 5: p.p. 492-502

- Maeda, M., Maeda, Y., Murakami, S., 1991. "Fuzzy Drive Control of an Autonomous Mobile Robot", Fuzzy Sets and Systems, Vol. 39: p.p. 195-204
- Maiers, J., and Sherif, Y.J., 1985. Applications of Fuzzy Set Theory, IEEE Trans. Sys., Man, Cybern., Vol. SMC-15: p.p 175-189
- Mamdani, E.H., 1974. Applications of Fuzzy Algorithms for simple dynamic plant, Proc. IEEE, Vol. 121: p.p. 1585-1588
- Mamdani, E.H., 1976. Advances in the Linguistic Synthesis of Fuzzy Controller, Int. J. Man. Machine Studies, Vol. 8:p.p. 669-678
- Mamdani, E.H., and Assilian, S., 1975. An experiment in Linguistic synthesis with a Fuzzy Logic Controller, Int. J. Man. Mach. Studies, Vol. 7: p.p 1-13
- Manaresi, N., Rovatti, R., Franchi, E., Guerrieri, R., Baccarani, G., 1996."A Silicon Compiler of Analog Fuzzy Controllers: From Behavioral Specifications to Layout", IEEE Trans. on Fuzzy Systems, Vol. 4., No.4: p.p. 418 - 428
- Miyomato, S., and Nakayama, 1986. Fuzzy Information Retrieval Based on a Fuzzy Pseudotesaurus, IEEE Trans. Sys., Man, Cybern., Vol.SMC-2: p.p.278
- Nakamura, K., Sakashita, N., Nitta, Y., Shimomura, K., Tokuda, T., 1993." Fuzzy Inference and Fuzzy Inference Processor", IEEE Micro, p.p. 37 - 48

NeuraLogix , 1992. "NLX230", Information Sheet

Omron, 1991a. Fuzzy Inference Board With FP 3000 Processor,
Cat.No.ZC011

Omron, 1991b. Compact Digital Fuzzy Processor for Control,
Cat.No.ZC012

OrCAD, 1989a. OrCAD Schematic Design Tools Users Guide.

OrCAD, 1989b. OrCAD PCB II User's Guide

Pal, S.K., and Majumder, D.D., 1986. Fuzzy Mathematical Approach to
Pattern Recognition, Wiley, Halsted Press, Wiley.

Pedrycz, W., 1986. Fuzzy Control and Fuzzy Systems, Research
Studies Press Ltd.

Reay, D.S., Mirkamezi-Moud M., Green, T. C., Williams, B. W.,
1995."Switched Reluctance Motor Control Via Fuzzy Adaptive
Systems", IEEE Control Systems, p.p. 8- 14

Ross, T.J., 1995. Fuzzy Logic with Engineering Applications, McGraw
Hill, Inc.

Russo, G.V., Petta, C., Lopresti, D., Randazzo, N., 1996."Silicon Drift
Detector Readout and On-Line Data Reduction Using a Fast VLSI
Dedicated Fuzzy Processor ", Information Sciences, Vol. 95: p.p. 233 -
260

Rutherford, D.A., and Bloore, G.L., 1976. The Implementation of Fuzzy Algorithm for Control, Proc. IEEE, Vol.64:p.p. 572-573

SGS-Thomson Microelectronics, 1994."Weight Associate Rule Processor-W.A.R.P.1.1", Advanced Data

SGS-Thomson Mikroelectronics, 1996."AFE310 - AFE303", Information Sheet

Shenoi, S., Ashenoyi, K., Timmerman, M., 1995. "Implementation of a Learning Fuzzy Controller", IEEE Control Systems, p.p. 73 - 80

So, W. C., Tse, C. K., Lee, Y. S., 1996. "Development of a Fuzzy Logic Controller for DC/DC Converters: Desing, Computer Simulation, and Experimental Evaluation.", IEEE Trans. on Power Electronics, Vol. 11, No. 1: p.p. 24 - 31

Sousa ,G.C.D., Bose B.K., 1994. "A Fuzzy Set Theory Based Control of a Phase-Controlled Converter DC Machine Drive", IEEE Trans. on Industry Applications, Vol. 30: No.1, p.p. 34-44

Sousa, G. C. D., Bose, B. K., Cleland, J. G., 1995. " Fuzzy Logic Based On-Line Efficiency Optimization Control of an Indirect Vector-Controlled Induction Motor Drive", IEEE Trans. on Industrial Electronics, Vol. 42, No. 2: p.p. 192 - 198

Stenz, R., Kuhn, U., 1995,"Automation of a Batch Distillation Column Using Fuzzy and Conventional Control", IEEE Trans. on Control Systems Technology, Vol.3, No.2: p.p. 171 - 176



Sugeno, M., 1985. A Introductory Survey of Fuzzy Control, Information Sciences, 36: p.p. 59-83

Sugeno, M., Murakami, K., 1985. An Experimental Study on Fuzzy Parking Control using a Model Car, Industrial Applications of Fuzzy Control, M. Sugeno, Ed. Amsterdam; North Holland: p.p. 125-138

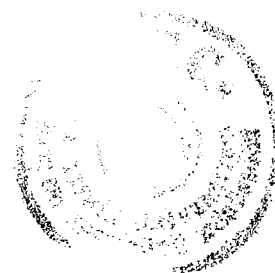
Surman, H., 1996. "Genetic Optimization of a Fuzzy System for Charging Batteries", IEEE Trans. on Industrial Electronics, Vol. 43, No. 5: p.p. 541-548

Suyitno, A., Fujikawa, J., Kobayashi, H., Yasuhiko, D., 1993. "Variable - Structured Robust Controller by Fuzzy Logic for servo motors", IEEE Trans. on Industrial Electronics, Vol. 40, No. 1: p.p. 80 - 88

Teeter, J. T., Chow, M. Y., Brickley J. J., 1996. " A Novel Fuzzy Friction Compensation Approach to Improve the Performance of a DC Motor Control System", IEEE Trans. on Industrial Electronics, Vol. 43, No. 1: p.p. 113 - 120

Togai, M., and Watanebe, H., 1986. Expert System on a Chip: An Engine for real-time approximate reasoning, IEEE Expert Syst. Mag., Vol 1: p.p. 55-62

Tong, R.M., 1977. A Control Engineering Review of Fuzzy System, Automatica, Vol. 13:p.p. 550-569



Tong, R.M., and Bonissone, P.P., 1980. A Linguistic Approach to Decision Making with Fuzzy Set, IEEE Trans. Sys., Man, Cybern., Vol. 10: p.p. 716-723

Tong, R.M., and Shapiro, D.G., 1985. Experimental Investigations of Uncertainty in a Rule-Based System for Information Retrieval, Int. J. Man. Machine Studies, Vol. 22:p.p. 265-282

Watson, S.R., Weisis, J.J., and Donell, M.L., 1979. Fuzzy Decision Analysis, IEEE Trans. Sys., Man, Cybern., Vol. SMC-9:p.p. 1-9

Whalen, T., and Schott, B., 1985. Alternative Logic for Approximate Reasoning in Expert System: a Comparative Study, Int. J. Man. Machine Studies, Vol. 22:p.p. 327-346

Wu, J. C., Liu, T.S., 1996."A Sliding - Mode Approach to Fuzzy Control Design", IEEE Trans. on Control Systems Technology, Vol.4, No.2: p.p. 141 - 150

Wu, Z. Q., 1990. "The Applications of Fuzzy Control Theory to an Oil-Fueled Annealing Furnace", Fuzzy Sets and Systems, Vol. 36: p.p. 145 - 156

Xie, W.X., 1984. An Information Measure for Fuzzy Sets, IEEE Trans. Sys., Man, Cybern., Vol. SMC-3

Yager, R., 1977. Multiple Objective Decision Making Using Fuzzy Set, Int - J. Man - Machine Studies. Vol. 9:p.p. 375-385.



Yamakawa, T., 1988. Fuzzy Microprocessors - Rule Chip and Defuzzifier Chip, Int. Workshop on Fuzzy System Applications, Lizuka, Japan, Aug. 1988: p.p. 51-52

Yamakawa, T., 1993. A fuzzy Inference Engine in nonlinear Analog Mode and Its Applications to a Fuzzy Logic Control, IEEE Trans. On Neural Networks. Vol.4:p.p. 496-522.

Yen, Y.J., Wang, F. J., Chen, Y. Y., 1993. "A Fuzzy Scheduling Controller for a Computer Disk File Track-Following Servo", IEEE Trans. on Industrial Electronics, Vol. 40, No. 2: p.p. 266-272

Zadeh, L.A., 1965. Fuzzy Sets , Information and Control, Vol. 8: p.p 338-353

Zadeh, L.A., 1973. Outline of A New Approach to the Analysis of Complex Systems and Decision Processes, IEEE Trans. Syst., Man, Cybern, Vol. SMC-3:p.p.28-44

Zadeh, L.A., 1978a. Fuzzy Sets Basis for a theory of Possibility, Fuzzy Sets and System, Vol 1:p.p. 3-28

Zadeh, L.A., 1978b. A Meaning Representation Language for Natural Languages, Int. J. Man. Machine Studies, Vol. 10:p.p. 395-460

Zadeh, L.A., 1984. Making Computer Think Like People, IEEE Spectrum.



EK 1.

(ÖZEL AMAÇLI KAYDEDİCİLER)



Seri Port Alma İşlemi Kaydedicisi:

SBUF (RX) , 07H

Ypencere 0 -oku, Ypencere 15 - yaz

| | bit 7 | bit 6 | bit 5 | bit 4 | bit 3 | bit 2 | bit 1 | bit 0 |
|----------|--|-------|-------|-------|-------|-------|-------|-------|
| Reset | 0 | 0 | 0 | 0 | 0 | 0 | 0 | 0 |
| Açıklama | Seri porttan alınan en son değeri içerir.. | | | | | | | |

Seri Port Gönderme İşlemi Kaydedicisi:

SBUF (TX) , 07H

Ypencere 0 - oku, Ypencere 15 - yaz

| | bit 7 | bit 6 | bit 5 | bit 4 | bit 3 | bit 2 | bit 1 | bit 0 |
|----------|--|-------|-------|-------|-------|-------|-------|-------|
| Reset | 0 | 0 | 0 | 0 | 0 | 0 | 0 | 0 |
| Açıklama | Seri porttan gönderilecek veri yazılır | | | | | | | |

Seri Port Denetleme Kaydedicisi:

SP_CON , 11H

Ypencere 0 -yaz, Ypencere 15 - oku

| | bit 7 | bit 6 | bit 5 | bit 4 | bit 3 | bit 2 | bit 1 | bit 0 |
|----------|--|-------|-------|---|---|--|--|-------|
| Reset | 0 | 0 | 0 | 0 | 0 | 0 | 0 | 0 |
| Adı | - | - | - | TB8 | REN | PEN | SER_MODE | |
| Fonks. | - | - | - | Gönderme işleminde 9. veri biti | Alma işlemine izin | Çift Eşitlik işlemine izin | Mod seçme işlemi | |
| Açıklama | Bu bitler daima sıfırdır ve saklı durumdadırlar. | | | Mod 2 ve 3 'de 9. veri biti. Gönderme işleminden sonra sıfırlanır. SP_CON.2=1 ise gönderme işleminde çift eşitlik biti olur. | 1: P2.1 / RXD RXD 'ye izin . (Mod 1,2,3) 0: Alma işlemi durur. (Mod 1,2,3) 1: Alma işlemi başlar.(Mod 0) 0: Gönderme işlemi başlar. (Mod 0) | 1: Gönderme işleminde TB8 çift eşitlik değeri, alma işleminde SP_STAT.7 biti Alma işlemi eşitlik hata biti olur.(Mod 1, 3) 0: Mod 2 | 0 0 : mod 0 0 1 : mod 1 1 0 : mod 2 1 1 : mod 3 | |

Seri Port Durum Kaydedicisi

SP_STAT, 11H

Ypencere 0 - oku, Ypencere 15 - yaz

| | bit 7 | bit 6 | bit 5 | bit 4 | bit 3 | bit 2 | bit 1 | bit 0 |
|----------|--|---|---|--|--|---|---|-------|
| Reset | 0 | 0 | 0 | 1 | 0 | 0 | 1 | 1 |
| Adı | RPE / RB8 | RI | TI | FE | TXE | OE | - | - |
| Fonks | Alma işlemi Eşitlik Hatası veya alınan bit 8 | Alma isteği | Gönderme isteği | Çerçeve hatası | SBUF(TX) boş | Üzerine yazma hatası | - | - |
| Açıklama | SP_CON.2=1 ise alınan eşitlik hatası SP_CON.2=0 ise 9. veri biti | 1:Alma işlemi tamam 0:Alma işlemi tamam değil | 1:Durma biti gönderilmeye başladı (Gönderme işlemi tamam) 0: Gönderme işlemi tamamlanmadı | 1: Alınan bilgide durma biti yok 0: Durma biti var | 1:Gönderme kaydedicisi boş 0: Kaydedici dolu | 1: Alınan veri okunmadan üzerine bilgi yazıldı 0: Yazılma yok | Bu bitler daima sıfırdır ve saklı durumda | |

Karakter Hızı Kaydedicisi

BAUD_RATE, 0EH

Tüm pencerelerde oku, yaz

Kaydedicinin bulunduğu adrese ilk yazmadaki durum:

| | bit 7 | bit 6 | bit 5 | bit 4 | bit 3 | bit 2 | bit 1 | bit 0 |
|-----------|---|-------|-------|-------|-------|-------|-------|-------|
| Reset | 0 | x | 0 | 0 | 0 | 0 | 0 | 0 |
| Açıklama. | Karakter Hızı kelime değerinin en az ağırlıklı baytı belirler | | | | | | | |

Kaydedicinin bulunduğu adrese ikinci yazmadaki durum:

| | bit 7 | bit 6 | bit 5 | bit 4 | bit 3 | bit 2 | bit 1 | bit 0 |
|----------|---|-------|---|-------|-------|-------|-------|-------|
| Reset | 0 | x | 0 | 0 | 0 | 0 | 0 | 0 |
| Açıklama | 1:XTAL1 Saat darbeleri içeriden - f_{osc} 0:T2CLK Saat darbeleri dışarıdan | | Karakter Hızı kelime değerinin en fazla ağırlıklı 7 bitini belirler | | | | | |

Giriş / Çıkış Denetleme Kaydedicisi 1

IOC1, 16H

Ypencere 0 - yaz, Ypencere 15 - oku

| | bit 7 | bit 6 | bit 5 | bit 4 | bit 3 | bit 2 | bit 1 | bit 0 |
|-----------|---|-------------------|------------------|-------------------|--|--|---|------------------|
| Reset | 0 | 0 | 1 | 0 | 0 | 0 | 0 | 1 |
| Adı | HSI_ INT | HSO5_ ENA | TXD_ SEL | HSO4_ ENA | T2OVF_ INT | T1OVF_ INT | EXTINT_ SRC | PWM_ SEL |
| Fonk | HSI kesme işlemi kaynağı | HSO.5/ HSL3 | P2.0/ TXD | HSO.4 / HSL2 | Zamanl.2 taşma kesme isteğine izin | Zamanl.1 taşma kesme isteğine izin | Dış kesme isteği kaynak | P2.5/ PWM çıkış |
| Açık lama | 1: HSI FIFO doldu 0:HSI dan bilgi okunabilir. INT 02, 2004H ve INT_MASK.2 =1 ise kesme isteğine izin verilir. | 1:HSO.5 0:HSL3 | 1:TXD 0:P 2.0 | 1:HSO.4 0:HSL2 | 1:Taşma kesme isteği kaynağı olarak Zamanl.2'ye izin var 0:Taşma kesme isteği kaynağı olarak Zamanl.2'ye izin yok INT 00 2000H ve INT_MASK.0=1 ise kesme isteğine izin verilir IOS1.4 kesme isteği durumu | 1:Taşma kesme isteği kaynağı olarak Zamanl.1'e izin var 0:Taşma kesme isteği kaynağı olarak Zamanl.1'e izin yok INT 00 2000H ve INT_MASK.0=1 ise kesme isteğine izin verilir IOS1.4 kesme isteği durumu | 1: P0.7 0: P2.2 INT_MASK.7=1 ise kesme isteğine izin var. INT 07 , 200EH | 0: P2.5 1:PWM |

Pencere Seçme Kaydedicisi

WSR, 14H

Tüm pencerelerde oku, yaz

| | bit 7 | bit 6 | bit 5 | bit 4 | bit 3 | bit 2 | bit 1 | bit 0 |
|----------|----------------------------------|---|--|---|---|-------|-------|-------|
| Reset | 0 | X | X | X | 0 | 0 | 0 | 0 |
| Adı | HLDEN | W6 | W5 | W4 | W3 | W2 | W1 | W0 |
| Fonks. | HOLD# /HLDA# işlemine izin | Pencere seçme | Pencere seçme | Pencere seçme | Pencere seçme bitleri | | | |
| Açıklama | 1: İzin var 0: İzin yok | 1: Düşey pencere 32 Bayt 0:Etkisiz | 1: Düşey pencere 64 Bayt 0: Etkisiz | 1: Düşey pencere 128 Bayt 0: Etkisiz | W4, W5 ve W6 bitleri lojik 0 ise seçilen düşey pencerede bu bitlere yazılacak sayının değerinde yatay pencereler seçilir. Eğer W4, W5 ve W6 bitlerinin herhangi biri lojik 1 ise bu bitler düşey pencereyi ve bu düşey pencerenin boyutunu seçer. | | | |

Giriş / Çıkış Denetleme Kaydedicisi 0

IOC0, 15H

Ypencere 0 - yaz, Ypencere 15 - oku

| | bit 7 | bit 6 | bit 5 | bit 4 | bit 3 | bit 2 | bit 1 | bit 0 |
|----------|---|--|---|--|--|--|--|--|
| Reset | 0 | 0 | 0 | 0 | 0 | 0 | X | 0 |
| Adı | T2CLK_ SRC | HSI3_ ENA | T2RST_ SRC | HSI2_ ENA | T2RST_ ENA | HSI1_ ENA | SW_ T2RST | HSIO_ ENA |
| Fonk | Zaman2 için saat darb. kaynağı | HSI girişi olarak HSL.3 'e izin | Zaman2 için dış sıfırlama. kaynağı | HSI girişi olarak HSL.2 'e izin | Zaman2 için dış sıfırlama- ya izini | HSI girişi olarak HSL.1 'e izin | Zaman2 için yazılımda sıfırlama | HSI girişi olarak HSL.0 'e izin |
| Açıklama | 1:HSL.1 0:T2CLK ve IOC0.3=0 olmalı. | FIFO'ya sayıcı sonucunu yüklemek için tetikleme girişi 1:HSL.3'e izin var 0:HSL.3'e izin yok | 1: HSL.0 bacağı çıkan kenar 0:T2RST bacağı çıkan kenar IOC0.3= 1 olmalı. | FIFO'ya sayıcı sonucunu yüklemek için tetikleme girişi 1:HSL.2'e izin var 0:HSL.2'e izin yok | 1: İzin var 0: İzin yok | FIFO'ya sayıcı sonucunu yüklemek için tetikleme girişi 1:HSL.1'e izin var 0:HSL.1'e izin yok | 1: zaman2 sıfırlanır 0: zaman2 sıfırlama işlemi olmaz | FIFO'ya sayıcı sonucunu yüklemek için tetikleme girişi 1:HSL.0'e izin var 0:HSL.0'e izin yok |

Giriş / Çıkış Denetleme Kaydedicisi 2

IOC2, 0BH

Ypencere 0 - yaz, Ypencere 15 - oku

| | bit 7 | bit 6 | bit 5 | bit 4 | bit 3 | bit 2 | bit 1 | bit 0 |
|----------|------------------------------------|-----------------------------------|--|---|--|--|---|---|
| Reset | 0 | 0 | 0 | 0 | 0 | 0 | X | 0 |
| Adı | CAM_CLR | LOCK_ENA | T2ALT_INT | AD_FAST | AD_TIME_ENA | SLOW_PWM | T2UD_ENA | FAST_T2_ENA |
| Fonk | Tüm CAM girişlerini sıfırlama | CAM girişlerini kilitleme-ye izin | Zaman2 için taşma sınırlarını seçme | A/D için saat darbesi ayarına izin | AD_TIME kaydedici-ne izin | PWM için saat darbesi ayarına izin | Zamanl. 2 için ileri/geri saymaya izin | Zamanl. 2 için hızlı saymaya izin |
| Açıklama | 1:sıfırlama var 0:sıfırlama yok | 1:İzin var 0:İzin yok | 1:7FFFH/8000H 0: FFFH/0000H Zamanl2 taşma kesme isteği için sınır seçer INT_MASK1.4 =1izin var INT 12 2038H | 1:Normal mod Çevirim 89.5 durum zamanı 0:Hızlı mod Çevirim zamanı 156.5 durum zamanı | 1:AD_TIME çevirim zamanını belirler. 0: ise 80C196KB uyumlu mod | 1:İzin var PWM çıkış periyodu 512 durum zamanı 1:İzin yok PWM çıkış periyodu 256 durum zamanı | 1: ise P2.6= 1 geri sayma P2.6=0 ileri sayma 0:ise Sürekli ileri sayma | 1: Hızlı saymaya izin. Her darbeye bir sayma *HSO'da kullanm 0: Normal saymaya izin. Her sekiz darbeye bir sayma |

Kesme İsteği Önleme Kaydedicisi 1

INT_MASK1, 13H

Tüm pencerelerde yaz, oku

| | bit 7 | bit 6 | bit 5 | bit 4 | bit 3 | bit 2 | bit 1 | bit 0 |
|----------|---|---------------------------|--|---|----------------------------|---|---|---|
| Reset | 0 | 0 | 0 | 0 | 0 | 0 | 0 | 0 |
| Adı | NMI_MASK | FIFO_MASK | EXTINT1_MASK | T2OVF_MASK | T2CAP_MASK | HSI4_MASK | RI_MASK | TI_MASK |
| Fonk | NMI | HSI FIFO dolu | EXTINT bacağı | Zamanl2 taşma | Zamanl2 tutma | HSI FIFO4 | Alma işlemi | Gönderme |
| Açıklama | X: Her iki durumda NMI'ya izin var. INT 15, 203EH | 1: İzin var INT 14, 203CH | 1: İzin var. P2.2 bacağı EXTINT-(P0.7) veya EXTINT1 üretebilir. INT 13 203AH | 1: İzin var. IOC2.5 taşma sınırını seçer. INT 12, 2038H | 1: İzin var. INT 11, 2036H | 1: HSI FIFO4 kesme isteğine izin var. INT 10, 2034H | 1: İzin var ve INT_MASK1.0 =1, INT_MASK.6 =0 olmalıdır. INT 09, 2032H | 1: İzin var ve INT_MASK1.1 =1, INT_MASK.6 =0 olmalıdır. INT 08, 2030H |

Giriş / Çıkış Durum Kaydedicisi 1

IOS1, 16H

Ypencere0 - oku, Ypencere15 - yaz

| | bit 7 | bit 6 | bit 5 | bit 4 | bit 3 | bit 2 | bit 1 | bit 0 |
|----------|---|--|---|---|---|-------------------------|-------------------------|-------------------------|
| Reset | 0 | 0 | 0 | 0 | 0 | 0 | 0 | 0 |
| Adı | HSI_RDY | FIFO_FULL | T1_OVF | T2_OVF | SWTF3 | SWTF2 | SWTF1 | SWTF0 |
| Fonk | HSI tutma kaydedici veri hazır | FIFO altı sonuç girişi yapıldı | Zamanl1 taşma bayrağı | Zamanl2 taşma bayrağı | Yazılım Zamanl3 bayrağı | Yazılım Zamanl2 bayrağı | Yazılım Zamanl1 bayrağı | Yazılım Zamanl0 bayrağı |
| Açıklama | 1: Veri hazır 0: Hazır değil Kesme isteği oluşturur | 1: FIFO'ya altı veya daha fazla sonuç girildi. Kesme isteği oluşturur | 1: Taşma kesme isteğini zamanl1 oluşturdu. INT_MASK.0 = 1 olmalı INT 00, 2000H | 1: Taşma kesme isteğini zamanl2 oluşturdu. INT_MASK.0 = 1 olmalı INT 00, 2000H | Bu bitlerden herhangi biri lojik 1 ise ilgili zamanlayıcının sona ulaştığını gösterir ve INT 05, 200AH kesme isteğini oluştururlar. | | | |

HSI Durum Kaydedicisi

HSI_STATUS, 06H

Ypencere 0 - oku, Ypencere 15 - bit 0,2,4,6 yaz

| | bit 7 | bit 6 | bit 5 | bit 4 | bit 3 | bit 2 | bit 1 | bit 0 |
|----------|--|--------------------------|--|--------------------------|--|--------------------------|---|--------------------------|
| Reset | 0 | X | 0 | X | 0 | X | 0 | X |
| Adı | HSI3_EVENT | HSI3_STAT | HSI2_EVENT | HSI2_STAT | HSI1_EVENT | HSI1_STAT | HSI0_EVENT | HSI0_STAT |
| Fonk | HSI.3 Bacağı sonucu | HSI.3 Bacağı konumu | HSI.2 Bacağı sonucu | HSI.2 Bacağı konumu | HSI.1 Bacağı sonucu | HSI.1 Bacağı konumu | HSI.0 Bacağı sonucu | HSI.0 Bacağı konumu |
| Açıklama | 1:Sonuç için tetikleme oluştu 0:sonuç için tetikleme oluşmadı | HSI.3 'de o andaki konum | 1:Sonuç için tetikleme oluştu 0:sonuç için tetikleme oluşmadı | HSI.2 'de o andaki konum | 1:Sonuç için tetikleme oluştu 0:sonuç için tetikleme oluşmadı | HSI.1 'de o andaki konum | 1:Sonuç için tetikleme oluştu 0:sonuç için tetikleme oluşmadı. | HSI.0 'da o andaki konum |

HSI Zaman Kaydedicisi:

HSI_TIME, 04H (HSI_TIME alt bayt)

Ypencere 0 -oku, Ypencere 15 - yaz

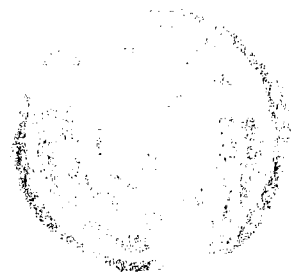
| | bit 7 | bit 6 | bit 5 | bit 4 | bit 3 | bit 2 | bit 1 | bit 0 |
|----------|--|-------|-------|-------|-------|-------|-------|-------|
| Reset | X | X | X | X | X | X | X | X |
| Açıklama | HSI girişlerinin herhangi birinde sonuç oluştuğunda zamanlayıcı 1 'deki değerin alt baytı yüklenir | | | | | | | |

HSI Zaman Kaydedicisi:

HSI_TIME, 05H (HSI_TIME üst bayt)

Ypencere 0 -oku, Ypencere 15 - yaz

| | bit 7 | bit 6 | bit 5 | bit 4 | bit 3 | bit 2 | bit 1 | bit 0 |
|----------|--|-------|-------|-------|-------|-------|-------|-------|
| Reset | X | X | X | X | X | X | X | X |
| Açıklama | HSI girişlerinin herhangi birinde sonuç oluştuğunda zamanlayıcı 1 'deki değerin üst baytı yüklenir | | | | | | | |



Kesinti Önleme Kaydedicisi

INT_MASK, 08H

Tüm pencerelerde yaz, oku

| | bit 7 | bit 6 | bit 5 | bit 4 | bit 3 | bit 2 | bit 1 | bit 0 |
|----------|--|--|---|---|---|---|---|--|
| Reset | 0 | 0 | 0 | 0 | 0 | 0 | 0 | 0 |
| Adı | EXTINT_MASK | SER_MASK | SWT_MASK | HSIO_MASK | HSO_MASK | HSIDAT_MASK | AD_MASK | TIMER_MASK |
| Fonk | EXTINT veya P0.7 kesme isteği | Seri port | Yazılım zamanl. | HSL0 dış kesme isteği | HSO sonuç çıkışı | HSI veri okunabilir FIFO dolu | A/D çevrimi tamam | Zamanl1/ Zamanl2 taşma |
| Açıklama | 1:EXTINT kesme isteğine izin verilir. IOC1.1 kesme isteği kaynağını seçer. (P0.7 veya P2.2 bacağı) | 1: Seri port kesme isteğine izin verilir. INT 06, 200CH INT_MASK1.0 =1, alma INT_MASK1.1 =1 gönder | 1: Yazılım zamanlayıcısı kesme isteğine izin verilir. INT 05, 200AH | 1: HSL0 bacağı kesme isteğine izin verilir. INT 04, 2008H | 1: HSO kesme isteğine izin verilir. INT 03, 2006H | 1: HSI'da veri okunabilir kesme isteğine izin verilir. IOC1.7 kesme isteği kaynağını seçer. INT 02, 2004H | 1: A/D çevrimi tamamladı kesme isteğine izin verilir. INT 01, 2002H | 1: Taşma kesme isteğine izin verilir. IOC1.2=1 kaynak Zamanl1 INT 00 IOC1.3=1 kaynak Zamanl2 INT 00 / INT 12 |

Tümdevre Ayarlama Kaydedicisi:

| Bit | Bit adı | Fonksiyonu | Reset | Tanımlama | | | | | | | | | | | | | | | |
|------|-----------------|--------------------------------------|-------|--|------|------|----------------------|---|---|-------------------------------|---|---|----------------------|---|---|----------------------|---|---|------------------------------|
| 0 | PD | Çekilen güçü azaltmak için izin | 1 | Mikrodenetleyicinin harcadığı güçü azaltmak için kullanılır. Bu bit lojik 1 ise güç azaltma moduna izin verilir. Eğer lojik 0 ise izin verilmez. | | | | | | | | | | | | | | | |
| 1 | BW0 | Yol genişliğini denetleme | 1 | Dinamik veya 8 bitlik yol genişliğini seçer. 1=Yol genişliği BUSWIDTH bacağındaki konum ile denetlenir BUSWIDTH=1, yol 16 bitlik BUSWIDTH=0, yol 8 bitlik 0= Yol genişliği 8 bitlik olur ve BUSWIDTH bacağı yol genişliğini denetleyemez. | | | | | | | | | | | | | | | |
| 2 | WR | Yazma- Tutma modunu seçme | 1 | 1= Geçerli adres ve standart yol modunda WR# ve BHE# sinyalleri üretir. 0= Yazma - Tutma ve Yazma - Tutma ile beraber geçerli adres modunda WRL# ve WRH# sinyalleri üretir. | | | | | | | | | | | | | | | |
| 3 | ALE | Geçerli adres tutma modunu denetleme | 1 | 1= Yazma - tutma ve Standart yol modunda geçerli adresi tutmak için ALE sinyali üretir. 0= ALE sinyali yerine ADV# sinyali üretir ve dış belleği kolay yoldan seçmek için kullanılır. | | | | | | | | | | | | | | | |
| 4 | IORC0- IORC1 | İç hazır olma durumunu denetleme | 10 | Yavaş dış üniteler ile uyumlu çalışmak için bekleme zamanını belirler. <table border="1"> <thead> <tr> <th>IRC1</th> <th>IRC0</th> <th>Maks. Bekleme Zamanı</th> </tr> </thead> <tbody> <tr> <td>0</td> <td>0</td> <td>1</td> </tr> <tr> <td>0</td> <td>1</td> <td>2</td> </tr> <tr> <td>1</td> <td>0</td> <td>3</td> </tr> <tr> <td>1</td> <td>1</td> <td>READY bacağı ile denetlenir.</td> </tr> </tbody> </table> | IRC1 | IRC0 | Maks. Bekleme Zamanı | 0 | 0 | 1 | 0 | 1 | 2 | 1 | 0 | 3 | 1 | 1 | READY bacağı ile denetlenir. |
| IRC1 | IRC0 | Maks. Bekleme Zamanı | | | | | | | | | | | | | | | | | |
| 0 | 0 | 1 | | | | | | | | | | | | | | | | | |
| 0 | 1 | 2 | | | | | | | | | | | | | | | | | |
| 1 | 0 | 3 | | | | | | | | | | | | | | | | | |
| 1 | 1 | READY bacağı ile denetlenir. | | | | | | | | | | | | | | | | | |
| 5 | LOC0- LOC1 | Kilitleme bitleri | 00 | İç program belleğinin korunmasını sağlar. <table border="1"> <thead> <tr> <th>LOC1</th> <th>LOC0</th> <th>koruma</th> </tr> </thead> <tbody> <tr> <td>0</td> <td>0</td> <td>okuma ve yazmayı önlemek için</td> </tr> <tr> <td>0</td> <td>1</td> <td>okumayı önlemek için</td> </tr> <tr> <td>1</td> <td>0</td> <td>yazmayı önlemek için</td> </tr> <tr> <td>1</td> <td>1</td> <td>koruma yoktur.</td> </tr> </tbody> </table> | LOC1 | LOC0 | koruma | 0 | 0 | okuma ve yazmayı önlemek için | 0 | 1 | okumayı önlemek için | 1 | 0 | yazmayı önlemek için | 1 | 1 | koruma yoktur. |
| LOC1 | LOC0 | koruma | | | | | | | | | | | | | | | | | |
| 0 | 0 | okuma ve yazmayı önlemek için | | | | | | | | | | | | | | | | | |
| 0 | 1 | okumayı önlemek için | | | | | | | | | | | | | | | | | |
| 1 | 0 | yazmayı önlemek için | | | | | | | | | | | | | | | | | |
| 1 | 1 | koruma yoktur. | | | | | | | | | | | | | | | | | |

Bilgisayardaki Hat Denetleme Kaydedicisi (3FBH)

| | bit 7 | bit 6 | bit 5 | bit 4 | bit 3 | bit 2 | bit 1 | bit 0 |
|----------|---------------------|--------------------|-------------------------|--|---|---|---|-------|
| Adı | DLAB | - | - | EPS | PEN | STB | WLS1 | WLS0 |
| Açıklama | Erişim bitini tutma | Kırma işlemi aktif | Eşitlik biti ilave etme | Çift eşitlik bitini seçme 0: tek 1: çift | Eşitlik işlemine izin 0: izin yok 1: izin var | Durma biti sayısı 0: 1 bit 1: 2 bit | Veri Uzunluğunu seçme 0 0 5 bit 0 1 6 bit 1 0 7 bit 1 1 8 bit | |

Bilgisayardaki Hat Durum Kaydedicisi (3FDH)

| | bit 7 | bit 6 | bit 5 | bit 4 | bit 3 | bit 2 | bit 1 | bit 0 |
|----------|-----------------|--|--|----------------------|----------------|----------------|----------------------|-------------------------------------|
| Adı | - | TSRE | THRE | BI | FE | PE | OE | DR |
| Açıklama | Sürekli lojik 0 | Verici ötelemeli kaydedicisi boşmu? 1: Boş 0: Dolu | Verici tutma kaydedicisi boşmu? 1: Boş 0: Dolu | Kırma kesinti durumu | Çerçeve hatası | Eşitlik hatası | Üzerine yazma hatası | Bilgi hazır 1: Hazır 0: Değil |

EK 2.

(KOMUTLAR)



| Mnemonic | Operands | Operation (Note 1) | Flags | | | | | | Notes |
|--------------|----------|---|-------|---|---|---|----|----|-------|
| | | | Z | N | C | V | VT | ST | |
| ADD/ADDB | 2 | $D \leftarrow D + A$ | ✓ | ✓ | ✓ | ✓ | ↑ | - | |
| ADD/ADDB | 3 | $D \leftarrow B + A$ | ✓ | ✓ | ✓ | ✓ | ↑ | - | |
| ADDC/ADDCB | 2 | $D \leftarrow D + A + C$ | ↓ | ✓ | ✓ | ✓ | ↑ | - | |
| SUB/SUBB | 2 | $D \leftarrow D - A$ | ✓ | ✓ | ✓ | ✓ | ↑ | - | |
| SUB/SUBB | 3 | $D \leftarrow B - A$ | ✓ | ✓ | ✓ | ✓ | ↑ | - | |
| SUBC/SUBCB | 2 | $D \leftarrow D - A + C - 1$ | ↓ | ✓ | ✓ | ✓ | ↑ | - | |
| CMP/CMPB | 2 | $D - A$ | ✓ | ✓ | ✓ | ✓ | ↑ | - | |
| MUL/MULU | 2 | $D, D + 2 \leftarrow D \times A$ | - | - | - | - | - | - | 2 |
| MUL/MULU | 3 | $D, D + 2 \leftarrow B \times A$ | - | - | - | - | - | - | 2 |
| MULB/MULUB | 2 | $D, D + 1 \leftarrow D \times A$ | - | - | - | - | - | - | 3 |
| MULB/MULUB | 3 | $D, D + 1 \leftarrow B \times A$ | - | - | - | - | - | - | 3 |
| DIVU | 2 | $D \leftarrow (D, D + 2) / A, D + 2 \leftarrow \text{remainder}$ | - | - | - | ✓ | ↑ | - | 2 |
| DIVUB | 2 | $D \leftarrow (D, D + 1) / A, D + 1 \leftarrow \text{remainder}$ | - | - | - | ✓ | ↑ | - | 3 |
| DIV | 2 | $D \leftarrow (D, D + 2) / A, D + 2 \leftarrow \text{remainder}$ | - | - | - | ✓ | ↑ | - | |
| DIVB | 2 | $D \leftarrow (D, D + 1) / A, D + 1 \leftarrow \text{remainder}$ | - | - | - | ✓ | ↑ | - | |
| AND/ANDB | 2 | $D \leftarrow D \text{ AND } A$ | ✓ | ✓ | 0 | 0 | - | - | |
| AND/ANDB | 3 | $D \leftarrow B \text{ AND } A$ | ✓ | ✓ | 0 | 0 | - | - | |
| OR/ORB | 2 | $D \leftarrow D \text{ OR } A$ | ✓ | ✓ | 0 | 0 | - | - | |
| XOR/XORB | 2 | $D \leftarrow D \text{ (excl. or) } A$ | ✓ | ✓ | 0 | 0 | - | - | |
| LD/LDB | 2 | $D \leftarrow A$ | - | - | - | - | - | - | |
| ST/STB | 2 | $A \leftarrow D$ | - | - | - | - | - | - | |
| XCH/XCHB | 2 | $D \leftarrow A, A \leftarrow D$ | - | - | - | - | - | - | |
| LDBSE | 2 | $D \leftarrow A; D + 1 \leftarrow \text{SIGN}(A)$ | - | - | - | - | - | - | 3,4 |
| LDBZE | 2 | $D \leftarrow A; D + 1 \leftarrow 0$ | - | - | - | - | - | - | 3,4 |
| PUSH | 1 | $SP \leftarrow SP - 2; (SP) \leftarrow A$ | - | - | - | - | - | - | |
| POP | 1 | $A \leftarrow (SP); SP + 2$ | - | - | - | - | - | - | |
| PUSHF | 0 | $SP \leftarrow SP - 2; (SP) \leftarrow \text{PSW};$ $\text{PSW} \leftarrow 0000\text{H}; I \leftarrow 0$ | 0 | 0 | 0 | 0 | 0 | 0 | |
| POPF | 0 | $\text{PSW} \leftarrow (SP); SP \leftarrow SP + 2; I \leftarrow \text{✓}$ | ✓ | ✓ | ✓ | ✓ | ✓ | ✓ | |
| SJMP | 1 | $\text{PC} \leftarrow \text{PC} + 11\text{-bit offset}$ | - | - | - | - | - | - | 5 |
| LJMP | 1 | $\text{PC} \leftarrow \text{PC} + 16\text{-bit offset}$ | - | - | - | - | - | - | 5 |
| BR[indirect] | 1 | $\text{PC} \leftarrow (A)$ | - | - | - | - | - | - | |
| TIJMP | 3 | $\text{PC} \leftarrow [A] + 2 * ([B] \text{ AND } C)$ | - | - | - | - | - | - | |
| SCALL | 1 | $SP \leftarrow SP - 2;$ $(SP) \leftarrow \text{PC}; \text{PC} \leftarrow \text{PC} + 11\text{-bit offset}$ | - | - | - | - | - | - | 5 |
| LCALL | 1 | $SP \leftarrow SP - 2; (SP) \leftarrow \text{PC};$ $\text{PC} \leftarrow \text{PC} + 16\text{-bit offset}$ | - | - | - | - | - | - | 5 |

| Mnemonic | Operands | Operation (Note 1) | Flags | | | | | | Notes |
|------------------|----------|--|-------|---|---|---|----|----|-------|
| | | | Z | N | C | V | VT | ST | |
| RET | 0 | $PC \leftarrow (SP); SP \leftarrow SP + 2$ | - | - | - | - | - | - | |
| J (conditional) | 1 | $PC \leftarrow PC + 8\text{-bit offset}$ (if taken) | - | - | - | - | - | - | 5 |
| JC | 1 | Jump if C = 1 | - | - | - | - | - | - | 5 |
| JNC | 1 | jump if C = 0 | - | - | - | - | - | - | 5 |
| JE | 1 | jump if Z = 1 | - | - | - | - | - | - | 5 |
| JNE | 1 | Jump if Z = 0 | - | - | - | - | - | - | 5 |
| JGE | 1 | Jump if N = 0 | - | - | - | - | - | - | 5 |
| JLT | 1 | Jump if N = 1 | - | - | - | - | - | - | 5 |
| JGT | 1 | Jump if N = 0 and Z = 0 | - | - | - | - | - | - | 5 |
| JLE | 1 | Jump if N = 1 or Z = 1 | - | - | - | - | - | - | 5 |
| JH | 1 | Jump if C = 1 and Z = 0 | - | - | - | - | - | - | 5 |
| JNH | 1 | Jump if C = 0 or Z = 1 | - | - | - | - | - | - | 5 |
| JV | 1 | Jump if V = 0 | - | - | - | - | - | - | 5 |
| JNV | 1 | Jump if V = 1 | - | - | - | - | - | - | 5 |
| JVT | 1 | Jump if VT = 1; Clear VT | - | - | - | - | 0 | - | 5 |
| JNVT | 1 | Jump if VT = 0; Clear VT | - | - | - | - | 0 | - | 5 |
| JST | 1 | Jump if ST = 1 | - | - | - | - | - | - | 5 |
| JNST | 1 | Jump if ST = 0 | - | - | - | - | - | - | 5 |
| JBS | 3 | Jump if Specified Bit = 1 | - | - | - | - | - | - | 5,6 |
| JBC | 3 | Jump if Specified Bit = 0 | - | - | - | - | - | - | 5,6 |
| DJNZ/ DJNZW | 1 | $D \leftarrow D - 1;$ If $D \neq 0$ then $PC \leftarrow PC + 8\text{-bit offset}$ | - | - | - | - | - | - | 5 |
| DEC/DECB | 1 | $D \leftarrow D - 1$ | ✓ | ✓ | ✓ | ✓ | ↑ | - | |
| NEG/NEGB | 1 | $D \leftarrow 0 - D$ | ✓ | ✓ | ✓ | ✓ | ↑ | - | |
| INC/INCB | 1 | $D \leftarrow D + 1$ | ✓ | ✓ | ✓ | ✓ | ↑ | - | |
| EXT | 1 | $D \leftarrow D; D + 2 \leftarrow \text{Sign}(D)$ | ✓ | ✓ | 0 | 0 | - | - | 2 |
| EXTB | 1 | $D \leftarrow D; D + 1 \leftarrow \text{Sign}(D)$ | ✓ | ✓ | 0 | 0 | - | - | 3 |
| NOT/NOTB | 1 | $D \leftarrow \text{Logical Not}(D)$ | ✓ | ✓ | 0 | 0 | - | - | |
| CLR/CLRB | 1 | $D \leftarrow 0$ | 1 | 0 | 0 | 0 | - | - | |
| SHL/SHLB/SHLL | 2 | $C \leftarrow \text{msb} \dots \text{lsb} \leftarrow 0$ | ✓ | ✓ | ✓ | ✓ | ↑ | - | 7 |
| SHR/SHRB/SHRL | 2 | $0 \rightarrow \text{msb} \dots \text{lsb} \rightarrow C$ | ✓ | ✓ | ✓ | 0 | - | ✓ | 7 |
| SHRA/SHRAB/SHRAL | 2 | $\text{msb} \rightarrow \text{msb} \dots \text{lsb} \rightarrow C$ | ✓ | ✓ | ✓ | 0 | - | ✓ | 7 |
| SETC | 0 | $C \leftarrow 1$ | - | - | 1 | - | - | - | |
| CLRC | 0 | $C \leftarrow 0$ | - | - | 0 | - | - | - | |

| Mnemonic | Operands | Operation (Note 1) | Flags | | | | | | Notes |
|----------------|----------|--|-------|---|---|---|----|----|-------|
| | | | Z | N | C | V | VT | ST | |
| CLRVT | 0 | VT ← 0 | - | - | - | - | 0 | - | |
| RST | 0 | PC ← 2080H | 0 | 0 | 0 | 0 | 0 | 0 | 8 |
| DI | 0 | Disable All Interupts (I ← 0) | - | - | - | - | - | - | |
| EI | 0 | Enable All Interupts (I ← 1) | - | - | - | - | - | - | |
| DPTS | 0 | Disable all PTS Cycles (PSE = 0) | - | - | - | - | - | - | |
| EPTS | 0 | Enable all PTS Cycles (PSE = 1) | - | - | - | - | - | - | |
| NOP | 0 | PC ← PC + 1 | - | - | - | - | - | - | |
| SKIP | 0 | PC ← PC + 2 | - | - | - | - | - | - | |
| NORML | 2 | Left shift till msb = 1; D ← shift count | ✓ | ✓ | 0 | - | - | - | 7 |
| TRAP | 0 | SP ← SP - 2; (SP) ← PC; PC ← (2010H) | - | - | - | - | - | - | 9 |
| PUSHA | 1 | SP ← SP-2; (SP) ← PSW; PSW ← 0000H; SP ← SP-2; (SP) ← IMASK1/WSR; IMASK1 ← 00H | 0 | 0 | 0 | 0 | 0 | 0 | |
| POPA | 1 | IMASK1/WSR ← (SP); SP ← SP+2 PSW ← (SP); SP ← SP+2 | ✓ | ✓ | ✓ | ✓ | ✓ | ✓ | |
| IDLPD | 1 | IDLE MODE IF KEY = 1; POWERDOWN MODE IF KEY = 2; CHIP RESET OTHERWISE | - | - | - | - | - | - | |
| CMPL | 2 | D-A | ✓ | ✓ | ✓ | ✓ | ↑ | - | |
| BMOV, BMOVi | 2 | [PTR_HI] + ← [PTR_LOW] + ; UNTIL COUNT=0 | - | - | - | - | - | - | |

NOTES:

1. If the mnemonic ends in "B" a byte operation is performed, otherwise a word operation is done. Operands D, B, and A must conform to the alignment rules for the required operand type. D and B are locations in the Register File; A can be located anywhere in memory.
2. D, D + 2 are consecutive WORDS in memory; D is DOUBLE-WORD aligned.
3. D, D + 1 are consecutive BYTES in memory; D is WORD aligned.
4. Changes a byte to word.
5. Offset is a 2's complement number.
6. Specified bit is one of the 2048 bits in the register file.
7. The "L" (Long) suffix indicates double-word operation.
8. Initiates a Reset by pulling $\overline{\text{RESET}}$ low. Software should re-initialize all the necessary registers with code starting at 2080H.
9. The assembler will not accept this mnemonic.

| MNEMONIC | DIRECT | IMMED | INDIRECT | | INDEXED | |
|--------------|--------|-------|------------|-----------|-----------|----------|
| | | | NORMAL*(1) | A-INC*(1) | SHORT*(1) | LONG*(1) |
| ADD (3-op) | 4/44 | 5/45 | 4/46 | 4/46 | 5/47 | 6/47 |
| SUB (3-op) | 4/48 | 5/49 | 4/4A | 4/4A | 5/4B | 6/4B |
| ADD (2-op) | 3/64 | 4/65 | 3/66 | 3/66 | 4/67 | 5/67 |
| SUB (2-op) | 3/68 | 4/69 | 3/6A | 3/6A | 4/6B | 5/6B |
| ADDC | 3/A4 | 4/A5 | 3/A6 | 3/A6 | 4/A7 | 5/A7 |
| SUBC | 3/A8 | 4/A9 | 3/AA | 3/AA | 4/AB | 5/AB |
| CMP | 3/88 | 4/89 | 3/AB | 3/AB | 4/8B | 5/8B |
| ADDB (3-op) | 4/54 | 4/55 | 4/56 | 4/56 | 5/57 | 6/57 |
| SUBB (3-op) | 4/58 | 4/59 | 4/5A | 4/5A | 5/5B | 6/5B |
| ADDB (2-op) | 3/74 | 3/75 | 3/76 | 3/76 | 4/77 | 5/77 |
| SUBB (2-op) | 3/78 | 3/79 | 3/7A | 3/7A | 4/7B | 5/7B |
| ADDCB | 3/B4 | 3/B5 | 3/B6 | 3/B6 | 4/B7 | 5/B7 |
| SUBCB | 3/B8 | 3/B9 | 3/BA | 3/BA | 4/BB | 5/BB |
| CMPB | 3/98 | 3/99 | 3/9A | 3/9A | 4/9B | 5/9B |
| MUL (3-op) | 5/(2) | 6/(2) | 5/(2) | 5/(2) | 6/(2) | 7/(2) |
| MULU (3-op) | 4/4C | 5/4D | 4/4E | 4/4E | 5/4F | 6/4F |
| MUL (2-op) | 4/(2) | 5/(2) | 4/(2) | 4/(2) | 5/(2) | 6/(2) |
| MULU (2-op) | 3/6C | 4/6D | 3/6E | 3/6E | 4/6F | 5/6F |
| DIV | 4/(2) | 5/(2) | 4/(2) | 4/(2) | 5/(2) | 6/(2) |
| DIVU | 3/8C | 4/8D | 3/8E | 3/8E | 4/8F | 5/8F |
| MULB (3-op) | 5/(2) | 5/(2) | 5/(2) | 5/(2) | 6/(2) | 7/(2) |
| MULUB (3-op) | 4/5C | 4/5D | 4/5E | 4/5E | 5/5F | 6/5F |
| MULB (2-op) | 4/(2) | 4/(2) | 4/(2) | 4/(2) | 5/(2) | 6/(2) |
| MULUB (2-op) | 3/7C | 3/7D | 3/7E | 3/7E | 4/7F | 5/7F |
| DIVB | 4/(2) | 4/(2) | 4/(2) | 4/(2) | 5/(2) | 6/(2) |
| DIVUB | 3/9C | 3/9D | 3/9E | 3/9E | 4/9F | 5/9F |
| AND (3-op) | 4/40 | 5/41 | 4/42 | 4/42 | 5/43 | 6/43 |
| AND (2-op) | 3/60 | 4/61 | 3/62 | 3/62 | 4/63 | 5/63 |
| OR (2-op) | 3/80 | 4/81 | 3/82 | 3/82 | 4/83 | 5/83 |
| XOR | 3/84 | 4/85 | 3/86 | 3/86 | 4/87 | 5/87 |
| ANDB (3-op) | 4/50 | 4/51 | 4/52 | 4/52 | 5/53 | 5/53 |
| ANDB (2-op) | 3/70 | 3/71 | 3/72 | 3/72 | 4/73 | 4/73 |
| ORB (2-op) | 3/90 | 3/91 | 3/92 | 3/92 | 4/93 | 5/93 |
| XORB | 3/94 | 3/95 | 3/96 | 3/96 | 4/97 | 5/97 |
| PUSH | 2/C8 | 3/C9 | 2/CA | 2/CA | 3/CB | 4/CB |
| POP | 2/CC | — | 2/CE | 2/CE | 3/CF | 4/CF |

| MNEMONIC | DIRECT | IMMED | INDIRECT | | INDEXED | |
|----------|--------|-------|----------|-------|---------|------|
| | | | NORMAL | A-INC | SHORT | LONG |
| LD | 3/A0 | 4/A1 | 3/A2 | 3/A2 | 4/A3 | 5/A3 |
| LDB | 3/B0 | 3/B1 | 3/B2 | 3/B2 | 4/B3 | 5/B3 |
| ST | 3/C0 | — | 3/C2 | 3/C2 | 4/C3 | 5/C3 |
| STB | 3/C4 | — | 3/C6 | 3/C6 | 4/C7 | 5/C7 |
| XCH | 3/04 | — | — | — | 4/0B | 5/0B |
| XCHB | 3/14 | — | — | — | 4/1B | 5/1B |
| LDBSE | 3/BC | 3/BD | 3/BE | 3/BE | 4/BF | 5/BF |
| LBSZE | 3/AC | 3/AD | 3/AE | 3/AE | 4/AF | 5/AF |

| Mnemonic | Length/Opcode |
|----------|------------------------|
| PUSHF | 1/F2 |
| POPF | 1/F3 |
| PUSHA | 1/F4 |
| POPA | 1/F5 |
| TRAP | 1/F7 |
| LCALL | 3/EF |
| SCALL | 2/28-2F ⁽³⁾ |
| RET | 1/F0 |
| LJMP | 3/E7 |
| SJMP | 2/20-27 ⁽³⁾ |
| BR[] | 2/E3 |
| TIJMP | 4/E2 |
| JNST | 1/D0 |
| JST | 1/D8 |
| JNH | 1/D1 |
| JH | 1/D9 |
| JGT | 1/D2 |
| JLE | 1/DA |
| JNC | 1/B3 |
| JC | 1/D8 |
| JNVT | 1/D4 |
| JVT | 1/DC |
| JNV | 1/D5 |
| JV | 1/DD |
| JGE | 1/D6 |
| JLT | 1/DE |
| JNE | 1/D7 |
| JE | 1/DF |
| JBC | 3/30-37 |
| JBS | 3/38-3F |

| Mnemonic | Length/Opcode |
|----------|---------------|
| DJNZ | 3/E0 |
| DJNZW | 3/E1 |
| NORML | 3/0F |
| SHRL | 3/0C |
| SHLL | 3/0D |
| SHRAL | 3/0E |
| SHR | 3/08 |
| SHRB | 3/18 |
| SHL | 3/09 |
| SHLB | 3/19 |
| SHRA | 3/0A |
| SHRAB | 3/1A |
| CLRC | 1/F8 |
| SETC | 1/F9 |
| DI | 1/FA |
| EI | 1/FB |
| DPTS | 1/EC |
| EPTS | 1/ED |
| CLRVT | 1/FC |
| NOP | 1/FD |
| RST | 1/FF |
| SKIP | 2/00 |
| IDLPD | 1/F6 |
| BMOV | 3/C1 |
| BMOVI | 3/CD |

NOTES:

3. The 3 least significant bits of the opcode are concatenated with the 8 bits to form an 11-bit, 2's complement offset.

| MNEMONIC | DIRECT | IMMED | INDIRECT | | INDEXED | |
|------------------|--|-------|----------|--------|---------|-------|
| | | | NORMAL* | A-INC* | SHORT* | LONG* |
| ADD (3-op) | 5 | 6 | 7/10 | 8/11 | 7/10 | 8/11 |
| SUB (3-op) | 5 | 6 | 7/10 | 8/11 | 7/10 | 8/11 |
| ADD (2-op) | 4 | 5 | 6/8 | 7/9 | 6/8 | 7/9 |
| SUB (2-op) | 4 | 5 | 6/8 | 7/9 | 6/8 | 7/9 |
| ADDC | 4 | 5 | 6/8 | 7/9 | 6/8 | 7/9 |
| SUBC | 4 | 5 | 6/8 | 7/9 | 6/8 | 7/9 |
| CMP | 4 | 5 | 6/8 | 7/9 | 6/8 | 7/9 |
| ADDB (3-op) | 5 | 5 | 7/10 | 8/11 | 7/10 | 8/11 |
| SUBB (3-op) | 5 | 5 | 7/10 | 8/11 | 7/10 | 8/11 |
| ADDB (2-op) | 4 | 4 | 6/8 | 7/9 | 6/8 | 7/9 |
| SUBB (2-op) | 4 | 4 | 6/8 | 7/9 | 6/8 | 7/9 |
| ADDCB | 4 | 4 | 6/8 | 7/9 | 6/8 | 7/9 |
| SUBCB | 4 | 4 | 6/8 | 7/9 | 6/8 | 7/9 |
| CMPB | 4 | 4 | 6/8 | 7/9 | 6/8 | 7/9 |
| MUL (3-op) | 16 | 17 | 18/21 | 19/22 | 19/22 | 20/23 |
| MULU (3-op) | 14 | 15 | 16/19 | 17/19 | 17/20 | 18/21 |
| MUL (2-op) | 16 | 17 | 18/21 | 19/22 | 19/22 | 20/23 |
| MULU (2-op) | 14 | 15 | 16/19 | 17/19 | 17/20 | 18/21 |
| DIV | 26 | 27 | 28/31 | 29/32 | 29/32 | 30/33 |
| DIVU | 24 | 25 | 26/29 | 27/30 | 27/30 | 28/31 |
| MULB (3-op) | 12 | 12 | 14/17 | 13/15 | 15/18 | 16/19 |
| MULUB (3-op) | 10 | 10 | 12/15 | 12/16 | 12/16 | 14/17 |
| MULB (2-op) | 12 | 12 | 14/17 | 15/18 | 15/18 | 16/19 |
| MULUB (2-op) | 10 | 10 | 12/15 | 13/15 | 12/16 | 14/17 |
| DIVB | 18 | 18 | 20/23 | 21/24 | 21/24 | 22/25 |
| DIVUB | 16 | 16 | 18/21 | 19/22 | 19/22 | 20/23 |
| AND (3-op) | 5 | 6 | 7/10 | 8/11 | 7/10 | 8/11 |
| AND (2-op) | 4 | 5 | 6/8 | 7/9 | 6/8 | 7/9 |
| OR (2-op) | 4 | 5 | 6/8 | 7/9 | 6/8 | 7/9 |
| XOR | 4 | 5 | 6/8 | 7/9 | 6/8 | 7/9 |
| ANDB (3-op) | 5 | 5 | 7/10 | 8/11 | 7/10 | 8/11 |
| ANDB (2-op) | 4 | 4 | 6/8 | 7/9 | 6/8 | 7/9 |
| ORB (2-op) | 4 | 4 | 6/8 | 7/9 | 6/8 | 7/9 |
| XORB | 4 | 4 | 6/8 | 7/9 | 6/8 | 7/9 |
| LD, LDB | 4, 4 | 5, 4 | 5/8 | 6/8 | 6/9 | 7/10 |
| ST, STB | 4, 4 | — | 5/8 | 6/9 | 6/9 | 7/10 |
| XCH, XCHB | 5, 5 | — | — | — | 8/13 | 9/14 |
| LDBSE | 4 | 4 | 5/8 | 6/8 | 6/9 | 7/10 |
| LDBZE | 4 | 4 | 5/8 | 6/8 | 6/9 | 7/10 |
| BMOV | 6 + 8 per word + 3 for each memory controller reference | | | | | |
| BMOVi | 7 + 8 per word + 14 for each interrupt + 3 for each memory controller reference | | | | | |
| PUSH (int stack) | 6 | 7 | 9/12 | 10/13 | 10/13 | 11/14 |
| POP (int stack) | 8 | — | 10/12 | 11/13 | 11/13 | 12/14 |
| PUSH (ext stack) | 8 | 9 | 11/14 | 12/15 | 12/15 | 13/16 |
| POP (ext stack) | 11 | — | 13/15 | 14/16 | 14/16 | 15/17 |

*Times for operands addressed as SFRs and internal RAM (0-1FFH)/memory controller references (200-0FFFFH).

NOTE:

1. Execution times for memory controller references may be one to two states higher depending on the number of bytes in the prefetch queue.
2. INT stack is 0-1FFH and EXT stack is 200-0FFFFH.

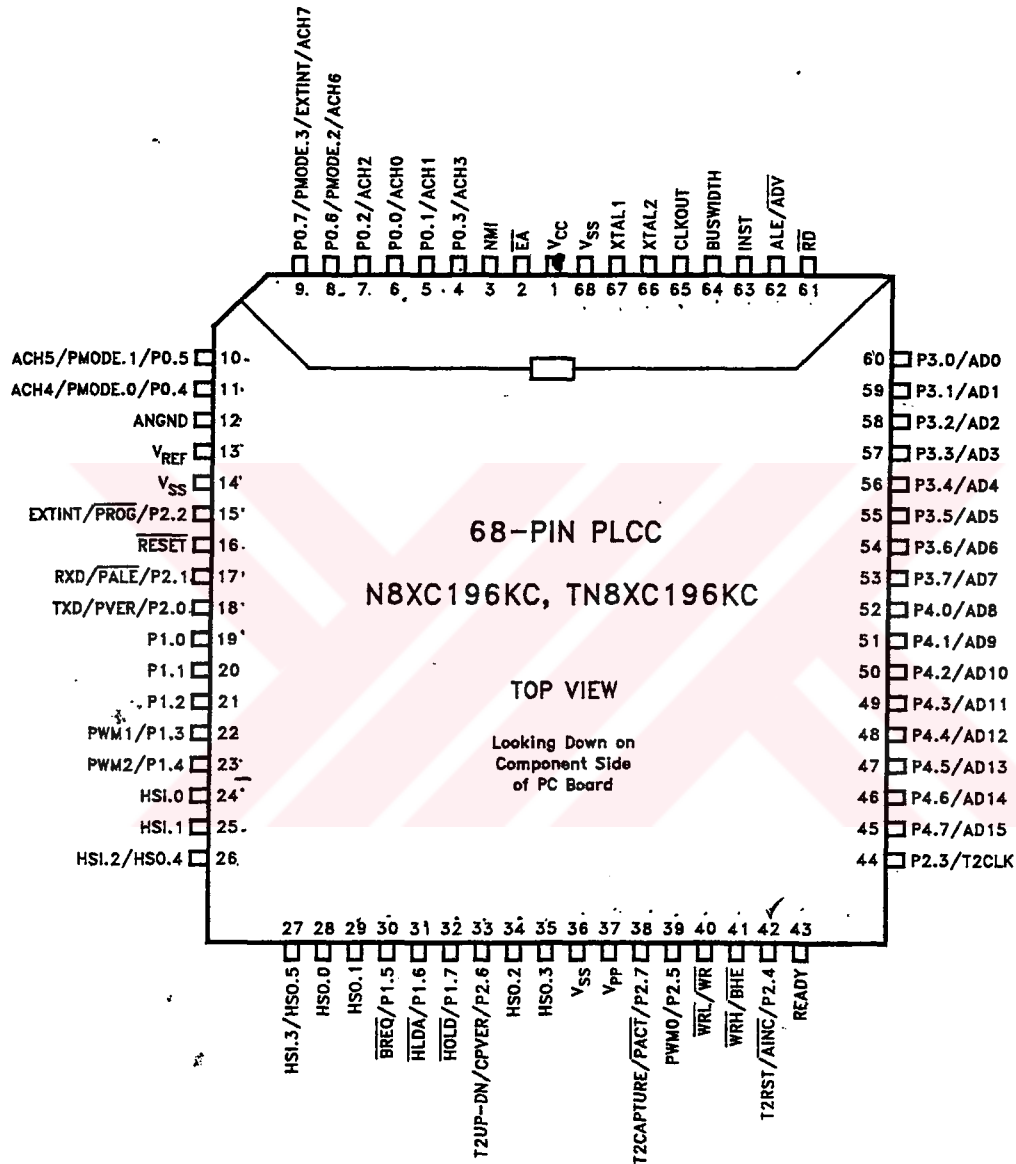


| MNEMONIC | | MNEMONIC | |
|-------------------|---|-------------------|----|
| PUSHF (int stack) | 6 | PUSHF (ext stack) | 8 |
| POPF (int stack) | 7 | POPF (ext stack) | 10 |
| PUSHA (int stack) | 12 | PUSHA (ext stack) | 18 |
| POPA (int stack) | 12 | POPA (ext stack) | 18 |
| TRAP (int stack) | 16 | TRAP (ext stack) | 18 |
| LCALL (int stack) | 11 | LCALL (ext stack) | 13 |
| SCALL (int stack) | 11 | SCALL (ext stack) | 13 |
| RET (int stack) | 11 | RET (ext stack) | 14 |
| CMPL | 7 | DEC/DECB | 3 |
| CLR/CLRB | 3 | EXT/EXTB | 4 |
| NOT/NOTB | 3 | INC/INCB | 3 |
| NEG/NEGB | 3 | | |
| LJMP | 7 | | |
| SJMP | 7 | | |
| BR [indirect] | 7 | | |
| TIJMP | 15 + 3 for each memory controller reference | | |
| JNST, JST | 4/8 jump not taken/jump taken | | |
| JNH, JH | 4/8 jump not taken/jump taken | | |
| JGT, JLE | 4/8 jump not taken/jump taken | | |
| JNC, JC | 4/8 jump not taken/jump taken | | |
| JNVT, JVT | 4/8 jump not taken/jump taken | | |
| JNV, JV | 4/8 jump not taken/jump taken | | |
| JGE, JLT | 4/8 jump not taken/jump taken | | |
| JNE, JE | 4/8 jump not taken/jump taken | | |
| JBC, JBS | 5/9 jump not taken/jump taken | | |
| DJNZ | 5/9 jump not taken/jump taken | | |
| DJNZW | 6/10 jump not taken/jump taken | | |
| NORML | 8 + 1 per shift (9 for 0 shift) | | |
| SHRL | 7 + 1 per shift (8 for 0 shift) | | |
| SHLL | 7 + 1 per shift (8 for 0 shift) | | |
| SHRAL | 7 + 1 per shift (8 for 0 shift) | | |
| SHR/SHRB | 6 + 1 per shift (7 for 0 shift) | | |
| SHL/SHLB | 6 + 1 per shift (7 for 0 shift) | | |
| SHRA/SHRAB | 6 + 1 per shift (7 for 0 shift) | | |
| CLRC | 2 | | |
| SETC | 2 | | |
| DI | 2 | | |
| EI | 2 | | |
| DPTS | 2 | | |
| EPTS | 2 | | |
| CLRVT | 2 | | |
| NOP | 2 | | |
| RST | 20 (includes fetch of configuration byte) | | |
| SKIP | 3 | | |
| IDLPD | 8/25 (proper key/improper key) | | |

EK 3.

(8XC196KC ÜST GÖRÜNÜM)



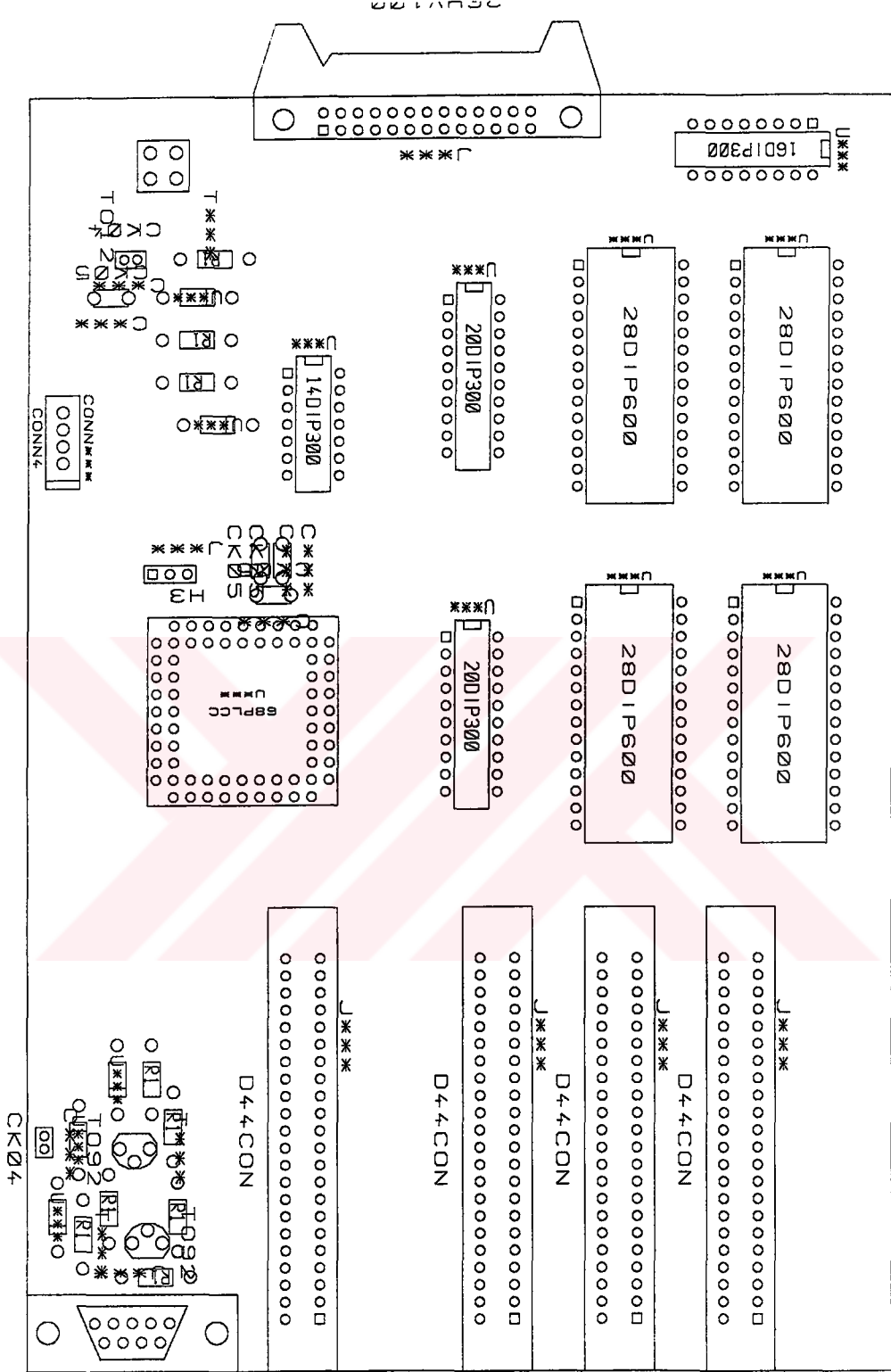


Şekil E.3.1. 8CX196KC'nin 68 bacaklı dış kılıfı

EK 4.

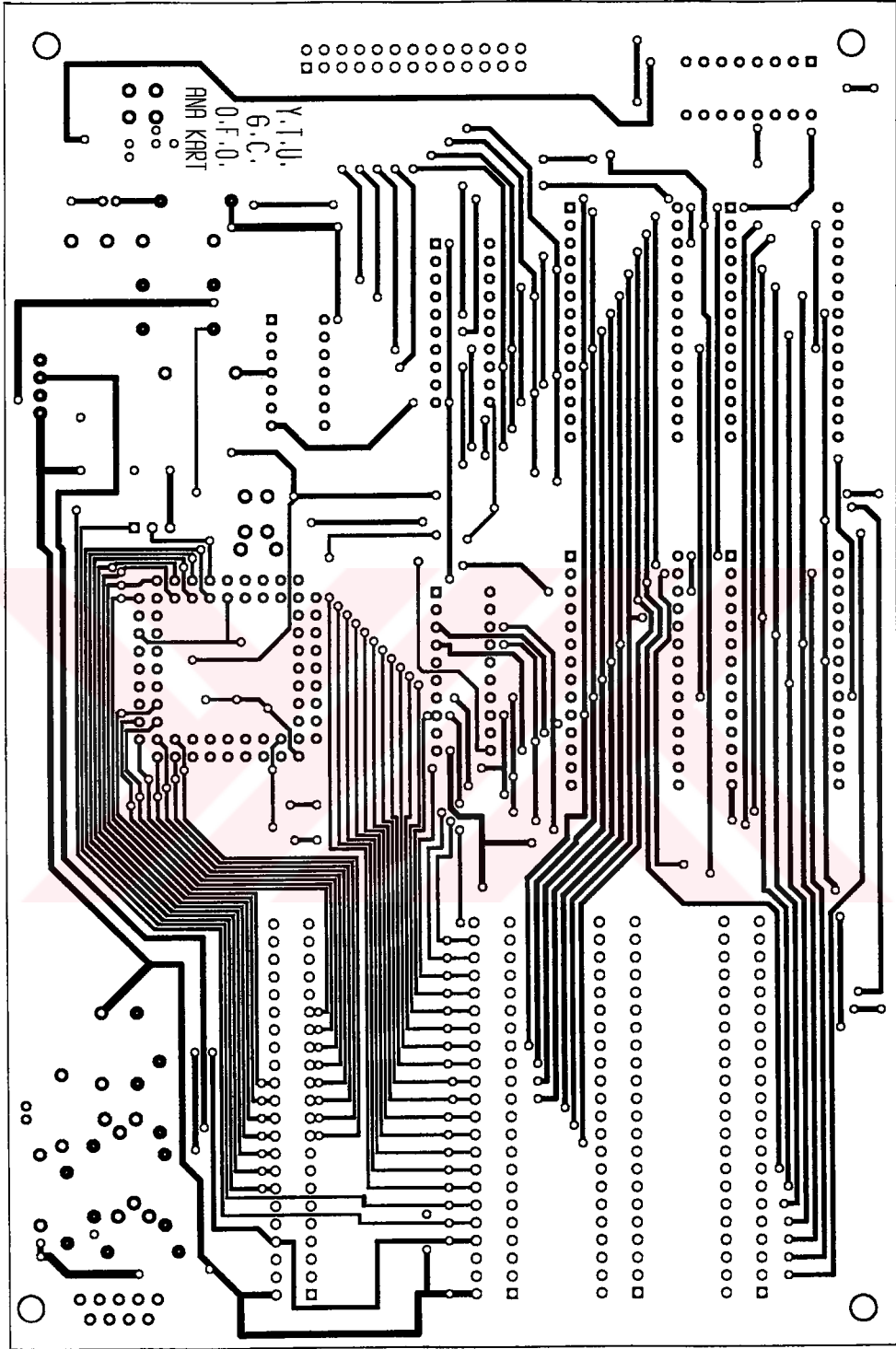
**(DEVRELERİN ÜST GÖRÜNÜMLERİ VE BASKILI
PLAKETLERİ)**



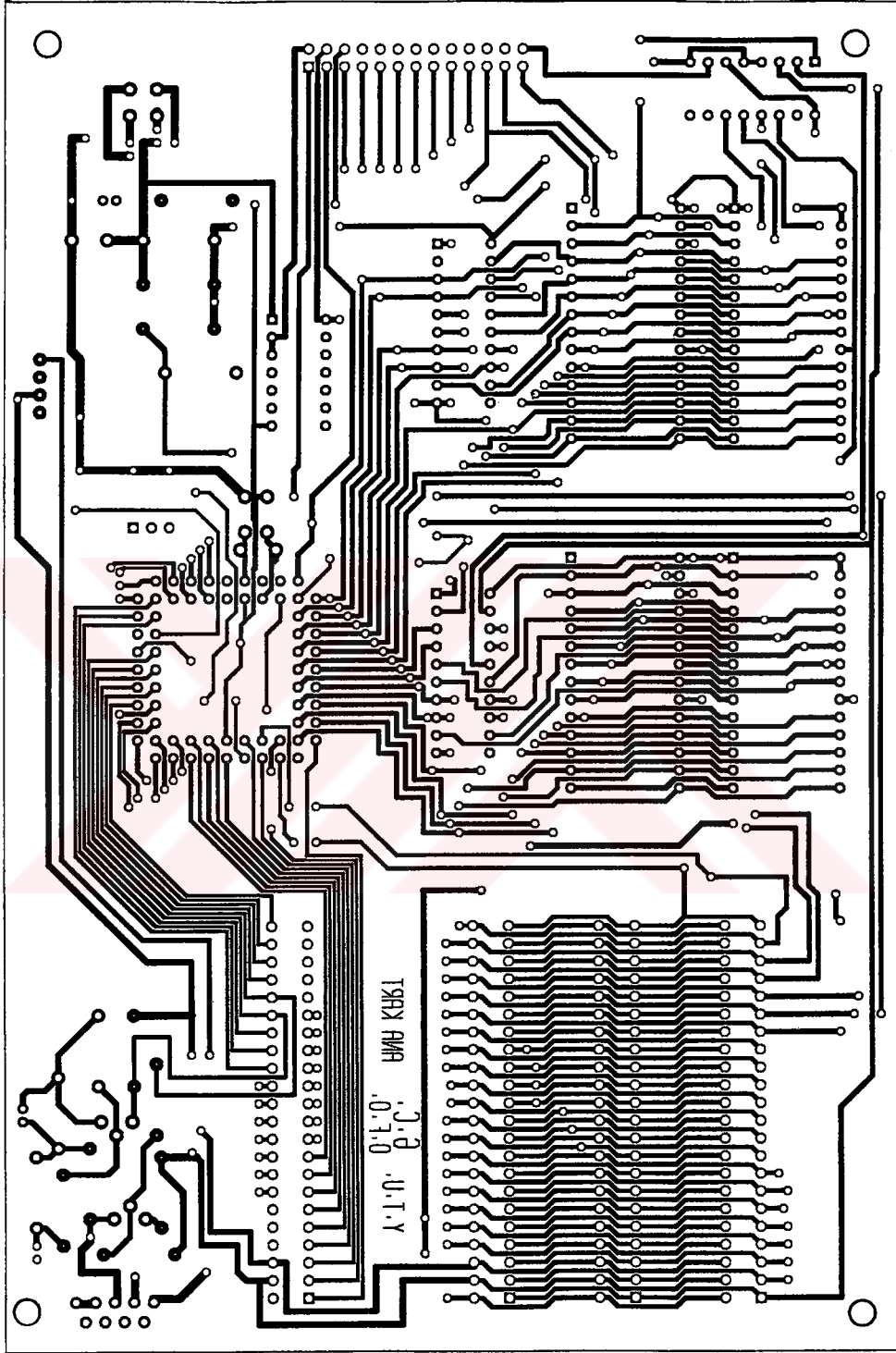


Şekil E.4.1. Anakart elemanlarının üst görünümü

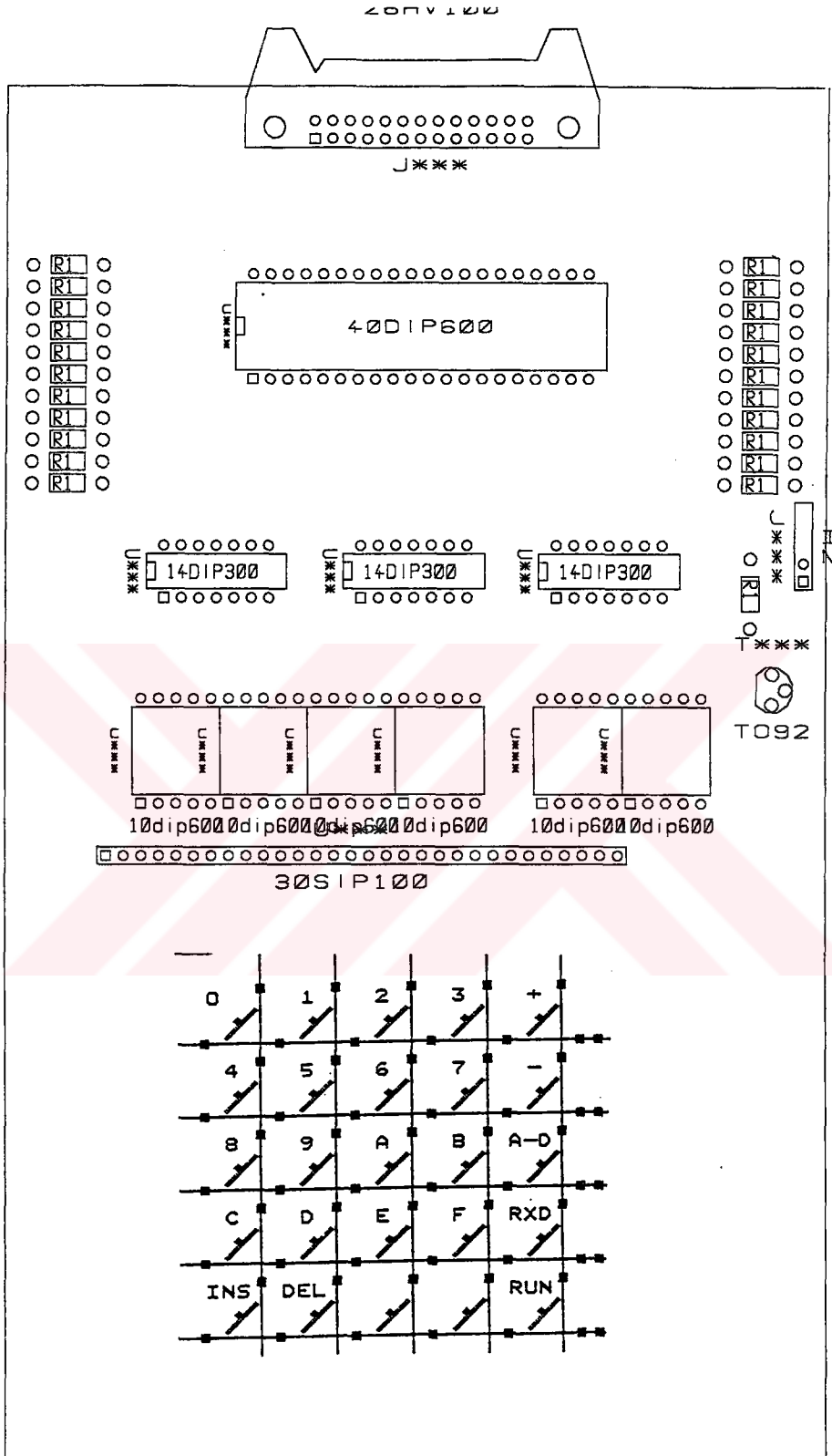




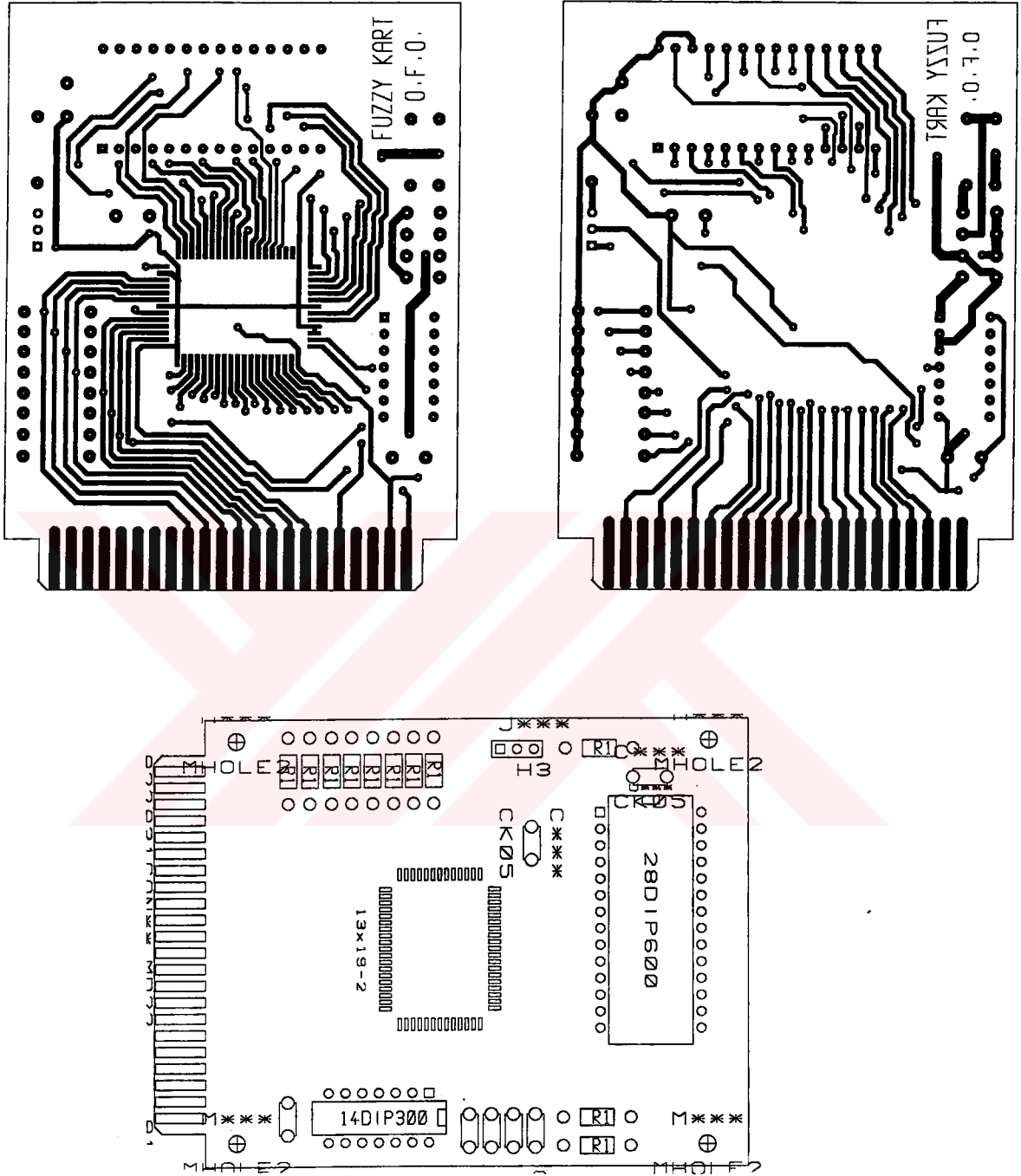
Şekil E.4.2. Anakart baskılı plaket üst yüzey görünümü



Şekil E.4.3. Anakart baskılı plaket alt yüzey görünümü



Şekil E.4.4. Gösterge ve tuş takımı devresi elemanlarının üst görünümü

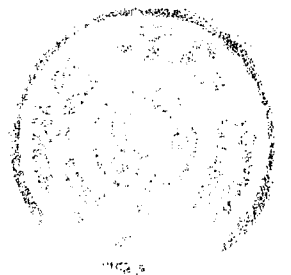


Şekil E.4.5. Fuzzy kart elemanlarının, baskılı plaketinin üst alt yüzey görünümü



EK 5.

(SİSTEME AİT PROGRAMLAR)



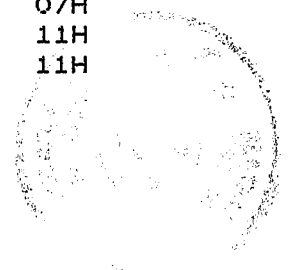
DOS 6.22 (038-N) MCS-96 MACRO ASSEMBLER, V1.2

SOURCE FILE: IKIMOTS.SRC

OBJECT FILE: IKIMOTS.OBJ

CONTROLS SPECIFIED IN INVOCATION COMMAND: PL(60) PW(80) PR

| ERR LOC | OBJECT | LINE | SOURCE STATEMENT |
|---------|--------|------|------------------------|
| | | 1 | |
| 001A | | 2 | RSEG AT 1AH |
| 001A | | 3 | AX: DSW 1 |
| | | 4 | |
| 001E | | 5 | RSEG AT 1EH |
| 001E | | 6 | CX: DSW 1 |
| | | 7 | |
| | | 8 | |
| 0026 | | 9 | RSEG AT 26H |
| 0026 | | 10 | BSRR: DSB 1 |
| | | 11 | |
| 0030 | | 12 | RSEG AT 30H |
| 0030 | | 13 | HATA: DSW 1 |
| 0032 | | 14 | FHATA: DSW 1 |
| 0034 | | 15 | HATADEG: DSW 1 |
| 0036 | | 16 | FHATADEG: DSW 1 |
| 0038 | | 17 | CARP: DSL 1 |
| 003C | | 18 | BX: DSW 1 |
| 003E | | 19 | SONUC: DSW 1 |
| 0040 | | 20 | GL: DSB 1 |
| 0041 | | 21 | GH: DSB 1 |
| 0042 | | 22 | ACC: DSB 1 |
| 0044 | | 23 | DISPB: DSW 1 |
| 0046 | | 24 | SAKLA: DSW 1 |
| 0048 | | 25 | FARK: DSW 1 |
| 004A | | 26 | SAYI: DSW 1 |
| 004C | | 27 | SAY: DSB 1 |
| 004E | | 28 | TOPL: DSW 1 |
| 0050 | | 29 | BOL: DSL 1 |
| 0054 | | 30 | GOND: DSW 1 |
| 0056 | | 31 | DEVIR: DSW 1 |
| 0058 | | 32 | ONHATA: DSW 1 |
| 005A | | 33 | IGOND: DSW 1 |
| 005C | | 34 | IACC: DSB 1 |
| 005D | | 35 | DISPREG: DSB 1 |
| | | 36 | |
| 0015 | | 37 | IDCO EQU 15H |
| 0003 | | 38 | HSI_MODE EQU 03H |
| 0016 | | 39 | IOC1 EQU 16H |
| 0008 | | 40 | INT_MASK EQU 08H |
| 0004 | | 41 | HSI_TIME EQU 04H |
| 0006 | | 42 | HSI_STATUS EQU 06H |
| 0016 | | 43 | IOS1 EQU 16H |
| 000E | | 44 | BAUDRATE EQU 0EH |
| 0067 | | 45 | BAUD9600L EQU 67H |
| 0080 | | 46 | BAUD9600H EQU 80H |
| 0009 | | 47 | CONSART EQU 09H |
| 0025 | | 48 | IOC1SART EQU 00100101B |
| 0007 | | 49 | SBUFTX EQU 07H |
| 0011 | | 50 | SER_STAT EQU 11H |
| 0011 | | 51 | SP_CDN EQU 11H |



| ERR LOC | OBJECT | LINE | SOURCE STATEMENT |
|---------|--------|------|----------------------------|
| | 2159 | 52 | BASTANTARA EQU 2159H |
| | 7F03 | 53 | DISPBUF EQU 7F03H |
| | 20E2 | 54 | DATASEG EQU 20E2H |
| | D000 | 55 | DACADR EQU 0D000H |
| | E004 | 56 | CPORT EQU 0E004H |
| | E000 | 57 | APOINT EQU 0E000H |
| | 4500 | 58 | OZEL EQU 4500H |
| | 0D5F | 59 | SINIR EQU 3423 |
| | 2080 | 60 | RESET EQU 2080H |
| | 2260 | 61 | SERIOKU EQU 2260H |
| | 4600 | 62 | RS232BUF EQU 4600H |
| | | 63 | |
| | 4500 | 64 | MOTOR2 EQU 4500H |
| | 4502 | 65 | MOT2TOPL EQU 4502H |
| | 4504 | 66 | MOT2SAK EQU 4504H |
| | 4506 | 67 | MOT2SAY EQU 4506H |
| | 4507 | 68 | VEYA2 EQU 4507H |
| | | 69 | |
| | 4508 | 70 | MOTOR1 EQU 4508H |
| | 450A | 71 | MOT1TOPL EQU 450AH |
| | 450C | 72 | MOT1SAK EQU 450CH |
| | 450E | 73 | MOT1SAY EQU 450EH |
| | 450F | 74 | VEYA1 EQU 450FH |
| | | 75 | |
| | 003D | 76 | BXH EQU (BX+1) |
| | | | YTE |
| | 0032 | 77 | FHATAL EQU FHATA |
| | | | YTE |
| | 0033 | 78 | FHATAH EQU (FHATA+1) |
| | | | YTE |
| | 0036 | 79 | FHATADEGL EQU FHATADEG |
| | | | YTE |
| | 0037 | 80 | FHATADEGH EQU (FHATADEG+1) |
| | | | YTE |
| | 001A | 81 | AL EQU AX |
| | | | YTE |
| | 001B | 82 | AH EQU (AX+1) |
| | | | YTE |
| | 004E | 83 | TOPLL EQU TOPL |
| | | | YTE |
| | 004F | 84 | TOPLH EQU (TOPL+1) |
| | | | YTE |
| | 0050 | 85 | BOLL EQU BOL |
| | | | ORD |
| | 0052 | 86 | BOLH EQU (BOL+2) |
| | | | ORD |
| | 0038 | 87 | CARPL EQU CARP |
| | | | ORD |
| | 003A | 88 | CARPH EQU (CARP+2) |
| | | | ORD |
| | 0054 | 89 | GONDL EQU GOND |
| | | | YTE |
| | 0055 | 90 | GONDH EQU (GOND+1) |
| | | | YTE |
| | | 91 | |
| 6000 | | 92 | CSEG AT 6000H |
| | | 93 | |

| ERR | LOC | OBJECT | LINE | SOURCE STATEMENT |
|-----|------|------------|------|----------------------|
| | | | 94 | |
| | 6000 | 2841 | 95 | SCALL ILKSART |
| | | | 96 | |
| | 6002 | 286B | 97 | SCALL RS232SART |
| | | | 98 | |
| | 6004 | 287F | 99 | SCALL BIRBAYT |
| | | | 100 | |
| | 6006 | 2879 | 101 | SCALL G |
| | | | 102 | |
| | 6008 | 2893 | 103 | SCALL HSISART |
| | | | 104 | |
| | 600A | FB | 105 | EI |
| | 600B | | 106 | INTBEKLE: |
| | 600B | A1007F44 | 107 | LD DISPB,#7FOOH |
| | 600F | B12041 | 108 | LDB GH,#20H |
| | 6012 | B10440 | 109 | LDB GL,#04H |
| | 6015 | | 110 | TARA: |
| | | | 111 | |
| | | | 112 | ; |
| | 6015 | C70104E041 | 113 | ORB GH,DENE |
| | | | 114 | STB GH,CPORT |
| | | | 115 | ANDB GH,#10111111B |
| | | | 116 | XORB DENE,#01000000B |
| | 601A | B24542 | 117 | LDB ACC,[DISPB]+ |
| | 601D | C70100E042 | 118 | STB ACC,APORT |
| | 6022 | B1F042 | 119 | LDB ACC,#0FOH |
| | 6025 | | 120 | BEKLE: |
| | 6025 | E042FD | 121 | DJNZ ACC,BEKLE |
| | 6028 | 180141 | 122 | SHRB GH,#01H |
| | | | 123 | |
| | 602B | 3C2602 | 124 | JBS BSRR,4,AZALTTARA |
| | 602E | 2805 | 125 | SCALL CIKHES |
| | 6030 | | 126 | AZALTTARA: |
| | 6030 | E040E2 | 127 | DJNZ GL,TARA |
| | 6033 | 27D6 | 128 | BR INTBEKLE |
| | | | 129 | |
| | 6035 | | 130 | CIKHES: |
| | 6035 | B10042 | 131 | LDB ACC,#00H |
| | 6038 | C70100E042 | 132 | STB ACC,APORT |
| | | | 133 | |
| | 603D | 286B | 134 | SCALL ISLEM |
| | | | 135 | |
| | 603F | 911026 | 136 | ORB BSRR,#10H |
| | | | 137 | |
| | 6042 | FO | 138 | RET |
| | | | 139 | ; |
| | | | 140 | ILKSART: |
| | 6043 | | 141 | LDB ACC,#02 |
| | 6043 | B10242 | 142 | STB ACC,MOT1SAY |
| | 6046 | C7010E4542 | 143 | STB ACC,MOT2SAY |
| | 604B | C701064542 | 144 | LD GOND,#0000H |
| | 6050 | A1000054 | 145 | ST GOND,MOT1TOPL |
| | 6054 | C3010A4554 | 146 | ST GOND,MOT2TOPL |
| | 6059 | C301024554 | 147 | STB GONDL,VEYA1 |
| | 605E | C7010F4554 | 148 | LDB ACC,#80H |
| | 6063 | B18042 | 149 | STB ACC,VEYA2 |
| | 6066 | C701074542 | 150 | LDB DISPREG,#01H |
| | 606B | B1015D | | |

| ERR | LOC | OBJECT | LINE | SOURCE STATEMENT |
|-----|------|--------|------|--------------------------------|
| | | | 151 | |
| | 606E | FO | 152 | RET |
| | | | 153 | |
| | | | 154 | ; |
| | 606F | | 155 | RS232SART: |
| | 606F | B1670E | 156 | LDB BAUDRATE,#BAUD96 |
| Z | | | 157 | L ;Haberleme h |
| | 6072 | B1800E | 157 | LDB BAUDRATE,#BAUD96 |
| | | | 158 | H ;9600 Baud |
| | 6075 | B10942 | 159 | LDB ACC,#CONSART |
| | 6078 | C41142 | 160 | ;P2.1/RXD'de RXD'ye izin ve |
| | | | 160 | STB ACC,SP_CON |
| | | | 160 | ;Mode 1 (asenkron hab.) |
| | 607B | B12542 | 161 | LDB ACC,#IOC1SART |
| | | | 161 | ;HSI 'da bilgi okunabilir kes. |
| | 607E | C41642 | 162 | STB ACC,IOC1 |
| | | | 162 | ;tercih,HS05/HSI.3'den HSI.3 |
| | | | 163 | |
| | | | 164 | ;P2.0/TXD 'den TXD ye izin |
| | | | 164 | |
| | | | 165 | ;HS04/HSI.2 'den HSI.2 |
| | | | 165 | |
| | | | 166 | ;T2OVF ve T1OVF kes.'ne set |
| | | | 166 | |
| | | | 167 | ;INT_MASK.0=1 ile izin |
| | 6081 | | 167 | G: |
| | 6081 | C40742 | 168 | STB ACC,SBUFTX |
| | | | 168 | ;Stat 'daki 5.bit reset ve |
| | | | 169 | |
| | | | 169 | ;sonra set |
| | 6084 | FO | 170 | RET |
| | | | 171 | |
| | 6085 | | 172 | BIRBAYT: |
| | 6085 | EFD8C1 | 173 | LCALL SERIOKU |
| | 6088 | 79A51A | 174 | SUBB AL,#0A5H |
| | 608B | DF03 | 175 | JE GERIDON |
| | 608D | E7F0BF | 176 | LJMP RESET |
| | 6090 | | 177 | GERIDON: |
| | 6090 | FO | 178 | RET |
| | | | 179 | ; |
| | 6091 | | 180 | GONDER: |
| | 6091 | B01142 | 181 | LDB ACC,SER_STAT |
| | | | 181 | ;Stat 'daki 5.bit reset ise |
| | 6094 | 712042 | 182 | ANDB ACC,#0010000B |
| | | | 182 | ;SBUFX halen dolu |
| | 6097 | DFFB | 183 | JE GONDER |
| | | | 184 | |
| | 6099 | C4071A | 185 | STB AL,SBUFTX |
| | 609C | FO | 186 | RET |
| | | | 187 | ; |
| | 609D | | 188 | HSISART: |
| | 609D | B15215 | 189 | LDB IDCO,#01010010B |
| | | | 189 | ;HSI.2 ve HSI.3 'e izin |
| | 60A0 | B15503 | 190 | LDB HSI_MODE,#01010: |
| | | | 190 | B ;Sonu DEN kenar |
| | 60A3 | B10408 | 191 | LDB INT_MASK,#00000: |

| RR | LOC | OBJECT | LINE | SOURCE STATEMENT |
|----|------|------------|------|------------------------|
| | | | | B ;Kesme iste'ine izin |
| | 60A6 | 91F826 | 192 | ORB BSRR,#11111000B |
| | 60A9 | F0 | 193 | RET |
| | | | 194 | |
| | 60AA | | 195 | ISLEM: |
| | 60AA | 51602642 | 196 | ANDB ACC,BSRR,#011000C |
| | | | 197 | B |
| | | | 198 | ; JNE ISLEMYOK |
| | 60AE | E05D0A | 199 | DJNZ DISPREG,DISPYOK |
| | 60B1 | B15A5D | 200 | LDB DISPREG,#5AH |
| | 60B4 | A30100453E | 201 | LD SONUC,MOTOR2 |
| | 60B9 | 280F | 202 | SCALL DISP |
| | 60BB | | 203 | DISPYOK: |
| | 60BB | A30108453E | 204 | LD SONUC,MOTOR1 |
| | | | 205 | ; SCALL DISP |
| | | | 206 | |
| | 60C0 | 2821 | 207 | SCALL FUZZY |
| | | | 208 | |
| | 60C2 | A30100461A | 209 | LD AX,RS232BUF |
| | | | 210 | ; LD AX,MOTOR2 |
| | | | 211 | |
| | 60C7 | 290A | 212 | SCALL IKIBAYTGN |
| | 60C9 | | 213 | ISLEMYOK: |
| | | | 214 | |
| | 60C9 | F0 | 215 | RET |
| | | | 216 | |
| | 60CA | | 217 | DISP: |
| | 60CA | A1037F1E | 218 | LD CX,#DISPBUF |
| | 60CE | B13F1B | 219 | LDB AH,#3FH |
| | | | 220 | |
| | 60D1 | 4507003E54 | 221 | ADD GOND,SONUC,#07H |
| | | | 222 | |
| | 60D6 | B0541A | 223 | LDB AL,GONDL |
| | 60D9 | EF06C0 | 224 | LCALL DASEG |
| | | | 225 | |
| | 60DC | B0551A | 226 | LDB AL,GONDH |
| | 60DF | EF00C0 | 227 | LCALL DASEG |
| | | | 228 | |
| | 60E2 | F0 | 229 | RET |
| | | | 230 | |
| | 60E3 | | 231 | FUZZY: |
| | 60E3 | A30100453C | 232 | LD BX,MOTOR2 |
| | | | 233 | ; LD BX,#ODFOH |
| | 60E8 | 483E3C30 | 234 | SUB HATA,BX,SONUC |
| | 60EC | 332606 | 235 | JBC BSRR,3,GEC |
| | 60EF | A0305B | 236 | LD ONHATA,HATA |
| | 60F2 | 71F726 | 237 | ANDB BSRR,#11110111B |
| | 60F5 | | 238 | GEC: |
| | | | 239 | |
| | | | 240 | ; LD AX,HATA |
| | | | 241 | ; SCALL IKIBAYTGN |
| | | | 242 | |
| | 60F5 | A0301A | 243 | LD AX,HATA |
| | | | 244 | |
| | 60F8 | C30102461A | 245 | ST AX,4602H |
| | | | 246 | |

| ERR | LOC | OBJECT | LINE | SOURCE STATEMENT |
|-----|------|------------|------|-------------------------|
| | 60FD | A1FF2054 | 247 | LD GOND,#20FFH |
| | 6101 | 28A2 | 248 | SCALL DLCEK |
| | 6103 | A03C32 | 249 | LD FHATA,BX |
| | | | 250 | |
| | | | 251 | ; LD AX,BX |
| | | | 252 | ; SCALL IKIBAYTGON |
| | | | 253 | |
| | 6106 | 48583034 | 254 | SUB HATADEG,HATA,ONHATA |
| | | | | A |
| | 610A | A03058 | 255 | LD ONHATA,HATA |
| | | | 256 | |
| | | | 257 | ; LD AX,HATADEG |
| | | | 258 | ; SCALL IKIBAYTGON |
| | | | 259 | |
| | 610D | A0341A | 260 | LD AX,HATADEG |
| | | | 261 | |
| | 6110 | C30104461A | 262 | ST AX,4604H |
| | | | 263 | |
| | 6115 | A1FE0354 | 264 | LD GOND,#03FEH |
| | 6119 | 288A | 265 | SCALL DLCEK |
| | 611B | A03C36 | 266 | LD FHATADEG,BX |
| | | | 267 | |
| | | | 268 | ; LDB AX,FHATADEG |
| | | | 269 | ; SCALL IKIBAYTGON |
| | | | 270 | |
| | 611E | 280F | 271 | SCALL GIRISYAZ |
| | 6120 | 2822 | 272 | SCALL CIKBASLMES |
| | 6122 | 2831 | 273 | SCALL CIKISAL |
| | | | 274 | |
| | 6124 | 51F01B42 | 275 | ANDB ACC,AH,#0F0H |
| | 6128 | D704 | 276 | JNE SONUCYOK |
| | | | 277 | |
| | | | 278 | ; LD BX,AX |
| | | | 279 | ; SCALL IKIBAYTGON |
| | | | 280 | ; LD AX,BX |
| | | | 281 | |
| | 612A | 2891 | 282 | SCALL TERSOLCEK |
| | 612C | 2842 | 283 | SCALL SINKARYAZ |
| | | | 284 | |
| | 612E | | 285 | SONUCYOK: |
| | 612E | FO | 286 | RET |
| | | | 287 | |
| | 612F | | 288 | GIRISYAZ: |
| | 612F | C701048033 | 289 | STB FHATAH,8004H |
| | 6134 | C701068032 | 290 | STB FHATAL,8006H |
| | 6139 | C701088037 | 291 | STB HATADEGH,800BH |
| | 613E | C7010A8036 | 292 | STB FHATADEGL,800AH |
| | 6143 | FO | 293 | RET |
| | | | 294 | |
| | 6144 | | 295 | CIKBASLMES: |
| | 6144 | B10442 | 296 | LDB ACC,#04H |
| | 6147 | C701008042 | 297 | STB ACC,8000H |
| | 614C | | 298 | MESGUL: |
| | 614C | B301008042 | 299 | LDB ACC,8000H |
| | 6151 | 3A42F8 | 300 | JBS ACC,2,MESGUL |
| | 6154 | FO | 301 | RET |
| | | | 302 | |



| ERR | LOC | OBJECT | LINE | SOURCE | STATEMENT |
|-----|------|------------|------|-------------|---------------------|
| | | | 303 | | |
| | 6155 | | 304 | CIKISAL: | |
| | 6155 | B10542 | 305 | | LDB ACC,#05H |
| | 6158 | | 306 | OKU: | |
| | 6158 | B30124801B | 307 | | LDB AH,8024H |
| | 615D | B30124801B | 308 | | LDB AH,8024H |
| | 6162 | B30126801A | 309 | | LDB AL,8026H |
| | 6167 | B30126801A | 310 | | LDB AL,8026H |
| | 616C | E042E9 | 311 | | DJNZ ACC,OKU |
| | 616F | FO | 312 | | RET |
| | | | 313 | | |
| | | | 314 | | |
| | 6170 | | 315 | SINKARYAZ: | |
| | 6170 | 641A56 | 316 | | ADD DEVIR,AX |
| | | | 317 | | |
| | 6173 | 410080561A | 318 | | AND AX,DEVIR,#8000H |
| | 6178 | DF06 | 319 | | JE KARS |
| | 617A | A1860156 | 320 | | LD DEVIR,#0186H |
| | 617E | 2016 | 321 | | BR YOLADEV |
| | 6180 | | 322 | KARS: | |
| | 6180 | B9860156 | 323 | | CMP DEVIR,#0186H |
| | 6184 | DB06 | 324 | | JC DEVBUYUK |
| | 6186 | A1860156 | 325 | | LD DEVIR,#0186H |
| | 618A | 200A | 326 | | BR YOLADEV |
| | 618C | | 327 | DEVBUYUK: | |
| | 618C | B9780D56 | 328 | | CMP DEVIR,#0D78H |
| | 6190 | D304 | 329 | | JNC YOLADEV |
| | 6192 | A1780D56 | 330 | | LD DEVIR,#0D78H |
| | 6196 | | 331 | YOLADEV: | |
| | | | 332 | | |
| | 6196 | C301064656 | 333 | | ST DEVIR,4606H |
| | 619B | 0356 | 334 | | NEG DEVIR |
| | 619D | C30100D056 | 335 | | ST DEVIR,DACADR |
| | 61A2 | 0356 | 336 | | NEG DEVIR |
| | 61A4 | FO | 337 | | RET |
| | | | 338 | | |
| | 61A5 | | 339 | OLCEK: | |
| | 61A5 | A1FF073C | 340 | | LD BX,#2047 |
| | 61A9 | FE4C1A3C38 | 341 | | MUL CARP,BX,AX |
| | 61AE | FE8C5438 | 342 | | DIV CARP,GOND |
| | 61B2 | A0383C | 343 | | LD BX,CARPL |
| | 61B5 | 65FF073C | 344 | | ADD BX,#2047 |
| | 61B9 | 710F3D | 345 | | ANDB BXH,#0FH |
| | 61BC | FO | 346 | | RET |
| | | | 347 | | |
| | 61BD | | 348 | TERSOLCEK: | |
| | 61BD | 69FF071A | 349 | | SUB AX,#2047 |
| | 61C1 | A100063C | 350 | | LD BX,#0600H |
| | 61C5 | FE4C3C1A38 | 351 | | MUL CARP,AX,BX |
| | 61CA | FE8DFF0738 | 352 | | DIV CARP,#2047 |
| | 61CF | A0381A | 353 | | LD AX,CARPL |
| | 61D2 | FO | 354 | | RET |
| | | | 355 | | |
| | 61D3 | | 356 | IKIBAYTGON: | |
| | 61D3 | EFBBFE | 357 | | LCALL GONDER |
| | 61D6 | B01B1A | 358 | | LDB AL,AX |
| | 61D9 | EFB5FE | 359 | | LCALL GONDER |

| RR | LOC | OBJECT | LINE | SOURCE STATEMENT |
|----|------|----------|------|------------------------|
| | 61DC | FO | 360 | RET |
| | | | 361 | |
| | | | 362 | |
| | 7000 | | 363 | CSEG AT 7000H |
| | | | 364 | |
| | 7000 | F4 | 365 | PUSHA |
| | 7001 | CB1A | 366 | PUSH AL |
| | | | 367 | |
| | 7003 | 2B7C | 368 | SCALL MOTOR12 |
| | 7005 | | 369 | INTBAS: |
| | 7005 | 28A9 | 370 | SCALL YUKLE |
| | | | 371 | |
| | 7007 | 4B464A4B | 372 | SUB FARK,SAYI,SAKLA |
| | 700B | DB0A | 373 | JC DEV |
| | | | 374 | |
| | 700D | A1FFFF4B | 375 | LD FARK,#OFFFFH |
| | 7011 | 6B464B | 376 | SUB FARK,SAKLA |
| | 7014 | 644A4B | 377 | ADD FARK,SAYI |
| | 7017 | | 378 | DEV: |
| | 7017 | B910004B | 379 | CMP FARK,#0010H |
| | 701B | D32A | 380 | JNC YANLIS |
| | | | 381 | |
| | 701D | A04A46 | 382 | LD SAKLA,SAYI |
| | 7020 | 444B4E4E | 383 | ADD TOPL,TOPL,FARK |
| | | | 384 | |
| | 7024 | 154C | 385 | DECB SAY |
| | 7026 | D70B | 386 | JNE BIRDEVYOK |
| | | | 387 | |
| | | | 388 | : ANDB BSRR,#11101111B |
| | | | 389 | |
| | 7028 | 2B4B | 390 | SCALL CEVIR |
| | 702A | 2B2C | 391 | SCALL KODLAYUK |
| | | | 392 | |
| | 702C | B1024C | 393 | LDB SAY,#02 |
| | 702F | A100004E | 394 | LD TOPL,#0 |
| | 7033 | | 395 | BIRDEVYOK: |
| | 7033 | 2B16 | 396 | SCALL BELLEKYAZ |
| | | | 397 | |
| | 7035 | 71505C | 398 | ANDB IACC,#01010000B |
| | 703B | 8550005C | 399 | XOR IACC,#01010000B |
| | 703C | D709 | 400 | JNE YANLIS |
| | 703E | A10B455A | 401 | LD IGOND,#MOTOR1 |
| | 7042 | 845C5C | 402 | XOR IACC,IACC |
| | 7045 | 27BE | 403 | BR INTBAS |
| | 7047 | | 404 | YANLIS: |
| | 7047 | CC1A | 405 | POP AL |
| | 7049 | F5 | 406 | POPA |
| | 704A | FO | 407 | RET |
| | | | 408 | |
| | 704B | | 409 | BELLEKYAZ: |
| | 704B | C35A0446 | 410 | ST SAKLA,4[IGOND] |
| | 704F | C75A064C | 411 | STB SAY,6[IGOND] |
| | 7053 | C35A024E | 412 | ST TOPL,2[IGOND] |
| | 7057 | FO | 413 | RET |
| | | | 414 | |
| | 705B | | 415 | KODLAYUK: |
| | 705B | C25A4E | 416 | ST TOPL,[IGOND] |

| ERR | LOC | OBJECT | LINE | SOURCE | STATEMENT |
|-----|------|------------|------|-------------|----------------------|
| | 705B | B908455A | 417 | CMF | IGOND,#4508H |
| | 705F | D710 | 418 | JNE | SERIYUKYOK |
| | | | 419 | | |
| | 7061 | 6507004E | 420 | ADD | TOPL,#07 |
| | 7065 | 935A074F | 421 | ORB | TOPLH,7[IGOND] |
| | | | 422 | | |
| | 7069 | C30100464E | 423 | ST | TOPL,RS232BUF |
| | | | 424 | | |
| | | | 425 | ; | |
| | | | | B | |
| | | | 426 | ; | |
| | | | 427 | JNE | SERIYUKYOK |
| | 706E | 71EF26 | 428 | ANDB | BSRR,#11101111B |
| | 7071 | | 429 | SERIYUKYOK: | |
| | 7071 | FO | 430 | RET | |
| | | | 431 | | |
| | | | 432 | ; | |
| | 7072 | A1008750 | 433 | CEVIR: | LD BOLL,#8700H |
| | 7076 | A1930352 | 434 | | LD BOLH,#0393H |
| | 707A | 8C4E50 | 435 | | DIVU BOL,TOPL |
| | 707D | A0504E | 436 | | LD TOPL,BOLL |
| | 7080 | FO | 437 | | RET |
| | | | 438 | | |
| | 7081 | | 439 | MOTOR12: | |
| | 7081 | B0065C | 440 | | LDB IACC,HSI_STATUS |
| | 7084 | A0044A | 441 | | LD SAYI,HSI_TIME |
| | | | 442 | | |
| | 7087 | 3E5C05 | 443 | JBS | IACC,6,SONUCMOT2 |
| | 708A | 3C5C13 | 444 | JBS | IACC,4,SONUCMOT1 |
| | 708D | 2020 | 445 | BR | GERIDON1 |
| | 708F | | 446 | SONUCMOT2: | |
| | 708F | 352608 | 447 | JBC | BSRR,5,ILKYUKYOK |
| | 7092 | C30104454A | 448 | ST | SAYI,MOT2SAK |
| | 7097 | 71DF26 | 449 | ANDB | BSRR,#11011111B |
| | 709A | | 450 | ILKYUKYOK2: | |
| | 709A | A100455A | 451 | | LD IGOND,#MOTOR2 |
| | 709E | 200F | 452 | | BR GERIDON1 |
| | | | 453 | | |
| | 70A0 | | 454 | SONUCMOT1: | |
| | 70A0 | 362608 | 455 | | JBC BSRR,6,ILKYUKYOK |
| | 70A3 | C3010C454A | 456 | | ST SAYI,MOT1SAK |
| | 70A8 | 71BF26 | 457 | | ANDB BSRR,#10111111B |
| | | | 458 | | |
| | 70AB | | 459 | ILKYUKYOK1: | |
| | 70AB | A108455A | 460 | | LD IGOND,#MOTOR1 |
| | 70AF | | 461 | GERIDON1: | |
| | | | 462 | | |
| | 70AF | FO | 463 | | RET |
| | | | 464 | | |
| | 70B0 | | 465 | YUKLE: | |
| | 70B0 | A35A0446 | 466 | | LD SAKLA,4[IGOND] |
| | 70B4 | B35A064C | 467 | | LDB SAY,6[IGOND] |
| | 70BB | A35A024E | 468 | | LD TOPL,2[IGOND] |
| | 70BC | FO | 469 | | RET |
| | | | 470 | | |
| | 4000 | | 471 | CSEG AT | 4000H |
| | 4000 | A1FF0756 | 472 | LD | DEVIR,#07FFH |

| ERR | LOC | OBJECT | LINE | SOURCE STATEMENT |
|-----|------|------------|------|------------------|
| | 4004 | 0356 | 473 | NEG DEVIR |
| | 4006 | C30100D056 | 474 | ST DEVIR,DACADR |
| | 400B | 0356 | 475 | NEG DEVIR |
| | 400D | FO | 476 | RET |
| | 400E | | 477 | END |

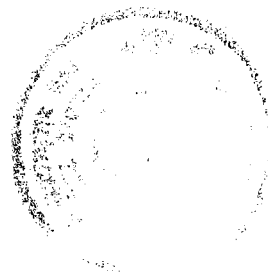


SYMBOL TABLE LISTING

| NAME | VALUE | ATTRIBUTES |
|------------|-------|----------------|
| ACC | 0042H | REG ABS BYTE |
| AH | 001BH | REG ABS BYTE |
| AL | 001AH | REG ABS BYTE |
| APORT | E000H | NULL ABS |
| AX | 001AH | REG ABS WORD |
| AZALTARA | 6030H | CODE ABS ENTRY |
| BASTANTARA | 2159H | NULL ABS |
| BAUD9600H | 0080H | NULL ABS |
| BAUD9600L | 0067H | NULL ABS |
| BAUDRATE | 000EH | NULL ABS |
| BEKLE | 6025H | CODE ABS ENTRY |
| BELLEKYAZ | 704BH | CODE ABS ENTRY |
| BIRBAYT | 6085H | CODE ABS ENTRY |
| BIRDEVYOK | 7033H | CODE ABS ENTRY |
| BOL | 0050H | REG ABS LONG |
| BOLH | 0052H | REG ABS WORD |
| BOLL | 0050H | REG ABS WORD |
| BSRR | 0026H | REG ABS BYTE |
| BX | 003CH | REG ABS WORD |
| BXH | 003DH | REG ABS BYTE |
| CARP | 0038H | REG ABS LONG |
| CARPH | 003AH | REG ABS WORD |
| CARPL | 0038H | REG ABS WORD |
| CEVIR | 7072H | CODE ABS ENTRY |
| CIKBASLMES | 6144H | CODE ABS ENTRY |
| CIKHES | 6035H | CODE ABS ENTRY |
| CIKISAL | 6155H | CODE ABS ENTRY |
| CONSART | 0009H | NULL ABS |
| CPORT | E004H | NULL ABS |
| CX | 001EH | REG ABS WORD |
| DACADR | D000H | NULL ABS |
| DATASEG | 20E2H | NULL ABS |
| DEV | 7017H | CODE ABS ENTRY |
| DEVBUYUK | 618CH | CODE ABS ENTRY |
| DEVIR | 0056H | REG ABS WORD |
| DISP | 60CAH | CODE ABS ENTRY |
| DISPB | 0044H | REG ABS WORD |
| DISPBUF | 7F03H | NULL ABS |
| DISPREG | 005DH | REG ABS BYTE |
| DISPYOK | 60BBH | CODE ABS ENTRY |
| FARK | 0048H | REG ABS WORD |
| FHATA | 0032H | REG ABS WORD |
| FHATADEG | 0036H | REG ABS WORD |
| FHATADEGH | 0037H | REG ABS BYTE |
| FHATADEGL | 0036H | REG ABS BYTE |
| FHATAH | 0033H | REG ABS BYTE |
| FHATAL | 0032H | REG ABS BYTE |
| FUZZY | 60E3H | CODE ABS ENTRY |
| G | 6081H | CODE ABS ENTRY |
| GEC | 60F5H | CODE ABS ENTRY |
| GERIDON | 6090H | CODE ABS ENTRY |
| GERIDON1 | 70AFH | CODE ABS ENTRY |
| GH | 0041H | REG ABS BYTE |



| N A M E | VALUE | ATTRIBUTES |
|--------------|-------|----------------|
| IRISYAZ. | 612FH | CODE ABS ENTRY |
| L. | 0040H | REG ABS BYTE |
| ONND. | 0054H | REG ABS WORD |
| ONNDER. | 6091H | CODE ABS ENTRY |
| ONNDH | 0055H | REG ABS BYTE |
| ONNDL | 0054H | REG ABS BYTE |
| HATA. | 0030H | REG ABS WORD |
| HATADEG | 0034H | REG ABS WORD |
| HISI_MODE. | 0003H | NULL ABS |
| HISI_STATUS. | 0006H | NULL ABS |
| HISI_TIME. | 0004H | NULL ABS |
| HISART | 609DH | CODE ABS ENTRY |
| IACC. | 005CH | REG ABS BYTE |
| IGOND | 005AH | REG ABS WORD |
| IKIBAYTGON. | 61D3H | CODE ABS ENTRY |
| ILKSART | 6043H | CODE ABS ENTRY |
| ILKYUKYOK1. | 70ABH | CODE ABS ENTRY |
| ILKYUKYOK2. | 709AH | CODE ABS ENTRY |
| INT_MASK. | 0008H | NULL ABS |
| INTBAS. | 7005H | CODE ABS ENTRY |
| INTBEKLE. | 600BH | CODE ABS ENTRY |
| IOCO. | 0015H | NULL ABS |
| IOC1. | 0016H | NULL ABS |
| IOC1SART. | 0025H | NULL ABS |
| IOS1. | 0016H | NULL ABS |
| ISLEM | 60AAH | CODE ABS ENTRY |
| ISLEMYOK. | 60C9H | CODE ABS ENTRY |
| KARS. | 6180H | CODE ABS ENTRY |
| KODLAYUK. | 7058H | CODE ABS ENTRY |
| MESGUL. | 614CH | CODE ABS ENTRY |
| MOT1SAK | 450CH | NULL ABS |
| MOT1SAY | 450EH | NULL ABS |
| MOT1TOPL. | 450AH | NULL ABS |
| MOT2SAK | 4504H | NULL ABS |
| MOT2SAY | 4506H | NULL ABS |
| MOT2TOPL. | 4502H | NULL ABS |
| MOTOR1. | 4508H | NULL ABS |
| MOTOR12 | 7081H | CODE ABS ENTRY |
| MOTOR2. | 4500H | NULL ABS |
| OKU | 6158H | CODE ABS ENTRY |
| OLCEK | 61A5H | CODE ABS ENTRY |
| ONHATA. | 0058H | REG ABS WORD |
| OZEL. | 4500H | NULL ABS |
| RESET | 2080H | NULL ABS |
| RS232BUF. | 4600H | NULL ABS |
| RS232SART | 606FH | CODE ABS ENTRY |
| SAKLA | 0046H | REG ABS WORD |
| SAY | 004CH | REG ABS BYTE |
| SAYI. | 004AH | REG ABS WORD |
| SBUFTX. | 0007H | NULL ABS |
| SER_STAT. | 0011H | NULL ABS |
| SERIOKU | 2260H | NULL ABS |
| SERİYUKYOK. | 7071H | CODE ABS ENTRY |
| SINIR | 0D5FH | NULL ABS |
| SINKARYAZ | 6170H | CODE ABS ENTRY |
| SONUC | 003EH | REG ABS WORD |



| N A M E | VALUE | ATTRIBUTES |
|---------------------|-------|----------------|
| SONUCMOT1 | 70A0H | CODE ABS ENTRY |
| SONUCMOT2 | 708FH | CODE ABS ENTRY |
| SONUCYOK. | 612EH | CODE ABS ENTRY |
| SP_CON. | 0011H | NULL ABS |
| TARA. | 6015H | CODE ABS ENTRY |
| TERSOLCEK | 61BDH | CODE ABS ENTRY |
| TOPL. | 004EH | REG ABS WORD |
| TOPLH | 004FH | REG ABS BYTE |
| TOPLL | 004EH | REG ABS BYTE |
| VEYA1 | 450FH | NULL ABS |
| VEYA2 | 4507H | NULL ABS |
| YANLIS. | 7047H | CODE ABS ENTRY |
| YOLADEV | 6196H | CODE ABS ENTRY |
| YUKLE | 70B0H | CODE ABS ENTRY |

ASSEMBLY COMPLETED, NO ERROR(S) FOUND.



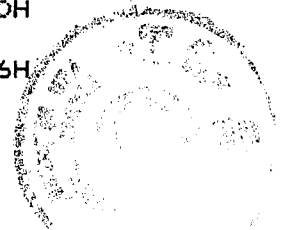
DOS 6.22 (038-N) MCS-96 MACRO ASSEMBLER, V1.2

SOURCE FILE: GEL4SERI.SRC

OBJECT FILE: GEL4SERI.OBJ

CONTROLS SPECIFIED IN INVOCATION COMMAND: PL(60) PW(80) PR

| ERR LOC | OBJECT | LINE | SOURCE STATEMENT |
|---------|--------|------|----------------------|
| | | 1 | |
| | 001A | 2 | RSEG AT 1AH |
| | 001A | 3 | AX: DSW 1 |
| | 001C | 4 | BX: DSW 1 |
| | 001E | 5 | CX: DSW 1 |
| | 0020 | 6 | DX: DSW 1 |
| | 0022 | 7 | EX: DSW 1 |
| | 0024 | 8 | AG: DSW 1 |
| | 0026 | 9 | BSRR: DSB 1 |
| | | 10 | ; |
| | | 11 | ; |
| | 0014 | 12 | WSR EQU 14H |
| | 0000 | 13 | HWINDOW EQU 00H |
| | 0020 | 14 | VWINDOW EQU 20H |
| | 001B | 15 | SF EQU 1BH:WORD |
| | | 16 | ; |
| | 000E | 17 | BAUD_RATE EQU 0EH |
| | 0009 | 18 | SERI_SART EQU 09H |
| | 0011 | 19 | SERI_CON EQU 11H |
| | 0011 | 20 | SERI_STAT EQU 11H |
| | 0007 | 21 | SBUF_RX EQU 07H |
| | 0007 | 22 | SBUF_TX EQU 07H |
| | 00CF | 23 | BAUD4800L EQU 0CFH |
| | 0080 | 24 | BAUD4800H EQU 80H |
| | | 25 | |
| | E000 | 26 | APORT EQU 0E000H |
| | | | gmentler |
| | E002 | 27 | BPORT EQU 0E002H |
| r okuma | | | t |
| | E004 | 28 | CPORT EQU 0E004H |
| | | | tot ve sutun |
| | E006 | 29 | COMMAND EQU 0E006H |
| | | 30 | ; |
| | 001A | 31 | AL EQU AX:BYTE |
| | 001C | 32 | BL EQU BX:BYTE |
| | 001E | 33 | CL EQU CX:BYTE |
| | 0020 | 34 | DL EQU DX:BYTE |
| | 0022 | 35 | EL EQU EX:BYTE |
| | 0024 | 36 | AGL EQU AG |
| | | 37 | ; |
| | 001B | 38 | AH EQU (AX+1):BYTE |
| | 0021 | 39 | DH EQU (DX+1):BYTE |
| | 0023 | 40 | EH EQU (EX+1):BYTE |
| | 0025 | 41 | AGH EQU (AG+1):BYTE |
| | | 42 | ; |
| | 7F0A | 43 | ADRAM EQU 7F0AH |
| | 7F05 | 44 | DISPBUF EQU 7F05H |
| | 3F00 | 45 | HEXDIS EQU 3F00H |
| | 3F30 | 46 | TUSFONKTAB EQU 3F30H |
| | 00B2 | 47 | SARTLA EQU 82H |
| | 7F16 | 48 | RUNYAN EQU 7F16H |



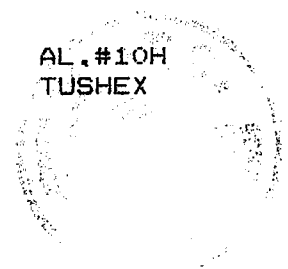
| ERR | LOC | OBJECT | LINE | SOURCE | STATEMENT |
|-----|------|------------|------|-------------|----------------------|
| | | 7F1C | 49 | RUNYANYAN | EQU 7F1CH |
| | | | 50 | : | |
| | | | 51 | : | |
| | | | 52 | : | |
| | 2080 | | 53 | | CSEG AT 2080H |
| | | | 54 | : | |
| | 2080 | B12014 | 55 | | LDB WSR,#VWINDOWO |
| | 2083 | B10014 | 56 | | LDB WSR,#HWINDOWO |
| | 2086 | A1000218 | 57 | | LD SP,#0200H |
| | 208A | 2813 | 58 | | SCALL ILKSART |
| | 208C | A1006024 | 59 | | LD AG,#6000H |
| | 2090 | 2837 | 60 | | SCALL DISFGDS |
| | 2092 | | 61 | ANA: | |
| | 2092 | 28B1 | 62 | | SCALL BERTARAMA |
| | 2094 | B01B1A | 63 | | LDB AL,AH |
| | 2097 | 28A2 | 64 | | SCALL DEGERI |
| | 2099 | 29CF | 65 | | SCALL BEEP |
| | 209B | 2914 | 66 | | SCALL ISLEM |
| | 209D | 27F3 | 67 | | BR ANA |
| | | | 68 | : | |
| | | | 69 | : | |
| | 209F | | 70 | ILKSART: | |
| | 209F | B1821A | 71 | | LDB AL,#SARTLA |
| | 20A2 | C70106E01A | 72 | | STB AL,COMMAND |
| | | | 73 | | |
| | 20A7 | B1FF26 | 74 | | LDB BSRR,#OFFH |
| | | | 75 | | |
| | 20AA | B1CF0E | 76 | | LDB BAUD_RATE,#BAUD4 |
| | | | 77 | OL | |
| | 20AD | B1800E | 77 | | LDB BAUD_RATE,#BAUD4 |
| | | | 78 | OH | |
| | 20B0 | B1091A | 78 | | LDB AL,#SERI_SART |
| | 20B3 | C4111A | 79 | | STB AL,SERI_CON |
| | | | 80 | | |
| | 20B6 | B1F01A | 81 | | LDB AL,#OF0H |
| | | | | ;RET komutu | |
| | 20B9 | C7010A7F1A | 82 | | STB AL,ADRAM |
| | 20BE | C701167F1A | 83 | | STB AL,RUNYAN |
| | 20C3 | C7011C7F1A | 84 | | STB AL,RUNYANYAN |
| | 20C8 | F0 | 85 | | RET |
| | | | 86 | : | |
| | | | 87 | : | |
| | 20C9 | | 88 | DISFGDS: | |
| | 20C9 | A1057F1E | 89 | | LD CX,#DISPBUF |
| | 20CD | B13F1B | 90 | | LDB AH,#3FH |
| | 20D0 | B2241A | 91 | | LDB AL,[AG] |
| | 20D3 | 280D | 92 | | SCALL DATASEG |
| | 20D5 | B0241A | 93 | | LDB AL,AGL |
| | 20D8 | 2808 | 94 | | SCALL DATASEG |
| | 20DA | B0251A | 95 | | LDB AL,AGH |
| | 20DD | 2803 | 96 | | SCALL DATASEG |
| | 20DF | 281B | 97 | | SCALL NOKTA |
| | 20E1 | F0 | 98 | | RET |
| | | | 99 | : | |
| | | | 100 | : | |
| | 20E2 | | 101 | DATASEG: | |
| | 20E2 | B01A22 | 102 | | LDB EL,AL |



| ERR | LOC | OBJECT | LINE | SOURCE STATEMENT | |
|-----|------|----------|------|------------------|----------------|
| | 20E5 | 2809 | 103 | SCALL | SEGSEKIL |
| | 20E7 | B0221A | 104 | LDB | AL,EL |
| | 20EA | 18041A | 105 | SHRB | AL,#04 |
| | 20ED | 2801 | 106 | SCALL | SEGSEKIL |
| | 20EF | FO | 107 | RET | |
| | | | 108 | : | |
| | | | 109 | : | |
| | 20F0 | | 110 | SEGSEKIL: | |
| | 20F0 | 710F1A | 111 | ANDB | AL,#0FH |
| | 20F3 | B21A1A | 112 | LDB | AL,[AX] |
| | 20F6 | C61E1A | 113 | STB | AL,[CX] |
| | 20F9 | 051E | 114 | DEC | CX |
| | 20FB | FO | 115 | RET | |
| | | | 116 | : | |
| | | | 117 | : | |
| | 20FC | | 118 | NOKTA: | |
| | 20FC | 38260F | 119 | JBS | BSRR,0,NOKTADA |
| | | | 120 | : | |
| | | | 121 | : | |
| | 20FF | | 122 | NOKTAAD: | |
| | 20FF | A1057F1E | 123 | LD | CX,#DISPBUF |
| | 2103 | B10222 | 124 | LDB | EL,#02 |
| | 2106 | 2824 | 125 | SCALL | NOKTASIL |
| | 2108 | B10422 | 126 | LDB | EL,#04 |
| | 210B | 2810 | 127 | SCALL | NOKTAKOY |
| | 210D | FO | 128 | RET | |
| | | | 129 | : | |
| | | | 130 | : | |
| | 210E | A1057F1E | 131 | NOKTADA: | LD CX,#DISPBUF |
| | 2112 | B10222 | 132 | LDB | EL,#02 |
| | 2115 | 2806 | 133 | SCALL | NOKTAKOY |
| | 2117 | B10422 | 134 | LDB | EL,#04 |
| | 211A | 2810 | 135 | SCALL | NOKTASIL |
| | 211C | FO | 136 | RET | |
| | | | 137 | : | |
| | | | 138 | : | |
| | 211D | | 139 | NOKTAKOY: | |
| | 211D | B21E1A | 140 | LDB | AL,[CX] |
| | 2120 | 91201A | 141 | ORB | AL,#20H |
| | | | | okta seg. bit 5 | |
| | 2123 | C61E1A | 142 | STB | AL,[CX] |
| | 2126 | 051E | 143 | DEC | CX |
| | 2128 | E022F2 | 144 | DJNZ | EL,NOKTAKOY |
| | 212B | FO | 145 | RET | |
| | | | 146 | : | |
| | | | 147 | : | |
| | 212C | | 148 | NOKTASIL: | |
| | 212C | B21E1A | 149 | LDB | AL,[CX] |
| | 212F | 71DF1A | 150 | ANDB | AL,#0DFH |
| | 2132 | C61E1A | 151 | STB | AL,[CX] |
| | 2135 | 051E | 152 | DEC | CX |
| | 2137 | E022F2 | 153 | DJNZ | EL,NOKTASIL |
| | 213A | FO | 154 | RET | |
| | | | 155 | : | |
| | | | 156 | : | |
| | 213B | | 157 | DEGERI: | |
| | 213B | B13F1B | 158 | LDB | AH,#3FH |



| ERR | LOC | OBJECT | LINE | SOURCE | STATEMENT |
|-----|------|------------|------|-------------|----------------------|
| | 213E | 75101A | 159 | | ADDB AL,#10H |
| | 2141 | B21A1A | 160 | | LDB AL,[AX] |
| | 2144 | FO | 161 | | RET |
| | | | 162 | : | |
| | | | 163 | : | |
| | 2145 | | 164 | GERTARAMA: | |
| | 2145 | B10623 | 165 | | LDB EH,#06 |
| | 2148 | | 166 | TUSUBIRAK: | |
| | 2148 | 280F | 167 | | SCALL BASTANTARA |
| | 214A | 3126F8 | 168 | | JBC BSRR,1,GERTARAMA |
| | 214D | E023F8 | 169 | | DJNZ EH,TUSUBIRAK |
| | | | 170 | : | |
| | 2150 | | 171 | TUSABAS: | |
| | 2150 | 2807 | 172 | | SCALL BASTANTARA |
| | 2152 | EFB55D | 173 | | LCALL GERIDON |
| | 2155 | 3926F8 | 174 | | JBS BSRR,1,TUSABAS |
| | 2158 | FO | 175 | | RET |
| | | | 176 | : | |
| | | | 177 | : | |
| | 2159 | | 178 | BASTANTARA: | |
| | 2159 | 910226 | 179 | | ORB BSRR,#02 |
| | 215C | B1001C | 180 | | LDB BL,#00 |
| | 215F | A1057F1E | 181 | | LD CX,#DISPBUF |
| | 2163 | B10120 | 182 | | LDB DL,#01 |
| | 2166 | B10621 | 183 | | LDB DH,#06 |
| | 2169 | | 184 | TARAMA: | |
| | 2169 | B21E1A | 185 | | LDB AL,[CX] |
| | 216C | C70100E01A | 186 | | STB AL,APORT |
| | 2171 | C70104E020 | 187 | | STB DL,CPORT |
| | 2176 | B1FF22 | 188 | | LDB EL,#OFFH |
| | 2179 | | 189 | BEKLE: | |
| | 2179 | E022FD | 190 | | DJNZ EL,BEKLE |
| | 217C | 111A | 191 | | CLRB AL |
| | 217E | C70100E01A | 192 | | STB AL,APORT |
| | 2183 | B0201A | 193 | | LDB AL,DL |
| | 2186 | 121A | 194 | | NOTB AL |
| | 2188 | 717F1A | 195 | | ANDB AL,#7FH |
| | 218B | C70104E01A | 196 | | STB AL,CPORT |
| | 2190 | B30102E01A | 197 | | LDB AL,BPORT |
| | 2195 | B10522 | 198 | | LDB EL,#05 |
| | 2198 | | 199 | BASILITUS: | |
| | 2198 | 18011A | 200 | | SHRB AL,#01 |
| | 219B | DB06 | 201 | | JC ONEMSIZ |
| | 219D | B01C1B | 202 | | LDB AH,BL |
| | 21A0 | 71FD26 | 203 | | ANDB BSRR,#0FDH |
| | 21A3 | | 204 | ONEMSIZ: | |
| | 21A3 | 171C | 205 | | INCB BL |
| | 21A5 | E022F0 | 206 | | DJNZ EL,BASILITUS |
| | 21A8 | 190120 | 207 | | SHLB DL,#01 |
| | 21AB | 051E | 208 | | DEC CX |
| | 21AD | E021B9 | 209 | | DJNZ DH,TARAMA |
| | 21B0 | FO | 210 | | RET |
| | | | 211 | : | |
| | | | 212 | : | |
| | 21B1 | | 213 | ISLEM: | |
| | 21B1 | 99101A | 214 | | CMPB AL,#10H |
| | 21B4 | D316 | 215 | | JNC TUSHEX |



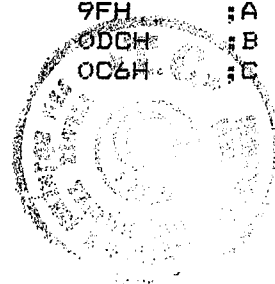
| ERR | LOC | OBJECT | LINE | SOURCE | STATEMENT |
|-----|------|----------|------|-----------|--------------------|
| | 21B6 | 79101A | 216 | | SUBB AL,#10H |
| | 21B9 | A1303F1C | 217 | | LD BX,#TUSFONKTAB |
| | 21BD | 741A1C | 218 | | ADDB BL,AL |
| | 21C0 | A21C1E | 219 | | LD CX,[BX] |
| | 21C3 | 2801 | 220 | | SCALL FONKS |
| | 21C5 | FO | 221 | | RET |
| | | | 222 | : | |
| | | | 223 | : | |
| | 21C6 | | 224 | FONKS: | |
| | 21C6 | C81E | 225 | | PUSH CX |
| | 21C8 | FO | 226 | | RET |
| | | | 227 | : | |
| | | | 228 | : | |
| | 21C9 | | 229 | BASLA: | |
| | 21C9 | C824 | 230 | | PUSH AG |
| | 21CB | FO | 231 | | RET |
| | | | 232 | : | |
| | | | 233 | : | |
| | 21CC | | 234 | TUSHEX: | |
| | 21CC | 382603 | 235 | | JBS BSRR,0,DATADEG |
| | 21CF | 2810 | 236 | | SCALL ADDEG |
| | 21D1 | FO | 237 | | RET |
| | | | 238 | : | |
| | | | 239 | : | |
| | 21D2 | | 240 | DATADEG: | |
| | 21D2 | B2241B | 241 | | LDB AH,[AG] |
| | 21D5 | 19041B | 242 | | SHLB AH,#04 |
| | 21D8 | 901A1B | 243 | | ORB AH,AL |
| | 21DB | C6241B | 244 | | STB AH,[AG] |
| | 21DE | 2EE9 | 245 | | SCALL DISPGOS |
| | 21E0 | FO | 246 | | RET |
| | | | 247 | : | |
| | | | 248 | : | |
| | 21E1 | | 249 | ADDEG: | |
| | 21E1 | 090424 | 250 | | SHL AG,#04 |
| | 21E4 | 901A24 | 251 | | ORB AGL,AL |
| | 21E7 | 2EE0 | 252 | | SCALL DISPGOS |
| | 21E9 | FO | 253 | | RET |
| | | | 254 | : | |
| | | | 255 | : | |
| | 21EA | | 256 | ADARTTIR: | |
| | 21EA | 0724 | 257 | | INC AG |
| | 21EC | 2EDB | 258 | | SCALL DISPGOS |
| | 21EE | FO | 259 | | RET |
| | | | 260 | : | |
| | | | 261 | : | |
| | 21EF | | 262 | ADAZALT: | |
| | 21EF | 0524 | 263 | | DEC AG |
| | 21F1 | 2ED6 | 264 | | SCALL DISPGOS |
| | 21F3 | FO | 265 | | RET |
| | | | 266 | : | |
| | | | 267 | : | |
| | 21F4 | | 268 | AD_DAT: | |
| | 21F4 | 950126 | 269 | | XORB BSRR,#01H |
| | 21F7 | 2F03 | 270 | | SCALL NOKTA |
| | 21F9 | FO | 271 | | RET |
| | | | 272 | : | |



| ERR | LOC | OBJECT | LINE | SOURCE STATEMENT |
|-----|------|----------|------|------------------|
| | | | 273 | ; |
| | 21FA | | 274 | DEL: |
| | 21FA | C824 | 275 | PUSH AG |
| | 21FC | | 276 | DELDEV: |
| | 21FC | B324011A | 277 | LDB AL,01H[AG] |
| | 2200 | C6251A | 278 | STB AL,[AG]+ |
| | 2203 | B9FF7E24 | 279 | CMP AG,#7EFFH |
| | 2207 | D7F3 | 280 | JNE DELDEV |
| | 2209 | CC24 | 281 | POP AG |
| | 220B | 2EBC | 282 | SCALL DISP60S |
| | 220D | FO | 283 | RET |
| | | | 284 | ; |
| | | | 285 | ; |
| | 220E | | 286 | INSERT: |
| | 220E | C824 | 287 | PUSH AG |
| | 2210 | B2251B | 288 | LDB AH,[AG]+ |
| | 2213 | | 289 | INSDEV: |
| | 2213 | B2241A | 290 | LDB AL,[AG] |
| | 2216 | B01A22 | 291 | LDB EL,AL |
| | 2219 | B01B1A | 292 | LDB AL,AH |
| | 221C | B0221B | 293 | LDB AH,EL |
| | 221F | C6251A | 294 | STB AL,[AG]+ |
| | 2222 | B9007F24 | 295 | CMP AG,#7FOOH |
| | 2226 | D7EB | 296 | JNE INSDEV |
| | 2228 | CC24 | 297 | POP AG |
| | 222A | 2E9D | 298 | SCALL DISP60S |
| | 222C | FO | 299 | RET |
| | | | 300 | ; |
| | | | 301 | ; |
| | 222D | | 302 | RS232: |
| | 222D | B0111A | 303 | LDB AL,SERI_STAT |
| | | | 304 | |
| | 2230 | 282B | 305 | SCALL TEKBYTE |
| | 2232 | B0221B | 306 | LDB AH,EL |
| | 2235 | | 307 | YENIADTR: |
| | 2235 | 281E | 308 | SCALL IKIBYTE |
| | 2237 | A0221E | 309 | LD CX,EX |
| | 223A | 2819 | 310 | SCALL IKIBYTE |
| | 223C | A02220 | 311 | LD DX,EX |
| | 223F | 2B04 | 312 | SCALL TRANSFER |
| | 2241 | E01BF1 | 313 | DJNZ AH,YENIADTR |
| | 2244 | FO | 314 | RET |
| | | | 315 | ; |
| | | | 316 | ; |
| | 2245 | | 317 | TRANSFER: |
| | 2245 | 641E20 | 318 | ADD DX,CX |
| | 2248 | 0520 | 319 | DEC DX |
| | 224A | | 320 | ALYAZ: |
| | 224A | 280E | 321 | SCALL TEKBYTE |
| | 224C | C62022 | 322 | STB EL,[DX] |
| | 224F | 0520 | 323 | DEC DX |
| | 2251 | E11EF6 | 324 | DJNZW CX,ALYAZ |
| | 2254 | FO | 325 | RET |
| | | | 326 | ; |
| | | | 327 | ; |
| | 2255 | 2809 | 328 | IKIBYTE: |
| | 2257 | B01A23 | 329 | SCALL OKU |
| | | | | LDB EH,AL |



| ERR | LOC | OBJECT | LINE | SOURCE STATEMENT |
|-----|------|------------|------|------------------|
| | | | | TEKBYTE: |
| | 225A | | 330 | |
| | 225A | 2804 | 331 | SCALL OKU |
| | 225C | B01A22 | 332 | LDB EL,AL |
| | 225F | FO | 333 | RET |
| | | | 334 | : |
| | | | 335 | : |
| | 2260 | | 336 | OKU: |
| | 2260 | B0111A | 337 | LDB AL,SERI_STAT |
| | 2263 | 361AFA | 338 | JBC AL,6,OKU |
| | 2266 | B0071A | 339 | LDB AL,SBUF_RX |
| | 2269 | FO | 340 | RET |
| | | | 341 | : |
| | | | 342 | : |
| | 226A | | 343 | BEEP: |
| | 226A | A12C0122 | 344 | LD EX,#012CH |
| | 226E | B1801E | 345 | LDB CL,#BOH |
| | 2271 | | 346 | KARE: |
| | 2271 | C70104E01E | 347 | STB CL,CPDRT |
| | 2276 | B1FF1C | 348 | LDB BL,#OFFH |
| | 2279 | | 349 | BEKDEV: |
| | 2279 | E01CFD | 350 | DJNZ BL,BEKDEV |
| | 227C | 95801E | 351 | XORB CL,#BOH |
| | 227F | E122EF | 352 | DJNZW EX,KARE |
| | 2282 | FO | 353 | RET |
| | | | 354 | : |
| | | | 355 | : |
| | | | 356 | : |
| | 7F0A | | 357 | CSEG AT 7F0AH |
| | 7F0A | | 358 | GERIDON: |
| | 7F0A | FO | 359 | RET |
| | | | 360 | : |
| | | | 361 | : |
| | 7F16 | | 362 | CSEG AT 7F16H |
| | 7F16 | | 363 | RUNY: |
| | 7F16 | FO | 364 | RET |
| | | | 365 | : |
| | | | 366 | : |
| | 7F1C | | 367 | CSEG AT 7F1CH |
| | 7F1C | | 368 | RUNYY: |
| | 7F1C | FO | 369 | RET |
| | | | 370 | : |
| | | | 371 | : |
| | 3F00 | | 372 | CSEG AT 3F00H |
| | 3F00 | | 373 | HEXDISPLAY: |
| | 3F00 | D7 | 374 | DCB OD7H ;0 |
| | 3F01 | 11 | 375 | DCB 11H ;1 |
| | 3F02 | CB | 376 | DCB OCBH ;2 |
| | 3F03 | 5B | 377 | DCB 5BH ;3 |
| | 3F04 | 1D | 378 | DCB 1DH ;4 |
| | 3F05 | 5E | 379 | DCB 5EH ;5 |
| | 3F06 | DE | 380 | DCB ODEH ;6 |
| | 3F07 | 13 | 381 | DCB 13H ;7 |
| | 3F08 | DF | 382 | DCB ODFH ;8 |
| | 3F09 | 5F | 383 | DCB 5FH ;9 |
| | 3F0A | 9F | 384 | DCB 9FH ;A |
| | 3F0B | DC | 385 | DCB ODCB ;B |
| | 3F0C | C6 | 386 | DCB OC6H ;C |

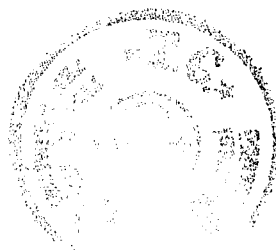


| ERR | LOC | OBJECT | LINE | SOURCE STATEMENT |
|-----|-----|-----------|-------|-------------------|
| | | 3F0D D9 | 387 | DCB OD9H ;D |
| | | 3F0E CE | 388 | DCB OCEH ;E |
| | | 3F0F BE | 389 | DCB BEH ;F |
| | | | 390 ; | |
| | | | 391 ; | |
| | | 3F10 | 392 | CSEG AT 3F10H |
| | | 3F10 | 393 | TUSDEGERI: |
| | | 3F10 12 | 394 | DCB 12H ;+ |
| | | 3F11 14 | 395 | DCB 14H ;- |
| | | 3F12 16 | 396 | DCB 16H ;AD-DA |
| | | 3F13 1C | 397 | DCB 1CH ;RUN st |
| | | 3F14 10 | 398 | DCB 10H ;RUN |
| | | 3F15 03 | 399 | DCB 03H ;3 |
| | | 3F16 07 | 400 | DCB 07H ;7 |
| | | 3F17 0B | 401 | DCB 0BH ;B |
| | | 3F18 0F | 402 | DCB 0FH ;F |
| | | 3F19 1E | 403 | DCB 1EH ;RUN yan |
| | | 3F1A 02 | 404 | DCB 02H ;2 |
| | | 3F1B 06 | 405 | DCB 06H ;6 |
| | | 3F1C 0A | 406 | DCB 0AH ;A |
| | | 3F1D 0E | 407 | DCB 0EH ;E |
| | | 3F1E 20 | 408 | DCB 20H ;RUN 2yar |
| | | 3F1F 01 | 409 | DCB 01H ;1 |
| | | 3F20 05 | 410 | DCB 05H ;5 |
| | | 3F21 09 | 411 | DCB 09H ;9 |
| | | 3F22 0D | 412 | DCB 0DH ;D |
| | | 3F23 18 | 413 | DCB 18H ;DELETE |
| | | 3F24 00 | 414 | DCB 00H ;0 |
| | | 3F25 04 | 415 | DCB 04H ;4 |
| | | 3F26 08 | 416 | DCB 08H ;8 |
| | | 3F27 0C | 417 | DCB 0CH ;C |
| | | 3F28 1A | 418 | DCB 1AH ;INSERT |
| | | | 419 ; | |
| | | | 420 ; | |
| | | 3F30 | 421 | CSEG AT 3F30H |
| | | 3F30 | 422 | RUNADRES: |
| | | 3F30 C921 | 423 | DCW BASLA ; |
| | | | | UN ; |
| | | 3F32 EA21 | 424 | DCW ADARTTIR ; |
| | | 3F34 EF21 | 425 | DCW ADAZALT ; |
| | | 3F36 F421 | 426 | DCW AD_DAT ; |
| | | | | D-DA ; |
| | | 3F38 FA21 | 427 | DCW DEL ; |
| | | | | ELETE ; |
| | | 3F3A 0E22 | 428 | DCW INSERT ; |
| | | | | NSERT ; |
| | | 3F3C 2D22 | 429 | DCW RS232 ; |
| | | | | UN ust ; |
| | | 3F3E 167F | 430 | DCW RUNY ; |
| | | | | UN yan ; |
| | | 3F40 1C7F | 431 | DCW RUNYY ; |
| | | | | UN 2yan ; |
| | | 3F42 | 432 | END |



SYMBOL TABLE LISTING

| N A M E | VALUE | ATTRIBUTES |
|-------------|-------|----------------|
| AD_DAT. | 21F4H | CODE ABS ENTRY |
| ADARTTIR. | 21EAH | CODE ABS ENTRY |
| ADAZALT | 21EFH | CODE ABS ENTRY |
| ADDEG | 21E1H | CODE ABS ENTRY |
| ADRAM | 7FOAH | NULL ABS |
| AG. | 0024H | REG ABS WORD |
| AGH | 0025H | REG ABS BYTE |
| AGL | 0024H | REG ABS |
| AH. | 001BH | REG ABS BYTE |
| AL. | 001AH | REG ABS BYTE |
| ALYAZ | 224AH | CODE ABS ENTRY |
| ANA | 2092H | CODE ABS ENTRY |
| APORT | E000H | NULL ABS |
| AX. | 001AH | REG ABS WORD |
| BASILITUS | 2198H | CODE ABS ENTRY |
| BASLA | 21C9H | CODE ABS ENTRY |
| BASTANTARA. | 2159H | CODE ABS ENTRY |
| BAUD_RATE | 000EH | NULL ABS |
| BAUD4800H | 0080H | NULL ABS |
| BAUD4800L | 00CFH | NULL ABS |
| BEEP. | 226AH | CODE ABS ENTRY |
| BEKDEV. | 2279H | CODE ABS ENTRY |
| BEKLE | 2179H | CODE ABS ENTRY |
| BL. | 001CH | REG ABS BYTE |
| BPORT | E002H | NULL ABS |
| BSRR. | 0026H | REG ABS BYTE |
| BX. | 001CH | REG ABS WORD |
| CL. | 001EH | REG ABS BYTE |
| COMMAND | E006H | NULL ABS |
| CPORT | E004H | NULL ABS |
| CX. | 001EH | REG ABS WORD |
| DATADeg | 21D2H | CODE ABS ENTRY |
| DATASEG | 20E2H | CODE ABS ENTRY |
| DEGERI. | 213BH | CODE ABS ENTRY |
| DEL | 21FAH | CODE ABS ENTRY |
| DELDEV. | 21FCH | CODE ABS ENTRY |
| DH. | 0021H | REG ABS BYTE |
| DISPBUF | 7F05H | NULL ABS |
| DISPGOS | 20C9H | CODE ABS ENTRY |
| DL. | 0020H | REG ABS BYTE |
| DX. | 0020H | REG ABS WORD |
| EH. | 0023H | REG ABS BYTE |
| EL. | 0022H | REG ABS BYTE |
| EX. | 0022H | REG ABS WORD |
| FONKS | 21C6H | CODE ABS ENTRY |
| GERIDON | 7FOAH | CODE ABS ENTRY |
| GERTARAMA | 2145H | CODE ABS ENTRY |
| HEXDIS. | 3F00H | NULL ABS |
| HEXDISPLAY. | 3F00H | CODE ABS BYTE |
| HWINDOWO. | 0000H | NULL ABS |
| IKIBYTE | 2255H | CODE ABS ENTRY |
| ILKSART | 209FH | CODE ABS ENTRY |
| INSDEV. | 2213H | CODE ABS ENTRY |



| NAME | VALUE | ATTRIBUTES |
|-------------|-------|----------------|
| INSERT. | 220EH | CODE ABS ENTRY |
| ISLEM. | 21B1H | CODE ABS ENTRY |
| KARE. | 2271H | CODE ABS ENTRY |
| NOKTA. | 20FCH | CODE ABS ENTRY |
| NOKTAAD. | 20FFH | CODE ABS ENTRY |
| NOKTADA. | 210EH | CODE ABS ENTRY |
| NOKTAKOY. | 211DH | CODE ABS ENTRY |
| NOKTASIL. | 212CH | CODE ABS ENTRY |
| DKU. | 2260H | CODE ABS ENTRY |
| ONEMSIZ. | 21A3H | CODE ABS ENTRY |
| RS232. | 222DH | CODE ABS ENTRY |
| RUNADRES. | 3F30H | CODE ABS WORD |
| RUNY. | 7F16H | CODE ABS ENTRY |
| RUNYAN. | 7F16H | NULL ABS |
| RUNYANYAN. | 7F1CH | NULL ABS |
| RUNYY. | 7F1CH | CODE ABS ENTRY |
| SARTLA. | 0082H | NULL ABS |
| SBUF_RX. | 0007H | NULL ABS |
| SBUF_TX. | 0007H | NULL ABS |
| SEGSEKIL. | 20F0H | CODE ABS ENTRY |
| SERI_CON. | 0011H | NULL ABS |
| SERI_SART. | 0009H | NULL ABS |
| SERI_STAT. | 0011H | NULL ABS |
| SP. | 0018H | NULL ABS WORD |
| TARAMA. | 2169H | CODE ABS ENTRY |
| TEKBYTE. | 225AH | CODE ABS ENTRY |
| TRANSFER. | 2245H | CODE ABS ENTRY |
| TUSABAS. | 2150H | CODE ABS ENTRY |
| TUSDEGERI. | 3F10H | CODE ABS BYTE |
| TUSFONKTAB. | 3F30H | NULL ABS |
| TUSHEX. | 21CCH | CODE ABS ENTRY |
| TUSUBIRAK. | 2148H | CODE ABS ENTRY |
| VWINDOWO. | 0020H | NULL ABS |
| WSR. | 0014H | NULL ABS |
| YENIADTR. | 2235H | CODE ABS ENTRY |

ASSEMBLY COMPLETED, NO ERROR(S) FOUND.



```

    DECLARE SUB oku (SONUC)
    PRINT 60000 / 15.25: STOP
    FOR I = 1 TO 50: COLOR I: PRINT "A"; I: NEXT I: STOP
    CLS
    OPEN "COM1:9600" FOR RANDOM AS #1
    OUT &H3FB, &H3
    OUT &H3FC, &H1

    oku SONUC
BEKLE:
    b = INP(&H3FD)
    PRINT b
    IF b MOD 2 = 1 THEN GOTO BEKLE

ALTEST:
    oku SONUC

    S1$ = HEX$(SONUC)
    topl = topl + 256 * SONUC
    oku SONUC
    A$ = S1$ + HEX$(SONUC) + " "
    topl = topl + SONUC
    DEVDAK = INT(60 / (topl * 1! * .000001))
    FOR k = 1 TO 50: NEXT k
    PRINT topl
    PRINT topl
    SCREEN 13
    COLOR 11
    LOCATE 10, 5: PRINT "DEVIR SAYISI(HEX)= "; HEX$(DEVDAK); " dev/d"
    PRINT
    COLOR 14
    LOCATE 12, 5: PRINT "DEVIR SAYISI(DEC)="; DEVDAK; " dev/d"
    topl = 0
    PRINT "ff"
    GOTO ALTEST
    CLOSE #1

END

    SUB oku (SONUC)

HAZIRDEGIL:
    b = INP(&H3FD)
    IF b MOD 2 = 0 THEN GOTO HAZIRDEGIL
    SONUC = INP(&H3FB)
    END SUB

```



```

DECLARE SUB GONDER (bilgon)

DIM BYTE(5036), A(5036)
CLS

OPEN "COM1:4800" FOR RANDOM AS #1

OPEN "SAKLA.DAT" FOR OUTPUT AS #3

K = 0
OPEN "R", #2, "KTU.BIN", 1
FIELD #2, 1 AS A$
ADR = 8 * 16 ^ 3 + 10 * 16 + 6

FOR I = &HFB TO &H3D6
GET #2, I
J = J + 1
BYTE(J) = ASC(A$)
NEXT I
L = J

FOR I = &H3D7 TO &H14A4
GET #2, I
J = J + 1
BYTE(J) = ASC(A$)
NEXT I
CLOSE #2

J = J + 1
BYTE(J) = &H7F

FOR I = 1 TO L STEP 2
A = BYTE(I)
BYTE(I) = BYTE(I + 1)
BYTE(I + 1) = A
NEXT I

PRINT
PRINT

M = 1
FOR N = 1 TO 2
FOR I = M TO L
ADR = ADR + 2
PRINT HEX$(ADR); "="; HEX$(BYTE(I)); " ";

K = K + 1: A(K) = BYTE(I)

PRINT #3, HEX$(ADR); "="; HEX$(BYTE(I)); " ";
IF BYTE(I - 1) <> &HFF AND BYTE(I) <> &HFF AND BYTE(I - 1) = &HO AND
YTE(I) = &HO THEN
C$ = INPUT$(1)
END IF

NEXT I
PRINT
PRINT
M = L + 1

```



```
L = J
NEXT N
CLOSE #3
```

```
PRINT "J=": HEX$(J)
OUT &H3FB, &H17
FOR I = 1 TO 5
  READ BILGI
  GONDER BILGI
NEXT I
```

```
PLAY "L32 ML 02 E C"
CLS
LOCATE 10, 10
COLOR 11
PRINT "Fuzzy ilemciye Bilgi transferi....."
```

```
COLOR 12
LOCATE 12, 9
FOR I = 1 TO 32
  PRINT "1";
NEXT I
```

```
COLOR 10
LOCATE 12, 9
BIRKARE = K / 33
TARAMA = BIRKARE
L = 0
```

```
FOR J = K TO 1 STEP -1
  BILGI = A(J)
  GONDER BILGI
  BILGI = &H80
  GONDER BILGI
```

```
IF L > TARAMA THEN
  TARAMA = TARAMA + BIRKARE
  PRINT "[ ";
END IF
L = L + 1
```

```
NEXT J
```

```
CLOSE #1
DATA &H01,&H27,&H55,&H80,&HAB
END
```

```
BEKLE: SUB GONDER (bilgon)
  BOSMU = INP(&H3FD)
  IF BOSMU < &H40 THEN GOTO BEKLE
  PRINT HEX$(bilgon); " ";
  OUT &H3FB, bilgon
END SUB
```



```

DECLARE SUB byteword (i, byte(), adrveyauzun)
DECLARE SUB bytetopla (us, byte, basamaktopl)
DECLARE SUB adkars (adr, uzunluk, oanindis, byte(), kar)
DECLARE SUB diziol (baslindis, byte(), uzunluk, yk, gndr())

DECLARE SUB gonder (gndr(), uznlk(), say, sonuc)

DIM uznlk(100)

CLS
' $DYNAMIC

COLOR 9
PRINT "Gnderilecek program
A"ad INFUT ad$
CLS
ad$ = "c:\asm96\prog\" + ad$ + ".obj"
OPEN "R", #2, ad$, 1
FIELD #2, 1 AS a$

OPEN "COM1:4800" FOR RANDOM AS #1

OUT &H3FB, &H17

k = LOF(2)
REDIM byte(k), gndr(k)

FOR i = 1 TO k
GET #2, i
byte(i) = ASC(a$)
NEXT i
CLOSE #2

i = k - 11
k = i

devam:

byteword i, byte(), uzunluk

i = i - 2
byteword i, byte(), adres

i = i - 2
adkars adres, uzunluk, i, byte(), karar

IF karar = 1 THEN GOTO gonvekont

diziol k, byte(), uzunluk, yenidizin, gndr()
say = say + 1
uznlk(say) = uzunluk + 4

i = i - uzunluk - 12
k = i
uzunluk = 0: adres = 0

GOTO devam

```



gonvekont:

252

```
gonder gndr(), uznlk(), say, sonuc
IF sonuc = 0 THEN
BEEP
BEEP
PRINT "HATA VAR???"
ELSE
BEEP
COLOR 10
PRINT "GONDERME TAMAMLANDI!!!!"
END IF
```

enson:

```
CLOSE #1
END
```

```
SUB adkars (adr, uzunluk, oanindis, byte(), kar)
```

```
  yeniind = oanindis - uzunluk - 5
```

```
  IF yeniind < 0 THEN
    kar = 1
    GOTO bitis
  END IF
```

```
  byteword yeniind, byte(), adres
  yeniind = yeniind - 3
```

```
  byteword yeniind, byte(), uzun
```

```
  IF adres <> adr OR uzun - 4 <> uzunluk THEN
    kar = 1
    GOTO bitis
  END IF
```

```
  kar = 0
```

bitis:

```
  END SUB
```

```
SUB bytetopla (us, byte, basamaktopl)
  c = INT(byte / 16)
  d = byte - c * 16
  basamaktopl = basamaktopl + c * 16 ^ us + d * 16 ^ (us - 1)
  us = us - 2
END SUB
```

```
SUB byteword (i, byte(), adrveyauzun)
  us = 3
```

```
  bytetopla us, byte(i), adrveyauzun
  bytetopla us, byte(i - 1), adrveyauzun
```

```
  END SUB
```

```
SUB diziol (baslindis, byte(), uzunluk, yk, gndr())
```

```
  FOR n = baslindis TO baslindis - uzunluk - 8 STEP -1
    IF n = baslindis - 4 THEN n = n - 5
```

```
    yk = yk + 1
```



```
gndr(yk) = byte(n)
NEXT n

END SUB

SUB gonder (gndr(), uznlk(), say, sonuc)
COLOR 11
OUT &H3F8, say

m = 1: l = 1
FOR j = 1 TO say
FOR i = 1 TO uznlk(j)
  k = k + 1
  IF gndr(k) <= 15 THEN
E$ = "0" + HEX$(gndr(k))
  ELSE
E$ = HEX$(gndr(k))
  END IF

LOCATE m, l: PRINT E$;
l = l + 3
IF l > 75 THEN
l = 1
m = m + 1
IF m > 23 THEN
CLS
m = 1
END IF
END IF
OUT &H3F8, gndr(k)
  sumchk = sumchk + gndr(k)

```

bekle:

```
  bosmu = INP(&H3FD)
  IF bosmu < &H40 THEN GOTO bekle

NEXT i

  b = INP(&H3F8)

  IF b <> sumchk THEN
  sonuc = 0
  END IF

NEXT j
sonuc = 1
son:
END SUB
```



DECLARE SUB OKU (sonuc)

DIM hata(250), hatadeg(250), u(250)

' GOTO GRAFIK

'PRINT 6E+07 / 1024: STOP

KEY(1) ON

ON KEY(1) GOSUB dur

CLS

SCREEN 12

OPEN "COM1:9600" FOR RANDOM AS #1

OUT &H3FB, &H13

OUT &H3FC, &H1

' OKU sonuc

grafik:

CLS

SCREEN 12

COLOR 7

LOCATE 1, 1: PRINT "(Dev/dk)"

COLOR 3

' Y ekseni degerleri

M = (4096 - 1024) / 6

I = 4096 + M

FOR K = 3 TO 25 STEP 3

LOCATE K, 3: PRINT USING "####"; I

I = I - M

NEXT K

COLOR 4

' X ekseni degerleri

' I = 10.7

' FOR K = 12 TO 75 STEP 6

' LOCATE 28, K: PRINT USING "##.#"; I

' NEXT K

COLOR 7

'Pencere ve orijin alt kse

VIEW (1, 1)-(637, 430)

WINDOW (0, 0)-(637, 430)

I = 14



' Y ve X ekseni

255

```
LINE (50, 0)-(50, 415), I
LINE (35, 7)-(637, 7), I
```

'X ekseni ok isareti

```
LINE (632, 13)-(638, 7), I
LINE (632, 1)-(638, 7), I

LINE (632, 13)-(632, 2), I
```

'Y ekseni ok isareti

```
LINE (45, 410)-(50, 415), I
LINE (55, 410)-(50, 415), I

LINE (45, 410)-(55, 410), I
```

J = 2: K = 13

'Yatay izgaralar

```
FOR I = 55 TO 410 STEP 48
LINE (50, I)-(625, I), J, B, 257
LINE (48, I)-(51, I), K

NEXT I
```

' Dsey izgaralar

```
FOR I = 98 TO 637 STEP 48
LINE (I, 7)-(I, 390), J, B, 257
LINE (I, 5)-(I, 9), K
NEXT I
```

```
NOKTASAY = 0
yer = 11
```

```
IF IZ = 20 GOTO GEC
A$ = INPUT$(1)
```

GEC:

```
OUT &H3FB, &HA5
BEKL = 1
```

BEKLE:

```
OKU sonuc
B = INP(&H3FD)
IF B MOD 2 = 1 THEN GOTO BEKLE
```

DEVAM:

```
NOKTASAY = 0
yer = 11
s = 0
ztopl = 0
topl = 0
OKU sonuc

topl = topl + sonuc
```

256

OKU sonuc

top1 = top1 + 256 * sonuc

u(orsay) = top1

OND = top1

ztop1 = ztop1 + 600! / top1

top1 = 0

orsay = 1

ONZ = 1

OND = (343 - 55) * (OND - 1024) / 3072

toporn = 120

DO

orsay = orsay + 1

OKU sonuc

top1 = top1 + sonuc

OKU sonuc

top1 = top1 + 256 * sonuc

BEKL = BEKL - 1

IF BEKL <> 0 GOTO YAZYDK

COLOR 9

LOCATE 2, 10: PRINT top1; " "; HEX\$(top1)

BEKL = 20

YAZYDK:

ztop1 = ztop1 + 600! / top1

NOKTASAY = NOKTASAY + 1

IF NOKTASAY = 9 THEN

COLOR 9

LOCATE 28, yer: PRINT USING "##.#"; ztop1

yer = yer + 6

NOKTASAY = 0

s = s + 1

IF s = 12 THEN

IZ = 20

GOTO DEVAM

END IF

END IF

Z = orsay

D = top1

D = (343 - 55) * (D - 1024) / 3072



257

Z = INT(640 * Z / 120)

LINE (ONZ + 50, OND + 55)-(Z + 50, D + 55), 13

ONZ = Z

OND = D

top1 = 0

LOOP WHILE toporn > orsay

dur:

CLOSE #1

COLOR 10

END

SUB OKU (sonuc)

HAZIRDEGIL:

B = INP(&H3FD)

IF B MOD 2 = 0 THEN GOTO HAZIRDEGIL

sonuc = INP(&H3F8)

END SUB



ÖZGEÇMİŞ

Ö. Faruk ÖZGÜVEN Elektronik ve Haberleşme Yüksek Mühendisi
(1988 Yıldız Teknik Üniversitesi)

Doğum Tarihi ve Yeri 01. 11. 1963, Malatya

1981-1985 Yıldız Teknik Üniversitesi
Elektrik-Elektronik Fakültesi
Elektronik ve Haberleşme Mühendisliği Böl.

1978-1981 Malatya Ş.K.Ö Endüstri Meslek Lisesi
Elektronik Bölümü

1975-1978 Malatya Kubilay Ortaokulu

1970-1975 Malatya Hidayet İlkokulu

ALDIĞI GÖREVLER:

1989-1993 Araştırma Görevlisi
Yıldız Teknik Üniversitesi
Elektrik- Elektronik Fakültesi
Elektronik ve Haberleşme Mühendisliği
Devreler ve Sistemler Anabilim Dalı

1993-1994 Araştırma Görevlisi
Niğde Üniversitesi
Mühendislik Fakültesi
Elektronik Mühendisliği
Elektronik Anabilim Dalı

1994- Öğretim Görevlisi
İnönü Üniversitesi
Mühendislik Fakültesi
Elektrik-Elektronik Mühendisliği
Kontrol ve Kumanda Sistemleri Anabilim Dalı

Yabancı dil İngilizce

